

A Comparative Study on Unsupervised Anomaly Detection for Time Series: Experiments and Analysis

Yan Zhao¹, Liwei Deng², Xuanhao Chen², Chenjuan Guo¹, Bin Yang¹, Tung Kieu¹, Feiteng Huang³,
Torben Bach Pedersen¹, Kai Zheng², Christian S. Jensen¹

¹Aalborg University

²University of Electronic Science and Technology of China

³Huawei Cloud Database Innovation Lab, China

¹{yanz, cguo, byang, tungkvt, tbp, csj}@cs.aau.dk ²{deng_liwei, xhc}@std.uestc.edu.cn, zhengkai@uestc.edu.cn

³huangfeiteng@huawei.com

ABSTRACT

The continued digitization of societal processes translates into a proliferation of time series data that cover applications such as fraud detection, intrusion detection, and energy management, where anomaly detection is often essential to enable reliability and safety. Many recent studies target anomaly detection for time series data. Indeed, area of time series anomaly detection is characterized by diverse data, methods, and evaluation strategies, and comparisons in existing studies consider only part of this diversity, which makes it difficult to select the best method for a particular problem setting. To address this shortcoming, we introduce taxonomies for data, methods, and evaluation strategies, provide a comprehensive overview of unsupervised time series anomaly detection using the taxonomies, and systematically evaluate and compare state-of-the-art traditional as well as deep learning techniques. In the empirical study using nine publicly available datasets, we apply the most commonly-used performance evaluation metrics to typical methods under a fair implementation standard. Based on the structuring offered by the taxonomies, we report on empirical studies and provide guidelines, in the form of comparative tables, for choosing the methods most suitable for particular application settings. Finally, we propose research directions for this dynamic field.

1 INTRODUCTION

The continued, society-wide digitization and the accompanying deployment of sensing technologies generate increasingly massive amounts of time series data. A time series is a sequence of observations recorded in chronological order. In time series, a small number of observations may deviate significantly from most observations because they are generated by different processes. Depending on the setting and application domain, such observations are called anomalies, abnormalities, deviants, intrusions, outliers, failures, discordant observations, exceptions, aberrations, peculiarities, or contaminants [4, 28]. For simplicity, we use the term “anomaly” throughout the paper.

Anomaly detection for time series has been studied in diverse settings, such as credit card fraud detection, health care insurance, intrusion detection in cyber security, and fault detection in safety critical systems [2, 4, 11, 13, 16, 19, 20, 39, 43, 49]. Anomaly detection methods aim to identify observations that differ significantly from the bulk of observations. Anomaly detection methods may be supervised or unsupervised. The former require the availability of labels indicating ground-truth anomaly observations, which is

not the case in many real-world application settings. In contrast, unsupervised methods, the focus on this paper, do not require the availability of ground truth anomaly labels for their functioning and are more generally applicable. In particular, time-consuming and labor-intensive human labeling is not needed, and it becomes possible to identify unanticipated anomalies that may have gone unnoticed during manual labeling.

The wide range of existing unsupervised methods for time series anomaly detection can be classified as traditional methods [1, 25, 33, 34, 37, 45, 46, 48] or as deep learning methods [5, 8, 17, 21, 22, 27, 35, 50]. However, a key challenge when attempting to leverage this body of proposals for performing anomaly detection in real-world application settings is the lack of guidance as to which methods are appropriate for use in different settings. In the case of supervised methods, the labels used offer such guidance, but a comprehensive mapping of unsupervised methods to application settings is needed. To achieve this, we face two main challenges.

Challenge 1: diversity of data, methods, and evaluation strategies. It is difficult to select a suitable unsupervised method among the many alternatives for a particular application because this amounts to a multi-criteria decision-making problem. First, it is necessary to take into account the complex and diverse nature of the underlying time series data, such as the dimensionality, the stationarity, and the temporal correlations among observations. Second, many unsupervised methods are available, and they use different ways of detecting anomalies, including density-based clustering [1, 25, 46], similarity search [48], tree-based partitioning [33, 34, 45], one-class classification [37], reconstruction [22, 27, 35], and prediction [17, 36]. It is non-trivial to select a suitable method simply based on the description of the method. Third, unlike in time series prediction and classification, where the output is a value that straightforwardly indicates a future value or a class label, the outputs of time series anomaly detection methods are diverse and include density values, distance values, reconstruction errors, etc. Different ways of deriving anomalies from such values exist, which also yields different strategies for evaluating anomalies. No single evaluation strategy exists that indicates the suitability of a method for an application. Rather, it occurs commonly that a method achieves good results according to one evaluation strategy but performs poorly according to another. For example, precision and recall, which are used commonly for assessing performance, are often conflicting and may be traded for one another according to application requirements. To illustrate, AIOPs (artificial intelligence for IT operations) applications require high precision, as operators do not want to be disturbed by frequent false

Table 1: Survey Comparisons and Contributions

Survey and benchmark	Application domain	Supervised/Unsupervised	Taxonomy of data	Taxonomy of methods	Taxonomy of evaluation	Traditional methods	Deep learning methods	Empirical study	Method recommendation
2003 [30]	Network intrusion	Unsupervised	×	√	×	√	×	√	×
2004 [15]	General anomaly	Both	×	√	×	√	√	×	×
2009 [4]	General anomaly	Both	×	√	×	√	√	×	×
2013 [14]	Temporal data anomaly	Both	×	√	×	√	√	×	×
2017 [6]	Streaming data anomaly	Unsupervised	×	√	×	√	×	√	√
2018 [24]	Video anomaly	Unsupervised	×	√	×	×	√	√	×
2019 [3]	General anomaly	Both	√	√	×	×	√	×	×
2019 [28]	Network anomaly	Both	×	√	×	×	√	×	×
2020 [18]	Time series anomaly	Supervised	×	×	×	×	√	√	×
2020 [40]	General anomaly	Supervised	√	√	×	×	√	×	×
This work	Time series anomaly	Unsupervised	√	√	√	√	√	√	√

alarms, while applications in intensive care units that monitor signs of life (e.g., respiratory rate and blood pressure) prioritize recall at the cost of precision [32].

Challenge II: fair comparison. The effectiveness of unsupervised methods depends highly on the settings of hyperparameters, which increases the difficulty of selecting a suitable method. As unsupervised methods train models without labels, no fair or golden standard exists for choosing suitable hyperparameter settings that maximize performance. In other words, it is challenging to select hyperparameters fairly and effectively in an unsupervised manner. This increases the need for being able to compare unsupervised methods fairly in different settings to understand thoroughly the advantages and disadvantages of these methods, such that their suitability for a specific application could be well demonstrated.

Therefore, as more and more methods become available, there is an increasing need for a comprehensive framework and study of the suitability of unsupervised time series anomaly detection methods for different application settings. Table 1 offers an overview of prior surveys and benchmarks, showing that these focus mostly on general anomaly detection, e.g., detecting novelties in images and identifying novel molecular structures in pharmaceutical research [3, 4, 15, 40] or a particular application domain (e.g., video anomaly) [6, 14, 24, 28, 30], instead of time series anomaly detection. In addition, most of these existing studies do not provide comparative taxonomies for data, methods, and evaluation strategies, or they target only specific types of traditional or deep learning methods. Furthermore, there is an unmet need for a comparative empirical study of the fit of methods for given data and application settings. The only exception is the study of Choudhary et al. [6] that targets streaming data anomaly detection rather than time series anomaly detection. In addition, it only selects a suitable method based on attributes exhibited by datasets from different application domains and latency requirements. It disregards general data attributes, e.g., dimensionality and stationarity, and evaluation strategies.

This work aims to address the above challenges by providing a comprehensive reference for researchers and practitioners seek to utilize unsupervised time series anomaly detection techniques in specific applications. In particular, *this study focuses on providing guidance on which unsupervised time series anomaly detection methods in different settings, and attempts to explore how to employ the methods on different data.* Specifically, the paper makes three key contributions.

1) **Qualitative Analysis.** This paper offers a comprehensive overview of unsupervised time series anomaly detection by proposing taxonomies for data, methods, and evaluation strategies.

2) **Quantitative Analysis.** The paper considers 14 carefully selected unsupervised anomaly detection methods, including representative traditional and deep learning methods, and evaluates them using nine publicly available datasets in terms of accuracy, robustness, and running time efficiency while ensuring consistent main hyperparameter settings to ensure fairness. We provide a comprehensive overview of the results. The related source code can be accessed at Github¹.

3) **Guidelines of Method Recommendation.** The experimental results and accompanying analyses serve as guidelines to suggest an appropriate method for a particular dataset. Specifically, we offer several comparative tables that provide recommendations of techniques suitable for the applications at hand based on the proposed taxonomies and experimental evaluations. This paper can be used as a hands-on guide for understanding, using, or developing unsupervised anomaly detection methods for different real-world applications.

The remainder of the paper is structured as follows. We define taxonomies for time series anomaly detection data, methods, and evaluation strategies in Sec. 2. Sec. 3 details the experimental setup, followed by Sec. 4 that gives the experimental results and offers method recommendations. We finally conclude the paper and provide research directions in Sec. 5.

2 TAXONOMIES

It is a multi-criteria decision-making problem to choose the best unsupervised time series anomaly detection method for a particular application, where the key criteria include the anomaly detection data, methods, and evaluation strategies. Therefore, we provide three taxonomies for the data, methods, and evaluation strategies, thus achieving a structured basis for method recommendation.

2.1 Taxonomy of Data

Challenges in time series anomaly detection method recommendation in terms of data include diverse dimensionality and stationarity, based on which we propose a data taxonomy.

2.1.1 Univariate vs. Multivariate. The dimensionality is the number of features captured in each observation [4]. A time series T is a sequence of k -dimensional vectors $T = \langle S_1, S_2, \dots, S_n \rangle$, where

¹<https://github.com/yan20191113/ADTS>

$S_i = (s_i^1, s_i^2, \dots, s_i^k) \in \mathbb{R}^k$ denotes a k -dimensional vector ($k \geq 1$) that describes k features of an observation (also referred to as an instance, record, or data point) at time t_i ($1 \leq i \leq n$), and s_i^j ($1 \leq j \leq k$) corresponds to the j th feature of S_i .

Time series data is classified into univariate (one-dimensional) and multivariate (multi-dimensional) time series. Formally, T is univariate when $k = 1$ and multivariate when $k > 1$. Classical anomaly detection is concerned primarily with point anomalies, anomalies that occur at a single observation, which are also our focus since point anomaly detection is the foundation of other anomaly (like sequence) detection. The point anomaly detection problem is defined as follows.

Given a k -dimensional time series $T = \langle S_1, S_2, \dots, S_n \rangle$, we aim at assigning each vector S_i an anomaly score, denoted as $score(S_i)$. The higher the anomaly score S_i , the more likely it is that S_i is an anomaly. Based on the anomaly scores, we can rank the observations in a time series. We can consider the top $\alpha\%$ (e.g., 5%) of the observations, according to their anomaly scores, as anomalies. Alternatively, given a fixed threshold, we regard observation S_i as anomalous if its anomaly score exceeds the threshold.

For example, given a driver’s time series, the anomaly observations may represent the occasions where the driver behaves differently from other occasions, e.g., when the driver encounters a dangerous situation. In the rest of the paper, we use *anomaly detection* and *time series anomaly detection* interchangeably when the context is clear.

2.1.2 Stationary vs. Non-stationary. Time series can also be classified as stationary or non-stationary. Since strictly stationary time series occur infrequently in practice, weak stationarity conditions are introduced applied [31, 38], where the mean of any observation in a time series $T = \langle S_1, S_2, \dots, S_n \rangle$ is constant and the variance is finite for all observations. Also, the covariance between any two observations S_i and S_j , $cov(S_i, S_j)$, depends only on their distance $|j - i|$, i.e., $\forall i + r \leq n, j + r \leq n$ ($cov(S_i, S_j) = cov(S_{i+r}, S_{j+r})$).

In contrast, non-stationary time series have statistical distribution properties that vary across time. Such time series have time-varying means and variances, so a time series that exhibits a trend (e.g., increasing or decreasing) across time is non-stationary.

2.2 Taxonomy of Methods

We classify methods according to three main categories: *non-learning (NL)*, *classical learning (CL)*, and *deep learning (DL)* methods, based on their learning capabilities.

Within the three main categories, we identify six fine-grained categories according to the core concepts of the methods, as shown in Table 2. It also presents the method integration, output, and temporal dependencies that includes two ways of capturing temporal dependencies, i.e., sequence to sequence (S2S) and sliding windows (SW). Due to space limitation, we only study the most representative methods in each category.

2.2.1 Non-learning (NL) Methods. NL methods include density and similarity based methods.

Density-based Methods. The density-based methods [1, 25, 46] first group observations into clusters and then utilize the density

Table 2: A Taxonomy of Anomaly Detection Methods

Learning capabilities	Method type	Method name	Method integration	Anomaly score	Temporal dependency			
					S2S	SW		
NL	Density	LOF	Single	LOF	×	×		
	Similarity	MP	Single	MP distance	×	√		
CL	Partition	ISF	Ensemble	Anomaly score	×	×		
	Classification	OC-SVM	Single	Signed distance	×	×		
DL	Reconstruction	AE	CNN-AE	Single	Rec. err.	√	√	
			2DCNN-AE	Single	Rec. err.	√	√	
			LSTM-AE	Single	Rec. err.	√	√	
			HIFI	Single	Rec. err.	√	√	
			RN	Ensemble	Rec. err.	×	√	
			RAE	Ensemble	Rec. err.	√	√	
			VAE	Omni	Single	Rec. err.	√	√
			GAN	BeatGAN	Single	Rec. err.	√	√
	Prediction	LSTM-NDT	Single	Pre. err.	√	√		

of the clusters to discover anomalies. We illustrate density-based methods using a classical method, Local Outlier Factor (LOF) [1].

For each observation S_i in a time series T , LOF first computes a g -distance neighborhood of S_i , i.e., a cluster, denoted as $N_g(S_i) = \{S' \in T - S_i \mid d(S_i, S') \leq d_g(S_i)\}$, where $d(S_i, S')$ is the distance between S_i and S' , and $d_g(S_i)$, the g -distance of S_i , is the distance between S_i and its g th nearest neighbor. The observations in the g -distance neighborhood of S_i are called the g -nearest neighbors of S_i . Second, for each neighbor $S' \in N_g(S_i)$, LOF computes its reachability distance to S_i that is the maximum of the g -distance of S' and the distance between S' and S_i , denoted as $rd_g(S_i, S') = \max\{d_g(S'), d(S_i, S')\}$. Third, LOF computes the local reachability density of S_i by Eq. 1.

$$lrd_g(S_i) = 1 / \left(\frac{\sum_{S' \in N_g(S_i)} rd_g(S_i, S')}{|N_g(S_i)|} \right) \quad (1)$$

Finally, the LOF value (i.e., anomaly score) of S_i is calculated:

$$LOF_g(S_i) = \frac{\sum_{S' \in N_g(S_i)} \frac{lrd_g(S')}{lrd_g(S_i)}}{|N_g(S_i)|} \quad (2)$$

A higher $LOF_g(S_i)$ indicates lower density of S_i , meaning that S_i is more likely to be anomalous, and being larger than 1 means that S_i comes from a low-density area. LOF takes T as a set of points, not as a sequence of points. Therefore, LOF fails to capture temporal dependencies in time series.

Similarity-based Methods. In similarity-based methods, time series that are similar to others are regarded as normal while the rest are reported as anomalous. Matrix Profile (MP) [48] is an efficient and representative similarity-based method.

MP first splits T into overlapped subsequences of length m . Then, MP computes the distance (similarity) between a pair of subsequences, where $\langle S_{\max\{j-\frac{m}{2}, 1\}}, \dots, S_j, \dots, S_{\min\{j+m-\frac{m}{2}, |T|\}} \rangle$ is excluded since it almost matches itself, i.e., the number of same observations between two subsequences is not less than half of their length ($\frac{m}{2}$), leading to a trivial distance, where $j = \{1, 2, \dots, |T|\}$, and $|T|$ denotes the length of T . The MP distance of a subsequence is the minimum distance between it and any other subsequences that generate non-trivial distances. If the MP distance (i.e., anomaly score) of a subsequence is relatively high, it is unique in the time series and is more likely to be an anomaly. MP detects anomalies

based on subsequences, meaning that it is able to capture temporal dependencies in time series.

2.2.2 Classical Learning Methods. The classical learning methods include partition-based and classification-based methods.

Partition-based Methods. The partition-based methods partition observations into different parts. Isolation Forest (ISF) [33] is a typical partition-based method.

ISF first constructs m isolation trees, denoted as $iTree$. To generate each $iTree$, we randomly sample ψ observations from T , denoted as $T(\psi) = \{S_1, S_2, \dots, S_\psi\}$. Then we recursively divide $T(\psi)$ into sub-trees by randomly selecting a feature q among the k features of an observation and a split value p between the maximum and minimum values of the selected feature q , where the observations with values smaller than p are put in the left sub-tree and the others are put in the right sub-tree, until one of the following conditions is satisfied:

1) The $iTree$ reaches a height limit, i.e., $l = \text{ceiling}(\log_2\psi)$, where l is approximately the average tree height [10]. We are only interested in observations with below average path lengths, as those observations are more likely to be anomalies.

2) There is only one observation in the leaf nodes of $iTree$.

3) All the observations in the leaf nodes have the same value.

Subsequently, ISF calculates the anomaly score of a given observation S_i , $\text{score}(S_i, \psi)$, in the following.

$$\text{score}(S_i, \psi) = 2^{-\frac{E(h(S_i))}{c(\psi)}} \quad (3)$$

$$c(\psi) = 2H(\psi - 1) - (2(\psi - 1)/\psi), \quad (4)$$

where $h(S_i)$ is the path length of S_i , $E(h(S_i))$ is the average of $h(S_i)$ from a collection of $iTrees$, $c(\psi)$ is an estimate of the average path length given ψ , and $H(i)$ is a harmonic number that is estimated by $\ln(i) + 0.5772156649$ (Euler's constant). Since ISF consists of multiple $iTrees$ (i.e., multiple classifiers) built iteratively, it is an ensemble method. Further, it regards T as independent points and cannot capture temporal dependencies in time series.

Classification-based Methods. The classification-based methods find a small region that contains most normal observations, and the observations outside of this region are considered as anomalies. One-Class Support Vector Machines (OC-SVM) [37] belongs to this category.

OC-SVM uses a kernel map, $\Phi : S \rightarrow H$, to transform each k -dimensional vector $S_i \in T$ into a high-dimensional feature space H . Next, OC-SVM separates the mapped vectors from the origin by a hyperplane, and it maximizes the distance of this hyperplane to the origin. This yields a small region that contains most observations. To achieve this, OC-SVM solves a quadratic programming problem to get parameters, w and ρ . Then it uses the decision function, $f(S_i) = \text{sign}((w \cdot \Phi(S_i)) - \rho)$, to detect anomalies. The output, $f(S_i)$, of OC-SVM is a positive/negative value, and S_i is likely to an anomaly when $f(S_i)$ is negative. Then the signed distance that is the distance between S_i (with negative $f(S_i)$) and the hyperplane is calculated to denote the anomaly score of S_i . OC-SVM is a single method, and it cannot capture temporal dependencies in time series.

2.2.3 Deep Learning Methods. DL methods are primarily reconstruction or prediction based.

Reconstruction-based Methods. These methods compress original input data into a compact, hidden representation and then reconstruct

the input data from the hidden representation. Since the hidden representation is compact, it is only possible to reconstruct representative features from the input, not the specifics of the input data, including any anomalies. This way, the reconstruction errors, i.e., the difference between the original data and the reconstructed data, indicate how likely it is that observations in the data are anomalies.

AE-based methods. The autoencoder (AE) architecture is the main architecture for a variety of reconstruction-based methods that output a reconstruction error for each observation $S_i \in T$ that captures its anomaly degree.

Specifically, an autoencoder, consisting of an encoder and a decoder, outputs a so-called reconstructed k -dimensional vector $S'_i = (s'_i{}^1, s'_i{}^2, \dots, s'_i{}^k)$. The encoder and decoder can be defined by f_e and f_d :

$$\begin{aligned} \text{Encoder: } f_e(S_i) &: \mathbb{R}^k \rightarrow \mathbb{R}^m, \\ \text{Decoder: } f_d(X) &: \mathbb{R}^m \rightarrow \mathbb{R}^k \end{aligned} \quad (5)$$

Here, $X \in \mathbb{R}^m$ ($m < k$) denotes an intermediate m -dimensional vector mapped from the original input vector $S_i \in \mathbb{R}^k$ by the encoder. Then the decoder maps X to a reconstructed vector $S'_i \in \mathbb{R}^k$.

By design, an autoencoder is unable to reconstruct anomalies well, which then yields large reconstruction errors for anomalies. During training, we minimize the reconstruction error between S_i and S'_i using a distance measure, e.g., $L1$ and $L2$ distance. Existing learning methods, e.g., gradient descent and back propagation, can be used to learn functions f_e and f_d .

In terms of base models adopted in the encoder and decoder, AE-based methods include CNN-based autoencoders (e.g., CNN-AE and 2DCNN-AE) [22, 27] and RNN-based autoencoders (e.g., LSTM-AE) [35]. Recently, as an attention-based AE structure, a Transformer (e.g., HIFI [8]) is proposed to detect anomalies in time series using stacked self-attention and point-wise, fully connected layers for both the encoder and decoder.

Ensemble models (e.g., RN [5] and RAE [21]) with AE use a number of different AEs to observe each observation, and a voting mechanism, *stacking*, is often employed to combine the outputs from models, where multiple models are trained using the entire training data [9]. RN trains a set of independent AEs, each having some randomly selected constant dropout connections, and RAE uses sparsely-connected RNN-based AEs for anomaly detection, where multiple autoencoders are trained independently or jointly in a multi-task learning fashion.

VAE-based methods. A variational autoencoder (VAE) is an AE variant rooted in Bayesian inference [23]. Unlike AEs, VAEs model the underlying distribution of the original data and generate reconstructed data by introducing a set of latent random variables in the AEs. VAEs use a KullbackLeibler (KL)-divergence penalty to impose a prior distribution on the latent variables that capture the new pattern of the input time series (that does not appear in the training set) to some extent. Omni [44] is a typical VAE-based model for time series anomaly detection.

GAN-based methods. Generative Adversarial Networks (GANs) establish min-max adversarial games between a generator (G) and a discriminator (D), which are implemented as neural networks.

Following the architecture of a regular GAN [12], G and D are trained with the following two-player min-max game:

$$\min_G \max_D \mathbb{E}_{S \sim p_{data}(S)} [\log D(S)] + \mathbb{E}_{z \sim p(z)} [\log(1 - D(G(z)))], \quad (6)$$

where $G(z)$ defines a probability distribution for the samples generated by the generator G , $D(S)$ represents the probability that S comes from the real data, S denotes a real sample from T , $p_{data}(S)$ denotes the real data distribution, z denotes a noise sample from a random latent space, and $p(z)$ is a prior on the input noise variables. BeatGAN [50] is a time series anomaly detection method using the GAN architecture.

All the above reconstruction-based methods except RN can capture temporal dependencies in time series in two ways: sequence to sequence (S2S) and sliding windows (SW). RN can only capture temporal dependencies using SW.

Prediction-based Methods. The prediction-based methods predict current observation using representations of previous observations. The process captures temporal and recurrent dependencies within a given sequence length [40].

In particular, given a t -length time series $T = \langle S_1, S_2, \dots, S_t \rangle$, this method predicts a future observation \hat{S}_{t+1} by making it as close to the ground truth S_{t+1} as possible.

The prediction error (Pre. err.) between \hat{S}_{t+1} and S_{t+1} is defined as the anomaly score for S_{t+1} , where a higher prediction error means that S_{t+1} is more likely to be an anomaly.

2.3 Taxonomy of Evaluation Strategies

As the interest in time series anomaly detection has grown, evaluation strategies for anomaly detection methods have also received increased attention, mirroring the fact that the effectiveness and efficiency of anomaly detection are of high interest to researchers and practitioners. The taxonomy of evaluation strategies and their metrics is shown in Table 3.

Table 3: Taxonomy of Evaluation Strategies

Evaluation strategies		Metrics
Effectiveness	Accuracy	No thresholds: <i>ROC-AUC, PR-AUC</i>
	Robustness	Specified thresholds: <i>precision, recall, F1 score</i>
Efficiency	Training efficiency	<i>training time</i>
	Testing efficiency	<i>testing time</i>

2.3.1 Effectiveness. The effectiveness of anomaly detection algorithms encompasses aspects such as accuracy and robustness. We first introduce the metrics, which are used throughout the following accuracy and robustness.

Metrics. Two situations, i.e., no and specified thresholds, exist when evaluating effectiveness.

No Thresholds. Anomaly detection methods assign an anomaly score to each observation in the testing data that captures the degree to which that observation is considered as an anomaly. Thus, the output of such methods is a ranked list of anomalies. Two metrics that consider all possible thresholds are adopted to evaluate these methods, including Area Under the Curve of Receiver Operating Characteristic (*ROC-AUC*) and Area Under the Curve of Precision-Recall curve (*PR-AUC*), where the *ROC* and *PR* curves are evaluation tools for binary classification that enable the visualization of performance at any threshold. Specifically, in the *ROC* curve, we take the anomaly score of each observation as a threshold and compute the False Position Rate (FPR) and the True Positive Rate (TPR) for each threshold,

where FPR and TPR are X-axis and Y-axis, respectively, as follows.

$$FPR = \frac{FP}{FP + TN}, \quad TPR = \frac{TP}{TP + FN}, \quad (7)$$

where FP is the number of false positives, TN is the number of true negatives, TP is the number of true positives, and FN is the number of false negatives.

In the *PR* curve, we also take the anomaly score of each observation as a threshold and compute the corresponding *precision* and *recall* (*TPR*) as the X-axis and the Y-axis, respectively.

$$precision = \frac{TP}{TP + FP} \quad (8)$$

$$recall = TPR = \frac{TP}{TP + FN} \quad (9)$$

ROC-AUC (PR-AUC) is a single number that summarizes the information in the *ROC* (*PR*) curve. The two metrics do not depend on a specific threshold and reflect the full trade-off among true positives, true negatives, false positives, and false negatives.

Specified Thresholds. When a threshold is specified, a binary label (normal or anomalous) is assigned to each observation according to whether its anomaly score exceeds the threshold. We adopt *precision*, *recall*, and *F1 score* as metrics to measure the method accuracy, where *F1 score*, *F1*, is calculated in follows.

$$F1 = 2 * \frac{precision * recall}{precision + recall} \quad (10)$$

The *F1 score* is the harmonic mean of *precision* and *recall*, which represents a balance between the two.

Three commonly-used unsupervised threshold selection methods [47], i.e., Standard Deviation (SD)², Median Absolute Deviation (MAD)³, and Interquartile Range (IQR)⁴, are often adopted for threshold selection in time series anomaly detection.

Accuracy. The accuracy of anomaly detection methods can simply be measured based on the anomaly scores or labels in testing data, when ground truth anomaly labels of observations are available. However, due to the unsupervised setting, we do not employ such labels for training, but use them only for evaluating accuracy. We use the five metrics, *ROC-AUC*, *PR-AUC*, *precision*, *recall*, and *F1 score* to measure the accuracy of anomaly detection methods. Higher values of the five metrics indicate higher accuracy.

Robustness. Generally, an anomaly detection method is characterized as being robust if it is able to retain its detection accuracy with noisy data. Therefore, when it comes to robustness analysis, the accuracy metrics of methods are generally assessed by applying them to noisy data. Robustness is important because applications typically are faced with noisy data. Noise represents fluctuations in the reported values which may not be significant to the overall structure of the data as a whole and may be caused by minor variations

²The observations in $[mean - \alpha * SD, mean + \alpha * SD]$ are regarded as normal, where *mean* and *SD* are the mean and standard deviation of the anomaly scores, respectively, and α is often set to 3.

³The observations in $[median(X) - \alpha * MAD, median(X) + \alpha * MAD]$ are regarded as normal, where *median(X)* and *MAD* are the median and median absolute deviation of the anomaly scores, respectively, X is the anomaly scores of the observations, α is specified by the user and usually set to 3, $MAD = b * median(|X - median(X)|)$, and b is suggested to be 1.4826 [42].

⁴The IQR is the difference between the values ranking in 25% and 75% among the whole anomaly scores, where the values are denoted as $Q1$ and $Q3$, respectively. The observations in $[Q1 - c * IQR, Q3 - c * IQR]$ are regarded as normal, where $c = 1.5$, and $IQR = Q3 - Q1$.

in the sensitivity of sensors, or by unrelated events occurring within the vicinity of a sensor.

2.3.2 Efficiency. The efficiency of anomaly detection methods is studied extensively in the literature. Due to real-time requirements, anomaly detection efficiency consists of training efficiency (i.e., *training time*) and testing efficiency (i.e., *testing time*), which indicate whether the methods can support frequent periodic training and real-time anomaly detection in streaming settings. The evaluation of efficiency depends on many different factors, such as the dataset size, the data dimensionality, and the choice of parameters, in addition to implementation aspects [26]. In the experiments (cf. Sec. 4.2), we evaluate the efficiency of different methods on datasets of varying size and dimensionality and with different parameter settings in a fair implementation environment.

3 EXPERIMENTAL SETUP

3.1 Datasets

We conduct experiments on nine publicly available datasets of different dimensions, stationarity, and sizes.

3.1.1 Univariate Datasets.

- (1) **NAB.** Numenta Anomaly Benchmark (NAB)⁵ is a benchmark for evaluating algorithms of anomaly detection in streaming, and real-time applications. It is comprised of 58 univariate real and artificial time series, with 1,000 to 22,000 vectors per time series. The time series are collected from a wide variety of applications, primarily focusing on real-time anomaly detection for streaming data [29], which range from network traffic monitoring and CPU utilization in cloud services to industrial machine operation monitoring and social media activities. For each time series, each vector is associated with a manually supplied Boolean outlier label, indicating whether the vector is an outlier. We remove the “machine_temperature_system_failure.csv” subset, which is unreadable, and use the remaining 57 subsets to conduct the experiments.
- (2) **S5.** Yahoo’s Webscope S5 (S5)⁶ consists of real and synthetic time series with tagged anomaly points. The dataset tests the detection accuracy of various anomaly types including outliers and change-points. S5 contains 371 time series that are organized into four groups, where two groups (i.e., *A1Benchmark* and *A2Benchmark*) are for outlier detection, and the remaining two groups are for change-point detection. We only use time series of the two outlier detection groups. These time series are univariate with lengths that range from 1,482 to 2,922. Similar to NAB, each vector in the time series has a Boolean outlier label.
- (3) **KPI.** The 2018 AIOps’s Key Performance Index (KPI)⁷ anomaly detection dataset consists of KPI time series data from many real scenarios of Internet companies with ground truth labels.

3.1.2 Multivariate Datasets.

- (1) **ECG.** The Electrocardiograph (ECG) dataset is from MIT-BIH Arrhythmia Database⁸, which contains 48 half-hour excerpts of two-channel ambulatory ECG recordings. ECG comprises seven two-dimensional time series from seven patients, where each time series has 3,750 to 5,400 observations, and the ground truth labels of anomaly observations are available.
- (2) **NYC.** The New York City (NYC) taxi passenger data stream was provided by the New York City Transportation Authority, which was preprocessed (aggregated at 30 minutes intervals) by Cui et al. [7].
- (3) **SMAP.** The Soil Moisture Active Passive satellite (SMAP) dataset, a public dataset from NASA [17], has a training and a testing dataset, where anomalies in each testing subset have been labeled. It has 55 subsets and includes 25-dimensional data, the anomaly ratio of which is 13.13%. The observations in the dataset are equally-spaced 1 minute apart, and we remove the “P2” subset since it is labeled twice.
- (4) **Credit.** In the Credit Card Fraud Detection (marked as Credit)⁹ dataset, anonymous credit card transactions are labeled as fraudulent or genuine. The dataset contains transactions made by credit cards in September 2013 by European card-holders. This dataset presents transactions occurred in two days, where we have 492 frauds out of 284,807 transactions. The dataset is highly unbalanced, the positive class (frauds) account for 0.172% of all transactions.
- (5) **SWaT.** For Secure Water Treatment (SWaT)¹⁰, the system takes 5–6 hours to reach stabilization. So we eliminate the first 21,600 instable samples generated in the first 5–6 hours.
- (6) **MSL.** Same with SMAP, the Mars Science Laboratory rover (MSL) dataset is also a public dataset from NASA [17]. It has 27 subsets and consists of 55-dimensional data, which has its own training set and testing set. The anomaly ratio is 10.72%. The observations in the dataset are equally-spaced 1 minute apart, and we remove the “P2” subset since it is labeled twice.

Dataset statistics are provided in Tables 4 and 5. As datasets NAB, S5, ECG, and Credit do not specify their training and testing data, we use the first 70% of the data for training, and the rest for testing. KPI, NYC, SMAP, SWaT, and MSL have specified training and testing sets. For all datasets, the last 30% of the training set is chosen as the validation set to train DL methods by generating validation errors, which is illustrated in Sec. 3.2.2. The stationarity of the subsets in NAB is shown in Table 5, which are group according to their applications and stationarity. Since the stationarity of the subsets in NAB varies, we choose four stationary subsets including “NAB-art-stationary”, “NAB-cpu-stationary”, “NAB-ec2-stationary”, and “NAB-elb-stationary” and four non-stationary subsets including “NAB-ambient-nonstationary”, “NAB-ec2-nonstationary”, “NAB-exchange-nonstationary”, and “NAB-grok-nonstationary” for use in experiments. The subsets of each dataset represent different applications and are trained separately.

⁵<https://github.com/numenta/NAB>

⁶<https://webscope.sandbox.yahoo.com/>

⁷<https://github.com/NetManAIOps/KPI-Anomaly-Detection>

⁸<https://physionet.org/content/mitdb/1.0.0/>

⁹<http://www.ulb.ac.be/di/map/adalpozz/data/creditcard.Rdata>

¹⁰<http://itrust.sutd.edu.sg/research/dataset>

Table 4: Statistics of Datasets

Name	Subset count	Training set cardinality	Testing set cardinality	Anomaly ratio, training set (%)	Anomaly ratio, testing set (%)
NAB	57	239,982	102,881	8.5	10.36
S5	167	165,763	71,203	0.66	1.47
KPI	1	2,102,846	901,220	3.29	1.14
ECG	7	21,838	9,364	4.51	5.75
NYC	1	13,104	4,416	5.07	2.24
SMAP	55	135,183	427,617	0	13.13
Credit	1	199,364	85,443	0.19	0.13
SWaT	1	475,200	449,919	0	12.14
MSL	27	58,317	73,729	0	10.72

3.2 Methods Compared

Based on the taxonomy in Table 2, we select thirteen state-of-the-art methods for time series anomaly detection, covering both traditional and DL methods. We have tried to establish fair comparisons among the methods by setting the main hyperparameters using a grid search method (i.e., setting the hyperparameters to several typical values) and maintaining other hyperparameters at their default settings (as in the original studies) or by keeping the settings as consistent across the methods as possible.

3.2.1 Traditional Methods. The traditional methods include non-learning (LOF and MP) and classical learning (e.g., ISF and OC-SVM) methods.

In LOF [1], we vary the number of neighbors among 10, 20, 30, 40, and 50, and the default value is 50. The leaf size is set to 50.

In MP [48], we vary the subsequence length among 16, 32, 64, 128, and 256, where the default value is 128.

In ISF [33], we vary the number of base estimators among 20, 40, 60, 80, and 100, and the default value is 100.

In OC-SVM [37], the upper bound on the fraction of training errors is set to 0.1, and the tolerance for the stopping criterion is $1e - 4$.

Table 5: Dimensionality and Stationarity of Datasets

Name	Dimensionality	Stationarity
NAB	NAB-art-stationary	1 Stationary
	NAB-cpu-stationary	1 Stationary
	NAB-ec2-stationary	1 Stationary
	NAB-elb-stationary	1 Stationary
	NAB-nyc-stationary	1 Stationary
	NAB-occupancy-stationary	1 Stationary
	NAB-rds-stationary	1 Stationary
	NAB-rogue-stationary	1 Stationary
	NAB-speed-stationary	1 Stationary
	NAB-TravelTime-stationary	1 Stationary
	NAB-Twitter-stationary	1 Stationary
	NAB-exchange-stationary	1 Stationary
	NAB-ambient-nonstationary	1 Non-stationary
	NAB-ec2-nonstationary	1 Non-stationary
	NAB-exchange-nonstationary	1 Non-stationary
NAB-grok-nonstationary	1 Non-stationary	
NAB-rds-nonstationary	1 Non-stationary	
NAB-iio-nonstationary	1 Non-stationary	
NAB-rogue-nonstationary	1 Non-stationary	
S5	1 Non-stationary	
KPI	1 Non-stationary	
ECG	2 Non-stationary	
NYC	3 Non-stationary	
SMAP	25 Non-stationary	
Credit	29 Non-stationary	
SWaT	51 Non-stationary	
MSL	55 Non-stationary	

3.2.2 DL Methods. We particularly focus on the Deep Learning (DL) methods that represent the recent state of the art in the following.

- (1) **CNN-AE.** CNN-AE is a 1D CNN autoencoder.

Table 6: Hyperparameter Settings of DL Methods

Hyperparameters	Settings
Learning rate	$1e - 3$
Maximum epochs	200
Milestone epochs ¹¹	50
Decay rate of learning rate	0.95
Batch size	64
Weight decay ¹²	$1e - 8$
Gradient clip ¹³	10
Validation loss difference	$3e - 4$
Patience	10

- (2) **2DCNN-AE.** 2DCNN-AE [27] also takes time series as images and uses a 2D CNN autoencoder to reconstruct image.
- (3) **LSTM-AE.** LSTM-AE [35] is a combination of a LSTM and an autoencoder.
- (4) **HIFI.** HIFI [8] is a Transformer-based anomaly detection model for multivariate time series with High-order Feature Interactions (HIFI).
- (5) **RN.** Rand Net (RN) [5] adopts feedforward autoencoder ensembles for non-sequential data.
- (6) **RAE.** RAE [21] is an ensemble-based model that relies on the availability of multiple RNN autoencoders with an independent framework training multiple autoencoders independently in a multi-task learning fashion.
- (7) **Omni.** Omni [44] is a VAE-based model that adopts the stochastic variable connection and planar normalizing flow to reconstruct input data.
- (8) **BeatGAN.** BeatGAN [50] employs the GAN architecture to reconstruct data.
- (9) **LSTM-NDT.** LSTM-NDT [17] is a prediction-based model, which uses LSTM to predict data based on the historical observations.

For a fair comparison, the main hyperparameters for the DL methods have the same settings, shown in Table 6.

Following grid search, we vary both hidden sizes and sliding window sizes among 16, 32, 64, 128, and 256, whose default values are 64 and 128, respectively, indicating that there are $5 * 5$ hyperparameter combinations. 2DCNN-AE and RN run out of memory in certain combinations, such as when the hidden size and the slide window size are both set to 256. We therefore ignore their results for these settings.

Training process. We train each model based on the validation set using early stopping. For each hyperparameter combination in a model, we proceed as follows.

- 1) train a model on the training set and record the validation errors (i.e., the reconstruction or prediction errors) of the trained model on the validation set in each epoch;
- 2) when the difference between the current validation error and current minimal validation error is below the validation loss difference (i.e., $3e - 4$) for successive 10 times (i.e., *Patience* = 10), or the maximum number of epochs is reached (i.e., 200), the training stops;
- 3) we use the parameters with the least validation error as the final parameters.

¹¹Epochs of learning rate decay

¹²Weight decay is to prevent overfitting

¹³Gradient clip is to prevent gradient exploding

3.3 Metrics

Precision, Recall, F1 score, ROC-AUC, and PR-AUC. When a threshold is given, we use *precision*, *recall*, and *F1 score* to evaluate the detection accuracy. As does the AnomalyBech [18], we use three unsupervised threshold selection methods, i.e., SD, MAD and IQR, which are covered in Sec. 2.3.1. We apply these thresholds to the testing set and report the one with the best *F1 score*, based on which *precision* and *recall* are also reported. When no thresholds are given, *ROC-AUC* and *PR-AUC* are used to evaluate detection accuracy. The anomaly score of each method is normalized to the unit interval using *min-max* scaling.

Recommendation Metric (RM). For the accuracy and robustness results, we adopt Box-plots to show the distribution of detection accuracy results obtained for different hyperparameter combinations (cf. Figs. 1–10) or different noise proportions (cf. Fig. 11) for different datasets, where red dots indicate mean values, boxes show quartiles of results, and whiskers extend to show the rest of the distributions. The ranges of the whiskers are $[\max\{Min, Q1 - 3 * IQR\}, Q1]$ and $[Q3, \min\{Max, Q3 + 3 * IQR\}]$, where *Min* and *Max* are the minimum and maximum values, respectively. Next, *IQR* is the difference between the values ranking in 25% (denoted by *Q1*, the lower quartile) and 75% (denoted by *Q3*, the upper quartile) among the full results, i.e., $IQR = Q3 - Q1$, which denotes the box width in the Box-plots.

For method recommendation, two aspects are considered: the best performance a method can achieve and how hard it is to achieve the best performance. We introduce a recommendation metric, *RM*, for selecting suitable methods considering these two aspects.

$$RM = \frac{Max}{IQR * (Max - Median) + 1}, \quad (11)$$

where *Max* is the best result a method can obtain and *Median* is the median across all results. Then, *IQR* and $Max - Median$ indicate how hard it is to achieve the best result, and a larger $IQR * (Max - Median)$ value indicates a higher difficulty to find the optimal hyperparameter configuration that achieves the best result. Therefore, a higher *RM* value means that the method is more likely to achieve better performance more easily.

Training and Testing Time. For efficiency, *training* and *testing time* are used, where *training time* is the average training time of each epoch, and *testing time* is the average testing time across the whole testing set.

3.4 Other Implementation Details

All methods are implemented in *Python 3.7.9*. LOF, ISF, and OC-SVM are implemented using *Scikit-learn 1.19*, while the DL methods are implemented using *PyTorch (v1.7.0 with Python 3.7.9)*. All experiments are run on a Linux (Ubuntu 16.04) machine with an NVIDIA GeForce RTX 3080 10GB and 256G memory.

4 EXPERIMENTAL RESULTS

We report on the outcomes of a study of effectiveness and efficiency of the representative methods according to the proposed taxonomies for data, methods, and evaluation strategies. We provide three tables (cf. Tables 7–9) that aim to guide users in selecting suitable methods according to the data setting (with different dimensionality and

stationarity) and performance needs (including accuracy, robustness, and training and testing time).

4.1 Effectiveness

4.1.1 Accuracy. We report the detection accuracy results obtained with different hyperparameter combinations.

Experiment 1: Univariate vs. Multivariate Data. To study the accuracy of the methods on datasets with different dimensions, we report the *precision*, *recall*, *F1 score*, *ROC-AUC*, and *PR-AUC* on eight non-stationary datasets with different dimensions in Figs. 1–5.

According to the best results the methods can achieve on these eight non-stationary datasets, we give an overall performance analysis in Table 7, which compares the traditional (TR) and deep learning (DL) methods, the different TR methods, and the different DL methods. We also give the average recommendation metric (*RM*) sorting of different methods in Table 7.

For brevity, we use shorthands to denote types of methods, e.g., we use “Classification” to denote classification-based method, and use the label, “>”, to denote “outperforms”, e.g., “Classification > Density” means that the classification-based methods outperform the density-based methods. Table 7 shows that for univariate datasets (i.e., S5 and KPI), the TR and DL methods are neck to neck in terms of obtaining the best *precision*; when comparing the TR methods, the classification-based method (OC-SVM) outperforms the density-based method (LOF), followed by the similarity-based method (MP); and when comparing the DL methods, the prediction-based method outperforms the reconstruction-based methods in most cases, as shown in Figs. 1(a) and 1(b). We also observe that in some cases, the TR methods are much less sensitive to hyperparameters compared with the DL methods, which is mainly because the DL methods have more hyperparameters, making them harder to train. Another reason is that we report the results for the TR methods using only 1 or 5 hyperparameter combinations, while we report the results for the DL methods using more hyperparameter combinations (cf. Sec. 3.2). Furthermore, we report the average *RM* sorting for different methods in descending order. The methods have different performance on the datasets with different dimensionality, and Table 7 provides guidance on method selection accordingly.

Experiment 2: Stationary vs. Non-stationary. To study the accuracy of the methods on datasets with different stationarity, we use four stationary and four non-stationary subsets from NAB (shown in Table 5) and report *precision*, *recall*, *F1 score*, *ROC-AUC*, and *PR-AUC* in Figs. 6–10. We also give a comprehensive analysis in Table 8, which consists of an overall performance analysis and an *RM* sorting. Methods have different performance under different stationarity. For example, the TR and the DL methods exhibit similar performance on stationary datasets in terms of *precision*, while the DL methods perform better than the TR methods on non-stationary datasets.

4.1.2 Robustness. Robustness captures the ability of a method to maintain its performance in the face of noisy data. Here, we fix the hyperparameters to the default values (e.g., the hidden size is set to 64, and window size is set to 128 for the DL methods) and evaluate the robustness of all methods on NAB and MSL by changing the percentage (i.e., 1%, 2%, 3%, 4%, and 5%) of background noise. Recall that NAB is an univariate dataset consisting

of both non-stationary and stationary data and that MSL is a multivariate dataset containing only non-stationary data. We design a simple negative sampling method to generate out-of-range background noise. Specifically, given a set of positive k -dimensional time series samples $T = \langle S_1, S_2, \dots, S_n \rangle$, there are sufficient positive samples (normal observations) in the datasets, and only few negative samples, or anomalies, are expected. The probability that any point drawn from the time series is normal is nearly one. Therefore, we regard range $[\min\{S^j\}, \max\{S^j\}]$ as the normal range for the j th dimension ($1 \leq j \leq k$), where $\min\{S^j\}$ and $\max\{S^j\}$ denote the minimum and maximum values of the j th dimension, and all values are normalized to the unit range. We generate negatives in ranges that are slightly outside the normal range. Specifically, the values in the j th dimension of negative samples are chosen independently and uniformly from ranges $[\min\{S^j\} - \delta, \min\{S^j\})$ and $(\max\{S^j\}, \max\{S^j\} + \delta]$, where δ is a small positive number (set to 0.05).

We give the robustness analysis based on all the accuracy metrics in Table 9, consisting of an overall performance analysis in terms of box width and a box width sorting, where the box width is used to show the robustness, i.e., the smaller the box width for a method, the more robust the method is. The TR and DL methods exhibit neck to neck robustness performance. In TR methods, the density and partition based methods are robust, and in most cases, the prediction-based method is more robust than the reconstruction-based ones.

4.2 Efficiency

In this section, we still fix the hyperparameters at their default values and report the anomaly detection efficiency, including *training* and *testing time*, on NAB and MSL in Fig. 12. Omni incurs the highest training time on both datasets (cf. Figs. 12(a) and 12(b)) since it adopts planar Normalizing Flow [41], which is time-consuming because it uses a series of invertible mappings to learn non-Gaussian posterior distributions in a latent stochastic space. This is also the reason why the testing time of Omni is relatively high—cf. Figs. 12(c) and 12(d). RN and RAE spend long training times since they adopt ensemble techniques. RAE consumes more time for training than RN since it adopts recurrent layers (i.e., RNN) that are trained recurrently, while RN uses linear layers that are trained directly without recursion. Due to the two factors, i.e., adopting ensemble techniques and recurrent layers, RAE has high testing time. Without training, MP has the longest testing time on MSL, a 55-dimensional dataset. This occurs because the computational complexity of MP depends on the dimensionality. The overall performance analysis and method recommendation are shown in Table 9, from which we can see that all methods except RN, RAE, and Omni are suitable for applications that need frequent periodic training, and all methods except MP, RAE, and Omni can support online anomaly detection applications.

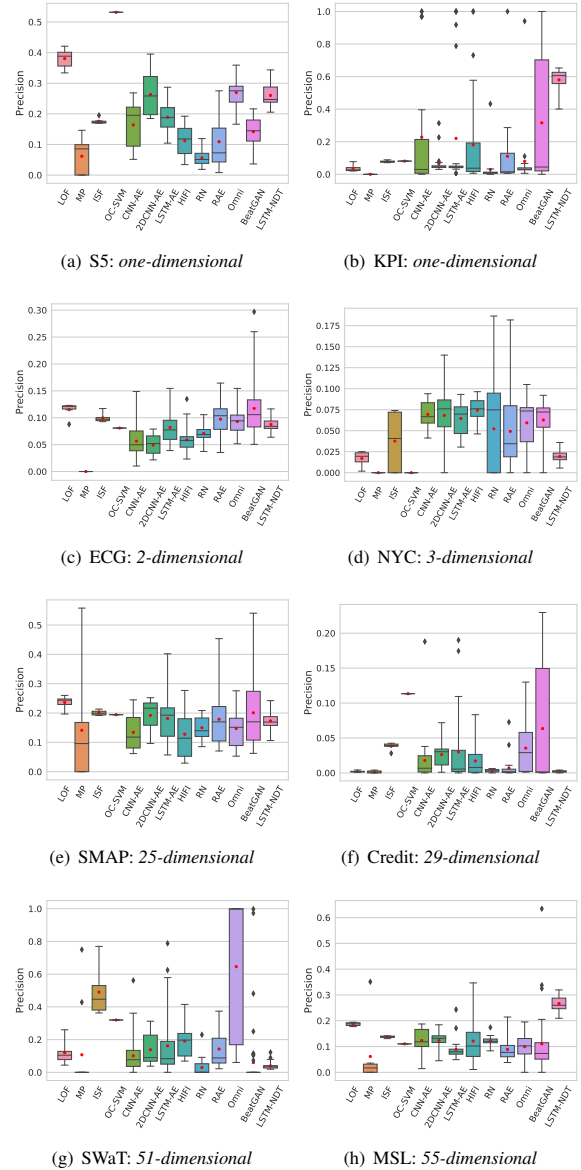


Figure 1: Precision (Univariate vs. Multivariate)

4.3 The Whole Experimental Results

We give the whole results in Tables 10–72, where “-1” denotes that no result is returned since the method runs out of memory.

Table 7: Accuracy Analysis (Univariate vs. Multivariate)

Analysis		Dataset		One-dimensional ($D = 1$)	Low-dimensional ($D \in (1, 10)$)	Intermediate-dimensional ($D \in (10, 50)$)	High-dimensional ($D > 50$)
		Metric					
Precision (cf. Fig. 1)	Overall performance (best results)	TR vs. DL		They are neck to neck.	In most cases, DL > TR.	They are neck to neck.	They are neck to neck.
		TR		Classification > Density > Similarity.	Density and Partition > Similarity and Classification.	All TR methods are neck to neck.	Partition > Classification.
		DL		In most cases, Prediction > Reconstruction.	All DL methods are neck to neck.	In most cases, Reconstruction > Prediction; GAN > other Reconstruction.	All DL methods are neck to neck.
	RM sorting (descendingly)		Omni, LSTM-AE, RAE, CNN-AE, HIFI, LSTM-NDT, BeatGAN, 2DCNN-AE, OC-SVM, RN, LOF, ISF, MP	BeatGAN, RAE, RN, Omni, LSTM-AE, CNN-AE, HIFI, 2DCNN-AE, ISF, LSTM-NDT, LOF, OC-SVM, MP	BeatGAN, LSTM-AE, MP, RAE, Omni, CNN-AE, HIFI, 2DCNN-AE, OC-SVM, LOF, ISF, LSTM-NDT, RN	BeatGAN, Omni, MP, LSTM-AE, ISF, HIFI, CNN-AE, RAE, 2DCNN-AE, LOF, LSTM-NDT, OC-SVM, RN	
Recall (cf. Fig. 2)	Overall performance (best results)	TR vs. DL		They are neck to neck.	They are neck to neck.	They are neck to neck.	They are neck to neck.
		TR		Density and Partition > Similarity and Classification.	Density is the best.	Partition > Density > Similarity	In most cases, Density is the best.
		DL		In most cases, AE and VAE > GAN.	In most cases, GAN > other Reconstruction.	In most cases, VAE > GAN and Transformer.	All DL methods are neck to neck.
	RM sorting (descendingly)		LOF, RAE, Omni, LSTM-AE, ISF, 2DCNN-AE, OC-SVM, HIFI, CNN-AE, LSTM-NDT, RN, BeatGAN, MP	BeatGAN, RAE, LSTM-AE, Omni, RN, LSTM-NDT, CNN-AE, LOF, HIFI, 2DCNN-AE, ISF, OC-SVM, MP	ISF, 2DCNN-AE, OC-SVM, Omni, LSTM-AE, BeatGAN, CNN-AE, HIFI, RN, RAE, LOF, LSTM-NDT, MP	Omni, BeatGAN, LOF, 2DCNN-AE, RN, LSTM-NDT, LSTM-AE, HIFI, OC-SVM, ISF, CNN-AE, RAE, MP	
F1 Score (cf. Fig. 3)	Overall performance (best results)	TR vs. DL		They are neck to neck.	They are neck to neck.	They are neck to neck.	They are neck to neck.
		TR		Similarity is the worst.	Density > Partition > Similarity and Classification.	Partition > Density > Similarity	Similarity is the worst.
		DL		In most cases, Transformer > GAN.	In most cases, GAN > Prediction.	All DL methods are neck to neck.	In most cases, VAE > AE.
	RM sorting (descendingly)		2DCNN-AE, OC-SVM, LOF, LSTM-NDT, CNN-AE, Omni, RAE, ISF, LSTM-AE, HIFI, BeatGAN, RN, MP	BeatGAN, RAE, Omni, RN, LSTM-AE, HIFI, LOF, LSTM-NDT, CNN-AE, 2DCNN-AE, ISF, OC-SVM, MP	BeatGAN, LSTM-AE, 2DCNN-AE, CNN-AE, Omni, OC-SVM, ISF, LSTM-NDT, RAE, RN, HIFI, LOF, MP	Omni, BeatGAN, ISF, OC-SVM, LOF, LSTM-NDT, 2DCNN-AE, RAE, HIFI, RN, CNN-AE, LSTM-AE, MP	
ROC-AUC (cf. Fig. 4)	Overall performance (best results)	TR vs. DL		They are neck to neck.	They are neck to neck.	They are neck to neck.	They are neck to neck.
		TR		Density and Partition > Similarity and Classification.	Similarity is the worst.	In most cases, Partition > Density and Similarity.	In most cases, CL > NL.
		DL		In most cases, Prediction > Reconstruction; VAE > GAN.	All DL methods are neck to neck.	All DL methods are neck to neck.	In most cases, Transformer and VAE > GAN.
	RM sorting (descendingly)		ISF, LSTM-NDT, 2DCNN-AE, Omni, RAE, LOF, HIFI, OC-SVM, CNN-AE, LSTM-AE, BeatGAN, RN, MP	OC-SVM, RAE, BeatGAN, HIFI, ISF, Omni, LSTM-AE, CNN-AE, RN, 2DCNN-AE, LSTM-NDT, LOF, MP	ISF, OC-SVM, 2DCNN-AE, Omni, LSTM-AE, HIFI, RAE, CNN-AE, LOF, RN, BeatGAN, MP, LSTM-NDT	Omni, ISF, HIFI, CNN-AE, LOF, OC-SVM, BeatGAN, 2DCNN-AE, RAE, LSTM-AE, RN, LSTM-NDT, MP	
PR-AUC (cf. Fig. 5)	Overall performance (best results)	TR vs. DL		They are neck to neck.	They are neck to neck.	They are neck to neck.	They are neck to neck.
		TR		All TR methods are neck to neck.	All TR methods are neck to neck.	Partition > Density.	Classification > Density.
		DL		In most cases, Prediction > Reconstruction.	In most cases, Reconstruction > Prediction.	In most cases, GAN > Transformer.	All DL methods are neck to neck.
	RM sorting (descendingly)		CNN-AE, LOF, ISF, OC-SVM, 2DCNN-AE, LSTM-NDT, Omni, MP, LSTM-AE, RAE, HIFI, BeatGAN, RN	RAE, CNN-AE, BeatGAN, HIFI, LSTM-AE, RN, Omni, LOF, ISF, 2DCNN-AE, OC-SVM, LSTM-NDT, MP	LSTM-AE, BeatGAN, 2DCNN-AE, Omni, CNN-AE, HIFI, OC-SVM, MP, RAE, ISF, LSTM-NDT, RN, LOF	BeatGAN, Omni, RN, CNN-AE, HIFI, OC-SVM, ISF, RAE, LSTM-AE, LOF, 2DCNN-AE, MP, LSTM-NDT	

Table 8: Accuracy Analysis (Stationary vs. Non-stationary)

Analysis		Dataset		Stationary	Non-stationary
		Metric			
Precision (cf. Fig. 6)	Overall performance (best results)	TR vs. DL		They are neck to neck.	In most cases, DL > TR.
		TR		Partition and Classification > Density.	Similarity is the worst.
		DL		In most cases, GAN > VAE.	In most cases, Reconstruction > Prediction.
	RM sorting (descendingly)		BeatGAN, CNN-AE, 2DCNN-AE, HIFI, LSTM-AE, Omni, RN, RAE, LSTM-NDT, OC-SVM, ISF, MP, LOF	LSTM-AE, BeatGAN, CNN-AE, RN, RAE, HIFI, 2DCNN-AE, Omni, OC-SVM, LSTM-NDT, ISF, LOF, MP	
Recall (cf. Fig. 7)	Overall performance (best results)	TR vs. DL		In most cases, DL > TR.	They are neck to neck.
		TR		In most cases, Density > Similarity and Classification.	Partition and Density > Similarity.
		DL		All DL methods are neck to neck.	All DL methods are neck to neck.
	RM sorting (descendingly)		BeatGAN, CNN-AE, Omni, RN, 2DCNN-AE, LSTM-NDT, LSTM-AE, HIFI, RAE, LOF, ISF, OC-SVM, MP	RN, RAE, HIFI, 2DCNN-AE, LSTM-NDT, CNN-AE, BeatGAN, ISF, LOF, Omni, LSTM-AE, OC-SVM, MP	
F1 Score (cf. Fig. 8)	Overall performance (best results)	TR vs. DL		They are neck to neck.	They are neck to neck.
		TR		Density > Similarity; Partition > Classification.	Partition > Similarity and Classification; Density > Similarity.
		DL		All DL methods are neck to neck.	All DL methods are neck to neck.
	RM sorting (descendingly)		BeatGAN, 2DCNN-AE, RN, CNN-AE, LSTM-NDT, Omni, HIFI, RAE, LSTM-AE, ISF, LOF, OC-SVM, MP	HIFI, 2DCNN-AE, RAE, BeatGAN, RN, CNN-AE, LSTM-NDT, Omni, ISF, LSTM-AE, LOF, OC-SVM, MP	
ROC-AUC (cf. Fig. 9)	Overall performance (best results)	TR vs. DL		They are neck to neck.	They are neck to neck.
		TR		All TR methods are neck to neck.	All TR methods are neck to neck.
		DL		All DL methods are neck to neck.	In most cases, Reconstruction > Prediction.
	RM sorting (descendingly)		BeatGAN, 2DCNN-AE, HIFI, CNN-AE, Omni, RN, LSTM-NDT, RAE, ISF, LSTM-AE, LOF, OC-SVM, MP	BeatGAN, HIFI, RN, CNN-AE, 2DCNN-AE, RAE, LSTM-NDT, LSTM-AE, MP, Omni, ISF, LOF, OC-SVM	
PR-AUC (cf. Fig. 10)	Overall performance (best results)	TR vs. DL		They are neck to neck.	They are neck to neck.
		TR		All TR methods are neck to neck.	All TR methods are neck to neck.
		DL		All DL methods are neck to neck.	In most cases, Reconstruction > Prediction.
	RM sorting (descendingly)		BeatGAN, CNN-AE, 2DCNN-AE, HIFI, RN, LSTM-NDT, Omni, LSTM-AE, RAE, ISF, MP, OC-SVM, LOF	HIFI, 2DCNN-AE, BeatGAN, CNN-AE, RAE, RN, LSTM-AE, Omni, LSTM-NDT, MP, ISF, OC-SVM, LOF	

A Comparative Study on Unsupervised Anomaly Detection for Time Series: Experiments and Analysis

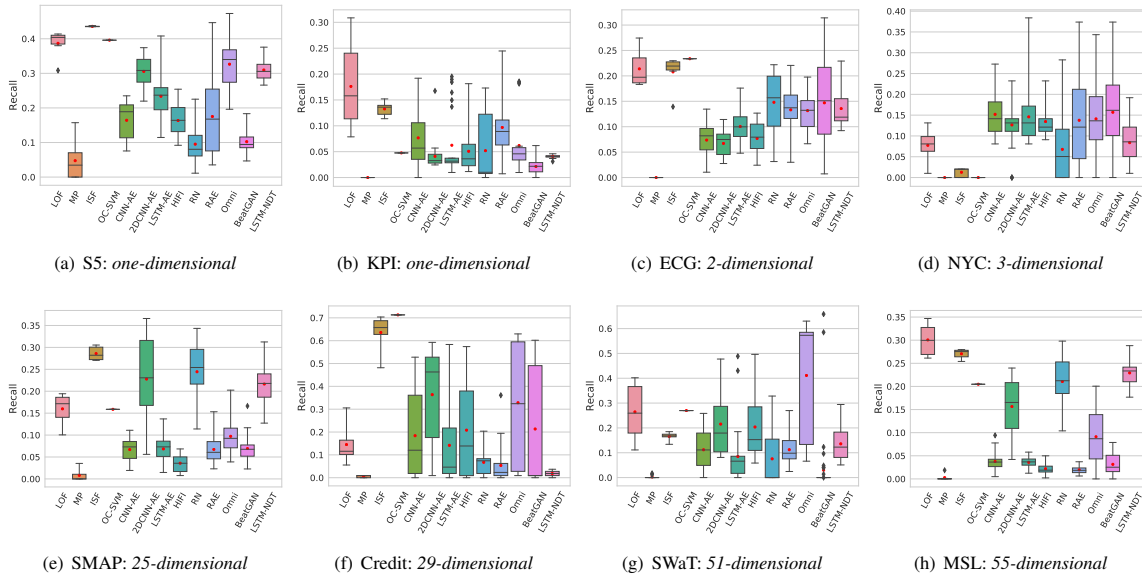


Figure 2: Recall (Univariate vs. Multivariate)

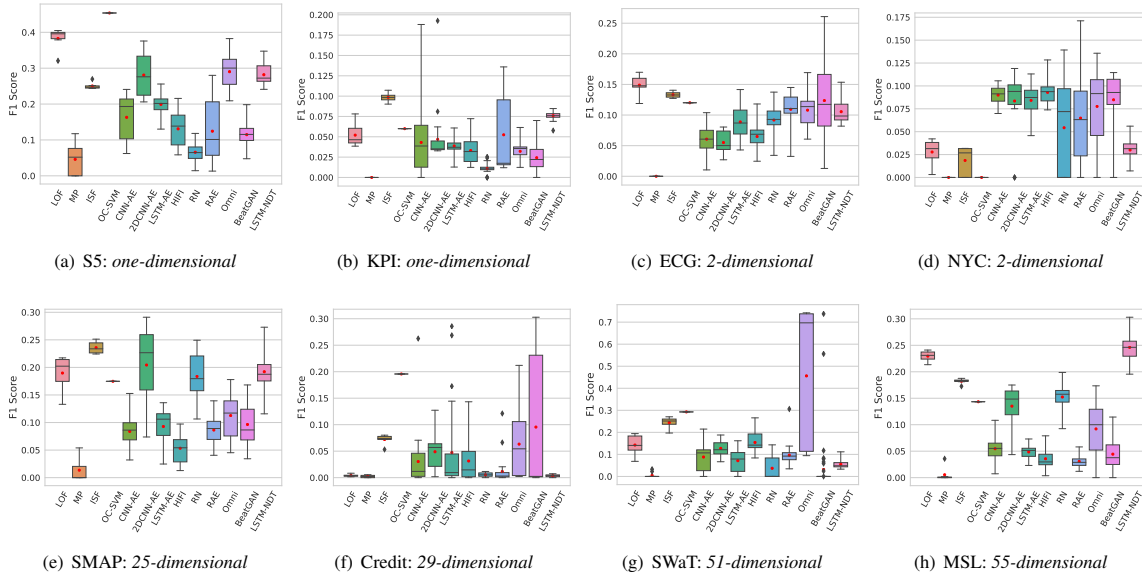


Figure 3: F1 Score (Univariate vs. Multivariate)

Table 9: Robustness and Efficiency Analysis

Robustness (cf. Fig. 11)	Overall performance	TR vs. DL	They are neck to neck.
	performance (box width)	TR	The density and partition based methods are robust, which means that their detection performance is not affected by noise.
		DL	In most cases, Prediction is more robust than Reconstruction.
	Box width sorting (ascending)		LOF, ISF, RN, LSTM-NDT, LSTM-AE, RAE, Omni, OC-SVM, CNN-AE, 2DCNN-AE, MP, HIFI, BeatGAN
Training efficiency (cf. Fig. 12)	Overall performance		
	Method recommendation		
Testing efficiency (cf. Fig. 12)	Overall performance		
	Method recommendation		

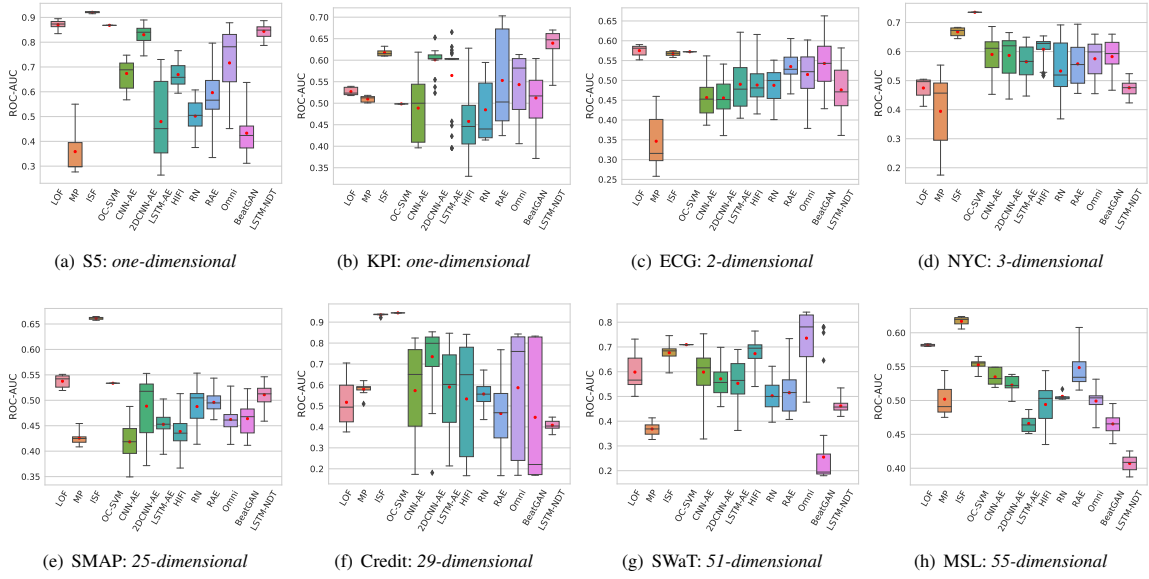


Figure 4: ROC-AUC (Univariate vs. Multivariate)

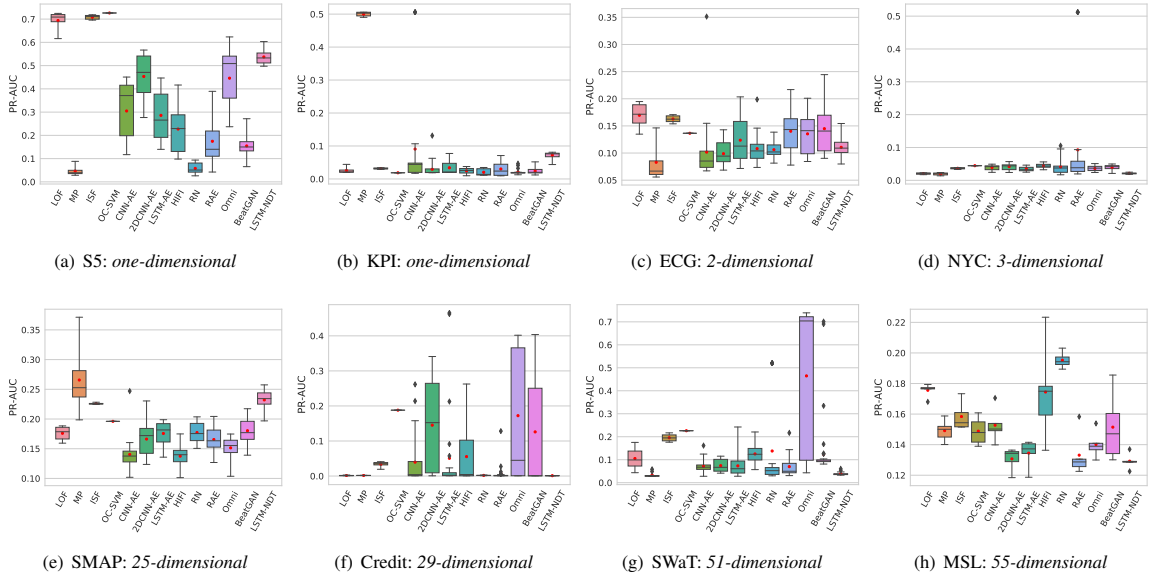


Figure 5: PR-AUC (Univariate vs. Multivariate)

A Comparative Study on Unsupervised Anomaly Detection for Time Series: Experiments and Analysis

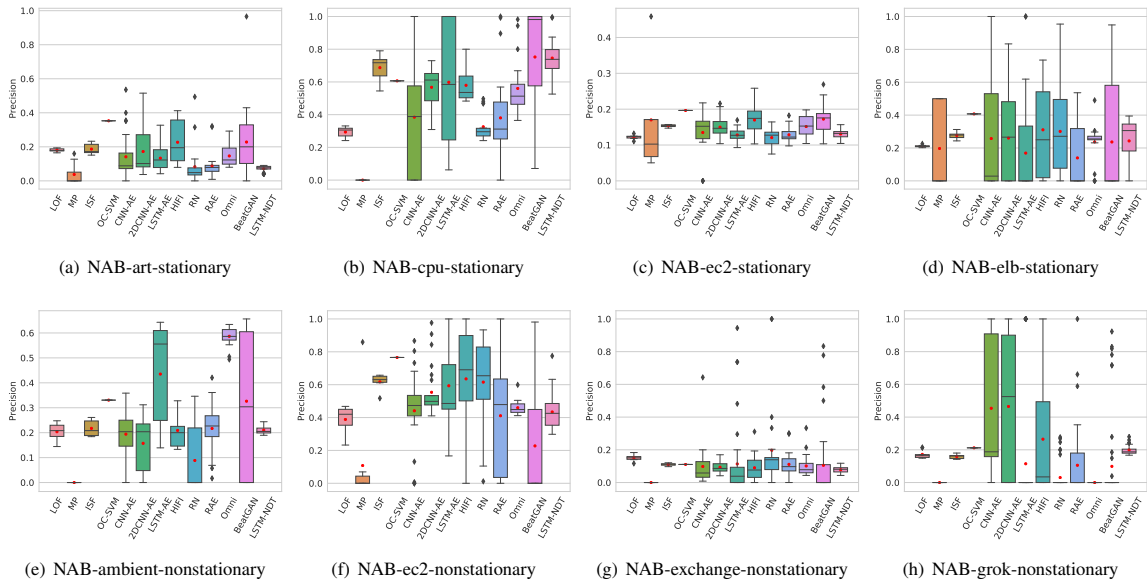


Figure 6: Precision (Stationary vs. Non-stationary)

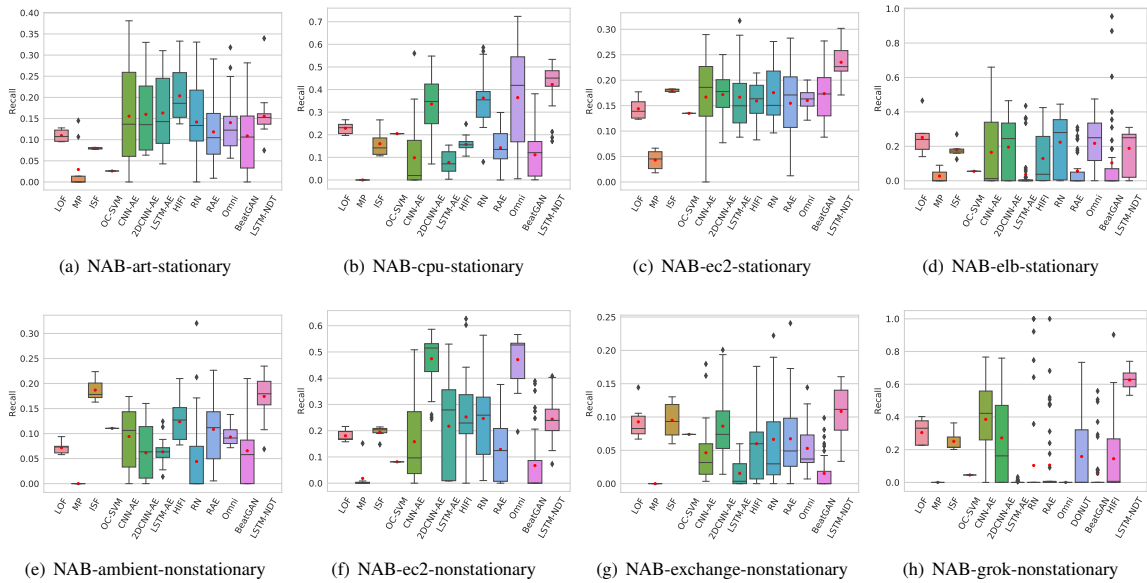


Figure 7: Recall (Stationary vs. Non-stationary)

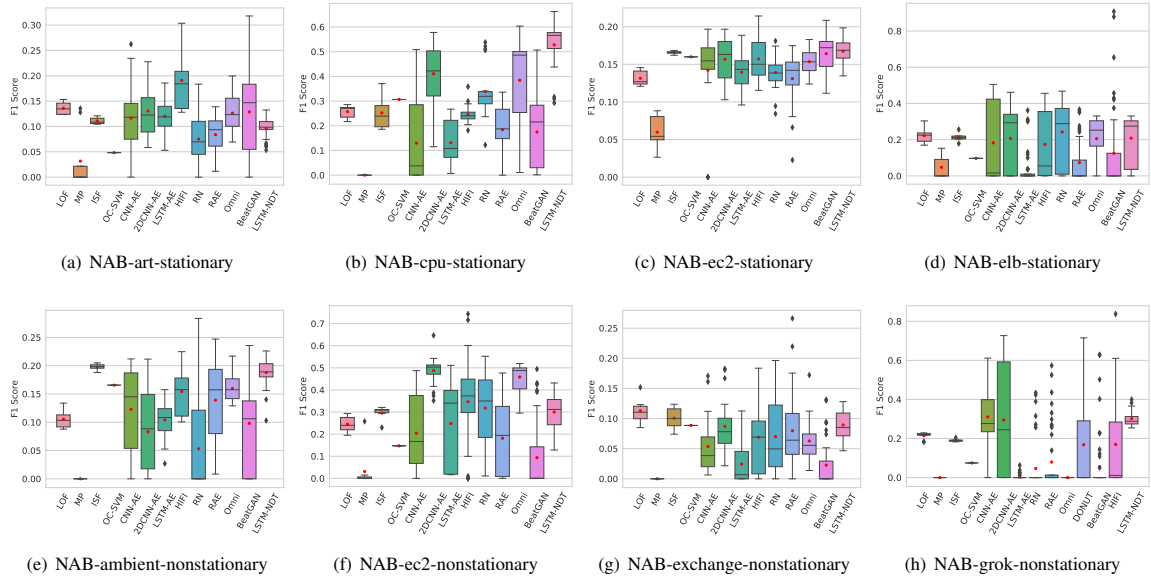


Figure 8: F1 Score (Stationary vs. Non-stationary)

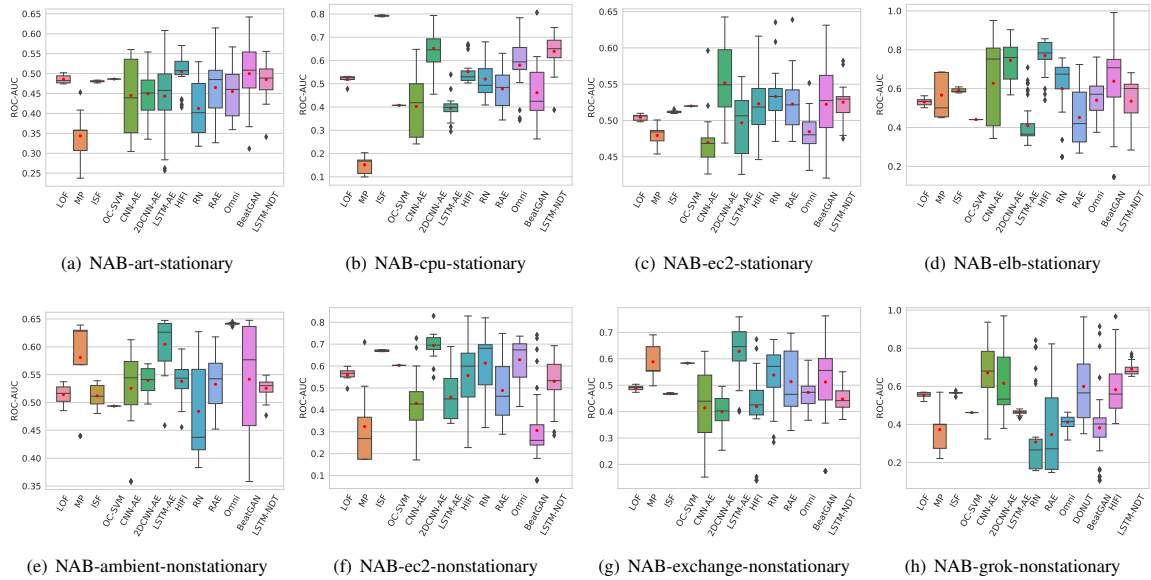


Figure 9: ROC-AUC (Stationary vs. Non-stationary)

A Comparative Study on Unsupervised Anomaly Detection for Time Series: Experiments and Analysis

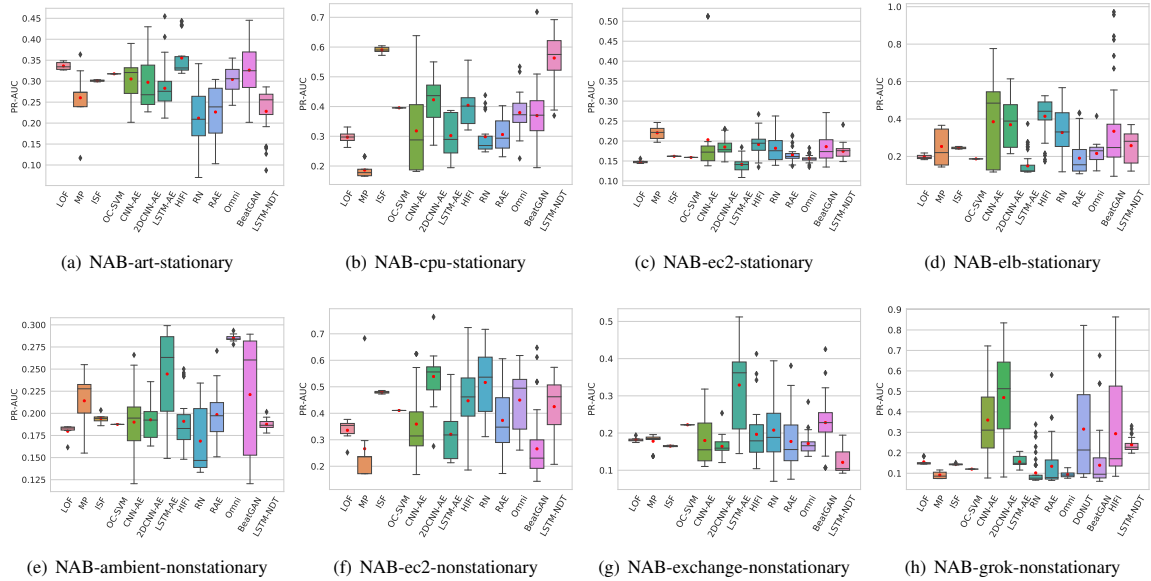


Figure 10: PR-AUC (Stationary vs. Non-stationary)

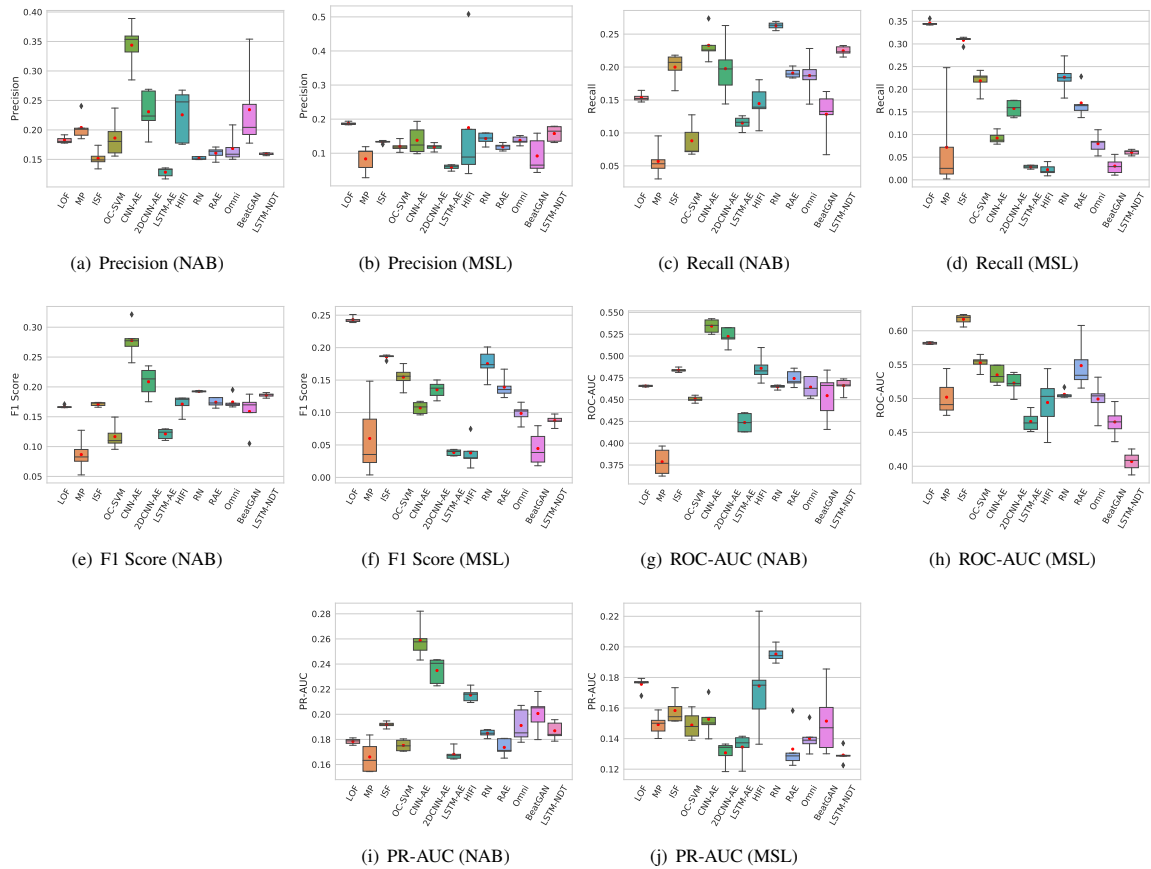


Figure 11: Robustness

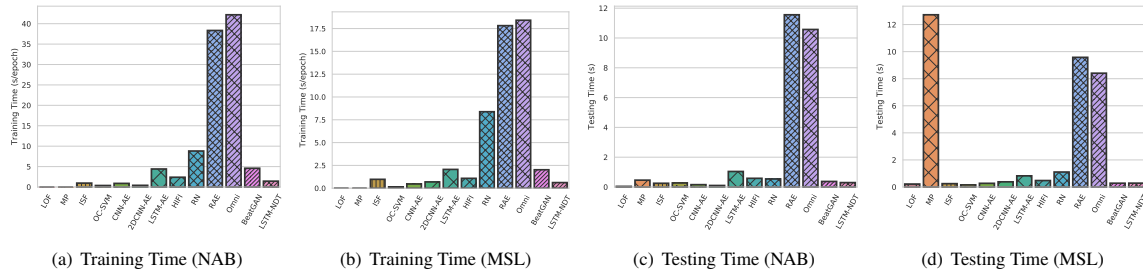


Figure 12: Efficiency

Table 10: Results of LOF (Univariate vs. Multivariate)

n_neighbors	NAB					S5					KPI				
	Pre	Rec	F1	ROC	PR	Pre	Rec	F1	ROC	PR	Pre	Rec	F1	ROC	PR
10	0.1715	0.1051	0.1303	0.5068	0.2139	0.3338	0.3084	0.3206	0.8345	0.6162	0.0776	0.0787	0.0781	0.5178	0.0442
20	0.19	0.1075	0.1373	0.5192	0.2192	0.4208	0.3799	0.3993	0.86	0.6841	0.0412	0.1135	0.0604	0.5219	0.027
30	0.1993	0.1188	0.1489	0.5181	0.2194	0.4006	0.3991	0.3999	0.871	0.7031	0.029	0.1559	0.0489	0.5252	0.0215
40	0.1978	0.1301	0.1569	0.5211	0.2199	0.4013	0.4087	0.4049	0.8757	0.7145	0.0254	0.16	0.0439	0.52	0.0206
50	0.1986	0.1415	0.1652	0.5218	0.2212	0.3758	0.4106	0.3924	0.8862	0.7212	0.0233	0.2404	0.0425	0.537	0.0207
	ECG					NYC					SMAP				
	Pre	Rec	F1	ROC	PR	Pre	Rec	F1	ROC	PR	Pre	Rec	F1	ROC	PR
10	0.088	0.1832	0.1188	0.5518	0.1348	0.0019	0.0101	0.0032	0.4116	0.0173	0.1968	0.1005	0.133	0.5193	0.1594
20	0.1148	0.2009	0.1461	0.5598	0.1519	0.0115	0.0606	0.0193	0.4356	0.018	0.2251	0.1345	0.1684	0.5218	0.1639
30	0.1204	0.1838	0.1455	0.5769	0.1653	0.0173	0.0707	0.0278	0.493	0.0207	0.2485	0.1584	0.1935	0.5378	0.1738
40	0.1217	0.1937	0.1495	0.5903	0.1777	0.0251	0.1313	0.0421	0.5002	0.0219	0.2601	0.1866	0.2173	0.5465	0.1835
50	0.1222	0.2469	0.1634	0.586	0.1928	0.0243	0.101	0.0392	0.5026	0.0225	0.2459	0.1847	0.211	0.5485	0.1869
	Credit					SWaT					MSL				
	Pre	Rec	F1	ROC	PR	Pre	Rec	F1	ROC	PR	Pre	Rec	F1	ROC	PR
10	0.0008	0.0556	0.0017	0.3759	0.001	0.044	0.1547	0.0685	0.5004	0.0435	0.1943	0.2613	0.2228	0.5583	0.191
20	0.0012	0.1019	0.0025	0.4135	0.0011	0.0822	0.266	0.1256	0.5466	0.0673	0.1797	0.2626	0.2134	0.5686	0.1852
30	0.0017	0.1019	0.0033	0.4562	0.0012	0.0764	0.2528	0.1173	0.5533	0.0881	0.1873	0.2888	0.2273	0.564	0.1822
40	0.0022	0.1296	0.0042	0.5322	0.0014	0.2599	0.1113	0.1559	0.5788	0.11	0.1932	0.3105	0.2382	0.5665	0.1791
50	0.0024	0.1759	0.0046	0.6211	0.0019	0.1267	0.4019	0.1927	0.6802	0.1468	0.1889	0.3331	0.2411	0.5808	0.1791

Table 11: Results of MP (Univariate vs. Multivariate)

pattern_size	NAB					S5					KPI				
	Pre	Rec	F1	ROC	PR	Pre	Rec	F1	ROC	PR	Pre	Rec	F1	ROC	PR
16	0.191	0.0363	0.061	0.5006	0.2434	0.0937	0.1573	0.1174	0.55	0.0882	0	0	0	0.5007	0.5057
32	0.2028	0.074	0.1084	0.5085	0.256	0.0856	0.1041	0.094	0.4497	0.0602	0	0	0	0.5027	0.5056
64	0.2119	0.0725	0.108	0.485	0.2379	0.1463	0.0367	0.0587	0.3404	0.032	0	0	0	0.5125	0.5027
128	0.3167	0.0475	0.0826	0.4976	0.2326	0.1049	0.0345	0.0519	0.2766	0.0284	0	0	0	0.5183	0.4946
256	0.1928	0.0259	0.0456	0.5138	0.242	0	0	0	0.2978	0.0392	0	0	0	0.5154	0.4902
	ECG					NYC					SMAP				
	Pre	Rec	F1	ROC	PR	Pre	Rec	F1	ROC	PR	Pre	Rec	F1	ROC	PR
16	0	0	0	0.4596	0.1463	0	0	0	0.5535	0.0238	0.2222	0	0.0001	0.4313	0.3713
32	0	0	0	0.4014	0.0855	0	0	0	0.4917	0.0222	0.096	0.0016	0.0032	0.4101	0.3101
64	0	0	0	0.2974	0.0605	0	0	0	0.2948	0.0166	0	0	0	0.425	0.2527
128	0	0	0	0.3157	0.0667	0	0	0	0.1748	0.0138	0.5578	0.0195	0.0377	0.4543	0.2214
256	0	0	0	0.2579	0.0558	0	0	0	0.457	0.0202	0.1137	0.0354	0.054	0.4084	0.1986
	Credit					SWaT					MSL				
	Pre	Rec	F1	ROC	PR	Pre	Rec	F1	ROC	PR	Pre	Rec	F1	ROC	PR
16	0	0	0	0.589	0.0018	0	0	0	0.3851	0.0311	0	0	0	0.4287	0.2655
32	0.0032	0.0093	0.0048	0.6207	0.0021	0.4286	0.017	0.0327	0.4135	0.0582	0.351	0.0188	0.0357	0.4016	0.1789
64	0.004	0.0093	0.0056	0.5634	0.0016	0.75	0.0113	0.0223	0.4009	0.0486	0.0278	0.0001	0.0003	0.3983	0.1388
128	0.0023	0.0093	0.0037	0.5945	0.0016	0	0	0	0.3688	0.029	0.0357	0.0001	0.0003	0.3609	0.1219
256	0.0012	0.0093	0.0021	0.5098	0.0013	0	0	0	0.3261	0.0272	0.017	0.001	0.0019	0.3142	0.1123

Table 12: Results of ISF (Univariate vs. Multivariate)

n_estimators	NAB					S5					KPI				
	Pre	Rec	F1	ROC	PR	Pre	Rec	F1	ROC	PR	Pre	Rec	F1	ROC	PR
20	0.1451	0.1951	0.1664	0.5411	0.2269	0.1952	0.4355	0.2696	0.9239	0.697	0.0814	0.1137	0.0949	0.6101	0.0341
40	0.1939	0.1472	0.1673	0.5457	0.2307	0.177	0.4349	0.2516	0.9149	0.7138	0.0782	0.1373	0.0996	0.6096	0.031
60	0.1558	0.2003	0.1753	0.5423	0.2302	0.1728	0.4381	0.2478	0.9235	0.7079	0.0715	0.152	0.0972	0.6222	0.0311
80	0.1531	0.1986	0.1729	0.5426	0.2291	0.1713	0.4361	0.246	0.9189	0.7162	0.0795	0.1402	0.1015	0.6197	0.0303
100	0.152	0.2	0.1727	0.5435	0.2305	0.1693	0.4349	0.2437	0.9222	0.7187	0.0891	0.1347	0.1072	0.6324	0.0342
	ECG					NYC					SMAP				
	Pre	Rec	F1	ROC	PR	Pre	Rec	F1	ROC	PR	Pre	Rec	F1	ROC	PR
20	0.0978	0.2298	0.1372	0.5702	0.1538	0.0714	0.0202	0.0315	0.6445	0.0352	0.2039	0.2912	0.2398	0.6647	0.2245
40	0.1012	0.2298	0.1405	0.5579	0.1707	0.0741	0.0202	0.0317	0.6832	0.039	0.1931	0.272	0.2259	0.661	0.225
60	0.0927	0.2095	0.1285	0.5662	0.1577	0.0476	0.0202	0.0284	0.6641	0.0375	0.2134	0.3054	0.2513	0.6573	0.2262
80	0.1171	0.1392	0.1272	0.5733	0.1694	0	0	0	0.6813	0.0381	0.2069	0.3036	0.2461	0.6624	0.2283
100	0.094	0.218	0.1314	0.5747	0.1659	0.0339	0.0202	0.0253	0.6554	0.0345	0.1951	0.273	0.2276	0.6587	0.2261
	Credit					SWaT					MSL				
	Pre	Rec	F1	ROC	PR	Pre	Rec	F1	ROC	PR	Pre	Rec	F1	ROC	PR
20	0.0281	0.4815	0.0531	0.9215	0.0193	0.3717	0.134	0.1969	0.5953	0.1818	0.1411	0.2606	0.1831	0.6127	0.1895
40	0.0381	0.6481	0.0719	0.937	0.0358	0.5449	0.1717	0.2611	0.7458	0.2169	0.1307	0.2541	0.1726	0.6146	0.1897
60	0.0418	0.6667	0.0786	0.9375	0.041	0.7699	0.1642	0.2706	0.6785	0.2084	0.1375	0.2797	0.1844	0.6219	0.1872
80	0.0425	0.7037	0.0802	0.937	0.0393	0.4065	0.1642	0.2339	0.6582	0.1762	0.1414	0.2787	0.1876	0.6233	0.1942
100	0.0385	0.6204	0.0726	0.9352	0.0309	0.363	0.1849	0.245	0.6931	0.1832	0.1348	0.2763	0.1812	0.6289	0.192

Table 13: Results of OC-SVM (Univariate vs. Multivariate)

	NAB					S5					KPI				
kernel	Pre	Rec	F1	ROC	PR	Pre	Rec	F1	ROC	PR	Pre	Rec	F1	ROC	PR
rbf	0.2296	0.0791	0.1177	0.5134	0.2149	0.5317	0.3959	0.4539	0.8681	0.7263	0.0811	0.0476	0.06	0.4984	0.0187
	ECG					NYC					SMAP				
	Pre	Rec	F1	ROC	PR	Pre	Rec	F1	ROC	PR	Pre	Rec	F1	ROC	PR
rbf	0.0808	0.2337	0.1201	0.5722	0.1364	0	0	0	0.7354	0.0446	0.1944	0.1588	0.1748	0.5336	0.1961
	Credit					SWaT					MSL				
	Pre	Rec	F1	ROC	PR	Pre	Rec	F1	ROC	PR	Pre	Rec	F1	ROC	PR
rbf	0.1134	0.713	0.1957	0.9441	0.188	0.3199	0.2698	0.2927	0.7094	0.2261	0.1103	0.2047	0.1434	0.5802	0.1942

Table 14: Results of DL Methods (Univariate vs. Multivariate; Sliding window size=16, Hidden size=16)

	NAB					S5					KPI				
	Pre	Rec	F1	ROC	PR	Pre	Rec	F1	ROC	PR	Pre	Rec	F1	ROC	PR
CNN-AE	0.1535	0.2009	0.174	0.5333	0.2278	0.2406	0.1992	0.218	0.704	0.4155	0.9678	0.0351	0.0677	0.3993	0.0453
2DCNN-AE	0.1455	0.1627	0.1536	0.5222	0.2224	0.3951	0.3582	0.3758	0.8518	0.5442	0.0303	0.0488	0.0374	0.6139	0.0189
LSTM-AE	0.1626	0.1758	0.1689	0.5239	0.2035	0.1699	0.408	0.2399	0.6866	0.4133	0.0391	0.1367	0.0608	0.6148	0.0563
HIFI	0.173	0.1789	0.1759	0.5466	0.2487	0.1922	0.2024	0.1972	0.7489	0.4027	0.0185	0.0263	0.0217	0.4521	0.0232
RN	0.1534	0.2075	0.1764	0.5465	0.2373	0.0776	0.1451	0.1011	0.6074	0.093	0.4325	0.0106	0.0207	0.5468	0.0191
RAE	0.1325	0.1277	0.1301	0.5173	0.2118	0.2439	0.2545	0.2491	0.7345	0.279	0.2252	0.0956	0.1342	0.6468	0.0608
Omni	0.1541	0.169	0.1612	0.5082	0.2073	0.2732	0.378	0.3172	0.8338	0.5472	0.0242	0.0565	0.0339	0.6099	0.018
BeatGAN	0.1652	0.1613	0.1632	0.501	0.222	0.2046	0.1871	0.1955	0.6357	0.2649	0.7199	0.0267	0.0515	0.5585	0.0603
LSTM-NDT	0.1457	0.1914	0.1654	0.5335	0.2243	0.2696	0.266	0.2678	0.7869	0.5114	0.5506	0.0422	0.0785	0.6411	0.0674
	ECG					NYC					SMAP				
	Pre	Rec	F1	ROC	PR	Pre	Rec	F1	ROC	PR	Pre	Rec	F1	ROC	PR
CNN-AE	0.0816	0.1346	0.1016	0.4397	0.0853	0.0667	0.1414	0.0906	0.5173	0.0316	0.0663	0.0745	0.0702	0.4427	0.137
2DCNN-AE	0.0602	0.1031	0.076	0.4299	0.0841	0.0791	0.1414	0.1014	0.522	0.0324	0.1258	0.0744	0.0935	0.4351	0.1442
LSTM-AE	0.0738	0.0808	0.0771	0.4318	0.1268	0.0746	0.101	0.0858	0.4755	0.0279	0.0768	0.0861	0.0812	0.4823	0.1647
HIFI	0.0572	0.0939	0.0711	0.5262	0.1098	0.0802	0.1313	0.0996	0.5244	0.0326	0.067	0.0536	0.0596	0.4697	0.1504
RN	0.0687	0.1431	0.0929	0.516	0.102	0.0748	0.1111	0.0894	0.4829	0.0341	0.1538	0.3434	0.2124	0.5236	0.2036
RAE	0.1185	0.1701	0.1397	0.528	0.1812	0.082	0.101	0.0905	0.6382	0.0402	0.1173	0.1049	0.1107	0.5436	0.1901
Omni	0.0687	0.0965	0.0803	0.4063	0.0816	0.0343	0.1717	0.0572	0.5185	0.0258	0.1587	0.1875	0.1719	0.5165	0.16
BeatGAN	0.1	0.1766	0.1277	0.5335	0.1253	0.05	0.1212	0.0708	0.5911	0.0359	0.0676	0.0679	0.0677	0.4676	0.1724
LSTM-NDT	0.0867	0.1162	0.0993	0.4653	0.0958	0.0228	0.1212	0.0384	0.4858	0.0216	0.1678	0.1896	0.178	0.5202	0.238
	Credit					SWaT					MSL				
	Pre	Rec	F1	ROC	PR	Pre	Rec	F1	ROC	PR	Pre	Rec	F1	ROC	PR
CNN-AE	0.0379	0.5185	0.0707	0.8241	0.1578	0.0646	0.1057	0.0802	0.6191	0.0642	0.1297	0.034	0.0539	0.5208	0.1462
2DCNN-AE	0.0356	0.537	0.0668	0.8372	0.2797	0.0574	0.2358	0.0923	0.5726	0.0522	0.1226	0.0896	0.1035	0.4849	0.1566
LSTM-AE	0.0007	0.0278	0.0013	0.427	0.0011	0.7885	0.0774	0.1409	0.64	0.2424	0.2435	0.0324	0.0573	0.4736	0.1533
HIFI	0.0265	0.3796	0.0495	0.7418	0.1276	0.308	0.1528	0.2043	0.6284	0.1656	0.3063	0.0355	0.0637	0.5564	0.1988
RN	0.0062	0.0926	0.0117	0.5924	0.0029	0.058	0.1472	0.0832	0.4792	0.0523	0.1744	0.2311	0.1988	0.4882	0.1883
RAE	0.0041	0.037	0.0074	0.4334	0.0013	0.2925	0.0585	0.0975	0.5516	0.1438	0.0951	0.0371	0.0534	0.4989	0.1763
Omni	0.0023	0.0185	0.0041	0.1812	0.0012	0.9997	0.585	0.738	0.7855	0.7082	0.0789	0.0658	0.0718	0.4852	0.1289
BeatGAN	0.0007	0.0093	0.0013	0.1751	0.0007	0	0	0	0.2875	0.1034	0.3219	0.0614	0.1032	0.4645	0.1592
LSTM-NDT	0.0037	0.0185	0.0061	0.3991	0.0011	0.0379	0.1377	0.0594	0.4725	0.0391	0.2468	0.236	0.2413	0.5285	0.2116

Table 15: Results of DL Methods (Univariate vs. Multivariate; Sliding window size=16, Hidden size=32)

	NAB					S5					KPI				
	Pre	Rec	F1	ROC	PR	Pre	Rec	F1	ROC	PR	Pre	Rec	F1	ROC	PR
CNN-AE	0.1575	0.1921	0.1731	0.5447	0.2401	0.2532	0.2018	0.2246	0.7063	0.4105	1	0.0252	0.0491	0.3963	0.0477
2DCNN-AE	0.1566	0.2095	0.1792	0.5492	0.248	0.3725	0.3646	0.3685	0.8778	0.5669	0.0324	0.045	0.0377	0.6123	0.0192
LSTM-AE	0.149	0.2017	0.1714	0.5095	0.2094	0.2366	0.1948	0.2137	0.6438	0.3812	0.0317	0.1844	0.0541	0.631	0.0575
HIFI	0.1765	0.1708	0.1736	0.5559	0.255	0.178	0.2056	0.1908	0.7241	0.3802	0.0171	0.0229	0.0196	0.4354	0.018
RN	0.1524	0.2068	0.1755	0.5248	0.2289	0.0613	0.1272	0.0828	0.5816	0.0813	0.0158	0.0489	0.0239	0.4208	0.0311
RAE	0.1481	0.187	0.1653	0.5071	0.2035	0.2713	0.2794	0.2753	0.7764	0.3735	1	0.0073	0.0145	0.4349	0.0379
Omni	0.1761	0.1207	0.1432	0.5105	0.2096	0.3265	0.3838	0.3528	0.8656	0.5964	0.0313	0.0412	0.0355	0.6043	0.0184
BeatGAN	0.1853	0.1614	0.1725	0.5	0.2183	0.1066	0.1213	0.1135	0.5512	0.2	0.0239	0.0618	0.0345	0.517	0.0152
LSTM-NDT	0.1563	0.2443	0.1906	0.5304	0.2331	0.231	0.2813	0.2537	0.8236	0.5122	0.6278	0.0408	0.0766	0.6614	0.0767
	ECG					NYC					SMAP				
	Pre	Rec	F1	ROC	PR	Pre	Rec	F1	ROC	PR	Pre	Rec	F1	ROC	PR
CNN-AE	0.0438	0.0906	0.0591	0.4239	0.0744	0.0833	0.1212	0.0988	0.5155	0.0319	0.0807	0.1096	0.093	0.4639	0.1444
2DCNN-AE	0.0335	0.0703	0.0454	0.4148	0.0685	0.0667	0.1212	0.086	0.5252	0.0326	0.0964	0.0598	0.0738	0.4164	0.1381
LSTM-AE	0.0483	0.1011	0.0654	0.4045	0.0716	0.0877	0.101	0.0939	0.4913	0.0277	0.135	0.1369	0.1359	0.4469	0.1613
HIFI	0.0453	0.0788	0.0575	0.4792	0.1162	0.0597	0.1212	0.08	0.5286	0.0322	0.0616	0.0484	0.0542	0.4723	0.1399
RN	0.0614	0.1569	0.0883	0.5511	0.1146	0.0769	0.1414	0.0996	0.5004	0.0417	0.1329	0.2768	0.1796	0.5119	0.2007
RAE	0.0703	0.1254	0.0901	0.4896	0.1592	0.0803	0.1111	0.0932	0.5896	0.0384	0.1052	0.1159	0.1103	0.4881	0.1411
Omni	0.0981	0.1202	0.108	0.5479	0.1233	0.0442	0.1616	0.0694	0.5407	0.0313	0.0881	0.105	0.0958	0.4719	0.1535
BeatGAN	0.1057	0.174	0.1315	0.5424	0.1811	0.0709	0.0909	0.0796	0.4817	0.0415	0.1558	0.1657	0.1606	0.5036	0.1909
LSTM-NDT	0.0674	0.1044	0.0819	0.3986	0.0903	0.0319	0.0606	0.0418	0.4955	0.0228	0.197	0.2322	0.2132	0.5127	0.2262
	Credit					SWaT					MSL				
	Pre	Rec	F1	ROC	PR	Pre	Rec	F1	ROC	PR	Pre	Rec	F1	ROC	PR
CNN-AE	0.0229	0.3426	0.0429	0.758	0.0414	0.0453	0.0698	0.055	0.4812	0.0384	0.1001	0.0434	0.0605	0.5429	0.156
2DCNN-AE	0.0381	0.537	0.0711	0.8236	0.3048	0.0638	0.1604	0.0913	0.5362	0.0482	0.1242	0.0689	0.0886	0.4856	0.1667
LSTM-AE	0.0014	0.0185	0.0027	0.4448	0.0011	0.5789	0.0415	0.0775	0.5681	0.1116	0.1711	0.0124	0.0231	0.4643	0.1508
HIFI	0.0256	0.3519	0.0477	0.7762	0.1023	0.0781	0.1585	0.1046	0.695	0.0739	0.069	0.0189	0.0297	0.4751	0.1539
RN	0.002	0.1296	0.0039	0.5274	0.0017	0.0529	0.2094	0.0845	0.4569	0.048	0.1245	0.2123	0.157	0.5178	0.1867
RAE	0.04	0.1944	0.0664	0.605	0.0273	0.1528	0.066	0.0922	0.4507	0.0769	0.0854	0.0165	0.0276	0.4501	0.1343
Omni	0.0363	0.5556	0.0682	0.8433	0.2842	0.7794	0.6301	0.6969	0.8274	0.7308	0.0748	0.0537	0.0625	0.5302	0.1457
BeatGAN	0.0011	0.0093	0.0019	0.1737	0.0007	0	0	0	0.1856	0.0949	0.1054	0.0331	0.0504	0.4601	0.1332
LSTM-NDT	0.0011	0.0185	0.0022	0.4279	0.0011	0.0351	0.1528	0.0571	0.4758	0.0391	0.2383	0.2356	0.237	0.5326	0.2006

Table 16: Results of DL Methods (Univariate vs. Multivariate; Sliding window size=16, Hidden size=64)

	NAB					S5					KPI				
	Pre	Rec	F1	ROC	PR	Pre	Rec	F1	ROC	PR	Pre	Rec	F1	ROC	PR
CNN-AE	0.1442	0.199	0.1672	0.5348	0.233	0.2684	0.2184	0.2408	0.7158	0.42	0.03	0.0575	0.0395	0.5875	0.0204
2DCNN-AE	0.1673	0.2738	0.2077	0.5626	0.2551	0.2661	0.3269	0.2934	0.8432	0.5162	0.3139	0.0465	0.081	0.6527	0.0627
LSTM-AE	0.1516	0.2	0.1725	0.5191	0.2095	0.23	0.2005	0.2143	0.6576	0.4066	0.0373	0.1496	0.0597	0.6178	0.0554
HIFI	0.168	0.1537	0.1606	0.5386	0.2375	0.1343	0.1833	0.155	0.6964	0.3106	0.0306	0.0184	0.023	0.4221	0.0133
RN	0.1427	0.0942	0.1135	0.462	0.1888	0.1053	0.062	0.0781	0.5952	0.0938	0.0054	0.1224	0.0104	0.4191	0.0321
RAE	0.1373	0.1728	0.153	0.5028	0.197	0.2751	0.2852	0.2801	0.7962	0.3894	0.287	0.0825	0.1282	0.6979	0.071
Omni	0.1656	0.1075	0.1304	0.5137	0.2129	0.3335	0.3934	0.361	0.8608	0.5984	0.0318	0.0484	0.0384	0.5902	0.0183
BeatGAN	0.1844	0.1529	0.1672	0.5039	0.2231	0.0966	0.0888	0.0925	0.4652	0.1321	0.0453	0.0218	0.0294	0.5562	0.0294
LSTM-NDT	0.1563	0.2332	0.1871	0.5401	0.2374	0.2381	0.2922	0.2624	0.8359	0.5285	0.5968	0.0437	0.0814	0.6676	0.08
	ECG					NYC					SMAP				
	Pre	Rec	F1	ROC	PR	Pre	Rec	F1	ROC	PR	Pre	Rec	F1	ROC	PR
CNN-AE	0.0405	0.0821	0.0543	0.3869	0.0687	0.08	0.1212	0.0964	0.5163	0.0325	0.1566	0.073	0.0996	0.476	0.157
2DCNN-AE	0.0365	0.0749	0.0491	0.4279	0.0733	0.0779	0.1212	0.0949	0.5168	0.0326	0.2382	0.2225	0.2301	0.4944	0.1978
LSTM-AE	0.0494	0.0959	0.0652	0.4264	0.0793	0.0564	0.1111	0.0748	0.5058	0.0286	0.0572	0.0424	0.0487	0.4322	0.1515
HIFI	0.048	0.0794	0.0599	0.4579	0.0964	0.0802	0.1313	0.0996	0.5174	0.0323	0.0691	0.0446	0.0542	0.4502	0.1468
RN	0.0566	0.172	0.0851	0.5032	0.0906	0.0794	0.1515	0.1042	0.5193	0.0469	0.1059	0.2154	0.142	0.4647	0.1838
RAE	0.0763	0.2016	0.1107	0.5241	0.1657	0.0862	0.101	0.093	0.5515	0.0341	0.1004	0.1087	0.1044	0.4686	0.1459
Omni	0.0888	0.1976	0.1225	0.4798	0.0957	0.0256	0.1818	0.0449	0.5254	0.0244	0.0762	0.0831	0.0795	0.4633	0.141
BeatGAN	0.1102	0.2219	0.1473	0.5696	0.1747	0.0769	0.1818	0.1081	0.5799	0.0415	0.0619	0.0545	0.0579	0.499	0.1766
LSTM-NDT	0.0855	0.1123	0.0971	0.4443	0.109	0.0186	0.0404	0.0255	0.4481	0.0195	0.1629	0.2166	0.186	0.5099	0.2343
	Credit					SWaT					MSL				
	Pre	Rec	F1	ROC	PR	Pre	Rec	F1	ROC	PR	Pre	Rec	F1	ROC	PR
CNN-AE	0.0014	0.0185	0.0026	0.361	0.001	0.1174	0.117	0.1172	0.5804	0.0687	0.1114	0.0586	0.0768	0.5335	0.1542
2DCNN-AE	0.0341	0.5278	0.064	0.8333	0.1968	0.0654	0.2604	0.1045	0.5906	0.0558	0.045	0.0421	0.0435	0.4881	0.1429
LSTM-AE	0.0029	0.0463	0.0055	0.5631	0.0018	0.1648	0.0849	0.1121	0.6899	0.1192	0.0706	0.0473	0.0566	0.5005	0.1373
HIFI	0.0167	0.287	0.0316	0.7414	0.0206	0.1667	0.0811	0.1091	0.6538	0.0988	0.1241	0.0161	0.0285	0.4124	0.1307
RN	0.0023	0.037	0.0043	0.5563	0.0016	0.0557	0.1792	0.0849	0.5327	0.0432	0.1201	0.2633	0.165	0.4746	0.2045
RAE	0.0012	0.0093	0.0021	0.2476	0.0008	0.2986	0.0811	0.1276	0.5776	0.1237	0.0698	0.0237	0.0354	0.4288	0.1198
Omni	0.0011	0.0185	0.0021	0.2292	0.0008	0.9995	0.5729	0.7283	0.8364	0.7217	0.058	0.039	0.0466	0.4777	0.1318
BeatGAN	0.1017	0.6019	0.174	0.8289	0.2656	0	0	0	0.1856	0.094	0.0729	0.0554	0.0629	0.4621	0.1321
LSTM-NDT	0.0009	0.0093	0.0016	0.4386	0.0011	0.0241	0.1623	0.0419	0.4575	0.0358	0.3195	0.2882	0.303	0.5545	0.2437

Table 17: Results of DL Methods (Univariate vs. Multivariate; Sliding window size=16, Hidden size=128)

	NAB					S5					KPI				
	Pre	Rec	F1	ROC	PR	Pre	Rec	F1	ROC	PR	Pre	Rec	F1	ROC	PR
CNN-AE	0.163	0.2147	0.1853	0.5287	0.2247	0.2219	0.2018	0.2114	0.6804	0.3769	0.0433	0.0488	0.0459	0.5998	0.027
2DCNN-AE	0.1798	0.1318	0.1521	0.535	0.2284	0.322	0.2893	0.3047	0.8123	0.4452	0.0442	0.0553	0.0491	0.6002	0.0322
LSTM-AE	0.1543	0.1702	0.1619	0.522	0.2118	0.2617	0.2503	0.2559	0.7302	0.4467	0.7882	0.0311	0.0598	0.6652	0.0773
HIFI	0.1616	0.1546	0.158	0.5421	0.2263	0.0962	0.145	0.1156	0.7035	0.2485	0.0077	0.0854	0.0142	0.4464	0.0097
RN	0.1412	0.0948	0.1135	0.4825	0.1944	0.1191	0.0716	0.0895	0.435	0.0853	0.0055	0.1542	0.0106	0.4154	0.0345
RAE	0.1507	0.1909	0.1684	0.5557	0.2357	0.2618	0.2698	0.2657	0.7934	0.3472	0.2083	0.0705	0.1054	0.7031	0.0572
Omni	0.1752	0.1025	0.1293	0.5139	0.2049	0.2382	0.2912	0.2621	0.727	0.3975	0.0277	0.0601	0.0379	0.6132	0.0195
BeatGAN	0.1502	0.222	0.1792	0.5361	0.2298	0.133	0.0811	0.1008	0.3723	0.114	1	0.0344	0.0665	0.55	0.0518
LSTM-NDT	0.1905	0.1808	0.1855	0.5456	0.2349	0.2055	0.2916	0.2411	0.8491	0.5432	0.625	0.0393	0.074	0.6461	0.0729
	ECG					NYC					SMAP				
	Pre	Rec	F1	ROC	PR	Pre	Rec	F1	ROC	PR	Pre	Rec	F1	ROC	PR
CNN-AE	0.0435	0.0998	0.0606	0.4465	0.0747	0.0615	0.1616	0.0891	0.5164	0.032	0.0675	0.086	0.0756	0.4445	0.1437
2DCNN-AE	0.0352	0.0578	0.0438	0.3849	0.0699	0.0554	0.1717	0.0837	0.5263	0.0322	0.2414	0.2801	0.2593	0.5249	0.1868
LSTM-AE	0.056	0.0919	0.0696	0.4606	0.0892	0.0784	0.1212	0.0952	0.5117	0.031	0.0882	0.0727	0.0797	0.5026	0.1988
HIFI	0.0491	0.1083	0.0676	0.481	0.1043	0.0764	0.1212	0.0938	0.5242	0.0324	0.0318	0.0169	0.0221	0.4204	0.1162
RN	0.064	0.2055	0.0976	0.5447	0.102	0.0759	0.1212	0.0934	0.5173	0.045	0.09	0.1302	0.1064	0.4196	0.1723
RAE	0.081	0.2206	0.1185	0.5641	0.1809	0.0759	0.1212	0.0934	0.5318	0.0348	0.1278	0.1532	0.1394	0.5087	0.1594
Omni	0.0904	0.1451	0.1114	0.5125	0.1271	0.075	0.1212	0.0927	0.5043	0.0309	0.0695	0.0761	0.0727	0.461	0.1376
BeatGAN	0.1129	0.2095	0.1467	0.6342	0.2084	0.0741	0.101	0.0855	0.5554	0.0382	0.0909	0.0781	0.084	0.4762	0.174
LSTM-NDT	0.0834	0.1051	0.093	0.4801	0.1104	0.0169	0.101	0.0289	0.4511	0.0193	0.1794	0.2396	0.2052	0.5038	0.2251
	Credit					SWaT					MSL				
	Pre	Rec	F1	ROC	PR	Pre	Rec	F1	ROC	PR	Pre	Rec	F1	ROC	PR
CNN-AE	0.0007	0.0093	0.0012	0.2289	0.0007	0.5619	0.1113	0.1858	0.655	0.1614	0.1023	0.0778	0.0884	0.5648	0.1881
2DCNN-AE	0.0342	0.4907	0.0639	0.8374	0.0929	0.0819	0.1226	0.0982	0.4952	0.0461	0.1843	0.1046	0.1334	0.5523	0.2101
LSTM-AE	0.0003	0.0185	0.0006	0.4149	0.001	0.0403	0.0113	0.0177	0.5183	0.045	0.081	0.0422	0.0555	0.4928	0.1536
HIFI	0.0235	0.2315	0.0426	0.7802	0.0401	0.3529	0.1358	0.1962	0.6721	0.1524	0.0995	0.0103	0.0187	0.4997	0.1492
RN	0.0029	0.0463	0.0054	0.5741	0.002	0.2296	0.0849	0.124	0.622	0.0829	0.1148	0.298	0.1657	0.4622	0.1711
RAE	0.0101	0.0833	0.0181	0.6451	0.0041	0.3738	0.0755	0.1256	0.5899	0.1065	0.126	0.0187	0.0325	0.4159	0.1414
Omni	0.0425	0.6019	0.0794	0.8408	0.3351	0.9999	0.5849	0.7381	0.8279	0.7214	0.0995	0.0469	0.0637	0.504	0.1453
BeatGAN	0	0	0	0.1777	0.0007	0	0	0	0.1908	0.0933	0.1308	0.1047	0.1163	0.5373	0.1765
LSTM-NDT	0.0037	0.0278	0.0065	0.4294	0.0012	0.0261	0.0736	0.0386	0.4466	0.0349	0.2463	0.2547	0.2504	0.529	0.204

Table 18: Results of DL Methods (Univariate vs. Multivariate; Sliding window size=16, Hidden size=256)

	NAB					S5					KPI				
	Pre	Rec	F1	ROC	PR	Pre	Rec	F1	ROC	PR	Pre	Rec	F1	ROC	PR
CNN-AE	0.1559	0.1919	0.172	0.5031	0.2114	0.2081	0.219	0.2134	0.6887	0.4231	0.1678	0.055	0.0828	0.596	0.0483
2DCNN-AE	0.1427	0.1747	0.1571	0.5472	0.2271	0.2229	0.3084	0.2588	0.868	0.5395	0.0521	0.0327	0.0402	0.6173	0.0255
LSTM-AE	0.1482	0.1918	0.1672	0.5275	0.218	0.2238	0.2005	0.2115	0.6896	0.4147	0.0352	0.1644	0.0579	0.6235	0.0597
HIFI	0.1514	0.129	0.1393	0.5042	0.2101	0.1181	0.1807	0.1428	0.7194	0.2812	0.0074	0.1001	0.0137	0.4528	0.0098
RN	0.141	0.1461	0.1435	0.4996	0.2539	0.0646	0.0601	0.0623	0.4572	0.0806	0.033	0.0207	0.0254	0.5947	0.0179
RAE	0.1444	0.1844	0.162	0.524	0.2146	0.2619	0.2622	0.262	0.783	0.3599	0.2559	0.0813	0.1234	0.69	0.0646
Omni	0.1394	0.0903	0.1096	0.4974	0.1968	0.2249	0.2043	0.2141	0.527	0.243	0.0286	0.0488	0.036	0.5814	0.0179
BeatGAN	0.2128	0.1446	0.1722	0.5337	0.2347	0.2194	0.1041	0.1412	0.4018	0.1784	1	0.0111	0.0219	0.5419	0.0282
LSTM-NDT	0.1476	0.1852	0.1643	0.5254	0.2128	0.2206	0.2839	0.2483	0.8498	0.5196	0.6248	0.0401	0.0754	0.6595	0.0762
	ECG					NYC					SMAP				
	Pre	Rec	F1	ROC	PR	Pre	Rec	F1	ROC	PR	Pre	Rec	F1	ROC	PR
CNN-AE	0.0523	0.0998	0.0687	0.4479	0.0869	0.085	0.1313	0.1032	0.5314	0.0358	0.0758	0.1061	0.0884	0.4879	0.1598
2DCNN-AE	0.0379	0.0768	0.0508	0.4622	0.1009	0.062	0.1616	0.0896	0.52	0.0328	0.2429	0.363	0.291	0.5321	0.184
LSTM-AE	0.0497	0.0821	0.0619	0.4435	0.0816	0.0791	0.1414	0.1014	0.5201	0.032	0.0866	0.0857	0.0862	0.4754	0.1816
HIFI	0.0507	0.1064	0.0686	0.4685	0.0891	0.0759	0.1212	0.0934	0.5181	0.0324	0.0435	0.024	0.0309	0.4373	0.1155
RN	0.063	0.1517	0.089	0.5231	0.0927	0.0798	0.1313	0.0992	0.516	0.0455	0.1198	0.2422	0.1603	0.5534	0.192
RAE	0.0785	0.1622	0.1058	0.5391	0.1097	0.0833	0.1313	0.102	0.6028	0.0381	0.0901	0.0851	0.0875	0.4618	0.1472
Omni	0.1546	0.1871	0.1693	0.5607	0.1929	0.0745	0.1212	0.0923	0.5067	0.0306	0.0983	0.1014	0.0999	0.4689	0.1544
BeatGAN	0.0632	0.0394	0.0485	0.4963	0.1114	0.0798	0.1515	0.1045	0.575	0.0433	0.0793	0.0614	0.0692	0.473	0.1822
LSTM-NDT	0.1093	0.2121	0.1443	0.5771	0.1354	0.0183	0.1313	0.0321	0.4418	0.0188	0.1062	0.1273	0.1158	0.5181	0.2183
	Credit					SWaT					MSL				
	Pre	Rec	F1	ROC	PR	Pre	Rec	F1	ROC	PR	Pre	Rec	F1	ROC	PR
CNN-AE	0.0067	0.037	0.0113	0.5248	0.0018	0.145	0.0717	0.096	0.4806	0.074	0.0714	0.0409	0.0521	0.4879	0.1309
2DCNN-AE	0.0099	0.1574	0.0186	0.6883	0.0076	0.0678	0.2868	0.1097	0.5349	0.0501	0.1417	0.2082	0.1686	0.5204	0.2194
LSTM-AE	0.0139	0.213	0.0262	0.772	0.0082	0.0833	0.017	0.0282	0.4727	0.037	0.0492	0.0205	0.0289	0.4581	0.1334
HIFI	0.03	0.4444	0.0562	0.796	0.0997	0.4152	0.134	0.2026	0.7086	0.1804	0.1006	0.0084	0.0155	0.4775	0.1393
RN	0.0048	0.0741	0.009	0.587	0.0024	0.0523	0.2472	0.0863	0.5581	0.0639	0.1094	0.1201	0.1145	0.4965	0.1708
RAE	0.0015	0.0093	0.0026	0.1673	0.0007	0.2083	0.0283	0.0498	0.5496	0.0781	0.0604	0.0184	0.0282	0.4275	0.1217
Omni	0.0014	0.0093	0.0024	0.1689	0.0007	1	0.5832	0.7367	0.8353	0.723	0.1094	0.0366	0.0548	0.4789	0.1254
BeatGAN	0.0011	0.0093	0.002	0.1706	0.0007	0	0	0	0.2673	0.0999	0.1185	0.0482	0.0685	0.4629	0.1435
LSTM-NDT	0.0021	0.0278	0.0039	0.402	0.001	0.0317	0.0698	0.0436	0.4711	0.0361	0.2419	0.1768	0.2043	0.5175	0.2159

Table 19: Results of DL Methods (Univariate vs. Multivariate; Sliding window size=32, Hidden size=16)

	NAB					S5					KPI				
	Pre	Rec	F1	ROC	PR	Pre	Rec	F1	ROC	PR	Pre	Rec	F1	ROC	PR
CNN-AE	0.1449	0.1931	0.1656	0.5208	0.2334	0.2196	0.2088	0.2141	0.727	0.4221	0.0276	0.0599	0.0378	0.5673	0.0193
2DCNN-AE	0.1623	0.2163	0.1854	0.5393	0.2408	0.3234	0.3742	0.347	0.8836	0.5442	0.0374	0.0352	0.0363	0.6039	0.0197
LSTM-AE	0.1438	0.1238	0.133	0.4771	0.1875	0.1506	0.3314	0.2071	0.4961	0.3541	0.0411	0.0366	0.0387	0.6027	0.0206
HIFI	0.2544	0.1624	0.1982	0.572	0.283	0.1774	0.2344	0.2019	0.7657	0.4165	0.0389	0.058	0.0465	0.4976	0.0264
RN	0.1485	0.2342	0.1818	0.5095	0.2381	0.0509	0.0889	0.0648	0.5048	0.0479	0.0061	0.1731	0.0118	0.4195	0.0347
RAE	0.1509	0.2281	0.1816	0.5449	0.2381	0.0938	0.3142	0.1444	0.6143	0.1634	0.1294	0.0885	0.1051	0.6491	0.0476
Omni	0.1487	0.1605	0.1544	0.5063	0.2065	0.2804	0.3563	0.3138	0.8532	0.5306	0.0267	0.0457	0.0337	0.582	0.0171
BeatGAN	0.1888	0.2061	0.1971	0.5365	0.2544	0.1468	0.1494	0.1481	0.5409	0.1937	0.0952	0.0002	0.0004	0.3716	0.0121
LSTM-NDT	0.1509	0.2026	0.173	0.5321	0.2375	0.277	0.2688	0.2728	0.8198	0.5044	0.543	0.0368	0.0689	0.6044	0.059
	ECG					NYC					SMAP				
	Pre	Rec	F1	ROC	PR	Pre	Rec	F1	ROC	PR	Pre	Rec	F1	ROC	PR
CNN-AE	0.0545	0.0611	0.0576	0.4803	0.1035	0.08	0.1414	0.1022	0.639	0.0426	0.2025	0.0468	0.076	0.4137	0.124
2DCNN-AE	0.0341	0.067	0.0452	0.4516	0.0913	0.14	0.0707	0.094	0.6389	0.0457	0.1584	0.0901	0.1149	0.3895	0.1301
LSTM-AE	0.0945	0.176	0.123	0.4779	0.1096	0.0398	0.101	0.0571	0.5287	0.0301	0.1574	0.08	0.1061	0.4438	0.1708
HIFI	0.0585	0.1051	0.0752	0.5105	0.0903	0.08	0.101	0.0893	0.6316	0.0425	0.1382	0.0684	0.0915	0.4705	0.152
RN	0.0707	0.2035	0.105	0.5285	0.1162	0.125	0.0505	0.0719	0.6316	0.0376	0.1397	0.2824	0.187	0.5124	0.2019
RAE	0.1159	0.1458	0.1291	0.5233	0.158	0.0784	0.1212	0.0952	0.6879	0.0489	0.0707	0.0446	0.0547	0.5004	0.1432
Omni	0.098	0.1458	0.1172	0.6005	0.1438	0.0357	0.0606	0.0449	0.5423	0.028	0.1266	0.1143	0.1201	0.4692	0.1408
BeatGAN	0.1033	0.2009	0.1365	0.5707	0.202	0.0921	0.1414	0.1116	0.6271	0.0498	0.4379	0.0588	0.1037	0.4864	0.1745
LSTM-NDT	0.0939	0.1576	0.1177	0.4887	0.1192	0.0328	0.1919	0.056	0.5204	0.0241	0.1832	0.218	0.1991	0.497	0.2437
	Credit					SWaT					MSL				
	Pre	Rec	F1	ROC	PR	Pre	Rec	F1	ROC	PR	Pre	Rec	F1	ROC	PR
CNN-AE	0.0337	0.5278	0.0634	0.7912	0.2616	0.0733	0.1396	0.0961	0.6599	0.0697	0.1017	0.0158	0.0274	0.4699	0.1356
2DCNN-AE	0.0293	0.4444	0.055	0.8419	0.1523	0.0715	0.1792	0.1023	0.6986	0.0772	0.0699	0.0787	0.074	0.4547	0.1351
LSTM-AE	0.0084	0.0648	0.0149	0.6694	0.0029	0.625	0.066	0.1195	0.5425	0.1187	0.0793	0.0297	0.0433	0.4332	0.1381
HIFI	0.0335	0.537	0.0631	0.8394	0.2561	0.1485	0.3283	0.2045	0.668	0.1175	0.1271	0.0457	0.0672	0.5711	0.1996
RN	0.0023	0.037	0.0043	0.5475	0.0015	0.0578	0.2377	0.093	0.5658	0.0506	0.1016	0.2166	0.1383	0.5162	0.1876
RAE	0.0059	0.0278	0.0097	0.5433	0.0018	0.2551	0.0943	0.1377	0.5764	0.0868	0.0668	0.0193	0.03	0.4271	0.1169
Omni	0.0573	0.5556	0.1038	0.8376	0.3671	0.9984	0.3264	0.492	0.7743	0.6719	0.092	0.0861	0.089	0.505	0.1289
BeatGAN	0.14	0.5185	0.2205	0.8293	0.3886	0	0	0	0.1867	0.0944	0.0296	0.0118	0.0169	0.4757	0.1372
LSTM-NDT	0.0009	0.0093	0.0016	0.4466	0.0011	0.1221	0.0698	0.0888	0.5345	0.0601	0.2463	0.2145	0.2293	0.5095	0.1917

Table 20: Univariate vs. Multivariate. Sliding window size=32, Hidden size=32.

	NAB					S5					KPI				
	Pre	Rec	F1	ROC	PR	Pre	Rec	F1	ROC	PR	Pre	Rec	F1	ROC	PR
CNN-AE	0.1475	0.1882	0.1654	0.5318	0.2374	0.2305	0.2229	0.2266	0.7446	0.4291	0.9696	0.0372	0.0716	0.4004	0.0469
2DCNN-AE	0.2301	0.161	0.1895	0.5565	0.2611	0.3019	0.3723	0.3334	0.8896	0.5545	0.0345	0.0357	0.0351	0.6034	0.0188
LSTM-AE	0.1346	0.135	0.1348	0.5214	0.2091	0.2095	0.2273	0.2181	0.5821	0.3673	0.065	0.0374	0.0475	0.6041	0.0239
HIFI	0.1708	0.1971	0.183	0.5664	0.2657	0.1875	0.2542	0.2158	0.751	0.3903	0.5777	0.0116	0.0227	0.4043	0.0208
RN	0.128	0.0939	0.1083	0.4699	0.2025	0.0402	0.0705	0.0512	0.5031	0.0509	0.0061	0.1729	0.0118	0.4198	0.0334
RAE	0.1495	0.1942	0.169	0.5148	0.2191	0.121	0.1074	0.1138	0.6008	0.1948	0.2027	0.1023	0.1359	0.6983	0.0656
Omni	0.1507	0.1386	0.1444	0.4942	0.2018	0.3018	0.3844	0.3381	0.8819	0.601	0.0397	0.031	0.0348	0.6018	0.0191
BeatGAN	0.1858	0.12	0.1459	0.5263	0.2332	0.1138	0.1405	0.1258	0.5549	0.2123	0.0448	0.0269	0.0336	0.5681	0.0191
LSTM-NDT	0.1624	0.2335	0.1915	0.547	0.2496	0.2372	0.3057	0.2671	0.8553	0.5587	0.5643	0.0409	0.0762	0.6267	0.0672
	ECG					NYC					SMAP				
	Pre	Rec	F1	ROC	PR	Pre	Rec	F1	ROC	PR	Pre	Rec	F1	ROC	PR
CNN-AE	0.0602	0.088	0.0715	0.4776	0.0876	0.0744	0.1818	0.1056	0.6347	0.0449	0.1179	0.098	0.107	0.4373	0.1467
2DCNN-AE	0.0519	0.0965	0.0675	0.4786	0.0985	0.0725	0.1414	0.0959	0.636	0.0435	0.1081	0.056	0.0738	0.3716	0.1236
LSTM-AE	0.0774	0.13	0.097	0.5351	0.1166	0.0429	0.1313	0.0647	0.6229	0.0361	0.0605	0.0216	0.0319	0.4307	0.1424
HIFI	0.0631	0.0939	0.0755	0.5238	0.0937	0.0833	0.1111	0.0952	0.6341	0.043	0.25	0.0565	0.0922	0.5131	0.1749
RN	0.0654	0.1917	0.0975	0.4996	0.0989	0.1	0.0707	0.0828	0.6476	0.0402	0.1268	0.2527	0.1688	0.468	0.1818
RAE	0.1098	0.1779	0.1358	0.5672	0.2169	0.0786	0.2525	0.1199	0.6017	0.075	0.1017	0.0793	0.0891	0.4832	0.1558
Omni	0.0579	0.0643	0.061	0.5137	0.0837	0.0764	0.1111	0.0905	0.5971	0.0357	0.0775	0.0642	0.0702	0.46	0.1438
BeatGAN	0.1102	0.1858	0.1383	0.6008	0.1405	0.07	0.1717	0.0994	0.5827	0.0493	0.3667	0.0448	0.0798	0.4742	0.1856
LSTM-NDT	0.0816	0.1208	0.0974	0.476	0.1121	0.0236	0.0707	0.0354	0.48	0.0214	0.2333	0.29	0.2586	0.5037	0.2271
	Credit					SWaT					MSL				
	Pre	Rec	F1	ROC	PR	Pre	Rec	F1	ROC	PR	Pre	Rec	F1	ROC	PR
CNN-AE	0.0262	0.3704	0.0489	0.8004	0.0404	0.063	0.1264	0.0841	0.5818	0.0545	0.1779	0.0327	0.0553	0.5277	0.1729
2DCNN-AE	0.0321	0.5093	0.0603	0.8537	0.2645	0.0899	0.1962	0.1233	0.6547	0.0698	0.1156	0.1092	0.1123	0.4832	0.1474
LSTM-AE	0.0055	0.037	0.0095	0.5369	0.0019	0.1439	0.1849	0.1618	0.6493	0.0968	0.1079	0.0361	0.054	0.5064	0.1524
HIFI	0.0078	0.1204	0.0147	0.6493	0.0044	0.1046	0.4038	0.1661	0.6988	0.138	0.0471	0.0169	0.0248	0.4786	0.1535
RN	0.005	0.0741	0.0093	0.6035	0.0021	0.0522	0.1623	0.079	0.5167	0.061	0.1189	0.2933	0.1693	0.5347	0.2197
RAE	0.0015	0.0185	0.0028	0.3353	0.001	0.062	0.0981	0.076	0.4076	0.0443	0.1862	0.0344	0.058	0.4552	0.1581
Omni	0.0021	0.0278	0.0038	0.2284	0.0008	0.9983	0.5852	0.7379	0.781	0.7039	0.1255	0.1106	0.1176	0.4823	0.1355
BeatGAN	0.1605	0.5185	0.2451	0.8277	0.1827	0	0	0	0.1797	0.0916	0.0489	0.0135	0.0212	0.4788	0.1331
LSTM-NDT	0.0022	0.0185	0.004	0.4252	0.0011	0.0214	0.1774	0.0381	0.4243	0.0327	0.2479	0.2417	0.2448	0.5495	0.1984

Table 21: Results of DL Methods (Univariate vs. Multivariate; Sliding window size=32, Hidden size=64)

	NAB					S5					KPI				
	Pre	Rec	F1	ROC	PR	Pre	Rec	F1	ROC	PR	Pre	Rec	F1	ROC	PR
CNN-AE	0.1317	0.1937	0.1568	0.5291	0.2349	0.2271	0.2171	0.222	0.7306	0.4253	0.0293	0.0569	0.0387	0.5774	0.0193
2DCNN-AE	0.2535	0.2198	0.2355	0.593	0.2784	0.2053	0.3308	0.2534	0.8554	0.5233	0.0723	0.0391	0.0508	0.5238	0.0358
LSTM-AE	0.1338	0.1403	0.137	0.51	0.2007	0.1968	0.2069	0.2017	0.5736	0.3465	0.0482	0.034	0.0399	0.6023	0.0208
HIFI	0.16	0.1711	0.1654	0.5673	0.258	0.1525	0.2197	0.18	0.7054	0.2884	0.0108	0.0241	0.0149	0.4652	0.0102
RN	0.1318	0.0973	0.112	0.4647	0.1999	0.0314	0.0804	0.0451	0.3751	0.0461	0.0082	0.0401	0.0137	0.4145	0.031
RAE	0.1469	0.1479	0.1474	0.5132	0.2283	0.2016	0.2121	0.2067	0.6869	0.2836	0.0062	0.1829	0.012	0.4247	0.0348
Omni	0.1817	0.1296	0.1513	0.5225	0.2191	0.2745	0.3544	0.3094	0.8543	0.5337	0.0314	0.05	0.0385	0.6011	0.0192
BeatGAN	0.2128	0.1361	0.1661	0.5241	0.2582	0.0839	0.0798	0.0818	0.4858	0.1415	0.0449	0.0274	0.034	0.583	0.0193
LSTM-NDT	0.1684	0.2335	0.1957	0.5434	0.2538	0.2256	0.2866	0.2525	0.8488	0.5349	0.5611	0.0401	0.0749	0.6283	0.0666
	ECG					NYC					SMAP				
	Pre	Rec	F1	ROC	PR	Pre	Rec	F1	ROC	PR	Pre	Rec	F1	ROC	PR
CNN-AE	0.0821	0.0847	0.0834	0.4109	0.1157	0.0833	0.101	0.0913	0.6332	0.0421	0.1082	0.0741	0.0879	0.4276	0.1352
2DCNN-AE	0.0663	0.086	0.0749	0.4661	0.0915	0.0809	0.1414	0.1029	0.6377	0.0441	0.2343	0.2916	0.2599	0.5193	0.1854
LSTM-AE	0.039	0.0479	0.043	0.4211	0.0812	0.0843	0.1414	0.1057	0.6416	0.0442	0.0764	0.0147	0.0247	0.4265	0.1358
HIFI	0.0643	0.1123	0.0818	0.5273	0.0975	0.0761	0.1414	0.0989	0.6354	0.0439	0.1142	0.0397	0.0589	0.4394	0.1334
RN	0.0679	0.2022	0.1016	0.527	0.11	0.0964	0.0808	0.0879	0.6459	0.0397	0.0854	0.15	0.1089	0.4507	0.1742
RAE	0.0978	0.1241	0.1094	0.5158	0.1433	0.0492	0.2626	0.0829	0.6526	0.0491	0.0908	0.0689	0.0784	0.4887	0.1449
Omni	0.0923	0.1477	0.1136	0.5502	0.1384	0.0909	0.101	0.0957	0.6217	0.0383	0.1928	0.1178	0.1462	0.4332	0.1332
BeatGAN	0.082	0.2068	0.1174	0.6126	0.158	0.0439	0.3737	0.0786	0.6339	0.0428	0.1869	0.0468	0.0748	0.4527	0.1697
LSTM-NDT	0.0837	0.1195	0.0984	0.4395	0.1014	0.0055	0.0101	0.0071	0.4654	0.0197	0.1429	0.1749	0.1573	0.4946	0.2126
	Credit					SWaT					MSL				
	Pre	Rec	F1	ROC	PR	Pre	Rec	F1	ROC	PR	Pre	Rec	F1	ROC	PR
CNN-AE	0.0063	0.0926	0.0118	0.5978	0.0041	0.0778	0.2491	0.1185	0.6296	0.0646	0.0963	0.0297	0.0455	0.5575	0.1666
2DCNN-AE	0.0103	0.1667	0.0195	0.6595	0.0061	0.0697	0.4642	0.1212	0.5887	0.0603	0.0765	0.0937	0.0843	0.5017	0.1454
LSTM-AE	0.0008	0.037	0.0016	0.3901	0.0009	0.0086	0.0057	0.0068	0.4425	0.0346	0.1086	0.0134	0.0238	0.4283	0.1368
HIFI	0.0016	0.0185	0.0029	0.4279	0.0012	0.0966	0.2094	0.1322	0.7485	0.1379	0.1194	0.0072	0.0136	0.4372	0.1369
RN	0.0051	0.0741	0.0095	0.6134	0.0021	0.071	0.1472	0.0958	0.5657	0.0677	0.1162	0.2548	0.1596	0.5154	0.1873
RAE	0.002	0.0093	0.0032	0.3429	0.001	0.0538	0.1811	0.0829	0.4411	0.0498	0.0422	0.0205	0.0276	0.4572	0.1237
Omni	0.0494	0.6204	0.0915	0.8344	0.3631	1	0.5851	0.7383	0.8326	0.7227	0.0681	0.0295	0.0412	0.497	0.134
BeatGAN	0.2297	0.4444	0.3028	0.8295	0.1661	0	0	0	0.1905	0.0993	0.0561	0.0256	0.0352	0.4417	0.1391
LSTM-NDT	0.0039	0.0278	0.0068	0.4013	0.0011	0.0256	0.183	0.045	0.4666	0.0353	0.2919	0.2546	0.272	0.5182	0.2221

Table 22: Univariate vs. Multivariate. Sliding window size=32, Hidden size=128.

	NAB					S5					KPI				
	Pre	Rec	F1	ROC	PR	Pre	Rec	F1	ROC	PR	Pre	Rec	F1	ROC	PR
CNN-AE	0.1467	0.2312	0.1795	0.5411	0.251	0.2356	0.235	0.2353	0.7477	0.4508	0.3963	0.0379	0.0691	0.4837	0.0505
2DCNN-AE	0.1667	0.1556	0.1609	0.5511	0.2449	0.2584	0.2963	0.276	0.8252	0.4313	0.0499	0.0244	0.0328	0.6098	0.0197
LSTM-AE	0.1272	0.1241	0.1256	0.5104	0.2063	0.1876	0.2586	0.2174	0.6728	0.4233	0.0503	0.0362	0.0421	0.6024	0.021
HIFI	0.1571	0.1722	0.1643	0.538	0.2427	0.1188	0.1711	0.1402	0.6583	0.2293	0.0119	0.0565	0.0196	0.495	0.0113
RN	0.1363	0.1698	0.1513	0.4981	0.2567	0.0801	0.2253	0.1182	0.5528	0.0872	0.0124	0.0078	0.0095	0.576	0.0138
RAE	0.1572	0.1527	0.1549	0.5375	0.2325	0.1534	0.1581	0.1557	0.6456	0.2187	0.0065	0.1954	0.0127	0.4279	0.0348
Omni	0.1803	0.1484	0.1628	0.5144	0.2086	0.2522	0.2733	0.2623	0.661	0.3778	0.0333	0.043	0.0375	0.6042	0.0194
BeatGAN	0.1508	0.2658	0.1925	0.4721	0.1909	0.0602	0.1322	0.0827	0.3338	0.0974	0.0447	0.0281	0.0345	0.6039	0.0197
LSTM-NDT	0.1531	0.2147	0.1787	0.5417	0.2427	0.2385	0.3109	0.2699	0.8744	0.5418	0.6223	0.0386	0.0726	0.6345	0.0694
	ECG					NYC					SMAP				
	Pre	Rec	F1	ROC	PR	Pre	Rec	F1	ROC	PR	Pre	Rec	F1	ROC	PR
CNN-AE	0.0722	0.0827	0.0771	0.4917	0.082	0.0763	0.101	0.087	0.6337	0.0432	0.0617	0.047	0.0533	0.4186	0.1301
2DCNN-AE	0.0473	0.0808	0.0597	0.4906	0.1018	0.0863	0.1212	0.1008	0.64	0.0448	0.2137	0.2413	0.2267	0.5529	0.2304
LSTM-AE	0.0876	0.0716	0.0788	0.4268	0.1128	0.087	0.1616	0.1131	0.6403	0.0463	0.2328	0.032	0.0563	0.415	0.1431
HIFI	0.0607	0.0998	0.0755	0.5209	0.0905	0.071	0.1212	0.0896	0.635	0.0433	0.0493	0.0149	0.0229	0.4528	0.1338
RN	0.0645	0.1228	0.0846	0.5011	0.0988	0.093	0.0808	0.0865	0.6437	0.0405	0.1333	0.2181	0.1654	0.4647	0.1638
RAE	0.0926	0.1162	0.1031	0.4916	0.1231	0.0345	0.3737	0.0632	0.608	0.0503	0.0859	0.0651	0.0741	0.4911	0.1663
Omni	0.1055	0.1464	0.1226	0.5437	0.1267	0.075	0.0303	0.0432	0.6264	0.041	0.0708	0.0513	0.0595	0.4449	0.1482
BeatGAN	0.0855	0.1392	0.1059	0.519	0.0951	0.072	0.2626	0.113	0.6146	0.0479	0.0977	0.0504	0.0665	0.4939	0.1974
LSTM-NDT	0.099	0.1326	0.1134	0.4786	0.1101	0.0189	0.1212	0.0327	0.4874	0.0208	0.1776	0.2219	0.1973	0.4761	0.21
	Credit					SWaT					MSL				
	Pre	Rec	F1	ROC	PR	Pre	Rec	F1	ROC	PR	Pre	Rec	F1	ROC	PR
CNN-AE	0.0125	0.1759	0.0234	0.7085	0.006	0.1888	0.0887	0.1207	0.6574	0.1245	0.1294	0.0425	0.064	0.5424	0.1506
2DCNN-AE	0.0281	0.4167	0.0527	0.7989	0.0485	0.0732	0.1434	0.0969	0.5765	0.057	0.1287	0.1635	0.1441	0.5013	0.1868
LSTM-AE	0.0106	0.1481	0.0198	0.7142	0.0046	0.0182	0.0075	0.0107	0.5156	0.0382	0.0853	0.0368	0.0514	0.473	0.1361
HIFI	0.0009	0.0093	0.0017	0.2912	0.0016	0.343	0.134	0.1927	0.7432	0.1712	0.2126	0.0192	0.0352	0.4917	0.1884
RN	0.0052	0.0833	0.0098	0.633	0.0024	0.0599	0.2226	0.0944	0.528	0.0551	0.1207	0.1288	0.1246	0.5241	0.1871
RAE	0.0052	0.0556	0.0095	0.4641	0.0015	0.1835	0.0755	0.107	0.5684	0.0842	0.0653	0.0189	0.0293	0.4259	0.1244
Omni	0.0688	0.6019	0.1235	0.8431	0.3346	0.9999	0.585	0.7381	0.818	0.7271	0.1354	0.078	0.099	0.4936	0.1689
BeatGAN	0.1389	0.5093	0.2183	0.8292	0.384	0	0	0	0.1996	0.0917	0.1343	0.0773	0.0981	0.445	0.1541
LSTM-NDT	0.0034	0.037	0.0063	0.3821	0.001	0.0345	0.083	0.0488	0.4546	0.0368	0.27	0.2322	0.2496	0.5386	0.2101

Table 23: Results of DL Methods (Univariate vs. Multivariate; Sliding window size=32, Hidden size=256)

	NAB					S5					KPI				
	Pre	Rec	F1	ROC	PR	Pre	Rec	F1	ROC	PR	Pre	Rec	F1	ROC	PR
CNN-AE	0.2414	0.1836	0.2086	0.5459	0.2535	0.1953	0.2107	0.2027	0.7158	0.3949	0.0625	0.0647	0.0636	0.6187	0.0421
2DCNN-AE	0.1564	0.2006	0.1758	0.5633	0.2431	0.204	0.3161	0.2479	0.8626	0.5412	0.0579	0.0366	0.0449	0.6171	0.0304
LSTM-AE	0.1314	0.1275	0.1294	0.4969	0.2027	0.166	0.2433	0.1974	0.6418	0.3772	0.0499	0.0368	0.0424	0.6023	0.021
HIFI	0.1503	0.1562	0.1532	0.5361	0.2343	0.1281	0.1928	0.154	0.6475	0.2554	0.0183	0.1229	0.0319	0.535	0.0149
RN	0.1436	0.2379	0.1791	0.5156	0.2111	0.0813	0.2167	0.1182	0.5598	0.04	0.0124	0.0078	0.0095	0.576	0.0138
RAE	0.1482	0.1853	0.1647	0.5206	0.2359	0.1342	0.4466	0.2063	0.6284	0.2167	0.052	0.0622	0.0566	0.6369	0.0239
Omni	0.1743	0.1584	0.166	0.5268	0.2154	0.1412	0.3966	0.2082	0.4857	0.243	0.0367	0.0346	0.0356	0.6093	0.0195
BeatGAN	0.1585	0.251	0.1943	0.5464	0.2429	0.1762	0.1041	0.1309	0.3763	0.1783	0.0176	0.0419	0.0248	0.541	0.0145
LSTM-NDT	0.147	0.1873	0.1647	0.5176	0.2235	0.2399	0.2938	0.2641	0.8638	0.5084	0.6283	0.0397	0.0747	0.664	0.0779
	ECG					NYC					SMAP				
	Pre	Rec	F1	ROC	PR	Pre	Rec	F1	ROC	PR	Pre	Rec	F1	ROC	PR
CNN-AE	0.0754	0.1024	0.0869	0.5261	0.132	0.0641	0.1515	0.0901	0.6382	0.0418	0.089	0.0796	0.084	0.4454	0.1476
2DCNN-AE	0.0654	0.0854	0.0741	0.4723	0.0897	0.076	0.1313	0.0963	0.6371	0.0441	0.2342	0.3659	0.2856	0.5351	0.1841
LSTM-AE	0.0755	0.1024	0.087	0.5386	0.1582	0.0874	0.0909	0.0891	0.6299	0.0425	0.2372	0.0398	0.0681	0.4468	0.1606
HIFI	0.0563	0.107	0.0738	0.4647	0.0788	0.0747	0.1313	0.0952	0.633	0.0426	0.0293	0.0103	0.0153	0.454	0.1282
RN	0.0737	0.0729	0.0733	0.4009	0.1269	0.1143	0.0808	0.0947	0.6491	0.0409	0.2085	0.3099	0.2493	0.5167	0.1531
RAE	0.0688	0.1287	0.0897	0.5257	0.1083	0.025	0.2525	0.0455	0.6212	0.0285	0.1377	0.1142	0.1249	0.5212	0.1866
Omni	0.1079	0.1458	0.124	0.5219	0.1735	0.0373	0.0606	0.0462	0.6118	0.0304	0.0532	0.0443	0.0483	0.4642	0.1578
BeatGAN	0.0318	0.0066	0.0109	0.4708	0.0915	0.0478	0.1717	0.0747	0.5997	0.0324	0.105	0.0217	0.0359	0.4432	0.177
LSTM-NDT	0.1155	0.2292	0.1536	0.5818	0.1389	0.0141	0.101	0.0247	0.4309	0.0184	0.1634	0.22	0.1875	0.5356	0.241
	Credit					SWaT					MSL				
	Pre	Rec	F1	ROC	PR	Pre	Rec	F1	ROC	PR	Pre	Rec	F1	ROC	PR
CNN-AE	0	0	0	0.4033	0.001	0.043	0.183	0.0697	0.5195	0.0591	0.1677	0.0527	0.0802	0.4871	0.1642
2DCNN-AE	0.0135	0.2222	0.0255	0.6951	0.0101	0.0797	0.4642	0.1361	0.5985	0.0668	0.1417	0.2082	0.1686	0.5204	0.2194
LSTM-AE	0.0059	0.2407	0.0115	0.7206	0.0038	0.0122	0.017	0.0142	0.5043	0.039	0.0614	0.0299	0.0402	0.4283	0.1171
HIFI	0.0009	0.0093	0.0016	0.3105	0.0008	0.2377	0.1094	0.1499	0.7643	0.1789	0.0362	0.0037	0.0068	0.4538	0.1547
RN	0.0049	0.0833	0.0093	0.6713	0.003	0	0	0	0.4584	0.0354	0.1427	0.206	0.1686	0.5326	0.18
RAE	0.0728	0.3611	0.1211	0.7211	0.1282	0.1673	0.0774	0.1058	0.5672	0.0807	0.0941	0.0324	0.0483	0.4892	0.1492
Omni	0.0012	0.0093	0.0021	0.1657	0.0007	1	0.5836	0.7371	0.8409	0.7213	0.0691	0.0413	0.0517	0.507	0.1413
BeatGAN	0.0016	0.0093	0.0027	0.1743	0.0007	0.25	0.0001	0.0001	0.2241	0.125	0.0701	0.0408	0.0516	0.4624	0.1377
LSTM-NDT	0.0008	0.0093	0.0014	0.3722	0.001	0.0897	0.0887	0.0892	0.4195	0.037	0.2553	0.2076	0.229	0.5145	0.2056

Table 24: Results of DL Methods (Univariate vs. Multivariate; Sliding window size=64, Hidden size=16)

	NAB					S5					KPI				
	Pre	Rec	F1	ROC	PR	Pre	Rec	F1	ROC	PR	Pre	Rec	F1	ROC	PR
CNN-AE	0.1704	0.1947	0.1818	0.5177	0.2417	0.1994	0.1967	0.198	0.7102	0.3922	0.0064	0.1801	0.0123	0.4045	0.0436
2DCNN-AE	0.1815	0.2388	0.2062	0.5587	0.2615	0.3414	0.3404	0.3409	0.8476	0.5205	0.0428	0.0278	0.0337	0.603	0.0194
LSTM-AE	0.159	0.0804	0.1068	0.5019	0.222	0.1708	0.3404	0.2275	0.4382	0.2657	0.9182	0.0098	0.0194	0.4574	0.0381
HIFI	0.2194	0.1847	0.2005	0.5571	0.2762	0.1651	0.2043	0.1826	0.7097	0.2948	0.0786	0.0305	0.0439	0.4647	0.0306
RN	0.1262	0.1	0.1116	0.4581	0.2135	0.0499	0.0346	0.0409	0.4914	0.0464	0.006	0.1535	0.0115	0.4174	0.0289
RAE	0.2127	0.1349	0.1651	0.5109	0.2303	0.0589	0.2018	0.0912	0.5747	0.1388	0.0938	0.0971	0.0954	0.6726	0.0409
Omni	0.1405	0.1176	0.128	0.4982	0.2084	0.2856	0.3378	0.3095	0.8334	0.5073	0.0214	0.0459	0.0292	0.5271	0.015
BeatGAN	0.2005	0.167	0.1822	0.507	0.2327	0.1748	0.1392	0.155	0.4955	0.1989	0.0277	0.0586	0.0376	0.5223	0.0174
LSTM-NDT	0.1512	0.2344	0.1838	0.5107	0.2196	0.2876	0.2731	0.2801	0.8026	0.5065	0.6264	0.0428	0.0802	0.6634	0.0811
	ECG					NYC					SMAP				
	Pre	Rec	F1	ROC	PR	Pre	Rec	F1	ROC	PR	Pre	Rec	F1	ROC	PR
CNN-AE	0.0373	0.0604	0.0461	0.3887	0.0672	0.087	0.101	0.0935	0.5722	0.0492	0.245	0.111	0.1527	0.4237	0.1459
2DCNN-AE	0.0602	0.0886	0.0717	0.4946	0.1081	0	0	0	0.4366	0.024	0.1221	0.1031	0.1118	0.4196	0.1301
LSTM-AE	0.0598	0.0584	0.0591	0.4349	0.0902	0.0932	0.1111	0.1014	0.5823	0.0354	0.212	0.0731	0.1087	0.4607	0.1791
HIFI	0.0724	0.0696	0.071	0.551	0.1987	0.0683	0.1717	0.0977	0.6302	0.0542	0.1559	0.0262	0.0448	0.5022	0.1642
RN	0.0785	0.2219	0.116	0.506	0.0971	0.0795	0.2828	0.1242	0.4766	0.1053	0.1527	0.2737	0.1961	0.526	0.1941
RAE	0.1148	0.197	0.145	0.5926	0.1574	0.0792	0.3535	0.1294	0.6548	0.0748	0.1787	0.0372	0.0616	0.4656	0.1665
Omni	0.0602	0.084	0.0701	0.3788	0.0844	0.0548	0.3434	0.0944	0.6567	0.0449	0.171	0.1201	0.1411	0.5217	0.1787
BeatGAN	0.0513	0.0991	0.0676	0.4861	0.1058	0.0763	0.101	0.087	0.4669	0.033	0.1211	0.0535	0.0742	0.433	0.1601
LSTM-NDT	0.0676	0.1911	0.0998	0.471	0.1012	0.0088	0.0202	0.0122	0.4911	0.0216	0.1888	0.2179	0.2023	0.5161	0.2462
	Credit					SWaT					MSL				
	Pre	Rec	F1	ROC	PR	Pre	Rec	F1	ROC	PR	Pre	Rec	F1	ROC	PR
CNN-AE	0.0328	0.4537	0.0611	0.7795	0.1285	0.1115	0.1189	0.1151	0.6428	0.0715	0.1851	0.0395	0.0651	0.5205	0.1487
2DCNN-AE	0.0377	0.5556	0.0705	0.8202	0.3165	0.1049	0.334	0.1597	0.6921	0.0981	0.1159	0.1357	0.125	0.4814	0.1482
LSTM-AE	0.0061	0.1204	0.0117	0.6026	0.0026	0.3546	0.0943	0.149	0.5724	0.094	0.1077	0.0545	0.0723	0.4858	0.1471
HIFI	0	0	0	0.258	0.0008	0.2175	0.3415	0.2658	0.6552	0.2207	0.1552	0.0388	0.062	0.4892	0.1691
RN	0.0036	0.0556	0.0067	0.5632	0.0017	0	0	0	0.5731	0.0525	0.1173	0.2665	0.1629	0.543	0.2077
RAE	0.0074	0.1111	0.0139	0.6882	0.0051	0.3531	0.2698	0.3059	0.7338	0.2167	0.2144	0.0122	0.0231	0.4451	0.1463
Omni	0.0456	0.3333	0.0802	0.8048	0.0348	1	0.1102	0.1985	0.7708	0.6661	0.0922	0.1362	0.11	0.5139	0.1237
BeatGAN	0.0009	0.0093	0.0016	0.1689	0.0007	0.973	0.0415	0.0796	0.7814	0.6904	0.4448	0.0473	0.0854	0.516	0.2118
LSTM-NDT	0.003	0.0185	0.0052	0.4088	0.0011	0.0201	0.1	0.0334	0.4272	0.0333	0.2632	0.2298	0.2454	0.5363	0.2136

Table 25: Results of DL Methods (Univariate vs. Multivariate; Sliding window size=64, Hidden size=32)

	NAB					S5					KPI				
	Pre	Rec	F1	ROC	PR	Pre	Rec	F1	ROC	PR	Pre	Rec	F1	ROC	PR
CNN-AE	0.2002	0.1885	0.1942	0.5102	0.2219	0.2114	0.2031	0.2072	0.7322	0.3918	0.0065	0.192	0.0126	0.4552	0.0442
2DCNN-AE	0.2045	0.2703	0.2329	0.5587	0.2657	0.3027	0.3346	0.3179	0.8561	0.494	0.0357	0.0323	0.0339	0.6031	0.019
LSTM-AE	0.1668	0.0778	0.1061	0.4728	0.1943	0.1551	0.258	0.1938	0.3534	0.21	0.0429	0.0317	0.0364	0.6034	0.0198
HIFI	0.2184	0.1929	0.2048	0.5609	0.2845	0.1199	0.1641	0.1386	0.6539	0.2448	0.0391	0.0643	0.0486	0.6279	0.0258
RN	0.1346	0.0967	0.1126	0.4558	0.2066	0.0186	0.0482	0.0269	0.3925	0.0436	0.006	0.1297	0.0114	0.431	0.0289
RAE	0.1271	0.1268	0.127	0.4662	0.1989	0.0726	0.2459	0.1121	0.5541	0.1401	0.0081	0.2446	0.0156	0.4398	0.0105
Omni	0.2075	0.1336	0.1626	0.4933	0.2123	0.3521	0.3557	0.3539	0.8174	0.5727	0.0062	0.1592	0.0119	0.4378	0.0112
BeatGAN	0.2135	0.1184	0.1523	0.4877	0.2297	0.1606	0.1137	0.1331	0.4376	0.1668	1	0.0003	0.0006	0.428	0.014
LSTM-NDT	0.1621	0.2398	0.1934	0.5505	0.2494	0.2489	0.2799	0.2635	0.8115	0.5158	0.5573	0.0458	0.0847	0.6702	0.0805
	ECG					NYC					SMAP				
	Pre	Rec	F1	ROC	PR	Pre	Rec	F1	ROC	PR	Pre	Rec	F1	ROC	PR
CNN-AE	0.0281	0.0295	0.0288	0.4053	0.0736	0.0877	0.101	0.0939	0.5832	0.0477	0.068	0.0241	0.0356	0.3494	0.1117
2DCNN-AE	0.0667	0.0794	0.0725	0.5049	0.1428	0.094	0.1111	0.1019	0.585	0.052	0.1649	0.1537	0.1591	0.4215	0.1521
LSTM-AE	0.0515	0.065	0.0575	0.467	0.1012	0.0777	0.0808	0.0792	0.4469	0.0278	0.1209	0.0561	0.0766	0.4611	0.1723
HIFI	0.0249	0.0243	0.0246	0.5006	0.0985	0.0887	0.1111	0.0987	0.6202	0.0543	0.2018	0.0416	0.069	0.4303	0.1454
RN	0.0777	0.2068	0.113	0.4769	0.1123	0.0978	0.1818	0.1272	0.4859	0.0908	0.1207	0.2173	0.1552	0.5097	0.1787
RAE	0.1077	0.151	0.1257	0.5415	0.1632	0.1818	0.1616	0.1711	0.6942	0.066	0.2418	0.0606	0.097	0.5245	0.2044
Omni	0.089	0.1674	0.1162	0.5479	0.1077	0.105	0.1919	0.1357	0.6362	0.051	0.1593	0.0602	0.0873	0.4417	0.1472
BeatGAN	0.0953	0.1037	0.0993	0.5111	0.0964	0.0896	0.1212	0.103	0.5109	0.0399	0.337	0.0634	0.1067	0.438	0.1581
LSTM-NDT	0.0709	0.1123	0.0869	0.4031	0.0884	0.0242	0.1212	0.0403	0.4848	0.0222	0.2423	0.3125	0.2729	0.5304	0.244
	Credit					SWaT					MSL				
	Pre	Rec	F1	ROC	PR	Pre	Rec	F1	ROC	PR	Pre	Rec	F1	ROC	PR
CNN-AE	0.0375	0.4537	0.0693	0.8206	0.0527	0.0761	0.1792	0.1069	0.6947	0.076	0.1836	0.0191	0.0345	0.4702	0.1506
2DCNN-AE	0.0314	0.4815	0.0589	0.8125	0.2411	0.1422	0.2774	0.188	0.6712	0.1015	0.1374	0.1696	0.1518	0.5227	0.1575
LSTM-AE	0.0499	0.2222	0.0815	0.7668	0.0233	0.1559	0.0868	0.1115	0.6768	0.0932	0.0583	0.0187	0.0283	0.4733	0.141
HIFI	0.0019	0.0463	0.0037	0.4631	0.0022	0.21	0.1113	0.1455	0.5923	0.1206	0.1684	0.044	0.0698	0.5016	0.1848
RN	0.003	0.1667	0.0058	0.5827	0.0018	0.0448	0.2	0.0733	0.5237	0.0474	0.1148	0.2511	0.1576	0.5091	0.1739
RAE	0.0008	0.0093	0.0015	0.4929	0.0012	0.1751	0.0585	0.0877	0.4178	0.0477	0.1044	0.0064	0.0121	0.4549	0.1331
Omni	0.0015	0.0185	0.0027	0.1913	0.0008	0.9978	0.5853	0.7378	0.7893	0.7111	0.0872	0.0689	0.077	0.4939	0.1361
BeatGAN	0.0009	0.0093	0.0017	0.1704	0.0007	0	0	0	0.1861	0.0964	0.17	0.0355	0.0588	0.5232	0.1965
LSTM-NDT	0	0	0	0.4016	0.001	0.0409	0.2943	0.0718	0.5045	0.0436	0.2589	0.2349	0.2463	0.5114	0.2043

Table 26: Results of DL Methods (Univariate vs. Multivariate; Sliding window size=64, Hidden size=64)

	NAB					S5					KPI				
	Pre	Rec	F1	ROC	PR	Pre	Rec	F1	ROC	PR	Pre	Rec	F1	ROC	PR
CNN-AE	0.1756	0.1854	0.1803	0.5048	0.231	0.1976	0.189	0.1932	0.7132	0.3711	0.0065	0.1871	0.0126	0.432	0.046
2DCNN-AE	0.2405	0.3063	0.2695	0.5834	0.2915	0.1974	0.2867	0.2339	0.8143	0.3897	0.0499	0.057	0.0532	0.5546	0.0382
LSTM-AE	0.1536	0.0996	0.1208	0.5047	0.2055	0.2104	0.1347	0.1643	0.3611	0.1863	0.0431	0.0326	0.0372	0.6038	0.0199
HIFI	0.2156	0.1888	0.2013	0.5523	0.2582	0.104	0.1558	0.1247	0.6664	0.1706	0.042	0.0778	0.0545	0.5595	0.0367
RN	0.1391	0.1933	0.1618	0.4963	0.22	0.0503	0.1386	0.0738	0.5053	0.0711	0.0132	0.0083	0.0101	0.5618	0.0131
RAE	0.1425	0.1545	0.1482	0.4948	0.2086	0.0984	0.1087	0.1033	0.5661	0.143	0.0171	0.0168	0.017	0.4825	0.011
Omni	0.1791	0.134	0.1533	0.5048	0.2115	0.2873	0.3563	0.3181	0.7983	0.5178	0.1109	0.0097	0.0179	0.4497	0.0127
BeatGAN	0.2166	0.1121	0.1478	0.4585	0.2179	0.1432	0.1003	0.118	0.3728	0.1225	0.0447	0.0281	0.0345	0.6039	0.0197
LSTM-NDT	0.1651	0.2463	0.1977	0.5356	0.2377	0.2405	0.3145	0.2726	0.856	0.533	0.6062	0.0438	0.0817	0.6632	0.0801
	ECG					NYC					SMAP				
	Pre	Rec	F1	ROC	PR	Pre	Rec	F1	ROC	PR	Pre	Rec	F1	ROC	PR
CNN-AE	0.079	0.0624	0.0697	0.4824	0.13	0.094	0.1111	0.1019	0.5994	0.0454	0.0948	0.0193	0.0321	0.3498	0.1019
2DCNN-AE	0.033	0.0335	0.0332	0.4312	0.0855	0.088	0.1111	0.0982	0.6152	0.0548	0.2167	0.3233	0.2594	0.5527	0.1805
LSTM-AE	0.0693	0.0854	0.0765	0.4347	0.0884	0.0707	0.1313	0.0919	0.6265	0.0385	0.2091	0.0513	0.0824	0.4694	0.1915
HIFI	0.0351	0.0322	0.0336	0.4892	0.0829	0.0873	0.1111	0.0978	0.6279	0.0561	0.0526	0.0141	0.0222	0.4311	0.1371
RN	0.0748	0.1944	0.108	0.457	0.1052	0.0979	0.1919	0.1297	0.4924	0.0956	0.1911	0.2542	0.2182	0.4766	0.1931
RAE	0.1103	0.1563	0.1293	0.6056	0.1901	0.0292	0.2323	0.0519	0.6544	0.0417	0.1699	0.0638	0.0927	0.5112	0.1792
Omni	0.1081	0.1681	0.1316	0.5858	0.1493	0.083	0.2222	0.1209	0.6044	0.0424	0.113	0.0496	0.0689	0.4312	0.147
BeatGAN	0.2333	0.2791	0.2541	0.608	0.2603	0.0792	0.0808	0.08	0.6067	0.0386	0.254	0.1087	0.1522	0.5039	0.21
LSTM-NDT	0.0857	0.1156	0.0984	0.4506	0.101	0.0208	0.0606	0.031	0.465	0.0205	0.1371	0.1782	0.1549	0.4967	0.226
	Credit					SWaT					MSL				
	Pre	Rec	F1	ROC	PR	Pre	Rec	F1	ROC	PR	Pre	Rec	F1	ROC	PR
CNN-AE	0.028	0.4259	0.0525	0.7688	0.1117	0.1404	0.1396	0.14	0.6174	0.0962	0.1671	0.0236	0.0413	0.541	0.1666
2DCNN-AE	0.033	0.463	0.0617	0.7988	0.2009	0.2461	0.1491	0.1857	0.6282	0.1154	0.0967	0.1544	0.1189	0.5012	0.1443
LSTM-AE	0.0034	0.0185	0.0057	0.4957	0.0014	0.1012	0.066	0.0799	0.5648	0.0948	0.0851	0.0348	0.0494	0.4434	0.1323
HIFI	0.0543	0.4537	0.0969	0.8323	0.1322	0.0997	0.2396	0.1408	0.7342	0.1274	0.1887	0.05	0.079	0.4944	0.2209
RN	0.0029	0.2037	0.0057	0.5547	0.0018	0.0916	0.3283	0.1433	0.5782	0.054	0.1255	0.1595	0.1405	0.5485	0.1621
RAE	0.0109	0.1667	0.0205	0.6913	0.0122	0.022	0.0811	0.0346	0.4121	0.0308	0.045	0.0183	0.026	0.4801	0.1506
Omni	0.0028	0.0278	0.0051	0.2892	0.001	0.9404	0.613	0.7422	0.8192	0.719	0.0847	0.1043	0.0935	0.5068	0.1361
BeatGAN	0.1504	0.5	0.2313	0.8295	0.3675	0	0	0	0.1874	0.0945	0.1656	0.0505	0.0774	0.4528	0.176
LSTM-NDT	0.0041	0.037	0.0074	0.3715	0.0011	0.0191	0.1226	0.0331	0.4521	0.0344	0.3103	0.2645	0.2856	0.5542	0.2413

Table 27: Results of DL Methods (Univariate vs. Multivariate; Sliding window size=64, Hidden size=128)

	NAB					S5					KPI				
	Pre	Rec	F1	ROC	PR	Pre	Rec	F1	ROC	PR	Pre	Rec	F1	ROC	PR
CNN-AE	0.1896	0.1885	0.1891	0.5124	0.2302	0.1792	0.1826	0.1809	0.7228	0.3701	0.9707	0.0354	0.0682	0.3995	0.044
2DCNN-AE	0.177	0.1692	0.173	0.5367	0.2329	0.2111	0.2401	0.2247	0.8071	0.3265	0.0437	0.0266	0.0331	0.6043	0.0194
LSTM-AE	0.1376	0.0925	0.1106	0.458	0.1847	0.2232	0.1571	0.1844	0.4255	0.2548	0.0443	0.0306	0.0362	0.6033	0.02
HIFI	0.1806	0.1566	0.1677	0.5264	0.2361	0.0884	0.1315	0.1057	0.6236	0.1307	0.0375	0.0752	0.0501	0.5896	0.0322
RN	0.1371	0.2263	0.1707	0.5069	0.2037	0.0453	0.1141	0.0648	0.557	0.033	0.0132	0.0083	0.0101	0.5618	0.0131
RAE	0.1419	0.132	0.1368	0.5173	0.2311	0.0538	0.1902	0.0839	0.5282	0.1146	0.0893	0.0996	0.0942	0.6909	0.0446
Omni	0.1768	0.1076	0.1338	0.5149	0.2204	0.2355	0.2861	0.2584	0.6778	0.4	0.0291	0.0526	0.0375	0.5774	0.0188
BeatGAN	0.2007	0.179	0.1892	0.5662	0.2588	0.0691	0.0332	0.0448	0.321	0.0954	0.0093	0.0297	0.0142	0.5094	0.0343
LSTM-NDT	0.1538	0.2416	0.188	0.544	0.2404	0.2442	0.3077	0.2723	0.849	0.5021	0.4933	0.0396	0.0734	0.6025	0.0595
	ECG					NYC					SMAP				
	Pre	Rec	F1	ROC	PR	Pre	Rec	F1	ROC	PR	Pre	Rec	F1	ROC	PR
CNN-AE	0.0814	0.0965	0.0883	0.5044	0.1548	0.0855	0.101	0.0926	0.5843	0.0396	0.2071	0.0973	0.1324	0.3956	0.1278
2DCNN-AE	0.0789	0.0749	0.0768	0.4408	0.1385	0.0965	0.1111	0.1033	0.5881	0.0523	0.2215	0.2784	0.2467	0.5273	0.1967
LSTM-AE	0.0897	0.128	0.1055	0.5242	0.1599	0.0769	0.101	0.0873	0.5953	0.0382	0.402	0.0639	0.1102	0.3939	0.149
HIFI	0.0648	0.0571	0.0607	0.4978	0.1303	0.0894	0.1111	0.0991	0.6204	0.055	0.2293	0.0355	0.0615	0.4322	0.1376
RN	0.0859	0.0762	0.0807	0.4465	0.1385	0.1864	0.1111	0.1392	0.6917	0.087	0.2077	0.3067	0.2477	0.5126	0.1506
RAE	0.0897	0.1412	0.1097	0.5077	0.1299	0.0994	0.1717	0.1259	0.5121	0.0936	0.1968	0.0884	0.122	0.4909	0.1527
Omni	0.0927	0.1379	0.1108	0.5283	0.1385	0.1034	0.1212	0.1116	0.6005	0.0433	0.1818	0.0849	0.1158	0.4551	0.163
BeatGAN	0.1147	0.0926	0.1025	0.6245	0.13	0.0885	0.101	0.0943	0.5633	0.0423	0.5278	0.0847	0.146	0.5088	0.2092
LSTM-NDT	0.0801	0.1116	0.0933	0.4667	0.1049	0.0217	0.1414	0.0377	0.475	0.0208	0.1693	0.2198	0.1913	0.5155	0.2326
	Credit					SWaT					MSL				
	Pre	Rec	F1	ROC	PR	Pre	Rec	F1	ROC	PR	Pre	Rec	F1	ROC	PR
CNN-AE	0.0012	0.1296	0.0025	0.5229	0.0014	0	0	0	0.6157	0.0647	0.1484	0.0129	0.0237	0.5652	0.1696
2DCNN-AE	0.0309	0.4722	0.058	0.7981	0.2275	0.1552	0.2208	0.1822	0.6859	0.0907	0.1366	0.1876	0.1581	0.5261	0.2287
LSTM-AE	0.0026	0.037	0.0049	0.5876	0.0017	0.1429	0.017	0.0304	0.6072	0.0563	0.0543	0.0212	0.0305	0.4565	0.1431
HIFI	0.0368	0.5278	0.0687	0.831	0.155	0.1972	0.1057	0.1376	0.7027	0.1054	0.3467	0.0233	0.0437	0.5093	0.2134
RN	0.0036	0.1481	0.0071	0.6319	0.0021	0	0	0	0.5	0.5197	0.1371	0.2042	0.1641	0.5395	0.1639
RAE	0	0	0	0.2882	0.0008	0.066	0.1019	0.0801	0.4151	0.0421	0.038	0.0196	0.0258	0.435	0.1207
Omni	0.0847	0.5741	0.1476	0.8292	0.3861	0.9999	0.5829	0.7364	0.8311	0.7228	0.0857	0.0743	0.0796	0.4988	0.1318
BeatGAN	0.1582	0.4907	0.2393	0.8287	0.2353	0	0	0	0.1935	0.0868	0.0729	0.0334	0.0458	0.4423	0.1507
LSTM-NDT	0.0012	0.0093	0.0021	0.3787	0.001	0.0266	0.1962	0.0468	0.4572	0.0353	0.2997	0.2287	0.2594	0.5094	0.2037

Table 28: Results of DL Methods (Univariate vs. Multivariate; Sliding window size=64, Hidden size=256)

	NAB					S5					KPI				
	Pre	Rec	F1	ROC	PR	Pre	Rec	F1	ROC	PR	Pre	Rec	F1	ROC	PR
CNN-AE	0.1808	0.2496	0.2097	0.5262	0.2581	0.1645	0.1705	0.1675	0.6856	0.2788	0.2607	0.1471	0.1881	0.5188	0.1067
2DCNN-AE	0.1647	0.2165	0.1871	0.5641	0.2528	0.1969	0.304	0.239	0.8401	0.44	0.0575	0.0363	0.0445	0.6134	0.0268
LSTM-AE	0.1375	0.0905	0.1091	0.4898	0.1968	0.1925	0.1762	0.184	0.5367	0.3106	0.0469	0.0307	0.0371	0.6034	0.0201
HIFI	0.1896	0.1469	0.1655	0.5511	0.2511	0.0902	0.1398	0.1097	0.6152	0.1483	0.0294	0.0246	0.0268	0.4005	0.0198
RN	-1	-1	-1	-1	-1	-1	-1	-1	-1	-1	-1	-1	-1	-1	-1
RAE	0.2145	0.1212	0.1549	0.5321	0.2275	0.0818	0.0883	0.0849	0.5312	0.1235	0.0933	0.0891	0.0911	0.6893	0.0397
Omni	0.1773	0.0887	0.1183	0.5089	0.2201	0.1767	0.4553	0.2546	0.5026	0.2507	0.039	0.0345	0.0366	0.6038	0.0197
BeatGAN	0.1804	0.2408	0.2062	0.4899	0.2272	0.174	0.0811	0.1106	0.3738	0.1381	0.0446	0.0281	0.0345	0.5998	0.0196
LSTM-NDT	0.149	0.2056	0.1728	0.5325	0.2269	0.2364	0.2874	0.2594	0.8457	0.4975	0.6355	0.0403	0.0758	0.6578	0.0771
	ECG					NYC					SMAP				
	Pre	Rec	F1	ROC	PR	Pre	Rec	F1	ROC	PR	Pre	Rec	F1	ROC	PR
CNN-AE	0.0998	0.1083	0.1039	0.5618	0.1403	0.0615	0.0808	0.0699	0.4528	0.0244	0.0708	0.035	0.0468	0.4376	0.1453
2DCNN-AE	0.0263	0.0276	0.0269	0.4136	0.0734	0.0894	0.1111	0.0991	0.6134	0.0544	0.2345	0.3655	0.2857	0.5348	0.1841
LSTM-AE	0.0774	0.0998	0.0872	0.5567	0.1192	0.0773	0.1717	0.1066	0.6094	0.0426	0.2104	0.0453	0.0745	0.4438	0.1637
HIFI	0.064	0.0479	0.0548	0.5058	0.1056	0.094	0.1111	0.1019	0.5964	0.0524	0.0402	0.0076	0.0128	0.4058	0.1013
RN	-1	-1	-1	-1	-1	-1	-1	-1	-1	-1	-1	-1	-1	-1	-1
RAE	0.118	0.172	0.14	0.5576	0.1543	0.0822	0.2525	0.1241	0.4568	0.0454	0.1047	0.0518	0.0693	0.5015	0.1581
Omni	0.0977	0.1261	0.1101	0.5497	0.1683	0.0833	0.1515	0.1075	0.5869	0.0404	0.1185	0.0582	0.0781	0.468	0.1555
BeatGAN	0.0783	0.0755	0.0769	0.4208	0.0909	0.0736	0.2424	0.1129	0.6472	0.0453	0.1848	0.028	0.0486	0.4453	0.1683
LSTM-NDT	0.1107	0.1504	0.1275	0.5511	0.1198	0.0151	0.1111	0.0266	0.4233	0.0183	0.1578	0.2109	0.1806	0.503	0.2155
	Credit					SWaT					MSL				
	Pre	Rec	F1	ROC	PR	Pre	Rec	F1	ROC	PR	Pre	Rec	F1	ROC	PR
CNN-AE	0.0064	0.0463	0.0112	0.6503	0.0033	0.1368	0.1038	0.118	0.55	0.0674	0.1175	0.0364	0.0556	0.4786	0.1489
2DCNN-AE	0.0303	0.4722	0.057	0.8174	0.1674	0.2406	0.1453	0.1812	0.5922	0.11	0.1417	0.2082	0.1686	0.5204	0.2194
LSTM-AE	0.0036	0.0278	0.0063	0.6217	0.0023	0.0612	0.0679	0.0644	0.6063	0.0562	0.0551	0.0237	0.0331	0.4833	0.1272
HIFI	0.0023	0.0185	0.004	0.209	0.0008	0.2515	0.0774	0.1183	0.6602	0.1268	0.1115	0.0276	0.0442	0.455	0.1481
RN	-1	-1	-1	-1	-1	-1	-1	-1	-1	-1	-1	-1	-1	-1	-1
RAE	0.0021	0.0833	0.004	0.5976	0.0017	0.2149	0.0981	0.1347	0.4075	0.0533	0.0594	0.0274	0.0375	0.4447	0.1285
Omni	0.0218	0.3148	0.0407	0.7152	0.0496	0.9999	0.5845	0.7377	0.832	0.7391	0.1066	0.1289	0.1167	0.4916	0.1329
BeatGAN	0.0014	0.0093	0.0024	0.1707	0.0007	0	0	0	0.1953	0.096	0.2051	0.0229	0.0412	0.4033	0.133
LSTM-NDT	0.0023	0.0185	0.0042	0.412	0.0011	0.0456	0.1094	0.0643	0.4492	0.0351	0.3091	0.2532	0.2784	0.5013	0.208

Table 29: Results of DL Methods (Univariate vs. Multivariate; Sliding window size=128, Hidden size=16)

	NAB					S5					KPI				
	Pre	Rec	F1	ROC	PR	Pre	Rec	F1	ROC	PR	Pre	Rec	F1	ROC	PR
CNN-AE	0.4084	0.1233	0.1894	0.4964	0.2731	0.1141	0.1181	0.1161	0.6126	0.2062	0.0065	0.1862	0.0126	0.4293	0.0497
2DCNN-AE	0.2734	0.2097	0.2373	0.5715	0.2718	0.3872	0.3595	0.3728	0.8471	0.5596	0.0433	0.0288	0.0346	0.6035	0.0195
LSTM-AE	0.1201	0.0778	0.0944	0.4892	0.1923	0.1724	0.251	0.2044	0.3765	0.2304	0.0066	0.1897	0.0128	0.4233	0.0387
HIFI	0.2051	0.1713	0.1867	0.5573	0.2725	0.153	0.189	0.1691	0.6856	0.2706	0.7309	0.0177	0.0345	0.3761	0.0373
RN	0.1552	0.09	0.1139	0.4441	0.1858	0.0195	0.0113	0.0143	0.4232	0.0327	0	0	0	0.4401	0.0114
RAE	0.1785	0.1015	0.1294	0.4956	0.2076	0.0333	0.1408	0.0539	0.5432	0.0809	0.0092	0.1181	0.0171	0.4591	0.0121
Omni	0.1568	0.1629	0.1598	0.4919	0.1992	0.3019	0.3372	0.3186	0.8004	0.5253	0.0332	0.0441	0.0379	0.6063	0.0193
BeatGAN	0.2207	0.1692	0.1916	0.4676	0.2104	0.1481	0.0805	0.1043	0.4427	0.1523	1	0.0112	0.0221	0.4796	0.0221
LSTM-NDT	0.146	0.1518	0.1489	0.5304	0.2407	0.3227	0.3056	0.3139	0.8391	0.5294	0.4533	0.0448	0.0815	0.6051	0.0761
	ECG					NYC					SMAP				
	Pre	Rec	F1	ROC	PR	Pre	Rec	F1	ROC	PR	Pre	Rec	F1	ROC	PR
CNN-AE	0.0386	0.0368	0.0376	0.4753	0.088	0.065	0.2121	0.0995	0.6183	0.0428	0.1849	0.0713	0.1029	0.3954	0.1376
2DCNN-AE	0.0216	0.0368	0.0273	0.3606	0.0754	0.0986	0.0707	0.0824	0.6227	0.0452	0.1747	0.1756	0.1752	0.4576	0.1423
LSTM-AE	0.1546	0.1307	0.1416	0.5801	0.2035	0.0636	0.2525	0.1016	0.6031	0.0449	0.2086	0.0884	0.1242	0.4551	0.1975
HIFI	0.0346	0.0591	0.0436	0.4358	0.0764	0.0636	0.1515	0.0896	0.6303	0.0456	0.2271	0.0388	0.0663	0.4229	0.1341
RN	0.1057	0.1963	0.1374	0.4518	0.0979	0	0	0	0.5469	0.0244	0.1752	0.3079	0.2234	0.4821	0.1621
RAE	0.1194	0.1372	0.1277	0.554	0.1433	0.0222	0.0101	0.0139	0.5553	0.0266	0.2818	0.0544	0.0913	0.5136	0.1881
Omni	0.0946	0.0932	0.0939	0.4466	0.0927	0.074	0.2525	0.1144	0.6534	0.0445	0.1727	0.1351	0.1516	0.4648	0.1461
BeatGAN	0.0898	0.0794	0.0843	0.4869	0.0916	0.0539	0.2222	0.0868	0.6242	0.0423	0.2198	0.0808	0.1182	0.4053	0.1512
LSTM-NDT	0.0839	0.197	0.1177	0.5074	0.1219	0.0235	0.0606	0.0339	0.5239	0.0239	0.2049	0.2548	0.2271	0.5124	0.2355
	Credit					SWaT					MSL				
	Pre	Rec	F1	ROC	PR	Pre	Rec	F1	ROC	PR	Pre	Rec	F1	ROC	PR
CNN-AE	0.0029	0.1204	0.0057	0.5667	0.0019	0.0942	0.1981	0.1277	0.7532	0.1021	0.1274	0.0943	0.1083	0.4727	0.1898
2DCNN-AE	0.0574	0.5926	0.1047	0.8289	0.337	0.275	0.1038	0.1507	0.4911	0.1088	0.1358	0.1874	0.1575	0.5753	0.161
LSTM-AE	0.0663	0.25	0.1049	0.8032	0.0574	0.0601	0.4302	0.1054	0.6546	0.0549	0.0795	0.0361	0.0496	0.4639	0.1423
HIFI	0.0231	0.287	0.0428	0.742	0.0233	0.233	0.1679	0.1952	0.7012	0.1106	0.011	0.0022	0.0037	0.4084	0.1394
RN	0.0014	0.0741	0.0027	0.5211	0.0014	0.0383	0.0717	0.05	0.4362	0.0335	0.1115	0.222	0.1484	0.499	0.1784
RAE	0.004	0.0556	0.0075	0.5468	0.0017	0.0287	0.117	0.0461	0.4457	0.0348	0.0771	0.0178	0.0289	0.4637	0.1328
Omni	0.0004	0.0093	0.0008	0.3197	0.0009	0.1866	0.0736	0.1055	0.6587	0.0972	0.139	0.1668	0.1516	0.562	0.1553
BeatGAN	0.1866	0.4907	0.2704	0.8291	0.4037	0	0	0	0.2024	0.0857	0.0592	0.0232	0.0333	0.4949	0.1622
LSTM-NDT	0.002	0.0278	0.0038	0.4343	0.0011	0.0323	0.0755	0.0453	0.4451	0.0432	0.2637	0.2408	0.2517	0.574	0.2442

Table 30: Results of DL Methods (Univariate vs. Multivariate; Sliding window size=128, Hidden size=32)

	NAB					S5					KPI				
	Pre	Rec	F1	ROC	PR	Pre	Rec	F1	ROC	PR	Pre	Rec	F1	ROC	PR
CNN-AE	0.1647	0.1485	0.1562	0.4738	0.2106	0.1026	0.1066	0.1046	0.6147	0.2042	0.0304	0.055	0.0391	0.5152	0.0172
2DCNN-AE	0.2402	0.1969	0.2164	0.5673	0.2778	0.2977	0.3059	0.3017	0.8213	0.4612	0.0399	0.0308	0.0347	0.6038	0.0194
LSTM-AE	0.1435	0.0989	0.1171	0.4715	0.2032	0.1568	0.2542	0.1939	0.3615	0.1914	0.0066	0.1951	0.0128	0.4481	0.0381
HIFI	0.3228	0.1319	0.1873	0.5501	0.2648	0.0966	0.1507	0.1177	0.631	0.1839	0.1927	0.0445	0.0723	0.4187	0.0355
RN	0.1454	0.1942	0.1663	0.5091	0.2373	0.0512	0.0958	0.0667	0.5133	0.0524	0.0098	0.0061	0.0075	0.5356	0.012
RAE	0.1487	0.0798	0.1039	0.4664	0.1821	0.0429	0.1676	0.0684	0.6105	0.118	0.0137	0.0755	0.0231	0.5261	0.0122
Omni	0.1622	0.1673	0.1647	0.504	0.2211	0.3325	0.3442	0.3382	0.7985	0.5534	0.0355	0.0404	0.0378	0.6036	0.0194
BeatGAN	0.2012	0.197	0.199	0.5337	0.2471	0.1897	0.1111	0.1402	0.4397	0.1677	0.199	0.0111	0.021	0.465	0.0207
LSTM-NDT	0.2058	0.1795	0.1918	0.5473	0.2436	0.2904	0.3289	0.3085	0.8222	0.5542	0.6141	0.0405	0.076	0.6475	0.0712
	ECG					NYC					SMAP				
	Pre	Rec	F1	ROC	PR	Pre	Rec	F1	ROC	PR	Pre	Rec	F1	ROC	PR
CNN-AE	0.0246	0.0355	0.0291	0.422	0.073	0.0633	0.2121	0.0974	0.6113	0.0408	0.1409	0.0483	0.0719	0.3676	0.1221
2DCNN-AE	0.0348	0.0486	0.0405	0.4201	0.0904	0.0686	0.1212	0.0876	0.6117	0.0416	0.1758	0.1677	0.1717	0.4454	0.1392
LSTM-AE	0.0954	0.0959	0.0956	0.5306	0.158	0.0698	0.0909	0.0789	0.5661	0.0324	0.1928	0.0877	0.1206	0.4379	0.1956
HIFI	0.0233	0.0348	0.0279	0.4223	0.0735	0.0671	0.1111	0.0837	0.6124	0.0417	0.2147	0.0626	0.097	0.4298	0.1472
RN	0.1026	0.1504	0.122	0.4791	0.1154	0.0325	0.0404	0.036	0.6598	0.0387	0.1735	0.1585	0.1657	0.4136	0.1716
RAE	0.1343	0.1123	0.1223	0.5467	0.1352	0.0123	0.0404	0.0189	0.462	0.0203	0.2713	0.0551	0.0916	0.5035	0.1814
Omni	0.0898	0.1438	0.1105	0.579	0.1723	0	0	0	0.455	0.0239	0.1996	0.0991	0.1324	0.4528	0.1491
BeatGAN	0.1519	0.151	0.1515	0.6129	0.151	0.0789	0.2121	0.1151	0.5775	0.0509	0.1363	0.0564	0.0798	0.4423	0.171
LSTM-NDT	0.08	0.1083	0.092	0.4096	0.1037	0.0267	0.0606	0.037	0.4915	0.023	0.1413	0.167	0.1531	0.4861	0.1968
	Credit					SWaT					MSL				
	Pre	Rec	F1	ROC	PR	Pre	Rec	F1	ROC	PR	Pre	Rec	F1	ROC	PR
CNN-AE	0.0114	0.1574	0.0213	0.7398	0.0167	0.077	0.2585	0.1187	0.6263	0.0579	0.0913	0.0149	0.0257	0.4013	0.1362
2DCNN-AE	0.0211	0.3333	0.0397	0.7854	0.0671	0.3125	0.1038	0.1558	0.4961	0.1112	0.1347	0.1653	0.1484	0.5246	0.1415
LSTM-AE	0.1095	0.4074	0.1725	0.7719	0.0913	0.0596	0.0868	0.0707	0.4892	0.0505	0.083	0.0524	0.0642	0.4702	0.1329
HIFI	0.0501	0.5741	0.0921	0.8348	0.1402	0.1483	0.0585	0.0839	0.5487	0.0805	0.0589	0.0164	0.0256	0.4929	0.1499
RN	0.0008	0.0093	0.0015	0.4348	0.001	0.0394	0.1019	0.0568	0.4345	0.0334	0.0834	0.1039	0.0925	0.519	0.157
RAE	0.0021	0.0278	0.0039	0.5043	0.0014	0.1887	0.0755	0.1078	0.5597	0.0887	0.0775	0.0185	0.0299	0.4335	0.1307
Omni	0.0019	0.0278	0.0035	0.2717	0.0009	0.0601	0.5075	0.1075	0.6309	0.0983	0.1143	0.1254	0.1196	0.5046	0.1409
BeatGAN	0.0013	0.0185	0.0024	0.1734	0.0007	0.0732	0.0962	0.0831	0.2371	0.0833	0.0594	0.0175	0.0271	0.4186	0.1164
LSTM-NDT	0.0027	0.037	0.005	0.4405	0.0011	0.0793	0.1887	0.1117	0.4928	0.0531	0.3054	0.2582	0.2798	0.5688	0.2329

Table 31: Results of DL Methods (Univariate vs. Multivariate; Sliding window size=128, Hidden size=64)

	NAB					S5					KPI				
	Pre	Rec	F1	ROC	PR	Pre	Rec	F1	ROC	PR	Pre	Rec	F1	ROC	PR
CNN-AE	0.1528	0.1676	0.1599	0.4877	0.2272	0.0945	0.1137	0.1032	0.6147	0.1985	0.0284	0.0588	0.0383	0.5768	0.0195
2DCNN-AE	0.3577	0.2556	0.2981	0.6286	0.3101	0.1859	0.2746	0.2217	0.7851	0.3759	0.0803	0.0507	0.0622	0.5376	0.0396
LSTM-AE	0.1744	0.0829	0.1124	0.4693	0.1958	0.1044	0.1731	0.1302	0.3235	0.1775	1	0.0173	0.034	0.3953	0.0474
HIFI	0.1714	0.1405	0.1545	0.5471	0.2484	0.0613	0.1054	0.0775	0.5999	0.1299	0.0512	0.0362	0.0424	0.4459	0.0277
RN	0.1216	0.2025	0.152	0.4899	0.1868	0.0362	0.0901	0.0517	0.5214	0.026	0.0098	0.0061	0.0075	0.5356	0.012
RAE	0.1584	0.1102	0.13	0.4927	0.1949	0.0512	0.0683	0.0586	0.5416	0.1126	0.0075	0.1999	0.0144	0.4484	0.0095
Omni	0.1595	0.1627	0.1611	0.5202	0.2228	0.2438	0.3218	0.2775	0.7362	0.4482	0.0065	0.1837	0.0125	0.4158	0.041
BeatGAN	0.2085	0.2076	0.2081	0.5526	0.2562	0.0991	0.0536	0.0696	0.3199	0.0773	0	0	0	0.4423	0.033
LSTM-NDT	0.1575	0.2416	0.1907	0.5473	0.2428	0.2464	0.2908	0.2668	0.8114	0.5	0.6233	0.041	0.0769	0.6625	0.0768
	ECG					NYC					SMAP				
	Pre	Rec	F1	ROC	PR	Pre	Rec	F1	ROC	PR	Pre	Rec	F1	ROC	PR
CNN-AE	0.0533	0.1267	0.075	0.4809	0.0793	0.0532	0.1414	0.0773	0.6202	0.0441	0.2219	0.0668	0.1027	0.3797	0.1299
2DCNN-AE	0.0278	0.0453	0.0344	0.4317	0.0943	0.0511	0.1414	0.0751	0.6199	0.0439	0.2268	0.339	0.2718	0.5261	0.1579
LSTM-AE	0.0786	0.0676	0.0727	0.4358	0.0953	0.051	0.202	0.0815	0.5447	0.0315	0.2177	0.0728	0.1091	0.4558	0.1908
HIFI	0.0242	0.042	0.0307	0.4153	0.0757	0.0553	0.1111	0.0738	0.621	0.0439	0.1794	0.0282	0.0488	0.4543	0.1618
RN	0.0886	0.0794	0.0838	0.4612	0.1307	0	0	0	0.6273	0.0305	0.2058	0.3012	0.2445	0.5048	0.1506
RAE	0.1644	0.1208	0.1393	0.4786	0.1315	0.0017	0.0101	0.0029	0.4623	0.0195	0.389	0.0488	0.0868	0.5075	0.1754
Omni	0.1205	0.1878	0.1468	0.5134	0.1906	0.0769	0.1111	0.0909	0.5816	0.0393	0.2669	0.0851	0.1291	0.4537	0.1549
BeatGAN	0.0831	0.086	0.0845	0.5598	0.1156	0.0655	0.1818	0.0963	0.5906	0.0354	0.0624	0.0192	0.0293	0.4034	0.1425
LSTM-NDT	0.0817	0.0991	0.0896	0.4361	0.108	0.0224	0.0505	0.0311	0.469	0.0212	0.2263	0.2836	0.2517	0.5231	0.2548
	Credit					SWaT					MSL				
	Pre	Rec	F1	ROC	PR	Pre	Rec	F1	ROC	PR	Pre	Rec	F1	ROC	PR
CNN-AE	0.0246	0.3611	0.046	0.7791	0.0477	0.0819	0.2434	0.1225	0.7218	0.077	0.1664	0.0363	0.0596	0.5264	0.1706
2DCNN-AE	0.0056	0.0833	0.0106	0.5957	0.0041	0.2895	0.1038	0.1528	0.5155	0.103	0.1223	0.1889	0.1484	0.5074	0.1401
LSTM-AE	0.0034	0.0093	0.005	0.3269	0.0012	0.203	0.0755	0.11	0.5519	0.0598	0.0988	0.0579	0.0731	0.4661	0.141
HIFI	0.0218	0.3426	0.041	0.7559	0.0376	0.1131	0.2736	0.16	0.7372	0.1148	0.0617	0.0156	0.0249	0.4147	0.1431
RN	0.0007	0.0093	0.0013	0.4505	0.0015	0	0	0	0.4992	0.0366	0.1229	0.1765	0.1449	0.5233	0.1576
RAE	0.001	0.037	0.002	0.4713	0.0011	0.0241	0.1038	0.0391	0.5004	0.0381	0.1344	0.0166	0.0296	0.4287	0.1285
Omni	0.0476	0.6389	0.0886	0.8326	0.4037	0.201	0.0774	0.1117	0.6631	0.1011	0.1344	0.1424	0.1383	0.479	0.1354
BeatGAN	0.0635	0.6019	0.1148	0.8332	0.1988	0.0909	0.0001	0.0001	0.505	0.1368	0.0827	0.0203	0.0327	0.4384	0.1406
LSTM-NDT	0.0032	0.0278	0.0057	0.3886	0.0011	0.0269	0.1943	0.0473	0.4681	0.0371	0.2525	0.2101	0.2294	0.5274	0.2166

Table 32: Results of DL Methods (Univariate vs. Multivariate; Sliding window size=128, Hidden size=128)

	NAB					S5					KPI				
	Pre	Rec	F1	ROC	PR	Pre	Rec	F1	ROC	PR	Pre	Rec	F1	ROC	PR
CNN-AE	0.1519	0.14	0.1457	0.4835	0.2157	0.0822	0.1028	0.0914	0.5925	0.1791	0.028	0.0592	0.0381	0.5211	0.0177
2DCNN-AE	0.1589	0.2333	0.1891	0.5684	0.2513	0.194	0.2197	0.206	0.7449	0.277	0.0454	0.0262	0.0332	0.603	0.0196
LSTM-AE	0.1331	0.0805	0.1003	0.4892	0.1975	0.1885	0.1213	0.1476	0.347	0.199	1	0.0126	0.0249	0.3953	0.0477
HIFI	0.1855	0.133	0.1549	0.56	0.2575	0.0521	0.092	0.0665	0.5943	0.1183	0.0064	0.1814	0.0124	0.4307	0.0236
RN	-1	-1	-1	-1	-1	-1	-1	-1	-1	-1	-1	-1	-1	-1	-1
RAE	0.1589	0.0915	0.1161	0.498	0.1885	0.0412	0.0613	0.0492	0.524	0.0817	0.0096	0.0917	0.0174	0.4759	0.0106
Omni	0.1314	0.1169	0.1237	0.5045	0.2064	0.2485	0.2612	0.2547	0.6062	0.374	0.0281	0.0606	0.0384	0.5254	0.0174
BeatGAN	0.2503	0.2458	0.248	0.5572	0.2578	0.1211	0.0645	0.0842	0.4016	0.1494	1	0.0111	0.0219	0.466	0.0209
LSTM-NDT	0.1558	0.224	0.1837	0.5445	0.2455	0.2469	0.3261	0.281	0.8694	0.5377	0.5994	0.0384	0.0721	0.6236	0.0659
	ECG					NYC					SMAP				
	Pre	Rec	F1	ROC	PR	Pre	Rec	F1	ROC	PR	Pre	Rec	F1	ROC	PR
CNN-AE	0.0431	0.0545	0.0481	0.4526	0.0814	0.0591	0.1414	0.0833	0.6235	0.0432	0.2274	0.0532	0.0862	0.4068	0.1279
2DCNN-AE	0.0621	0.1142	0.0804	0.4403	0.1212	0.0551	0.1414	0.0793	0.6216	0.0442	0.1438	0.1905	0.1639	0.532	0.1752
LSTM-AE	0.1084	0.1116	0.11	0.5136	0.1528	0.0399	0.1111	0.0587	0.5731	0.0301	0.21	0.0758	0.1114	0.4802	0.194
HIFI	0.0769	0.0834	0.08	0.4764	0.1414	0.0677	0.0909	0.0776	0.6076	0.0399	0.2771	0.0502	0.085	0.4353	0.1439
RN	-1	-1	-1	-1	-1	-1	-1	-1	-1	-1	-1	-1	-1	-1	-1
RAE	0.1166	0.0939	0.104	0.5639	0.1345	0.0068	0.0404	0.0116	0.4734	0.021	0.2222	0.0318	0.0557	0.4678	0.1528
Omni	0.0861	0.1477	0.1088	0.4719	0.145	0.073	0.1717	0.1024	0.625	0.043	0.3355	0.0818	0.1315	0.481	0.1618
BeatGAN	0.1588	0.1464	0.1524	0.6245	0.241	0.0772	0.2222	0.1146	0.6333	0.0476	0.2188	0.0734	0.11	0.4587	0.1639
LSTM-NDT	0.0913	0.1385	0.11	0.5257	0.1283	0.0166	0.1111	0.0289	0.4742	0.0208	0.1708	0.2454	0.2014	0.5281	0.2387
	Credit					SWaT					MSL				
	Pre	Rec	F1	ROC	PR	Pre	Rec	F1	ROC	PR	Pre	Rec	F1	ROC	PR
CNN-AE	0.0025	0.1111	0.005	0.4724	0.0014	0	0	0	0.5453	0.0388	0.1386	0.0327	0.0529	0.552	0.1685
2DCNN-AE	0.0017	0.0556	0.0033	0.4635	0.0014	0.2778	0.1038	0.1511	0.5129	0.1123	0.1432	0.1675	0.1544	0.5194	0.1938
LSTM-AE	0.0186	0.0556	0.0279	0.614	0.0042	0.0628	0.0547	0.0585	0.6582	0.0669	0.0898	0.0543	0.0677	0.4587	0.1432
HIFI	0.0167	0.2407	0.0313	0.6859	0.0148	0.0688	0.2849	0.1108	0.695	0.0825	0.1021	0.0456	0.063	0.5709	0.2208
RN	-1	-1	-1	-1	-1	-1	-1	-1	-1	-1	-1	-1	-1	-1	-1
RAE	0.0004	0.0093	0.0008	0.4343	0.0011	0.0649	0.1849	0.0961	0.5564	0.0487	0.0502	0.0136	0.0215	0.4547	0.1219
Omni	0.0582	0.6296	0.1065	0.8295	0.3972	0.0675	0.1566	0.0943	0.4769	0.043	0.1223	0.1653	0.1406	0.5297	0.1503
BeatGAN	0.0011	0.0093	0.0019	0.1714	0.0007	0.1033	0.0483	0.0658	0.2987	0.0896	0.1286	0.0684	0.0893	0.4922	0.1917
LSTM-NDT	0.002	0.0278	0.0038	0.4225	0.0011	0.0257	0.1623	0.0444	0.4646	0.0355	0.2518	0.2408	0.2462	0.5604	0.2383

Table 33: Results of DL Methods (Univariate vs. Multivariate; Sliding window size=128, Hidden size=256)

	NAB					S5					KPI				
	Pre	Rec	F1	ROC	PR	Pre	Rec	F1	ROC	PR	Pre	Rec	F1	ROC	PR
CNN-AE	0.1882	0.2223	0.2039	0.5568	0.2516	0.1221	0.1315	0.1267	0.6227	0.2236	0.0411	0.0316	0.0357	0.5033	0.0171
2DCNN-AE	0.2194	0.1633	0.1873	0.5729	0.2546	0.1847	0.2612	0.2164	0.7893	0.3843	0.0443	0.028	0.0343	0.6034	0.0196
LSTM-AE	0.1399	0.0721	0.0951	0.4617	0.1909	0.149	0.3359	0.2064	0.4861	0.2915	1	0.0206	0.0403	0.3956	0.0451
RN	-1	-1	-1	-1	-1	-1	-1	-1	-1	-1	-1	-1	-1	-1	-1
RAE	0.1504	0.1052	0.1238	0.5258	0.2095	0.0481	0.0704	0.0572	0.5383	0.1102	0.0085	0.1112	0.0158	0.4587	0.0101
Omni	0.1371	0.121	0.1285	0.5048	0.2028	0.1558	0.4368	0.2296	0.4665	0.2516	0.0064	0.1814	0.0124	0.4059	0.0463
BeatGAN	0.2236	0.1769	0.1975	0.5186	0.2639	0.1799	0.0971	0.1261	0.4288	0.1967	0.9036	0.0364	0.07	0.4819	0.0487
HIFI	0.3387	0.1304	0.1883	0.5678	0.2606	0.0342	0.2011	0.0585	0.6363	0.123	1	0.0155	0.0306	0.4129	0.0377
LSTM-NDT	0.1538	0.196	0.1723	0.5292	0.2288	0.2547	0.3246	0.2854	0.862	0.5334	0.6532	0.0408	0.0768	0.6603	0.0781
	ECG					NYC					SMAP				
	Pre	Rec	F1	ROC	PR	Pre	Rec	F1	ROC	PR	Pre	Rec	F1	ROC	PR
CNN-AE	0.0353	0.0643	0.0456	0.4054	0.0732	0.0569	0.1717	0.0854	0.5449	0.0281	0.0852	0.035	0.0496	0.4178	0.1422
2DCNN-AE	0.0217	0.0355	0.0269	0.4043	0.0756	0.0543	0.1414	0.0784	0.6207	0.044	0.2395	0.363	0.2886	0.5345	0.1841
LSTM-AE	0.0942	0.1195	0.1054	0.5699	0.1617	0.0659	0.1717	0.0952	0.6156	0.0408	0.33	0.0547	0.0939	0.4794	0.1967
HIFI	0.0858	0.0867	0.0862	0.4462	0.1101	0.0534	0.1414	0.0776	0.6221	0.0441	0.1522	0.0207	0.0364	0.4103	0.1439
RN	-1	-1	-1	-1	-1	-1	-1	-1	-1	-1	-1	-1	-1	-1	-1
RAE	0.1309	0.1523	0.1408	0.5753	0.1712	0.0203	0.1414	0.0355	0.456	0.0202	0.1766	0.0459	0.0728	0.5314	0.1814
Omni	0.0966	0.1339	0.1123	0.5189	0.1723	0.0712	0.2121	0.1066	0.6117	0.0421	0.1701	0.0894	0.1172	0.4572	0.1433
BeatGAN	0.1237	0.1451	0.1336	0.4627	0.1102	0.0725	0.2525	0.1126	0.6475	0.0448	0.2174	0.0962	0.1334	0.471	0.2013
LSTM-NDT	0.1164	0.1714	0.1386	0.5782	0.1545	0.0176	0.1313	0.0311	0.4471	0.0194	0.138	0.171	0.1528	0.5462	0.2454
	Credit					SWaT					MSL				
	Pre	Rec	F1	ROC	PR	Pre	Rec	F1	ROC	PR	Pre	Rec	F1	ROC	PR
CNN-AE	0.002	0.0278	0.0037	0.2524	0.0008	0.1035	0.2528	0.1468	0.715	0.0847	0.1875	0.0421	0.0688	0.4777	0.1852
2DCNN-AE	0.0114	0.1759	0.0214	0.6731	0.0146	0.2273	0.1038	0.1425	0.4589	0.0858	0.1417	0.2082	0.1686	0.5204	0.2194
LSTM-AE	0	0	0	0.4165	0.001	0.2057	0.0547	0.0864	0.5222	0.071	0.0803	0.0371	0.0507	0.4966	0.1393
HIFI	0.0833	0.5093	0.1432	0.8052	0.2626	0.2028	0.1094	0.1422	0.7139	0.1389	0.0685	0.0192	0.03	0.4414	0.1517
RN	-1	-1	-1	-1	-1	-1	-1	-1	-1	-1	-1	-1	-1	-1	-1
RAE	0.0016	0.0093	0.0028	0.3595	0.0009	0.073	0.0245	0.0367	0.4071	0.0353	0.0467	0.0115	0.0184	0.4745	0.1401
Omni	0.0189	0.2685	0.0353	0.6655	0.0402	0.0215	0.0623	0.032	0.4829	0.0346	0.1482	0.1597	0.1537	0.535	0.1645
BeatGAN	0.0009	0.0093	0.0017	0.1708	0.0007	0.1084	0.0138	0.0245	0.2021	0.0811	0.3226	0.0245	0.0455	0.4665	0.1723
LSTM-NDT	0.0022	0.0185	0.0039	0.404	0.0011	0.0476	0.0509	0.0492	0.4371	0.0352	0.2818	0.2197	0.2469	0.5092	0.2158

Table 34: Results of DL Methods (Univariate vs. Multivariate; Sliding window size=256, Hidden size=16)

	NAB					S5					KPI				
	Pre	Rec	F1	ROC	PR	Pre	Rec	F1	ROC	PR	Pre	Rec	F1	ROC	PR
CNN-AE	0.1508	0.0077	0.0147	0.4564	0.4267	0.0707	0.0755	0.073	0.5675	0.1171	0	0	0	0.5	0.5057
2DCNN-AE	0.1828	0.261	0.215	0.5544	0.2566	0.3461	0.3636	0.3547	0.856	0.5427	0.0435	0.0286	0.0345	0.6037	0.0196
LSTM-AE	0.1497	0.0849	0.1084	0.4948	0.2039	0.2204	0.2785	0.246	0.2866	0.1602	0.0451	0.0283	0.0348	0.6029	0.0198
HIFI	0.2768	0.1416	0.1874	0.5709	0.2814	0.129	0.1498	0.1386	0.6438	0.2098	0.2229	0.0342	0.0593	0.3994	0.0316
RN	0.1016	0.1835	0.1308	0.5298	0.2043	0.0511	0.0542	0.0526	0.495	0.0591	0.0163	0.0102	0.0125	0.5062	0.0112
RAE	0.1084	0.1249	0.116	0.4913	0.1814	0.0649	0.2308	0.1013	0.3346	0.1482	0.0155	0.031	0.0207	0.5441	0.0125
Omni	0.1687	0.1528	0.1604	0.4989	0.2138	0.2936	0.3457	0.3176	0.7955	0.5118	0.0065	0.1857	0.0126	0.425	0.0204
BeatGAN	0.2196	0.1247	0.1591	0.5041	0.2317	0.194	0.096	0.1285	0.4452	0.1732	0.4098	0.0024	0.0048	0.4814	0.0129
LSTM-NDT	0.1629	0.244	0.1953	0.5324	0.2351	0.3434	0.3517	0.3475	0.8429	0.5589	0.5994	0.0419	0.0782	0.66	0.0806
	ECG					NYC					SMAP				
	Pre	Rec	F1	ROC	PR	Pre	Rec	F1	ROC	PR	Pre	Rec	F1	ROC	PR
CNN-AE	0.1487	0.0427	0.0663	0.4668	0.3514	0.0413	0.2727	0.0717	0.5814	0.0306	0.091	0.0393	0.0549	0.4506	0.247
2DCNN-AE	0.0699	0.0906	0.0789	0.4606	0.1189	0.0483	0.2323	0.08	0.6216	0.0356	0.2523	0.2337	0.2427	0.4924	0.1506
LSTM-AE	0.1005	0.1346	0.1151	0.6215	0.1794	0.0335	0.1414	0.0542	0.4847	0.0249	0.2645	0.0743	0.116	0.4492	0.1887
HIFI	0.107	0.1267	0.1161	0.6159	0.1459	0.0936	0.1616	0.1185	0.651	0.0487	0.1807	0.0665	0.0973	0.4191	0.1466
RN	0.0377	0.0335	0.0355	0.4393	0.0814	0	0	0	0.3684	0.0169	0.1183	0.114	0.1161	0.4405	0.1755
RAE	0.0445	0.044	0.0442	0.5193	0.0935	0	0	0	0.5	0.5119	0.2584	0.0637	0.1022	0.4948	0.1976
Omni	0.0796	0.1353	0.1002	0.5028	0.0923	0.0791	0.202	0.1136	0.6599	0.0488	0.1714	0.1523	0.1613	0.4962	0.1717
BeatGAN	0.09	0.0657	0.0759	0.543	0.107	0.0753	0.2121	0.1111	0.6599	0.0498	0.1733	0.0769	0.1065	0.4408	0.1688
LSTM-NDT	0.0809	0.1027	0.0905	0.4152	0.0928	0.036	0.0505	0.042	0.5157	0.0249	0.1501	0.1623	0.156	0.5236	0.2567
	Credit					SWaT					MSL				
	Pre	Rec	F1	ROC	PR	Pre	Rec	F1	ROC	PR	Pre	Rec	F1	ROC	PR
CNN-AE	0.0124	0.1852	0.0232	0.7103	0.0091	0.1341	0.1868	0.1562	0.6059	0.0809	0.1009	0.052	0.0687	0.5136	0.3257
2DCNN-AE	0.0719	0.5556	0.1273	0.8172	0.3336	0.0592	0.4774	0.1053	0.5102	0.0421	0.0994	0.1579	0.122	0.5566	0.156
LSTM-AE	0.1902	0.5741	0.2857	0.8368	0.4656	0	0	0	0.3627	0.0281	0.0718	0.0431	0.0539	0.4781	0.147
HIFI	0.0017	0.0185	0.003	0.1727	0.0007	0.08	0.3943	0.133	0.5574	0.0586	0.1482	0.0228	0.0395	0.4759	0.1592
RN	0.0025	0.0185	0.0044	0.5481	0.0016	0	0	0	0.396	0.0299	0.1329	0.1929	0.1573	0.5492	0.1649
RAE	0.011	0.1204	0.0201	0.7683	0.0065	0.0463	0.1415	0.0697	0.5655	0.0471	0.1425	0.0331	0.0537	0.5044	0.1817
Omni	0.0712	0.6111	0.1275	0.8268	0.3667	0.1714	0.0792	0.1084	0.664	0.101	0.1227	0.108	0.1149	0.5271	0.1661
BeatGAN	0.1749	0.4907	0.2579	0.8296	0.3988	0.4814	0.6583	0.5561	0.7578	0.3346	0.0972	0.0643	0.0774	0.4623	0.1376
LSTM-NDT	0.0031	0.0185	0.0053	0.442	0.0012	0.0429	0.266	0.0739	0.4987	0.0469	0.2718	0.2023	0.2319	0.5189	0.2091

Table 35: Results of DL Methods (Univariate vs. Multivariate; Sliding window size=256, Hidden size=32)

	NAB					S5					KPI				
	Pre	Rec	F1	ROC	PR	Pre	Rec	F1	ROC	PR	Pre	Rec	F1	ROC	PR
CNN-AE	0.1613	0.0809	0.1077	0.48	0.227	0.0514	0.0787	0.0622	0.6068	0.1211	1	0.0252	0.0491	0.3963	0.0477
2DCNN-AE	0.2226	0.3056	0.2576	0.5688	0.2635	0.2727	0.3118	0.2909	0.8379	0.4709	0.0436	0.0282	0.0342	0.6035	0.0195
LSTM-AE	0.1701	0.0982	0.1245	0.4933	0.2076	0.2869	0.1146	0.1638	0.2995	0.1749	0.045	0.0286	0.035	0.6033	0.0198
HIFI	0.2602	0.1067	0.1514	0.5437	0.2553	0.0703	0.1114	0.0862	0.6168	0.1391	0.3063	0.0202	0.0379	0.3301	0.0313
RN	0.0964	0.1647	0.1216	0.4942	0.174	0.0332	0.0739	0.0459	0.4662	0.0299	0.0163	0.0102	0.0125	0.5062	0.0112
RAE	0.1538	0.0733	0.0993	0.4746	0.173	0.0304	0.049	0.0375	0.5297	0.0933	0.0086	0.0284	0.0132	0.5028	0.0112
Omni	0.1683	0.1129	0.1352	0.4806	0.2013	0.3144	0.3323	0.3231	0.7764	0.5213	0.9407	0.0123	0.0243	0.4436	0.0322
BeatGAN	0.2557	0.166	0.2013	0.5263	0.2554	0.2254	0.1012	0.1396	0.4114	0.1592	0.0447	0.0281	0.0345	0.6039	0.0197
LSTM-NDT	0.1647	0.2439	0.1966	0.5523	0.2266	0.2719	0.3517	0.3067	0.8482	0.601	0.401	0.0311	0.0577	0.5416	0.0437
	ECG					NYC					SMAP				
	Pre	Rec	F1	ROC	PR	Pre	Rec	F1	ROC	PR	Pre	Rec	F1	ROC	PR
CNN-AE	0.0469	0.0722	0.0568	0.49	0.0858	0.0466	0.2222	0.0771	0.6245	0.0371	0.2382	0.0854	0.1257	0.375	0.1261
2DCNN-AE	0.0681	0.0808	0.0739	0.5128	0.1044	0.0809	0.2222	0.1186	0.6654	0.0571	0.22	0.2132	0.2165	0.4364	0.1366
LSTM-AE	0.0603	0.0808	0.069	0.4877	0.1055	0.0574	0.2222	0.0913	0.5482	0.0347	0.2566	0.0789	0.1207	0.4464	0.1895
HIFI	0.0448	0.0276	0.0341	0.4699	0.1039	0.0857	0.0909	0.0882	0.6407	0.0436	0.1687	0.0586	0.087	0.3956	0.1143
RN	0.0374	0.0314	0.0342	0.4505	0.0858	0	0	0	0.4013	0.0178	0.2084	0.2899	0.2425	0.5139	0.1636
RAE	0.0564	0.0489	0.0524	0.5108	0.0848	0.0399	0.1616	0.064	0.5784	0.0301	0.1253	0.0325	0.0516	0.4713	0.1693
Omni	0.0984	0.1517	0.1194	0.5789	0.1767	0.0499	0.2323	0.0821	0.6494	0.0431	0.1438	0.1073	0.1229	0.4579	0.1436
BeatGAN	0.141	0.2324	0.1755	0.586	0.1655	0.0646	0.2323	0.1011	0.5952	0.0357	0.2931	0.0665	0.1084	0.424	0.1829
LSTM-NDT	0.0638	0.116	0.0823	0.361	0.0798	0.0142	0.0303	0.0194	0.4993	0.0231	0.1738	0.1981	0.1851	0.5323	0.25
	Credit					SWaT					MSL				
	Pre	Rec	F1	ROC	PR	Pre	Rec	F1	ROC	PR	Pre	Rec	F1	ROC	PR
CNN-AE	0.0143	0.2685	0.0271	0.7254	0.03	0.1872	0.083	0.115	0.6584	0.076	0.0144	0.0049	0.0073	0.3915	0.1316
2DCNN-AE	0.0429	0.5926	0.08	0.8288	0.341	0.1673	0.0811	0.1093	0.5558	0.0542	0.1102	0.1503	0.1272	0.567	0.1469
LSTM-AE	0.1745	0.5833	0.2687	0.847	0.4623	0.06	0.4887	0.1068	0.5888	0.0662	0.0692	0.0428	0.0529	0.4776	0.1457
HIFI	0.001	0.0093	0.0018	0.167	0.0007	0.0794	0.3717	0.1309	0.5926	0.0942	0.0603	0.0153	0.0244	0.5442	0.1596
RN	0	0	0	0.4999	0.0014	0	0	0	0.5	0.52	0.1395	0.2	0.1643	0.5633	0.2008
RAE	0.0017	0.0463	0.0032	0.5248	0.0014	0.0611	0.1943	0.093	0.6441	0.0582	0.0679	0.013	0.0218	0.4802	0.1667
Omni	0.13	0.5741	0.212	0.8296	0.3995	0.0737	0.4887	0.1281	0.5325	0.055	0.1826	0.1441	0.1611	0.537	0.1573
BeatGAN	0.1893	0.4907	0.2732	0.8297	0.3991	0.1155	0.0392	0.0586	0.6455	0.1676	0.0639	0.029	0.0399	0.4744	0.1453
LSTM-NDT	0.0009	0.0093	0.0017	0.3799	0.001	0.0371	0.2019	0.0627	0.4898	0.045	0.2878	0.2335	0.2578	0.5514	0.2299

Table 36: Results of DL Methods (Univariate vs. Multivariate; Sliding window size=256, Hidden size=64)

	NAB					S5					KPI				
	Pre	Rec	F1	ROC	PR	Pre	Rec	F1	ROC	PR	Pre	Rec	F1	ROC	PR
CNN-AE	0.1716	0.1045	0.1299	0.4852	0.2279	0.0791	0.0922	0.0852	0.6332	0.1408	0.0649	0.0644	0.0647	0.4973	0.019
2DCNN-AE	0.2707	0.2852	0.2778	0.6222	0.2966	0.1947	0.2298	0.2108	0.7675	0.2767	0.2267	0.1674	0.1926	0.6219	0.1313
LSTM-AE	0.1605	0.0885	0.1141	0.5013	0.2035	0.1651	0.2036	0.1823	0.2639	0.1399	0.0445	0.029	0.0351	0.6035	0.0197
HIFI	0.2494	0.1142	0.1566	0.5007	0.2321	0.0528	0.0992	0.0689	0.6226	0.112	0.0102	0.0447	0.0166	0.4053	0.0298
RN	-1	-1	-1	-1	-1	-1	-1	-1	-1	-1	-1	-1	-1	-1	-1
RAE	0.1115	0.0628	0.0804	0.5124	0.1805	0.0104	0.0757	0.0183	0.4932	0.0498	0.0107	0.0286	0.0156	0.4866	0.011
Omni	0.2005	0.1451	0.1683	0.5225	0.2243	0.1973	0.2394	0.2163	0.6717	0.3347	0.0398	0.0325	0.0358	0.6034	0.0196
BeatGAN	0.2274	0.2172	0.2222	0.5379	0.2638	0.118	0.096	0.1059	0.4443	0.1392	0.5019	0.0125	0.0244	0.5008	0.0233
LSTM-NDT	0.1603	0.2511	0.1957	0.5353	0.2253	0.3006	0.3758	0.334	0.8657	0.5929	0.4308	0.0459	0.083	0.5989	0.0736
	ECG					NYC					SMAP				
	Pre	Rec	F1	ROC	PR	Pre	Rec	F1	ROC	PR	Pre	Rec	F1	ROC	PR
CNN-AE	0.0498	0.0965	0.0657	0.5117	0.0903	0.0484	0.2323	0.0801	0.6337	0.0398	0.1519	0.074	0.0995	0.396	0.119
2DCNN-AE	0.069	0.0387	0.0496	0.5411	0.1251	0.087	0.1414	0.1077	0.6481	0.0485	0.1322	0.1952	0.1576	0.5176	0.1503
LSTM-AE	0.1111	0.132	0.1206	0.4746	0.1647	0.0466	0.3838	0.0832	0.6495	0.0396	0.1693	0.0936	0.1205	0.4665	0.1936
HIFI	0.0576	0.0637	0.0605	0.5167	0.1159	0.0462	0.2323	0.0771	0.6344	0.0393	0.1124	0.0357	0.0542	0.4765	0.1563
RN	-1	-1	-1	-1	-1	-1	-1	-1	-1	-1	-1	-1	-1	-1	-1
RAE	0.0354	0.03	0.0325	0.4659	0.0778	0.0176	0.0707	0.0282	0.4719	0.0216	0.4537	0.0513	0.0922	0.4928	0.1597
Omni	0.1115	0.1346	0.122	0.4918	0.1687	0.0519	0.2828	0.0878	0.6287	0.0358	0.1899	0.1118	0.1407	0.4545	0.1569
BeatGAN	0.1575	0.2443	0.1915	0.5759	0.2143	0.0833	0.101	0.0913	0.6536	0.0444	0.1841	0.0807	0.1122	0.4469	0.1849
LSTM-NDT	0.076	0.0922	0.0834	0.3982	0.0925	0.0068	0.0101	0.0081	0.4757	0.0217	0.1631	0.1984	0.179	0.4935	0.226
	Credit					SWaT					MSL				
	Pre	Rec	F1	ROC	PR	Pre	Rec	F1	ROC	PR	Pre	Rec	F1	ROC	PR
CNN-AE	0.0069	0.0648	0.0124	0.6869	0.0127	0.0161	0.0491	0.0242	0.5489	0.0418	0.0858	0.0382	0.0529	0.5094	0.1763
2DCNN-AE	0.0114	0.1759	0.0213	0.6994	0.0093	0.0377	0.2887	0.0667	0.5376	0.0426	0.1378	0.2398	0.175	0.5122	0.1401
LSTM-AE	0.0828	0.5648	0.1444	0.8443	0.2126	0.0642	0.1453	0.089	0.6599	0.0949	0.0743	0.043	0.0545	0.4859	0.156
HIFI	0.0315	0.4815	0.0592	0.8417	0.176	0.074	0.4962	0.1289	0.5401	0.0568	0.0323	0.0085	0.0135	0.4135	0.1157
RN	-1	-1	-1	-1	-1	-1	-1	-1	-1	-1	-1	-1	-1	-1	-1
RAE	0.0016	0.0185	0.0029	0.4882	0.0012	0.0483	0.1887	0.077	0.5158	0.0432	0.0852	0.024	0.0374	0.4602	0.1431
Omni	0.068	0.6111	0.1223	0.8296	0.4017	0.1384	0.1	0.1161	0.6647	0.0756	0.1259	0.1407	0.1329	0.5312	0.148
BeatGAN	0.1485	0.5185	0.2309	0.8286	0.3874	0.9978	0.5852	0.7377	0.7783	0.7008	0.0395	0.0198	0.0264	0.4753	0.1505
LSTM-NDT	0.0013	0.0093	0.0023	0.3628	0.0009	0.0281	0.0811	0.0418	0.4362	0.0358	0.2389	0.1919	0.2128	0.5207	0.2271

Table 37: Results of DL Methods (Univariate vs. Multivariate; Sliding window size=256, Hidden size=128)

	NAB					S5					KPI				
	Pre	Rec	F1	ROC	PR	Pre	Rec	F1	ROC	PR	Pre	Rec	F1	ROC	PR
CNN-AE	0.2041	0.1144	0.1466	0.4724	0.2238	0.0667	0.1204	0.0858	0.6399	0.1404	0.0064	0.1826	0.0125	0.4051	0.0478
2DCNN-AE	0.1699	0.2676	0.2078	0.5617	0.2454	0.1945	0.2305	0.211	0.7786	0.2968	0.0438	0.0276	0.0339	0.6035	0.0196
LSTM-AE	0.1603	0.1198	0.1371	0.5267	0.215	0.1547	0.2369	0.1872	0.3072	0.1804	0.0447	0.0286	0.0348	0.6035	0.0197
HIFI	0.2211	0.1162	0.1524	0.5187	0.2289	0.0529	0.1031	0.0699	0.6485	0.1024	1	0.0162	0.0319	0.3993	0.0359
RN	-1	-1	-1	-1	-1	-1	-1	-1	-1	-1	-1	-1	-1	-1	-1
RAE	0.1128	0.0357	0.0543	0.5448	0.1874	0.0111	0.0559	0.0185	0.4811	0.0423	0.0097	0.0629	0.0168	0.4772	0.0106
Omni	0.193	0.1379	0.1609	0.5233	0.2249	0.24	0.2638	0.2513	0.6438	0.3595	0.0667	0.057	0.0615	0.4974	0.0175
BeatGAN	0.2448	0.1863	0.2116	0.5645	0.2659	0.1293	0.0986	0.1119	0.4219	0.1365	0.0144	0.0421	0.0214	0.5505	0.0158
LSTM-NDT	0.1589	0.2451	0.1928	0.5476	0.235	0.2888	0.374	0.326	0.8768	0.6033	0.6268	0.0387	0.0728	0.6376	0.0703
	ECG					NYC					SMAP				
	Pre	Rec	F1	ROC	PR	Pre	Rec	F1	ROC	PR	Pre	Rec	F1	ROC	PR
CNN-AE	0.0103	0.0105	0.0104	0.4178	0.0699	0.0451	0.2323	0.0755	0.6425	0.0464	0.1502	0.074	0.0992	0.396	0.1389
2DCNN-AE	0.0525	0.0479	0.0501	0.5291	0.1269	0.0844	0.202	0.119	0.657	0.0546	0.1628	0.2307	0.1909	0.5259	0.1992
LSTM-AE	0.1375	0.1162	0.126	0.5238	0.1778	0.0413	0.1818	0.0673	0.545	0.0293	0.156	0.0881	0.1126	0.453	0.1868
HIFI	0.1348	0.1051	0.1181	0.4584	0.1417	0.0473	0.2323	0.0786	0.6422	0.0423	0.0479	0.0141	0.0217	0.377	0.1052
RN	-1	-1	-1	-1	-1	-1	-1	-1	-1	-1	-1	-1	-1	-1	-1
RAE	0.1038	0.1174	0.1102	0.5586	0.0999	0.0345	0.1919	0.0585	0.5582	0.0276	0.2026	0.0341	0.0583	0.4979	0.1634
Omni	0.1037	0.1267	0.1141	0.51	0.1728	0.0475	0.2525	0.08	0.6381	0.0397	0.2027	0.1161	0.1476	0.471	0.1614
BeatGAN	0.105	0.0854	0.0942	0.4285	0.0974	0	0	0	0.4825	0.0211	0.1355	0.073	0.0949	0.4539	0.1437
LSTM-NDT	0.0935	0.1188	0.1046	0.5405	0.1283	0.0183	0.1212	0.0318	0.4757	0.0211	0.1657	0.1864	0.1754	0.459	0.2009
	Credit					SWaT					MSL				
	Pre	Rec	F1	ROC	PR	Pre	Rec	F1	ROC	PR	Pre	Rec	F1	ROC	PR
CNN-AE	0.188	0.4352	0.2626	0.8193	0.2139	0.3616	0.1528	0.2149	0.5451	0.12	0.0726	0.0267	0.039	0.4753	0.146
2DCNN-AE	0.001	0.0093	0.0018	0.1811	0.0007	0.1564	0.0811	0.1068	0.5565	0.0499	0.1318	0.2158	0.1637	0.5225	0.1564
LSTM-AE	0.0032	0.0093	0.0048	0.2137	0.0008	0.2022	0.0679	0.1017	0.5201	0.0608	0.0737	0.0397	0.0516	0.4725	0.1405
HIFI	0	0	0	0.1676	0.0007	0.3434	0.1075	0.1638	0.7043	0.1236	0.0808	0.024	0.0369	0.5132	0.1537
RN	-1	-1	-1	-1	-1	-1	-1	-1	-1	-1	-1	-1	-1	-1	-1
RAE	0.0016	0.0093	0.0028	0.3595	0.0009	0.0879	0.183	0.1188	0.5068	0.0463	0.1134	0.0063	0.012	0.4296	0.13
Omni	0.0152	0.213	0.0283	0.6496	0.0222	0.1659	0.066	0.0945	0.6508	0.0644	0.1099	0.1237	0.1164	0.5317	0.1757
BeatGAN	0	0	0	0.2205	0.0007	0.1118	0.123	0.1171	0.3063	0.1271	0.0547	0.0209	0.0302	0.4723	0.1394
LSTM-NDT	0.0012	0.0093	0.002	0.413	0.0011	0.034	0.0849	0.0485	0.4375	0.0361	0.2097	0.1831	0.1955	0.5582	0.2324

Table 38: Results of DL Methods (Univariate vs. Multivariate; Sliding window size=256, Hidden size=256)

	NAB					S5					KPI				
	Pre	Rec	F1	ROC	PR	Pre	Rec	F1	ROC	PR	Pre	Rec	F1	ROC	PR
CNN-AE	0.284	0.22	0.2479	0.5528	0.2766	0.0597	0.089	0.0715	0.6135	0.1182	0.0066	0.1876	0.0128	0.4137	0.0431
2DCNN-AE	0.1711	0.2051	0.1866	0.5449	0.2243	0.2012	0.2414	0.2194	0.7882	0.3123	0.0443	0.0279	0.0342	0.6037	0.0196
LSTM-AE	0.178	0.1083	0.1347	0.5167	0.2268	0.1399	0.2881	0.1883	0.4514	0.2454	0.0452	0.0284	0.0349	0.6034	0.0198
HIFI	0.2494	0.1242	0.1658	0.543	0.2621	0.0477	0.1005	0.0647	0.6605	0.098	0.029	0.0587	0.0388	0.578	0.019
RN	-1	-1	-1	-1	-1	-1	-1	-1	-1	-1	-1	-1	-1	-1	-1
RAE	0.13	0.0859	0.1034	0.5018	0.176	0.0081	0.0353	0.0131	0.5025	0.0423	0.0084	0.1593	0.0159	0.4602	0.0102
Omni	0.2025	0.1558	0.1761	0.5432	0.2335	0.1641	0.4033	0.2332	0.4519	0.2532	0.045	0.0286	0.035	0.6037	0.0197
BeatGAN	0.1496	0.0699	0.0953	0.5048	0.2031	0.1297	0.1076	0.1176	0.443	0.169	0.0137	0.0114	0.0124	0.4375	0.0202
LSTM-NDT	0.1568	0.2179	0.1824	0.5268	0.2149	0.2942	0.3689	0.3274	0.8869	0.599	0.6352	0.0399	0.0751	0.6618	0.078
	ECG					NYC					SMAP				
	Pre	Rec	F1	ROC	PR	Pre	Rec	F1	ROC	PR	Pre	Rec	F1	ROC	PR
CNN-AE	0.0298	0.019	0.0232	0.4169	0.0733	0.0859	0.1111	0.0969	0.6863	0.0473	0.1572	0.0438	0.0686	0.4614	0.1603
2DCNN-AE	0.0677	0.0368	0.0477	0.5272	0.1204	0.0477	0.2323	0.0792	0.6431	0.0441	0.2183	0.3159	0.2582	0.5175	0.1721
LSTM-AE	0.1128	0.1037	0.1081	0.5323	0.108	0.0305	0.0909	0.0457	0.5649	0.0288	0.1623	0.095	0.1199	0.463	0.1922
HIFI	0.0712	0.0788	0.0748	0.4443	0.1349	0.0964	0.1919	0.1284	0.6539	0.0534	0.0994	0.0167	0.0286	0.3668	0.1065
RN	-1	-1	-1	-1	-1	-1	-1	-1	-1	-1	-1	-1	-1	-1	-1
RAE	0.0789	0.0832	0.081	0.5222	0.092	0.0279	0.0505	0.036	0.4821	0.022	0.1718	0.023	0.0406	0.4708	0.1268
Omni	0.0805	0.107	0.0919	0.5131	0.1501	0.071	0.2222	0.1076	0.6632	0.0467	0.1721	0.084	0.1129	0.4554	0.1527
BeatGAN	0.2542	0.2797	0.2663	0.5247	0.1827	0.0547	0.2424	0.0892	0.6585	0.0419	0.242	0.1243	0.1642	0.4968	0.1838
LSTM-NDT	0.1058	0.1551	0.1258	0.5531	0.116	0.019	0.1313	0.0331	0.4478	0.0202	0.1877	0.2752	0.2232	0.5369	0.2575
	Credit					SWaT					MSL				
	Pre	Rec	F1	ROC	PR	Pre	Rec	F1	ROC	PR	Pre	Rec	F1	ROC	PR
CNN-AE	0	0	0	0.1733	0.0007	0.0359	0.0208	0.0263	0.3282	0.0279	0.1185	0.0388	0.0584	0.4342	0.1957
2DCNN-AE	0.0044	0.0648	0.0083	0.5855	0.003	0.0378	0.2981	0.0671	0.5243	0.0415	0.1417	0.2082	0.1686	0.5204	0.2194
LSTM-AE	0.0461	0.0926	0.0615	0.7003	0.0108	0.1765	0.0509	0.0791	0.6255	0.0873	0.0704	0.0371	0.0486	0.4546	0.1419
HIFI	0.0061	0.1389	0.0117	0.4974	0.0031	0.2044	0.1057	0.1393	0.7057	0.149	0.1953	0.0149	0.0278	0.455	0.1609
RN	-1	-1	-1	-1	-1	-1	-1	-1	-1	-1	-1	-1	-1	-1	-1
RAE	0	0	0	0.3491	0.0009	0.0569	0.1491	0.0823	0.508	0.0417	0.0773	0.0108	0.019	0.5125	0.1834
Omni	0.0012	0.0093	0.0022	0.1708	0.0007	0.0785	0.3981	0.1312	0.606	0.065	0.1422	0.1859	0.1612	0.5323	0.1594
BeatGAN	0.0011	0.0093	0.0019	0.1709	0.0007	0	0	0	0.3427	0.0957	0.0406	0.0146	0.0214	0.5014	0.1822
LSTM-NDT	0.0022	0.0185	0.004	0.4206	0.0011	0.0407	0.0717	0.0519	0.4557	0.0357	0.2601	0.1971	0.2243	0.5411	0.238

Table 39: Results of LOF (Stationary vs. Non-stationary)

n_neighbors	NAB-ambient-Nonstationary					NAB-art-stationary					NAB-cpu-stationary				
	Pre	Rec	F1	ROC	PR	Pre	Rec	F1	ROC	PR	Pre	Rec	F1	ROC	PR
10	0.1444	0.0746	0.0984	0.4853	0.1616	0.1648	0.099	0.1237	0.2739	0.1893	0.2416	0.1969	0.217	0.4777	0.2625
20	0.2477	0.0746	0.1146	0.4974	0.1846	0.1765	0.0951	0.1236	0.2716	0.1901	0.2585	0.1969	0.2236	0.517	0.2836
30	0.1963	0.058	0.0896	0.516	0.1806	0.1789	0.0951	0.1242	0.2639	0.1836	0.3039	0.2503	0.2745	0.5226	0.2932
40	0.2203	0.0718	0.1083	0.5372	0.1842	0.1939	0.1158	0.145	0.2588	0.1782	0.3081	0.2664	0.2857	0.5294	0.3019
50	0.181	0.058	0.0879	0.5317	0.1848	0.1912	0.1278	0.1532	0.2592	0.1782	0.3199	0.2323	0.2691	0.5317	0.3094
n_neighbors	NAB-ec2-Nonstationary					NAB-ec2-stationary					NAB-elb-stationary				
	Pre	Rec	F1	ROC	PR	Pre	Rec	F1	ROC	PR	Pre	Rec	F1	ROC	PR
10	0.2327	0.1678	0.195	0.4965	0.2521	0.1103	0.1456	0.1255	0.453	0.1307	0.2083	0.275	0.2371	0.5018	0.1829
20	0.3333	0.1578	0.2142	0.5462	0.3147	0.1183	0.1233	0.1207	0.4636	0.1357	0.2252	0.465	0.3034	0.5501	0.1949
30	0.4132	0.1661	0.237	0.5636	0.3495	0.1232	0.1233	0.1232	0.46	0.1416	0.2019	0.215	0.2082	0.5322	0.1945
40	0.4268	0.1694	0.2426	0.581	0.3587	0.1247	0.1321	0.1283	0.4612	0.1343	0.2154	0.14	0.1697	0.5338	0.2085
50	0.4577	0.2159	0.2935	0.5704	0.3626	0.132	0.1616	0.1453	0.4603	0.1346	0.2115	0.24	0.2248	0.5631	0.2184
n_neighbors	NAB-exchange-Nonstationary					NAB-exchange-stationary					NAB-grok-Nonstationary				
	Pre	Rec	F1	ROC	PR	Pre	Rec	F1	ROC	PR	Pre	Rec	F1	ROC	PR
10	0.1166	0.0669	0.085	0.4731	0.1745	0.1269	0.1306	0.1287	0.5222	0.1428	0.2134	0.2273	0.2201	0.5693	0.1833
20	0.1833	0.0775	0.1089	0.5036	0.1938	0.1284	0.1059	0.116	0.508	0.1459	0.1535	0.2273	0.1832	0.5202	0.1449
30	0.1543	0.088	0.1121	0.4819	0.1844	0.1197	0.1014	0.1098	0.4941	0.1429	0.1706	0.3312	0.2252	0.5586	0.1506
40	0.14	0.0739	0.0968	0.4952	0.1813	0.1165	0.1036	0.1097	0.4794	0.1393	0.1643	0.3766	0.2288	0.5671	0.151
50	0.1478	0.1056	0.1232	0.4958	0.1803	0.1171	0.1171	0.1171	0.4737	0.1363	0.1592	0.3896	0.226	0.5636	0.1455
n_neighbors	NAB-iio-Nonstationary					NAB-nyc-stationary					NAB-occupancy-stationary				
	Pre	Rec	F1	ROC	PR	Pre	Rec	F1	ROC	PR	Pre	Rec	F1	ROC	PR
10	0.0684	0.0645	0.0664	0.4398	0.0844	0.2794	0.1012	0.1485	0.503	0.2516	0.3426	0.2124	0.2623	0.4999	0.3353
20	0.1014	0.0565	0.0725	0.5055	0.1018	0.2783	0.0865	0.132	0.5134	0.2508	0.399	0.1652	0.2337	0.5506	0.3912
30	0.115	0.1048	0.1097	0.4799	0.0965	0.4412	0.11	0.1761	0.5313	0.294	0.4545	0.1288	0.2007	0.5395	0.3866
40	0.0847	0.0806	0.0826	0.5081	0.1003	0.396	0.1173	0.181	0.5355	0.2975	0.4387	0.1459	0.219	0.5435	0.3893
50	0.0966	0.1129	0.1041	0.5533	0.113	0.3726	0.1158	0.1767	0.5375	0.2941	0.4136	0.1695	0.2405	0.5266	0.3754
n_neighbors	NAB-rds-stationary					NAB-rds-Nonstationary					NAB-rogue-Nonstationary				
	Pre	Rec	F1	ROC	PR	Pre	Rec	F1	ROC	PR	Pre	Rec	F1	ROC	PR
10	0.3579	0.425	0.3886	0.528	0.3547	0.1032	0.3	0.1536	0.5046	0.1036	0.1406	0.5	0.2195	0.7315	0.1315
20	0.3531	0.3575	0.3553	0.5199	0.3416	0.1038	0.365	0.1617	0.5087	0.102	0.5	0.3333	0.4	0.7941	0.2248
30	0.3503	0.43	0.3861	0.511	0.3338	0.0979	0.4025	0.1575	0.4909	0.096	0.1429	0.6111	0.2316	0.8143	0.2359
40	0.3333	0.405	0.3657	0.4934	0.3234	0.098	0.4575	0.1614	0.4915	0.0981	0.1143	0.6667	0.1951	0.7885	0.2301
50	0.3192	0.415	0.3609	0.4848	0.3188	0.0987	0.4625	0.1627	0.4907	0.0967	0.1188	0.6667	0.2017	0.794	0.2322
n_neighbors	NAB-rogue-stationary					NAB-speed-stationary					NAB-TravelTime-stationary				
	Pre	Rec	F1	ROC	PR	Pre	Rec	F1	ROC	PR	Pre	Rec	F1	ROC	PR
10	0.0582	0.0417	0.0486	0.493	0.0797	0.4	0.1292	0.1953	0.5235	0.3442	0.0977	0.3225	0.15	0.4685	0.0915
20	0.0592	0.0398	0.0476	0.4957	0.0808	0.3372	0.2159	0.2632	0.5308	0.3037	0.1162	0.2208	0.1522	0.5134	0.1126
30	0.0597	0.0455	0.0516	0.4921	0.0805	0.3448	0.3155	0.3295	0.5721	0.3407	0.1045	0.145	0.1215	0.4963	0.1009
40	0.0605	0.0473	0.0531	0.4921	0.0811	0.3747	0.3339	0.3532	0.6004	0.4024	0.1336	0.2273	0.1683	0.5301	0.1174
50	0.0593	0.0511	0.0549	0.4877	0.0804	0.3878	0.3413	0.3631	0.6078	0.4439	0.1323	0.1623	0.1458	0.5267	0.1151
n_neighbors	NAB-Twitter-stationary														
	Pre	Rec	F1	ROC	PR										
10	0.3245	0.0431	0.076	0.5081	0.2282										
20	0.2907	0.0569	0.0951	0.512	0.2167										
30	0.2756	0.0705	0.1122	0.5157	0.202										
40	0.2549	0.0795	0.1211	0.5161	0.1943										
50	0.2506	0.0923	0.1349	0.5201	0.1901										

Table 40: Results of MP (Stationary vs. Non-stationary)

pattern_size	NAB-ambient-Nonstationary					NAB-art-stationary					NAB-cpu-stationary				
	Pre	Rec	F1	ROC	PR	Pre	Rec	F1	ROC	PR	Pre	Rec	F1	ROC	PR
16	0	0	0	0.5679	0.2003	0.1598	0.1067	0.128	0.247	0.1983	0	0	0	0.2035	0.2321
32	0	0	0	0.639	0.2277	0.1273	0.1449	0.1355	0.2228	0.1771	0	0	0	0.1721	0.1891
64	0	0	0	0.6281	0.2326	0	0	0	0.1951	0.1492	0	0	0	0.1676	0.1778
128	0	0	0	0.6297	0.255	0	0	0	0.1675	0.1304	0	0	0	0.1146	0.1655
256	0	0	0	0.44	0.1551	0.0512	0.0136	0.0215	0.1296	0.0636	0	0	0	0.0996	0.1675
pattern_size	NAB-ec2-Nonstationary					NAB-ec2-stationary					NAB-clb-stationary				
	Pre	Rec	F1	ROC	PR	Pre	Rec	F1	ROC	PR	Pre	Rec	F1	ROC	PR
16	0.0694	0.0084	0.015	0.5077	0.2969	0.4586	0.0262	0.0496	0.4126	0.2106	0	0	0	0.4503	0.1436
32	0.0435	0.0034	0.0064	0.3663	0.1914	0.1711	0.0594	0.0882	0.4097	0.2016	0.1667	0.02	0.0357	0.46	0.1645
64	0	0	0	0.1742	0.1719	0.1025	0.0664	0.0806	0.3979	0.1813	0.5	0.05	0.0909	0.501	0.2204
128	0	0	0	0.2689	0.236	0.0503	0.018	0.0265	0.3962	0.1689	0.5	0.09	0.1525	0.6856	0.3261
256	0.8592	0.1517	0.2579	0.3545	0.3415	0.0677	0.0452	0.0542	0.3862	0.1611	0	0	0	0.6831	0.3662
pattern_size	NAB-exchange-Nonstationary					NAB-exchange-stationary					NAB-grok-Nonstationary				
	Pre	Rec	F1	ROC	PR	Pre	Rec	F1	ROC	PR	Pre	Rec	F1	ROC	PR
16	0	0	0	0.5555	0.1826	0	0	0	0.5282	0.2807	0	0	0	0.5691	0.1162
32	0	0	0	0.5533	0.1891	0.7879	0.1171	0.2039	0.5626	0.3059	0	0	0	0.3991	0.086
64	0	0	0	0.4978	0.1958	0.4	0.1171	0.1812	0.5339	0.2081	0	0	0	0.2744	0.0745
128	0	0	0	0.3454	0.0927	0.1661	0.131	0.1465	0.5376	0.1427	0	0	0	0.2211	0.0743
256	0	0	0	0.323	0.0689	0.4444	0.0734	0.126	0.4965	0.147	0	0	0	0.4011	0.1053
pattern_size	NAB-iiio-Nonstationary					NAB-nyc-stationary					NAB-occupancy-stationary				
	Pre	Rec	F1	ROC	PR	Pre	Rec	F1	ROC	PR	Pre	Rec	F1	ROC	PR
16	0	0	0	0.6983	0.1957	0	0	0	0.386	0.1707	0.5556	0.0554	0.1008	0.5533	0.386
32	0	0	0	0.6974	0.1731	0	0	0	0.2601	0.1372	0.3692	0.0552	0.096	0.6296	0.493
64	0	0	0	0.4434	0.0949	0	0	0	0.1214	0.1152	0	0	0	0.7294	0.5345
128	0.6	0.0242	0.0465	0.6465	0.2113	0	0	0	0.1215	0.1189	0	0	0	0.8288	0.5789
256	0	0	0	0.3877	0.0679	0	0	0	0.2617	0.1606	0	0	0	0.344	0.3577
pattern_size	NAB-rds-stationary					NAB-rds-Nonstationary					NAB-rogue-Nonstationary				
	Pre	Rec	F1	ROC	PR	Pre	Rec	F1	ROC	PR	Pre	Rec	F1	ROC	PR
16	0	0	0	0.505	0.357	0.4286	0.0075	0.0147	0.3847	0.0836	0	0	0	0.4576	0.0048
32	0	0	0	0.5234	0.422	0.75	0.015	0.0294	0.3631	0.087	0	0	0	0	0
64	0	0	0	0.4322	0.4103	0.7	0.0175	0.0341	0.4169	0.0956	0	0	0	0	0
128	0	0	0	0.3028	0.2699	0.5833	0.0175	0.034	0.5466	0.1308	0	0	0	0	0
256	0	0	0	0.4505	0.312	0.5	0.0125	0.0244	0.6498	0.1608	0	0	0	0	0
pattern_size	NAB-rogue-stationary					NAB-speed-stationary					NAB-TravelTime-stationary				
	Pre	Rec	F1	ROC	PR	Pre	Rec	F1	ROC	PR	Pre	Rec	F1	ROC	PR
16	0	0	0	0.5337	0.4735	0.8276	0.1328	0.2289	0.6601	0.5081	0	0	0	0.5045	0.0953
32	0	0	0	0.5274	0.4374	0.7905	0.2159	0.3391	0.7478	0.5999	0	0	0	0.434	0.0875
64	0	0	0	0.4943	0.3419	0.75	0.2601	0.3863	0.733	0.5715	0.5	0.0065	0.0128	0.4492	0.1003
128	0	0	0	0.4874	0.2014	0.6061	0.0372	0.0702	0.6618	0.4714	0	0	0	0.4012	0.0885
256	0	0	0	0.5741	0.1121	0.5	0.0453	0.083	0.4038	0.4147	0.0647	0.0281	0.0392	0.6078	0.204
pattern_size	NAB-Twitter-stationary														
	Pre	Rec	F1	ROC	PR										
16	0.1673	0.0452	0.0712	0.5183	0.1371										
32	0.2172	0.0949	0.1321	0.5457	0.1508										
64	0.2513	0.1129	0.1558	0.5727	0.1706										
128	0.5445	0.0827	0.1436	0.6103	0.2143										
256	0.4589	0.0321	0.0599	0.6528	0.2794										

Table 41: Results of ISF (Stationary vs. Non-stationary)

n_estimators	NAB-ambient-Nonstationary					NAB-art-stationary					NAB-cpu-stationary				
	Pre	Rec	F1	ROC	PR	Pre	Rec	F1	ROC	PR	Pre	Rec	F1	ROC	PR
20	0.1866	0.2072	0.1963	0.4941	0.1961	0.2329	0.0817	0.121	0.2599	0.1628	0.7419	0.1228	0.2108	0.7882	0.5858
40	0.2611	0.163	0.2007	0.5149	0.191	0.167	0.0769	0.1053	0.2613	0.1636	0.7143	0.1068	0.1858	0.7939	0.6005
60	0.2551	0.1713	0.205	0.5358	0.1953	0.2272	0.0802	0.1186	0.2621	0.1656	0.7902	0.1609	0.2673	0.7894	0.5943
80	0.1841	0.2238	0.202	0.539	0.2036	0.166	0.0812	0.1091	0.2625	0.1638	0.6114	0.2657	0.3704	0.793	0.5851
100	0.2226	0.174	0.1953	0.5076	0.1932	0.1512	0.0798	0.1044	0.2638	0.1653	0.5449	0.1943	0.2864	0.7935	0.5721
	NAB-ec2-Nonstationary					NAB-ec2-stationary					NAB-elb-stationary				
	Pre	Rec	F1	ROC	PR	Pre	Rec	F1	ROC	PR	Pre	Rec	F1	ROC	PR
20	0.5174	0.1478	0.23	0.666	0.4787	0.1509	0.1827	0.1653	0.4642	0.1475	0.3125	0.125	0.1786	0.588	0.2458
40	0.6552	0.1894	0.2938	0.6691	0.4726	0.1547	0.1761	0.1647	0.4651	0.1472	0.2797	0.165	0.2075	0.6029	0.2501
60	0.6117	0.2093	0.3119	0.6659	0.4755	0.1536	0.1824	0.1668	0.4686	0.1472	0.2432	0.27	0.2559	0.5781	0.2425
80	0.6231	0.206	0.3096	0.6753	0.4834	0.147	0.1805	0.1621	0.4633	0.1468	0.2783	0.16	0.2032	0.6089	0.2533
100	0.6576	0.201	0.3079	0.6733	0.4796	0.1573	0.177	0.1666	0.4653	0.1469	0.2587	0.185	0.2157	0.5836	0.2412
	NAB-exchange-Nonstationary					NAB-exchange-stationary					NAB-grok-Nonstationary				
	Pre	Rec	F1	ROC	PR	Pre	Rec	F1	ROC	PR	Pre	Rec	F1	ROC	PR
20	0.0971	0.0599	0.0741	0.4718	0.1637	0.1042	0.0788	0.0897	0.4815	0.1379	0.165	0.2143	0.1864	0.5453	0.1405
40	0.1145	0.0669	0.0844	0.4664	0.1635	0.1122	0.1577	0.1311	0.4911	0.1409	0.1802	0.2013	0.1902	0.577	0.1506
60	0.1208	0.1268	0.1237	0.4652	0.1635	0.1013	0.1194	0.1096	0.4656	0.1366	0.1418	0.3636	0.204	0.5657	0.1408
80	0.1038	0.0951	0.0993	0.4693	0.1673	0.1045	0.1306	0.1161	0.4779	0.1391	0.1594	0.2143	0.1828	0.5675	0.1447
100	0.113	0.0915	0.1012	0.4677	0.1667	0.1095	0.1374	0.1219	0.4667	0.1368	0.1424	0.2987	0.1929	0.5672	0.1449
	NAB-iio-Nonstationary					NAB-nyc-stationary					NAB-occupancy-stationary				
	Pre	Rec	F1	ROC	PR	Pre	Rec	F1	ROC	PR	Pre	Rec	F1	ROC	PR
20	0.2826	0.2097	0.2407	0.5699	0.1451	0.4324	0.0469	0.0847	0.5148	0.2459	0.47	0.1009	0.1661	0.5421	0.3852
40	0.268	0.2097	0.2353	0.5393	0.1362	0.5769	0.044	0.0817	0.57	0.2936	0.4331	0.118	0.1855	0.532	0.3804
60	0.2796	0.2097	0.2396	0.5499	0.1353	0.4444	0.0469	0.0849	0.5373	0.2707	0.4351	0.1223	0.191	0.5348	0.3789
80	0.2809	0.2016	0.2347	0.54	0.1286	0.44	0.0484	0.0872	0.5349	0.2654	0.4579	0.1052	0.171	0.5432	0.3841
100	0.2857	0.2097	0.2419	0.5493	0.1383	0.6154	0.0469	0.0872	0.5644	0.2953	0.3659	0.1609	0.2235	0.5401	0.3816
	NAB-rds-stationary					NAB-rds-Nonstationary					NAB-rogue-Nonstationary				
	Pre	Rec	F1	ROC	PR	Pre	Rec	F1	ROC	PR	Pre	Rec	F1	ROC	PR
20	0.5	0.0375	0.0698	0.5167	0.3545	0.2073	0.0425	0.0705	0.5195	0.1175	0.5714	0.4444	0.5	0.8119	0.248
40	0.3676	0.0625	0.1068	0.5174	0.3582	0.129	0.01	0.0186	0.5159	0.116	0.5333	0.4444	0.4848	0.8413	0.2468
60	0.4138	0.06	0.1048	0.5192	0.3577	0.1571	0.0275	0.0468	0.5143	0.1153	0.5714	0.4444	0.5	0.823	0.245
80	0.4255	0.05	0.0895	0.5132	0.3531	0.2065	0.0475	0.0772	0.5156	0.1175	0.5714	0.4444	0.5	0.8233	0.2439
100	0.4412	0.0375	0.0691	0.516	0.3551	0.1966	0.0575	0.089	0.5137	0.1156	0.4737	0.5	0.4865	0.8225	0.2459
	NAB-rogue-stationary					NAB-speed-stationary					NAB-TravelTime-stationary				
	Pre	Rec	F1	ROC	PR	Pre	Rec	F1	ROC	PR	Pre	Rec	F1	ROC	PR
20	0.0563	0.0606	0.0584	0.4752	0.0797	0.4502	0.2085	0.285	0.6219	0.4188	0.1851	0.1883	0.1867	0.5681	0.1388
40	0.0563	0.0606	0.0584	0.4751	0.0785	0.4351	0.2472	0.3153	0.62	0.4557	0.1732	0.2403	0.2013	0.5848	0.1442
60	0.0563	0.0606	0.0584	0.475	0.0784	0.4067	0.2454	0.3061	0.6144	0.4605	0.1815	0.2078	0.1937	0.5944	0.1485
80	0.0563	0.0606	0.0584	0.4752	0.0785	0.3855	0.2362	0.2929	0.6059	0.4409	0.1672	0.2165	0.1887	0.5897	0.1471
100	0.0563	0.0606	0.0584	0.4752	0.0786	0.4169	0.2269	0.2939	0.6177	0.4578	0.1745	0.2013	0.1869	0.5934	0.1482
	NAB-Twitter-stationary														
	Pre	Rec	F1	ROC	PR										
20	0.2172	0.1712	0.1915	0.5519	0.1661										
40	0.2034	0.1896	0.1963	0.5565	0.1674										
60	0.1902	0.208	0.1987	0.5504	0.1661										
80	0.1995	0.1944	0.1969	0.5496	0.1651										
100	0.1593	0.2546	0.1959	0.5536	0.1666										

Table 42: Results of OC-SVM (Stationary vs. Non-stationary)

	NAB-ambient-Nonstationary					NAB-art-stationary					NAB-cpu-stationary				
kernel	Pre	Rec	F1	ROC	PR	Pre	Rec	F1	ROC	PR	Pre	Rec	F1	ROC	PR
rbf	0.3306	0.1105	0.1656	0.4935	0.1875	0.3529	0.0259	0.0483	0.2652	0.1732	0.6067	0.2049	0.3064	0.4073	0.3956
	NAB-ec2-Nonstationary					NAB-ec2-stationary					NAB-elb-stationary				
rbf	Pre	Rec	F1	ROC	PR	Pre	Rec	F1	ROC	PR	Pre	Rec	F1	ROC	PR
rbf	0.7656	0.0814	0.1471	0.6032	0.4106	0.1964	0.1349	0.16	0.4726	0.1446	0.4074	0.055	0.0969	0.4409	0.1869
	NAB-exchange-Nonstationary					NAB-exchange-stationary					NAB-grok-Nonstationary				
rbf	Pre	Rec	F1	ROC	PR	Pre	Rec	F1	ROC	PR	Pre	Rec	F1	ROC	PR
rbf	0.1105	0.0739	0.0886	0.5836	0.2222	0.1849	0.0495	0.0782	0.4842	0.1395	0.2121	0.0455	0.0749	0.4623	0.1204
	NAB-iiio-Nonstationary					NAB-nyc-stationary					NAB-occupancy-stationary				
rbf	Pre	Rec	F1	ROC	PR	Pre	Rec	F1	ROC	PR	Pre	Rec	F1	ROC	PR
rbf	0.1786	0.0403	0.0658	0.5201	0.1052	0.4098	0.0367	0.0673	0.4513	0.2169	0.4773	0.0901	0.1516	0.5376	0.3745
	NAB-rds-stationary					NAB-rds-Nonstationary					NAB-rogue-Nonstationary				
rbf	Pre	Rec	F1	ROC	PR	Pre	Rec	F1	ROC	PR	Pre	Rec	F1	ROC	PR
rbf	0.6667	0.01	0.0197	0.5425	0.3761	1	0.005	0.01	0.5115	0.1059	0.4545	0.2778	0.3448	0.8445	0.258
	NAB-rogue-stationary					NAB-speed-stationary					NAB-TravelTime-stationary				
rbf	Pre	Rec	F1	ROC	PR	Pre	Rec	F1	ROC	PR	Pre	Rec	F1	ROC	PR
rbf	0.0897	0.0133	0.0231	0.5239	0.0976	0.4615	0.1218	0.1927	0.5257	0.3892	0.2797	0.0714	0.1138	0.4605	0.1107
	NAB-Twitter-stationary														
rbf	Pre	Rec	F1	ROC	PR										
rbf	0.2937	0.0625	0.1031	0.4985	0.1452										

Table 43: Results of DL Methods (Stationary vs. Non-stationary; Sliding window size=16, Hidden size=16)

NAB-ambient-Nonstationary					NAB-art-stationary					NAB-cpu-stationary					
	Pre	Rec	F1	ROC	PR	Pre	Rec	F1	ROC	PR	Pre	Rec	F1	ROC	PR
CNN-AE	0.1893	0.0884	0.1205	0.5754	0.1939	0.0818	0.2465	0.1228	0.5407	0.3129	0.4768	0.3491	0.4031	0.6479	0.3933
2DCNN-AE	0	0	0	0.5342	0.202	0.093	0.3268	0.1448	0.4804	0.2677	0.309	0.0708	0.1152	0.4552	0.27
LSTM-AE	0.2787	0.047	0.0804	0.5667	0.2035	0.0961	0.2556	0.1397	0.4919	0.2758	0.9375	0.01	0.0198	0.4024	0.2858
HIFI	0.2157	0.1519	0.1783	0.5478	0.191	0.091	0.2691	0.136	0.5305	0.3284	0.5139	0.1729	0.2587	0.5195	0.3274
RN	0.2083	0.0138	0.0259	0.5679	0.2122	0.087	0.1496	0.11	0.5152	0.2743	0.2839	0.3645	0.3192	0.4529	0.2523
RAE	0.1437	0.0691	0.0933	0.5302	0.1764	0.0738	0.1281	0.0936	0.4802	0.2714	0.1939	0.2096	0.2015	0.4302	0.2379
Omni	0.4937	0.1077	0.1769	0.6447	0.2897	0.0924	0.2494	0.1349	0.5583	0.3316	0.4548	0.5367	0.4923	0.595	0.3696
BeatGAN	0.2407	0.1961	0.2161	0.5514	0.2581	0.1109	0.2172	0.1468	0.4977	0.3011	0.1073	0.0147	0.0258	0.3976	0.2457
LSTM-NDT	0.2395	0.1575	0.19	0.51	0.1777	0.0769	0.1366	0.0984	0.4907	0.2588	0.5616	0.213	0.3088	0.5286	0.3694
NAB-ec2-Nonstationary					NAB-ec2-stationary					NAB-elb-stationary					
	Pre	Rec	F1	ROC	PR	Pre	Rec	F1	ROC	PR	Pre	Rec	F1	ROC	PR
CNN-AE	0.4792	0.0382	0.0708	0.4237	0.2742	0.1136	0.2591	0.1579	0.4502	0.1406	0.4136	0.455	0.4333	0.7683	0.4951
2DCNN-AE	0.4419	0.5748	0.4996	0.7319	0.5639	0.1236	0.2094	0.1555	0.4885	0.1478	0.462	0.395	0.4259	0.7751	0.4903
LSTM-AE	0.4636	0.402	0.4306	0.5761	0.3739	0.1416	0.2824	0.1886	0.5529	0.1748	0.1818	0.02	0.036	0.4627	0.1655
HIFI	0.6626	0.2674	0.3811	0.6582	0.5324	0.1111	0.1987	0.1425	0.4945	0.1567	0.5391	0.31	0.3937	0.7531	0.4466
RN	0.628	0.2634	0.3712	0.6218	0.5363	0.0975	0.2082	0.1328	0.4733	0.1397	0.341	0.445	0.3861	0.7108	0.4351
RAE	0.7232	0.2148	0.3312	0.5933	0.5023	0.1492	0.1836	0.1646	0.5295	0.1612	0	0	0	0.5186	0.1556
Omni	0.4162	0.3754	0.3948	0.5014	0.3119	0.186	0.1491	0.1655	0.4795	0.1546	0.25	0.005	0.0098	0.3915	0.137
BeatGAN	0.4569	0.3522	0.3977	0.4373	0.326	0.1234	0.2214	0.1585	0.4643	0.16	0.4651	0.4	0.4301	0.6726	0.4551
LSTM-NDT	0.4585	0.4077	0.4316	0.6362	0.5479	0.134	0.2695	0.179	0.5203	0.1564	0.0625	0.005	0.0093	0.475	0.1646
NAB-exchange-Nonstationary					NAB-exchange-stationary					NAB-grok-Nonstationary					
	Pre	Rec	F1	ROC	PR	Pre	Rec	F1	ROC	PR	Pre	Rec	F1	ROC	PR
CNN-AE	0.0748	0.0387	0.051	0.5372	0.2821	0.1235	0.0473	0.0684	0.4835	0.1147	0.1575	0.5584	0.2457	0.6718	0.216
2DCNN-AE	0.0828	0.0458	0.059	0.4393	0.1623	0.1181	0.1351	0.1261	0.4255	0.1133	0	0	0	0.3793	0.0818
LSTM-AE	0.092	0.0282	0.0431	0.5208	0.1796	0.1754	0.0225	0.0399	0.4484	0.1134	1	0.013	0.0256	0.4689	0.1849
HIFI	0.0765	0.0458	0.0573	0.4176	0.1517	0.2292	0.1486	0.1803	0.6564	0.2765	0.4348	0.0649	0.113	0.434	0.155
RN	0.1304	0.0112	0.0205	0.6644	0.3767	0.1955	0.1779	0.1863	0.4151	0.1813	0.2007	0.3571	0.257	0.6137	0.2296
RAE	0.1441	0.0632	0.0879	0.4175	0.1537	0.192	0.2275	0.2082	0.6042	0.234	0.1827	0.4805	0.2648	0.6612	0.2756
Omni	0.1033	0.0775	0.0885	0.4973	0.1735	0.1026	0.1892	0.133	0.4954	0.128	0	0	0	0.4423	0.1014
BeatGAN	0.1972	0.0986	0.1315	0.5586	0.2315	0.3301	0.0766	0.1243	0.4123	0.1735	0.9231	0.0779	0.1437	0.4427	0.1721
LSTM-NDT	0.0811	0.0335	0.0474	0.4167	0.1496	0.2217	0.1982	0.2093	0.5548	0.2186	0.1712	0.5325	0.2591	0.6618	0.2235
NAB-iao-Nonstationary					NAB-nyc-stationary					NAB-occupancy-stationary					
	Pre	Rec	F1	ROC	PR	Pre	Rec	F1	ROC	PR	Pre	Rec	F1	ROC	PR
CNN-AE	0.15	0.5323	0.234	0.627	0.1466	0.0962	0.066	0.0783	0.3524	0.1627	0.4558	0.2103	0.2878	0.5528	0.4201
2DCNN-AE	0.2526	0.1935	0.2192	0.5629	0.1292	0.0963	0.0792	0.0869	0.3532	0.1621	0.4564	0.1459	0.2211	0.565	0.4084
LSTM-AE	0	0	0	0.3899	0.0763	0.0702	0.0249	0.0368	0.3627	0.1634	0.322	0.1223	0.1773	0.4953	0.3154
HIFI	0.2519	0.2742	0.2625	0.6887	0.172	0.1147	0.0982	0.1058	0.3716	0.1666	0.479	0.1717	0.2528	0.5533	0.4275
RN	0.2143	0.4839	0.297	0.7419	0.2188	0.0604	0.0135	0.0221	0.434	0.1811	0.3992	0.2239	0.2869	0.5277	0.3933
RAE	0.2523	0.2177	0.2338	0.6298	0.1708	0.0649	0.03	0.041	0.4182	0.1773	0.3203	0.0909	0.1416	0.4715	0.3389
Omni	0.2907	0.2016	0.2381	0.564	0.1328	0.0695	0.0543	0.061	0.3582	0.1621	0.3648	0.1824	0.2432	0.544	0.3714
BeatGAN	0.0851	0.0323	0.0468	0.566	0.1166	0.0772	0.0323	0.0455	0.5441	0.2166	0.4281	0.2682	0.3298	0.5583	0.4051
LSTM-NDT	0.284	0.371	0.3217	0.6783	0.2041	0.1073	0.075	0.0883	0.4175	0.1782	0.4206	0.235	0.3016	0.536	0.4031
NAB-rds-stationary					NAB-rds-Nonstationary					NAB-rogue-Nonstationary					
	Pre	Rec	F1	ROC	PR	Pre	Rec	F1	ROC	PR	Pre	Rec	F1	ROC	PR
CNN-AE	0.3821	0.2675	0.3147	0.5121	0.3416	0.1267	0.3325	0.1834	0.5029	0.0938	0.1818	0.1111	0.1379	0.8756	0.2156
2DCNN-AE	0.6	0.0075	0.0148	0.4979	0.3467	0.1313	0.35	0.191	0.5183	0.0987	0.4737	0.5	0.4865	0.8599	0.2813
LSTM-AE	0.3864	0.255	0.3072	0.5064	0.3525	0	0	0	0.5189	0.1048	0.35	0.3889	0.3684	0.9116	0.2208
HIFI	0.3837	0.2475	0.3009	0.5255	0.4035	0.0385	0.005	0.0088	0.4736	0.0908	0	0	0	0.1845	0.0189
RN	0.4314	0.275	0.3359	0.6016	0.4122	0.1114	0.2875	0.1606	0.4774	0.0919	0.1304	1	0.2308	0.9811	0.1604
RAE	0.875	0.035	0.0673	0.4811	0.3683	0.1009	0.2075	0.1357	0.4984	0.1542	0	0	0	0.5692	0.0089
Omni	0.6667	0.01	0.0197	0.5026	0.3528	0.125	0.0625	0.0833	0.5125	0.1114	0	0	0	0.1716	0.0183
BeatGAN	0.4423	0.1725	0.2482	0.5264	0.3593	0.1101	0.285	0.1589	0.4992	0.0967	1	0.0556	0.1053	0.5247	0.1116
LSTM-NDT	0.6667	0.01	0.0197	0.4817	0.3395	0.1057	0.27	0.1519	0.4831	0.1082	0.1	0.3333	0.1538	0.9007	0.0432
NAB-rogue-stationary					NAB-speed-stationary					NAB-TravelTime-stationary					
	Pre	Rec	F1	ROC	PR	Pre	Rec	F1	ROC	PR	Pre	Rec	F1	ROC	PR
CNN-AE	0.1285	0.1288	0.1287	0.5068	0.1142	0.5809	0.2583	0.3576	0.6289	0.5503	0.1816	0.5303	0.2706	0.658	0.1887
2DCNN-AE	0.037	0.0019	0.0036	0.4811	0.0773	0.6316	0.1771	0.2767	0.648	0.5045	0.2448	0.2792	0.2609	0.5301	0.1638
LSTM-AE	0.1294	0.3163	0.1836	0.5434	0.1149	0.4211	0.1624	0.2344	0.5965	0.358	0.2304	0.1017	0.1411	0.5003	0.1201
HIFI	0.1473	0.036	0.0578	0.5157	0.1063	0.6653	0.3007	0.4142	0.6275	0.4974	0.2208	0.4134	0.2879	0.659	0.2402
RN	0	0	0	0.4974	0.0626	0.544	0.1827	0.2735	0.6273	0.4559	0.201	0.3377	0.252	0.5889	0.1651
RAE	0	0	0	0.4994	0.0628	0.6923	0.1494	0.2458	0.5321	0.4116	0.1925	0.145	0.1654	0.5567	0.1308
Omni	0	0	0	0.506	0.0986	0.5568	0.19	0.2834	0.6606	0.5109	0.1722	0.1234	0.1438	0.4563	0.1023
BeatGAN	0.0946	0.0663	0.078	0.4638	0.0923	0.5034	0.2749	0.3556	0.6519	0.465	0.2703	0.1948	0.2264	0.5402	0.1771
LSTM-NDT	0.0949	0.2254	0.1336	0.4922	0.0991	0.5373	0.1993	0.2907	0.5934	0.4797	0.1634	0.1623	0.1629	0.4913	0.1247
NAB-Twitter-stationary															
	Pre	Rec	F1	ROC	PR										
CNN-AE	0.167	0.1516	0.1589	0.525	0.1523										
2DCNN-AE	0.1563	0.1195	0.1354	0.5269	0.1554										
LSTM-AE	0.1898	0.1726	0.1808	0.5339	0.1595										
HIFI	0.2069	0.1561	0.178	0.5648	0.1766										
RN	0.1846	0.187	0.1858	0.5618	0.1767										
RAE	0.1491	0.0883	0.111	0.4877	0.1351										
Omni	0.1187	0.1288	0.1235	0.5124	0.1301										
BeatGAN	0.1784	0.1409	0.1575	0.4937	0.1422										
LSTM-NDT	0.1682	0.1622	0.1652	0.5272	0.165										

Table 44: Results of DL Methods (Stationary vs. Non-stationary; Sliding window size=16, Hidden size=32)

NAB-ambient-Nonstationary					NAB-art-stationary					NAB-cpu-stationary					
	Pre	Rec	F1	ROC	PR	Pre	Rec	F1	ROC	PR	Pre	Rec	F1	ROC	PR
CNN-AE	0.1847	0.1602	0.1716	0.4956	0.165	0.0884	0.2686	0.1331	0.5588	0.3369	0.1527	0.0354	0.0575	0.3275	0.2076
2DCNN-AE	0.25	0.0166	0.0311	0.5476	0.1917	0.0908	0.3301	0.1425	0.5406	0.315	0.4757	0.2156	0.2967	0.5744	0.3404
LSTM-AE	0.253	0.058	0.0944	0.5787	0.2024	0.0912	0.2902	0.1388	0.4885	0.2802	0.2333	0.0674	0.1046	0.3588	0.2316
HIFI	0.2252	0.1381	0.1712	0.5461	0.1878	0.0914	0.2585	0.135	0.5254	0.3241	0.5099	0.1716	0.2567	0.5087	0.3212
RN	0.3253	0.0746	0.1213	0.5775	0.2146	0.093	0.3026	0.1423	0.5245	0.3417	0.2651	0.3451	0.2999	0.4416	0.2476
RAE	0.3122	0.2044	0.2471	0.5808	0.2246	0.07	0.1939	0.1028	0.5148	0.2893	0.2587	0.2717	0.2651	0.4825	0.2661
Omni	0.5616	0.1133	0.1885	0.6402	0.2826	0.08	0.2432	0.1204	0.5223	0.3281	0.455	0.5267	0.4882	0.6286	0.3744
BeatGAN	0.6486	0.0663	0.1203	0.6317	0.2816	0.1205	0.1312	0.1256	0.4861	0.2761	0.9722	0.1636	0.28	0.4593	0.4249
LSTM-NDT	0.1961	0.1934	0.1947	0.5302	0.1823	0.0907	0.1386	0.1096	0.5255	0.2863	0.7221	0.3278	0.4509	0.5666	0.4937
NAB-ec2-Nonstationary					NAB-ec2-stationary					NAB-elb-stationary					
	Pre	Rec	F1	ROC	PR	Pre	Rec	F1	ROC	PR	Pre	Rec	F1	ROC	PR
CNN-AE	0.4506	0.3638	0.4026	0.4264	0.2906	0.1101	0.2403	0.151	0.4597	0.1446	0.5678	0.335	0.4214	0.7582	0.4953
2DCNN-AE	0.6597	0.2608	0.3738	0.7304	0.569	0.1355	0.2173	0.1669	0.4741	0.16	0.5152	0.34	0.4096	0.7644	0.4396
LSTM-AE	0.4645	0.3804	0.4183	0.5354	0.3675	0.1153	0.2415	0.1561	0.506	0.1479	0.3636	0.36	0.3618	0.7085	0.3746
HIFI	0.6601	0.2774	0.3906	0.6593	0.5333	0.1079	0.1943	0.1388	0.4963	0.1609	0.4918	0.3	0.3727	0.7496	0.4313
RN	0.6919	0.2148	0.3278	0.7037	0.6082	0.1046	0.2044	0.1384	0.4819	0.1392	0.2689	0.355	0.306	0.6198	0.2543
RAE	0.3801	0.1409	0.2056	0.409	0.2791	0.1104	0.1709	0.1342	0.5013	0.1418	0.3221	0.24	0.2751	0.6513	0.3129
Omni	0.4117	0.3987	0.4051	0.5491	0.3273	0.1913	0.1535	0.1703	0.4803	0.1579	0.2828	0.28	0.2814	0.5752	0.2418
BeatGAN	0.48	0.0199	0.0383	0.3849	0.2306	0.1363	0.2472	0.1757	0.5166	0.1574	0.4375	0.035	0.0648	0.6103	0.2495
LSTM-NDT	0.5096	0.3104	0.3858	0.6294	0.5452	0.1369	0.2575	0.1788	0.5304	0.162	0.3158	0.27	0.2911	0.6226	0.2936
NAB-exchange-Nonstationary					NAB-exchange-stationary					NAB-grok-Nonstationary					
	Pre	Rec	F1	ROC	PR	Pre	Rec	F1	ROC	PR	Pre	Rec	F1	ROC	PR
CNN-AE	0.0706	0.0211	0.0325	0.5383	0.2268	0.2249	0.1869	0.2042	0.5391	0.1958	0.1687	0.3571	0.2292	0.6464	0.2312
2DCNN-AE	0.08	0.0634	0.0707	0.4958	0.1776	0.1951	0.232	0.2119	0.4879	0.1662	1	0.0844	0.1557	0.5023	0.2301
LSTM-AE	0.7368	0.0493	0.0924	0.6463	0.318	0.0929	0.0383	0.0542	0.4971	0.1265	1	0.013	0.0256	0.4654	0.1813
HIFI	0.113	0.0704	0.0868	0.5161	0.2303	0.2987	0.259	0.2774	0.585	0.2984	0.1887	0.3896	0.2542	0.6186	0.2486
RN	0.1522	0.026	0.0444	0.6732	0.3941	0.1417	0.1216	0.1309	0.4007	0.124	0	0	0	0.3333	0.0787
RAE	0.0972	0.026	0.0411	0.4656	0.1595	0.093	0.027	0.0419	0.4164	0.1203	0	0	0	0.3448	0.0788
Omni	0.0784	0.0704	0.0742	0.4343	0.1533	0.1053	0.1509	0.1241	0.5027	0.1316	0	0	0	0.4445	0.106
BeatGAN	0.1127	0.081	0.0943	0.577	0.2178	0.1273	0.1261	0.1456	0.3603	0.1273	0.8182	0.0584	0.1091	0.4868	0.1909
LSTM-NDT	0.1071	0.145	0.1232	0.434	0.1537	0.1401	0.1982	0.1642	0.4833	0.175	0.174	0.539	0.2631	0.6653	0.2162
NAB-iao-Nonstationary					NAB-nyc-stationary					NAB-occupancy-stationary					
	Pre	Rec	F1	ROC	PR	Pre	Rec	F1	ROC	PR	Pre	Rec	F1	ROC	PR
CNN-AE	0.1878	0.2742	0.223	0.6473	0.1597	0.0802	0.0411	0.0543	0.3496	0.1601	0.465	0.1996	0.2793	0.5519	0.4188
2DCNN-AE	0.1756	0.371	0.2383	0.6436	0.1566	0.1199	0.1085	0.1139	0.3717	0.1667	0.4286	0.1481	0.2201	0.5513	0.4249
LSTM-AE	0	0	0	0.4014	0.0777	0.0676	0.0293	0.0409	0.342	0.1581	0.3553	0.1502	0.2112	0.5113	0.3392
HIFI	0.25	0.0565	0.0921	0.6057	0.1423	0.1086	0.0924	0.0998	0.3665	0.1654	0.4972	0.191	0.276	0.557	0.333
RN	0.2315	0.379	0.2875	0.7201	0.2073	0.0714	0.012	0.0205	0.4183	0.1769	0.3713	0.2239	0.2794	0.5065	0.3869
RAE	0.2449	0.2903	0.2657	0.627	0.1841	0.0823	0.057	0.0673	0.4072	0.1764	0.4112	0.1951	0.2647	0.5369	0.3952
Omni	0.2623	0.129	0.173	0.5363	0.1179	0.087	0.0718	0.0787	0.3578	0.1629	0.4943	0.0923	0.1555	0.5311	0.3682
BeatGAN	0.1984	0.4032	0.266	0.5895	0.1697	0.1222	0.129	0.1255	0.4076	0.1749	0.5233	0.1931	0.2821	0.5585	0.4342
LSTM-NDT	0.287	0.2661	0.2762	0.6136	0.185	0.1263	0.093	0.1071	0.4117	0.1768	0.4298	0.2306	0.3001	0.5341	0.4001
NAB-rds-stationary					NAB-rds-Nonstationary					NAB-rogue-Nonstationary					
	Pre	Rec	F1	ROC	PR	Pre	Rec	F1	ROC	PR	Pre	Rec	F1	ROC	PR
CNN-AE	0.3962	0.2575	0.3121	0.5567	0.3805	0.1429	0.005	0.0097	0.5208	0.1066	0.1111	0.0556	0.0741	0.854	0.1324
2DCNN-AE	0.3653	0.2	0.2585	0.5403	0.3576	0.1304	0.3475	0.1896	0.5027	0.0965	0.4737	0.5	0.4865	0.8718	0.2794
LSTM-AE	0.3864	0.255	0.3072	0.5087	0.3397	0.1242	0.325	0.1797	0.5049	0.0951	0.0286	0.0556	0.0377	0.2041	0.0234
HIFI	0.5	0.015	0.0291	0.511	0.3644	0.2222	0.04	0.0678	0.6164	0.1661	0.0455	0.0556	0.05	0.7153	0.0734
RN	0.4308	0.2725	0.3338	0.6068	0.4103	0.1113	0.2875	0.1605	0.4742	0.0913	0.1	0.3333	0.1538	0.9768	0.1086
RAE	0.6207	0.045	0.0839	0.4921	0.3694	0.1097	0.2725	0.1564	0.4925	0.1658	0	0	0	0.3297	0.0039
Omni	0.6667	0.01	0.0197	0.4943	0.3484	0.0994	0.2525	0.1427	0.5124	0.1027	0.3684	0.3889	0.3784	0.8996	0.2161
BeatGAN	1	0.0025	0.005	0.5142	0.3645	0.2727	0.0075	0.0146	0.5044	0.1181	1	0.1667	0.2857	0.5873	0.3624
LSTM-NDT	0.4153	0.2575	0.3179	0.5759	0.4027	0.1086	0.28	0.1565	0.4745	0.0908	0	0	0	0.0433	0.0028
NAB-rogue-stationary					NAB-speed-stationary					NAB-TravelTime-stationary					
	Pre	Rec	F1	ROC	PR	Pre	Rec	F1	ROC	PR	Pre	Rec	F1	ROC	PR
CNN-AE	0.1319	0.2443	0.1713	0.5388	0.1219	0.6581	0.3764	0.4789	0.7519	0.639	0.1761	0.526	0.2638	0.6603	0.1959
2DCNN-AE	0.037	0.0019	0.0036	0.4805	0.0773	0.583	0.2528	0.3526	0.6575	0.5266	0.1736	0.5541	0.2643	0.6655	0.2338
LSTM-AE	0.1035	0.2708	0.1498	0.4886	0.0995	0.55	0.0812	0.1415	0.5177	0.4036	0.2029	0.1212	0.1518	0.4993	0.1212
HIFI	0.0417	0.0057	0.01	0.4902	0.0941	0.7034	0.3413	0.4596	0.6217	0.4909	0.2163	0.4481	0.2918	0.6507	0.2318
RN	0	0	0	0.4974	0.4319	0.4175	0.0793	0.1333	0.3514	0.2494	0.1956	0.3247	0.2441	0.6148	0.1522
RAE	0.0741	0.0038	0.0072	0.5102	0.0899	0.6667	0.1513	0.2466	0.5878	0.434	0.175	0.2338	0.2002	0.5945	0.1435
Omni	0.0625	0.0038	0.0071	0.527	0.1048	0.5464	0.1845	0.2759	0.6482	0.5109	0.2349	0.0844	0.1242	0.4548	0.1066
BeatGAN	0.0614	0.0606	0.061	0.4377	0.0823	0.396	0.1089	0.1708	0.5234	0.3568	0.3385	0.2814	0.3073	0.5725	0.2001
LSTM-NDT	0.0994	0.2614	0.144	0.5012	0.1009	0.5882	0.203	0.3018	0.5994	0.4915	0.1867	0.2316	0.2068	0.533	0.1368
NAB-Twitter-stationary															
	Pre	Rec	F1	ROC	PR										
CNN-AE	0.1915	0.1583	0.1733	0.537	0.1655										
2DCNN-AE	0.1607	0.1837	0.1715	0.5415	0.1766										
LSTM-AE	0.1739	0.2127	0.1913	0.5505	0.173										
HIFI	0.2242	0.1392	0.1718	0.5537	0.1732										
RN	0.1692	0.1937	0.1806	0.5477	0.1685										
RAE	0.1664	0.2104	0.1858	0.54	0.1614										
Omni	0.1805	0.0209	0.0375	0.4589	0.1116										
BeatGAN	0.2106	0.1766	0.1921	0.4993	0.174										
LSTM-NDT	0.1662	0.2458	0.1983	0.5598	0.1757										

Table 45: Results of DL Methods (Stationary vs. Non-stationary; Sliding window size=16, Hidden size=64)

NAB-ambient-Nonstationary					NAB-art-stationary					NAB-cpu-stationary					
	Pre	Rec	F1	ROC	PR	Pre	Rec	F1	ROC	PR	Pre	Rec	F1	ROC	PR
CNN-AE	0.1982	0.1188	0.1485	0.5335	0.1782	0.0793	0.2556	0.121	0.5495	0.3206	0.3771	0.2283	0.2844	0.5541	0.3119
2DCNN-AE	0.2165	0.116	0.1511	0.5632	0.1932	0.0598	0.21	0.0931	0.4123	0.2288	0.428	0.3892	0.4077	0.576	0.338
LSTM-AE	0.2083	0.0552	0.0873	0.5734	0.1989	0.0784	0.2456	0.1189	0.515	0.2771	0.2325	0.0688	0.1061	0.3821	0.2439
HIFI	0.2222	0.1271	0.1617	0.5548	0.1899	0.0881	0.259	0.1315	0.5438	0.3337	0.5195	0.1776	0.2647	0.5224	0.3277
RN	0.2792	0.1188	0.1667	0.5792	0.2133	0.0633	0.1949	0.0956	0.4232	0.2721	0.2947	0.3772	0.3309	0.4651	0.2587
RAE	0.2437	0.1326	0.1717	0.5551	0.1956	0.0403	0.1627	0.0646	0.4305	0.2092	0.2396	0.1649	0.1953	0.4517	0.2529
Omni	0.5634	0.1105	0.1848	0.6407	0.2834	0.0839	0.2331	0.1233	0.5403	0.3549	0.5157	0.241	0.3285	0.5617	0.3449
BeatGAN	0.62	0.0856	0.1505	0.5372	0.2534	0.1598	0.2816	0.2039	0.5687	0.3293	0.9952	0.1389	0.2437	0.3818	0.3736
LSTM-NDT	0.1989	0.2072	0.203	0.5313	0.1846	0.0788	0.1256	0.0968	0.4923	0.2705	0.7293	0.3885	0.507	0.5868	0.5193
NAB-ec2-Nonstationary					NAB-ec2-stationary					NAB-elb-stationary					
	Pre	Rec	F1	ROC	PR	Pre	Rec	F1	ROC	PR	Pre	Rec	F1	ROC	PR
CNN-AE	0.3919	0.0482	0.0858	0.3285	0.2193	0.1079	0.2381	0.1485	0.4764	0.138	0.4518	0.375	0.4098	0.768	0.4743
2DCNN-AE	0.4406	0.4252	0.4328	0.6455	0.5378	0.1554	0.0978	0.1201	0.54	0.1612	0.5185	0.28	0.3636	0.76	0.437
LSTM-AE	0.4479	0.3571	0.3974	0.4626	0.316	0.1187	0.2884	0.1682	0.5279	0.1448	0.125	0.005	0.0096	0.4247	0.1548
HIFI	0.5237	0.3123	0.3913	0.6267	0.503	0.1046	0.1858	0.1339	0.4462	0.1349	0.5093	0.275	0.3571	0.7606	0.4412
RN	0.6706	0.0956	0.1674	0.4212	0.3384	0.1275	0.1286	0.128	0.5321	0.1434	0.2711	0.385	0.3182	0.6137	0.2518
RAE	0.4338	0.3574	0.3919	0.6096	0.3351	0.1085	0.2065	0.1422	0.4933	0.1376	0.2619	0.055	0.0909	0.485	0.1717
Omni	0.4535	0.4452	0.4493	0.6286	0.3971	0.1837	0.1654	0.1741	0.4954	0.1578	0.2789	0.265	0.2718	0.5742	0.2406
BeatGAN	0.4699	0.3887	0.4255	0.5003	0.3659	0.2318	0.0881	0.1276	0.5111	0.1665	0.5625	0.045	0.0833	0.4075	0.2041
LSTM-NDT	0.4855	0.2819	0.3567	0.6187	0.5246	0.1323	0.2581	0.1749	0.511	0.1576	0.3222	0.29	0.3053	0.6235	0.2955
NAB-exchange-Nonstationary					NAB-exchange-stationary					NAB-grok-Nonstationary					
	Pre	Rec	F1	ROC	PR	Pre	Rec	F1	ROC	PR	Pre	Rec	F1	ROC	PR
CNN-AE	0.0251	0.0211	0.0229	0.4394	0.1638	0.1826	0.1374	0.1568	0.5151	0.171	0.8182	0.0584	0.1091	0.4971	0.2081
2DCNN-AE	0.0698	0.0634	0.0664	0.4499	0.1594	0.2353	0.2703	0.2516	0.548	0.2257	1	0.1104	0.1988	0.4616	0.2307
LSTM-AE	0.4815	0.0458	0.0836	0.4796	0.2094	0.0778	0.0293	0.0426	0.4699	0.1098	1	0.0325	0.0629	0.4736	0.1938
HIFI	0.0314	0.0176	0.0226	0.3833	0.137	0.2473	0.2095	0.2268	0.5704	0.195	0	0	0	0.4854	0.1098
RN	0.1538	0.0297	0.0498	0.6695	0.3919	0.1598	0.1216	0.1381	0.3911	0.1238	0	0	0	0.3216	0.0763
RAE	0.1585	0.0967	0.1201	0.4203	0.1554	0.0638	0.0135	0.0223	0.3834	0.0995	0	0	0	0.3287	0.0791
Omni	0.0786	0.0775	0.078	0.4293	0.1516	0.0945	0.1126	0.1028	0.4954	0.1349	0	0	0	0.3892	0.0842
BeatGAN	0.0504	0.0423	0.046	0.5243	0.2524	0.2625	0.1779	0.2121	0.4414	0.1537	0	0	0	0.4024	0.1786
LSTM-NDT	0.094	0.145	0.114	0.4214	0.1493	0.1475	0.1937	0.1675	0.4622	0.1566	0.1781	0.539	0.2677	0.6653	0.213
NAB-iao-Nonstationary					NAB-nyc-stationary					NAB-occupancy-stationary					
	Pre	Rec	F1	ROC	PR	Pre	Rec	F1	ROC	PR	Pre	Rec	F1	ROC	PR
CNN-AE	0.2696	0.25	0.2594	0.6449	0.1593	0.0655	0.0425	0.0516	0.3519	0.1612	0.4662	0.1481	0.2248	0.5513	0.4196
2DCNN-AE	0.2576	0.2742	0.2656	0.6502	0.1611	0.0914	0.0748	0.0823	0.3603	0.1637	0.4793	0.1738	0.2551	0.5516	0.4232
LSTM-AE	0.2838	0.1694	0.2121	0.5511	0.127	0.0719	0.044	0.0546	0.3568	0.1625	0.4182	0.1481	0.2187	0.5357	0.4103
HIFI	0.1136	0.0806	0.0943	0.5463	0.1263	0.1171	0.1026	0.1094	0.374	0.1672	0.4972	0.1931	0.2782	0.563	0.4352
RN	0.2056	0.4758	0.2871	0.6198	0.1893	0.0606	0.012	0.02	0.4184	0.1756	0.3605	0.255	0.2987	0.4899	0.3703
RAE	0.2358	0.2016	0.2174	0.6227	0.1617	0.0535	0.024	0.0331	0.4254	0.1787	0.3958	0.1685	0.2364	0.5135	0.3687
Omni	0.2875	0.1855	0.2255	0.5669	0.1316	0.092	0.0777	0.0843	0.3591	0.1633	0.3958	0.1631	0.231	0.5291	0.3601
BeatGAN	0.201	0.3387	0.2523	0.6758	0.1897	0.0531	0.0088	0.0151	0.3636	0.1642	0.375	0.0193	0.0367	0.4634	0.3077
LSTM-NDT	0.288	0.2903	0.2892	0.6424	0.1892	0.1078	0.0645	0.0807	0.377	0.1685	0.4315	0.2306	0.3006	0.5236	0.3915
NAB-rds-stationary					NAB-rds-Nonstationary					NAB-rogue-Nonstationary					
	Pre	Rec	F1	ROC	PR	Pre	Rec	F1	ROC	PR	Pre	Rec	F1	ROC	PR
CNN-AE	0.3849	0.2675	0.3156	0.5085	0.3459	0.1204	0.3125	0.1739	0.489	0.0919	0.4	0.3333	0.3636	0.9028	0.3718
2DCNN-AE	0.3765	0.24	0.2931	0.5489	0.364	0.1115	0.2875	0.1607	0.5114	0.0972	0.1111	0.1111	0.1111	0.849	0.1523
LSTM-AE	0.6667	0.01	0.0197	0.4815	0.3434	0	0	0	0.5189	0.1074	0.0205	0.1667	0.0366	0.1784	0.0186
HIFI	0.5294	0.1125	0.1856	0.4908	0.3759	0.1607	0.045	0.0703	0.5485	0.1121	0	0	0	0.4751	0.0282
RN	0.417	0.2575	0.3184	0.5845	0.4122	0.1087	0.25	0.1515	0.5013	0.1315	0	0	0	0.0591	0.0029
RAE	0.4137	0.2575	0.3174	0.5699	0.393	0.5417	0.0975	0.1653	0.5111	0.2061	0	0	0	0.4132	0.0064
Omni	0.6667	0.01	0.0197	0.4976	0.3527	0.1028	0.2625	0.1478	0.4881	0.0978	0.25	0.2778	0.2632	0.8635	0.1537
BeatGAN	0.8421	0.04	0.0764	0.5195	0.3922	0.1085	0.28	0.1564	0.5028	0.1537	0	0	0	0.3076	0.0237
LSTM-NDT	0.8	0.01	0.0198	0.4848	0.3432	0.1097	0.2825	0.158	0.4756	0.0998	0.2308	1	0.375	0.9939	0.5287
NAB-rogue-stationary					NAB-speed-stationary					NAB-TravelTime-stationary					
	Pre	Rec	F1	ROC	PR	Pre	Rec	F1	ROC	PR	Pre	Rec	F1	ROC	PR
CNN-AE	0.144	0.0985	0.117	0.5075	0.1198	0.5787	0.2712	0.3693	0.7009	0.5795	0.1901	0.3745	0.2522	0.6168	0.1707
2DCNN-AE	0.0385	0.0019	0.0036	0.4803	0.0772	0.6905	0.3745	0.4856	0.7376	0.6204	0.2097	0.4589	0.2878	0.6667	0.2472
LSTM-AE	0.1224	0.0549	0.0758	0.4855	0.1046	0.5503	0.1919	0.2845	0.5715	0.4528	0.2104	0.342	0.2605	0.6283	0.1759
HIFI	0.2222	0.0038	0.0074	0.4654	0.091	0.6129	0.2103	0.3132	0.7009	0.545	0.2146	0.4654	0.2937	0.6769	0.2449
RN	0	0	0	0.498	0.0626	0.4239	0.072	0.123	0.3516	0.2567	0.1843	0.0866	0.1178	0.4106	0.0998
RAE	0.0918	0.2273	0.1308	0.4933	0.0975	0.5684	0.2454	0.3428	0.6523	0.5141	0.2115	0.2229	0.2171	0.6416	0.1745
Omni	0.0667	0.0057	0.0105	0.5102	0.0992	0.5659	0.19	0.2845	0.6498	0.505	0.1849	0.1169	0.1432	0.4696	0.1073
BeatGAN	0.113	0.1761	0.1377	0.4919	0.1088	0.5269	0.1808	0.2692	0.622	0.4625	0.2521	0.0649	0.1033	0.5341	0.1476
LSTM-NDT	0.1013	0.1856	0.1311	0.5035	0.1013	0.5573	0.1974	0.2916	0.5971	0.4897	0.1654	0.4177	0.237	0.608	0.1607
NAB-Twitter-stationary															
	Pre	Rec	F1	ROC	PR										
CNN-AE	0.1605	0.1848	0.1718	0.5422	0.1789										
2DCNN-AE	0.2465	0.2547	0.2505	0.6028	0.2312										
LSTM-AE	0.2225	0.1877	0.2036	0.5872	0.1901										
HIFI	0.2229	0.1134	0.1504	0.5636	0.1737										
RN	0.1425	0.0098	0.0184	0.444	0.112										
RAE	0.167	0.1721	0.1695	0.5328	0.1618										
Omni	0.1655	0.0244	0.0426	0.4509	0.1114										
BeatGAN	0.1765	0.1532	0.164	0.4908	0.1545										
LSTM-NDT	0.1684	0.2288	0.194	0.5617	0.1716										

Table 46: Results of DL Methods (Stationary vs. Non-stationary; Sliding window size=16, Hidden size=128)

NAB-ambient-Nonstationary					NAB-art-stationary					NAB-cpu-stationary					
	Pre	Rec	F1	ROC	PR	Pre	Rec	F1	ROC	PR	Pre	Rec	F1	ROC	PR
CNN-AE	0.2283	0.0801	0.1186	0.5728	0.1961	0.1175	0.3811	0.1796	0.5604	0.3333	0.4184	0.3578	0.3858	0.5884	0.3336
2DCNN-AE	0.2366	0.0608	0.0967	0.557	0.1968	0.0861	0.2268	0.1249	0.4513	0.2493	0.3931	0.265	0.3166	0.5711	0.3275
LSTM-AE	0.2199	0.0856	0.1233	0.5681	0.1952	0.0838	0.2691	0.1278	0.483	0.2714	0.2211	0.0714	0.108	0.426	0.2518
HIFI	0.1462	0.1215	0.1327	0.4557	0.1481	0.0912	0.271	0.1365	0.5308	0.331	0.496	0.1662	0.249	0.5105	0.3233
RN	0.2553	0.0994	0.1431	0.5704	0.2073	0.0627	0.2183	0.0974	0.4379	0.2107	0.2925	0.3525	0.3197	0.4714	0.2629
RAE	0.2743	0.1796	0.217	0.5758	0.2087	0.0949	0.162	0.1197	0.5041	0.2879	0.2654	0.2984	0.281	0.5638	0.2923
Omni	0.5526	0.116	0.1918	0.6408	0.2818	0.1109	0.3181	0.1645	0.5669	0.341	0.4803	0.2356	0.3162	0.5619	0.3443
BeatGAN	0.6364	0.058	0.1063	0.6376	0.283	0.1412	0.2508	0.1807	0.6213	0.3827	1	0.004	0.008	0.4199	0.3455
LSTM-NDT	0.2123	0.2099	0.2111	0.5393	0.1887	0.0878	0.1266	0.1037	0.4857	0.2782	0.7494	0.4252	0.5426	0.6051	0.5396
NAB-ec2-Nonstationary					NAB-ec2-stationary					NAB-elb-stationary					
	Pre	Rec	F1	ROC	PR	Pre	Rec	F1	ROC	PR	Pre	Rec	F1	ROC	PR
CNN-AE	0.617	0.0963	0.1667	0.4497	0.3369	0.112	0.2481	0.1544	0.4756	0.1455	0.5333	0.28	0.3672	0.7533	0.4478
2DCNN-AE	0.4384	0.5316	0.4805	0.6997	0.5137	0.1655	0.1843	0.1744	0.5428	0.1724	0.2921	0.295	0.2935	0.568	0.2383
LSTM-AE	0.4534	0.3555	0.3985	0.4515	0.3229	0.1167	0.2296	0.1548	0.5064	0.1459	0.619	0.065	0.1176	0.5875	0.2773
HIFI	0.6864	0.1927	0.3009	0.721	0.5472	0.1072	0.1899	0.137	0.544	0.1556	0.5146	0.265	0.3498	0.7553	0.4414
RN	0.7	0.0822	0.1471	0.4717	0.3435	0.1334	0.1156	0.1239	0.5385	0.142	0.5	0.28	0.359	0.699	0.4207
RAE	0.7854	0.2701	0.402	0.6586	0.5819	0.1665	0.097	0.1226	0.5367	0.1646	0	0	0	0.3257	0.1164
Omni	0.4256	0.3422	0.3794	0.4404	0.2755	0.1831	0.1255	0.1489	0.4987	0.1566	0.4902	0.25	0.3311	0.7622	0.4158
BeatGAN	0.3889	0.0233	0.0439	0.2701	0.1989	0.1063	0.277	0.1537	0.5383	0.1674	0	0	0	0.5567	0.18
LSTM-NDT	0.572	0.2601	0.3576	0.6218	0.5345	0.1177	0.1709	0.1394	0.4998	0.1485	0.3226	0.3	0.3109	0.621	0.2953
NAB-exchange-Nonstationary					NAB-exchange-stationary					NAB-grok-Nonstationary					
	Pre	Rec	F1	ROC	PR	Pre	Rec	F1	ROC	PR	Pre	Rec	F1	ROC	PR
CNN-AE	0.0268	0.0141	0.0185	0.3209	0.1253	0.2199	0.1689	0.1911	0.6263	0.2266	0.1472	0.4416	0.2208	0.5939	0.1465
2DCNN-AE	0.0763	0.0669	0.0713	0.4874	0.1731	0.1873	0.2117	0.1987	0.4837	0.1558	0.2222	0.2727	0.2449	0.6092	0.2584
LSTM-AE	0.2	0.0035	0.0069	0.5745	0.2104	0.0929	0.0293	0.0445	0.4983	0.1239	1	0.0195	0.0382	0.4709	0.1835
HIFI	0.1005	0.0669	0.0803	0.3874	0.1451	0.3182	0.205	0.2493	0.582	0.2225	0.2	0.013	0.0244	0.5101	0.1332
RN	0.1509	0.0297	0.0497	0.5817	0.2331	0.2528	0.1532	0.1907	0.4141	0.1829	0	0	0	0.3225	0.077
RAE	0.1711	0.0483	0.0754	0.697	0.3808	0.2471	0.0968	0.1392	0.5397	0.217	0.1691	0.6818	0.271	0.6771	0.2536
Omni	0.047	0.0246	0.0323	0.4734	0.1689	0.0673	0.045	0.054	0.4778	0.1194	0	0	0	0.409	0.0912
BeatGAN	0.0769	0.0387	0.0515	0.3563	0.1379	0.2727	0.223	0.2454	0.533	0.2112	0.1852	0.2922	0.2267	0.5299	0.1538
LSTM-NDT	0.0906	0.1115	0.1	0.4286	0.1516	0.2008	0.2252	0.2123	0.5881	0.2525	0.1842	0.5909	0.2809	0.6605	0.2047
NAB-iao-Nonstationary					NAB-nyc-stationary					NAB-occupancy-stationary					
	Pre	Rec	F1	ROC	PR	Pre	Rec	F1	ROC	PR	Pre	Rec	F1	ROC	PR
CNN-AE	0.1732	0.3226	0.2254	0.6511	0.1614	0.1034	0.088	0.0951	0.3653	0.1653	0.4632	0.2704	0.3415	0.5581	0.4309
2DCNN-AE	0.2809	0.2016	0.2347	0.5632	0.1339	0.1028	0.0865	0.0939	0.3627	0.1643	0.3642	0.118	0.1783	0.5447	0.4063
LSTM-AE	0	0	0	0.4041	0.0789	0.0774	0.0513	0.0617	0.3523	0.1616	0.4813	0.1931	0.2757	0.5455	0.422
HIFI	0	0	0	0.4661	0.0854	0.1179	0.1041	0.1106	0.3713	0.1668	0.4943	0.1867	0.271	0.556	0.4304
RN	0.3846	0.1613	0.2273	0.5891	0.1815	0.0573	0.0135	0.0218	0.4244	0.1771	0.3639	0.2461	0.2937	0.4932	0.3732
RAE	0.2273	0.2016	0.2137	0.581	0.1498	0.0461	0.015	0.0226	0.4232	0.1776	0.3544	0.1242	0.1839	0.516	0.363
Omni	0.2095	0.1774	0.1921	0.5747	0.137	0.0984	0.0836	0.0904	0.3591	0.1633	0.5	0.0687	0.1208	0.5359	0.3765
BeatGAN	0	0	0	0.379	0.0741	0.199	0.1789	0.1884	0.4662	0.2098	0.6907	0.1438	0.238	0.5954	0.4406
LSTM-NDT	0.3025	0.2903	0.2963	0.6309	0.1867	0.1186	0.045	0.0652	0.3561	0.1645	0.4363	0.1973	0.2718	0.5011	0.3804
NAB-rds-stationary					NAB-rds-Nonstationary					NAB-rogue-Nonstationary					
	Pre	Rec	F1	ROC	PR	Pre	Rec	F1	ROC	PR	Pre	Rec	F1	ROC	PR
CNN-AE	0.3759	0.265	0.3109	0.5133	0.3605	0.131	0.355	0.1914	0.5081	0.0948	0.8333	0.2778	0.4167	0.5156	0.3046
2DCNN-AE	0.5714	0.01	0.0197	0.4895	0.3414	0.1014	0.26	0.1459	0.5035	0.0974	0.4444	0.4444	0.4444	0.8645	0.2639
LSTM-AE	1	0.0075	0.0149	0.5071	0.3561	0	0	0	0.5186	0.1061	0.1406	0.5	0.2195	0.6759	0.0978
HIFI	0.4222	0.285	0.3403	0.536	0.3492	0.09	0.0225	0.036	0.5774	0.1191	0	0	0	0.5544	0.0388
RN	0.4146	0.255	0.3158	0.5826	0.4047	0.1598	0.0775	0.1044	0.5306	0.1179	0	0	0	0.0463	0.0029
RAE	1	0.04	0.0769	0.4861	0.3827	0.1111	0.2875	0.1603	0.5042	0.167	0.0405	1	0.0779	0.922	0.0313
Omni	0.5714	0.01	0.0197	0.5519	0.3744	0.1014	0.2575	0.1455	0.5158	0.1004	0.3929	0.6111	0.4783	0.9347	0.3101
BeatGAN	0.625	0.025	0.0481	0.5529	0.3851	0.106	0.5225	0.1762	0.5247	0.1026	1	0.2222	0.3636	0.8662	0.3286
LSTM-NDT	0.4122	0.2525	0.3132	0.5685	0.3913	0.104	0.265	0.1494	0.4858	0.1099	0.0811	1	0.15	0.9738	0.0893
NAB-rogue-stationary					NAB-speed-stationary					NAB-TravelTime-stationary					
	Pre	Rec	F1	ROC	PR	Pre	Rec	F1	ROC	PR	Pre	Rec	F1	ROC	PR
CNN-AE	0.1353	0.1496	0.1421	0.5162	0.1161	0.4286	0.0664	0.115	0.4841	0.3255	0.1953	0.5043	0.2816	0.6435	0.1565
2DCNN-AE	0.1222	0.1648	0.1403	0.5202	0.11	0.7133	0.3672	0.4848	0.7334	0.6067	0.2242	0.2165	0.2203	0.5011	0.1335
LSTM-AE	0.1053	0.2955	0.1553	0.4923	0.0992	0.5658	0.1587	0.2478	0.6038	0.4714	0.2121	0.3268	0.2572	0.625	0.172
HIFI	0.0926	0.0189	0.0314	0.5329	0.107	0.6143	0.1587	0.2522	0.4797	0.3314	0.2755	0.158	0.2008	0.523	0.1358
RN	0.0931	0.1098	0.1008	0.4956	0.1058	0.5722	0.2048	0.3016	0.6271	0.4533	0.1278	0.1364	0.1319	0.4242	0.0964
RAE	0.1004	0.2424	0.142	0.5016	0.1011	0.5567	0.1993	0.2935	0.5996	0.4222	0.1776	0.3701	0.24	0.595	0.1539
Omni	0.0606	0.0038	0.0071	0.521	0.1013	0.4279	0.1642	0.2373	0.458	0.3144	0.1907	0.1775	0.1839	0.6081	0.1466
BeatGAN	0.1096	0.3447	0.1663	0.522	0.1157	0.4798	0.1974	0.2797	0.6065	0.4544	0.2173	0.1797	0.1967	0.4891	0.1316
LSTM-NDT	0.0991	0.2614	0.1437	0.5008	0.1006	0.5604	0.1882	0.2818	0.5969	0.4849	0.1649	0.4091	0.2351	0.6049	0.1634
NAB-Twitter-stationary															
	Pre	Rec	F1	ROC	PR										
CNN-AE	0.1789	0.1624	0.1703	0.5367	0.1695										
2DCNN-AE	0.2762	0.0351	0.0623	0.4939	0.1399										
LSTM-AE	0.2104	0.1624	0.1833	0.5461	0.174										
HIFI	0.1994	0.1276	0.1556	0.561	0.1684										
RN	0.1393	0.0105	0.0195	0.4384	0.1091										
RAE	0.188	0.2009	0.1943	0.5498	0.1671										
Omni	0.2508	0.0215	0.0396	0.4588	0.1161										
BeatGAN	0.168	0.2572	0.2032	0.5403	0.1543										
LSTM-NDT	0.1625	0.209	0.1828	0.5515	0.1629										

Table 47: Results of DL Methods (Stationary vs. Non-stationary; Sliding window size=16, Hidden size=256)

NAB-ambient-Nonstationary					NAB-art-stationary					NAB-cpu-stationary					
	Pre	Rec	F1	ROC	PR	Pre	Rec	F1	ROC	PR	Pre	Rec	F1	ROC	PR
CNN-AE	0.2298	0.1022	0.1415	0.5915	0.2086	0.0864	0.2734	0.1313	0.5428	0.3264	0.4167	0.1001	0.1615	0.4345	0.2916
2DCNN-AE	0.2143	0.1077	0.1434	0.5648	0.1932	0.0823	0.2379	0.1222	0.4728	0.2653	0.4239	0.3925	0.4076	0.6017	0.3501
LSTM-AE	0.2153	0.1243	0.1576	0.548	0.1902	0.0748	0.2335	0.1133	0.4371	0.2686	0.2458	0.0774	0.1178	0.4775	0.269
HIFI	0.2	0.1492	0.1709	0.5437	0.1829	0.0908	0.2657	0.1354	0.5096	0.3234	0.524	0.1822	0.2704	0.5281	0.3321
RN	0.2294	0.1077	0.1466	0.5595	0.2008	0.0442	0.163	0.0696	0.4155	0.2086	0.2564	0.0801	0.1221	0.4088	0.2535
RAE	0.2259	0.2265	0.2262	0.543	0.1885	0.0889	0.161	0.1146	0.525	0.2956	0.1614	0.1288	0.1433	0.4615	0.2482
Omni	0.5806	0.0994	0.1698	0.641	0.2837	0.0877	0.1889	0.1198	0.4696	0.2789	0.5196	0.1769	0.2639	0.5223	0.3281
BeatGAN	0.4071	0.1575	0.2271	0.6475	0.2845	0.2128	0.0048	0.0094	0.4351	0.3089	0.587	0.241	0.3417	0.5665	0.4694
LSTM-NDT	0.1969	0.1768	0.1863	0.5366	0.1852	0.0796	0.1266	0.0977	0.4481	0.257	0.7381	0.4232	0.538	0.6122	0.5264
NAB-ec2-Nonstationary					NAB-ec2-stationary					NAB-elb-stationary					
	Pre	Rec	F1	ROC	PR	Pre	Rec	F1	ROC	PR	Pre	Rec	F1	ROC	PR
CNN-AE	0.6818	0.0249	0.0481	0.3982	0.263	0.1234	0.2896	0.1731	0.4687	0.1571	0.5294	0.27	0.3576	0.7507	0.4394
2DCNN-AE	0.5015	0.5615	0.5298	0.7212	0.5753	0.142	0.1547	0.1481	0.5932	0.1784	0.2511	0.295	0.2713	0.629	0.2364
LSTM-AE	0.4625	0.3688	0.4104	0.4481	0.3267	0.1206	0.3167	0.1746	0.5216	0.1536	0.3333	0.005	0.0099	0.4853	0.1879
HIFI	0.7303	0.1844	0.2944	0.6026	0.4775	0.1031	0.1877	0.1331	0.4716	0.145	0.513	0.295	0.3746	0.7427	0.4379
RN	0.5411	0.5638	0.5522	0.7264	0.6516	0.1314	0.2269	0.1664	0.4999	0.2021	0.53	0.265	0.3533	0.6744	0.3971
RAE	0.4682	0.3087	0.3721	0.6363	0.5357	0.1176	0.2363	0.157	0.5216	0.1512	0	0	0	0.2684	0.1075
Omni	0.4375	0.3488	0.3882	0.4439	0.3126	0.1528	0.2003	0.1734	0.5234	0.1698	0	0	0	0.4332	0.1523
BeatGAN	0.8052	0.206	0.328	0.6219	0.5179	0.1175	0.2286	0.1552	0.493	0.1476	0.6667	0.02	0.0388	0.6931	0.3207
LSTM-NDT	0.3029	0.1393	0.1908	0.347	0.2361	0.1247	0.2265	0.1609	0.5329	0.1514	0.2787	0.255	0.2663	0.5866	0.2552
NAB-exchange-Nonstationary					NAB-exchange-stationary					NAB-grok-Nonstationary					
	Pre	Rec	F1	ROC	PR	Pre	Rec	F1	ROC	PR	Pre	Rec	F1	ROC	PR
CNN-AE	0.0829	0.0599	0.0695	0.4457	0.155	0.2121	0.205	0.2085	0.5893	0.21	0	0	0	0.3237	0.0769
2DCNN-AE	0.1116	0.0915	0.1006	0.4309	0.1965	0.0878	0.0878	0.0878	0.5175	0.1308	0.5946	0.1429	0.2304	0.4993	0.2529
LSTM-AE	0.2955	0.0458	0.0793	0.5977	0.3009	0.1337	0.0563	0.0792	0.5084	0.1379	1	0.013	0.0256	0.4624	0.1597
HIFI	0.1117	0.0775	0.0915	0.4028	0.1676	0.0606	0.018	0.0278	0.4607	0.1168	0.0345	0.0065	0.0109	0.4944	0.1179
RN	0.1481	0.0297	0.0495	0.5992	0.252	0.2698	0.1532	0.1954	0.4282	0.168	0.1719	0.6429	0.2712	0.6289	0.1679
RAE	0.1417	0.0632	0.0874	0.4232	0.1516	0.1811	0.1937	0.1872	0.4798	0.1475	0.1776	0.474	0.2584	0.6828	0.2603
Omni	0.1714	0.0423	0.0678	0.5665	0.209	0.0592	0.0225	0.0326	0.4913	0.1144	0	0	0	0.4328	0.0978
BeatGAN	0	0	0	0.6655	0.2865	0.1455	0.0698	0.0944	0.4529	0.118	0	0	0	0.4346	0.1038
LSTM-NDT	0.0842	0.0855	0.0849	0.4335	0.1536	0.145	0.1959	0.1667	0.5384	0.1943	0.1788	0.5909	0.2745	0.6594	0.2038
NAB-iao-Nonstationary					NAB-nyc-stationary					NAB-occupancy-stationary					
	Pre	Rec	F1	ROC	PR	Pre	Rec	F1	ROC	PR	Pre	Rec	F1	ROC	PR
CNN-AE	0	0	0	0.3902	0.0759	0.101	0.085	0.0924	0.3625	0.1646	0.4819	0.1996	0.2822	0.5444	0.4184
2DCNN-AE	0.1294	0.2097	0.16	0.4977	0.0969	0.0967	0.0806	0.0879	0.3639	0.1646	0.4767	0.176	0.2571	0.5516	0.4218
LSTM-AE	0.3117	0.1935	0.2388	0.645	0.1842	0.0876	0.063	0.0733	0.3587	0.1631	0.39	0.2167	0.2786	0.5248	0.3649
HIFI	0	0	0	0.3634	0.0715	0.1145	0.0997	0.1066	0.3679	0.1658	0.3371	0.1288	0.1863	0.4937	0.3274
RN	0	0	0	0.3059	0.0668	0.0721	0.012	0.0206	0.4168	0.175	0.4163	0.2373	0.3023	0.5203	0.3577
RAE	0	0	0	0.2919	0.0655	0.0606	0.024	0.0344	0.4198	0.1765	0.4115	0.1907	0.2606	0.5218	0.373
Omni	0	0	0	0.3844	0.0763	0.0751	0.0572	0.0649	0.3533	0.1616	0.3962	0.0451	0.0809	0.4989	0.3338
BeatGAN	0.2457	0.5806	0.3453	0.6833	0.1636	0.0604	0.0132	0.0217	0.5169	0.2086	0	0	0	0.4492	0.2944
LSTM-NDT	0.2647	0.2903	0.2769	0.6025	0.1863	0.1271	0.045	0.0664	0.3658	0.167	0.3819	0.2151	0.2752	0.5172	0.3793
NAB-rds-stationary					NAB-rds-Nonstationary					NAB-rogue-Nonstationary					
	Pre	Rec	F1	ROC	PR	Pre	Rec	F1	ROC	PR	Pre	Rec	F1	ROC	PR
CNN-AE	0.3864	0.255	0.3072	0.5362	0.3563	0.1158	0.3	0.1671	0.4989	0.0941	0.2667	0.2222	0.2424	0.2967	0.0581
2DCNN-AE	0.5714	0.01	0.0197	0.4922	0.3445	0.1156	0.51	0.1885	0.5316	0.1318	0.1233	0.5	0.1978	0.6869	0.075
LSTM-AE	0.5	0.015	0.0291	0.5027	0.3448	0	0	0	0.5189	0.1072	0.2632	0.2778	0.2703	0.8809	0.1712
HIFI	0.5114	0.1125	0.1844	0.5793	0.4272	0.0864	0.0175	0.0291	0.4509	0.0868	0	0	0	0.1261	0.0172
RN	0.4336	0.2775	0.3384	0.6148	0.4062	0.0879	0.2225	0.1261	0.4568	0.0938	0.0769	1	0.1429	0.9756	0.0931
RAE	0.4263	0.2675	0.3287	0.567	0.3892	0.113	0.29	0.1626	0.4921	0.123	0	0	0	0.8154	0.0153
Omni	0.8	0.01	0.0198	0.4973	0.3503	0	0	0	0.5107	0.1042	0.4286	0.5	0.4615	0.9271	0.2547
BeatGAN	0.3926	0.2375	0.296	0.5093	0.3517	0	0	0	0.456	0.086	0.45	0.5	0.4737	0.7588	0.2452
LSTM-NDT	0.3969	0.3175	0.3528	0.5368	0.3816	0.104	0.265	0.1494	0.4831	0.1089	0.1667	0.6667	0.2667	0.9842	0.1444
NAB-rogue-stationary					NAB-speed-stationary					NAB-TravelTime-stationary					
	Pre	Rec	F1	ROC	PR	Pre	Rec	F1	ROC	PR	Pre	Rec	F1	ROC	PR
CNN-AE	0.1329	0.3295	0.1894	0.5575	0.1209	0.6429	0.0166	0.0324	0.2809	0.212	0.1942	0.4481	0.2709	0.6525	0.194
2DCNN-AE	0.0833	0.0057	0.0106	0.4922	0.0928	0.7085	0.3542	0.4723	0.6994	0.5807	0.1795	0.2273	0.2006	0.5645	0.1348
LSTM-AE	0.1395	0.3106	0.1925	0.5611	0.1239	0.5203	0.2362	0.3249	0.5962	0.4635	0.2118	0.3658	0.2683	0.6347	0.2125
HIFI	0.0729	0.0133	0.0224	0.4819	0.0916	0.5833	0.1033	0.1755	0.5738	0.4026	0.2357	0.1602	0.1907	0.5373	0.1271
RN	0.059	0.0625	0.0607	0.4769	0.0798	0	0	0	0.4284	0.2677	0.1389	0.119	0.1282	0.381	0.0918
RAE	0.0743	0.161	0.1017	0.4728	0.0885	0.5438	0.2749	0.3652	0.639	0.4575	0.1357	0.1472	0.1412	0.426	0.1007
Omni	0.0989	0.017	0.0291	0.5249	0.1039	0.4673	0.1716	0.251	0.5451	0.4171	0.1692	0.0238	0.0417	0.4558	0.0957
BeatGAN	0.1293	0.2898	0.1788	0.544	0.1276	0.5426	0.2583	0.35	0.6744	0.527	0.2343	0.145	0.1791	0.492	0.1365
LSTM-NDT	0.0947	0.1345	0.1111	0.4948	0.0984	0.5568	0.19	0.2834	0.586	0.474	0.1644	0.4113	0.2349	0.6041	0.163
NAB-Twitter-stationary															
	Pre	Rec	F1	ROC	PR										
CNN-AE	0.2098	0.1711	0.1885	0.569	0.1831										
2DCNN-AE	0.1066	0.1141	0.1102	0.5075	0.1347										
LSTM-AE	0.1804	0.1755	0.1779	0.5391	0.1717										
HIFI	0.2044	0.092	0.1269	0.5626	0.152										
RN	0.1945	0.1096	0.1402	0.5016	0.3562										
RAE	0.1961	0.1657	0.1796	0.5492	0.1713										
Omni	0.2079	0.0205	0.0373	0.4559	0.114										
BeatGAN	0.1575	0.2379	0.1895	0.5575	0.1754										
LSTM-NDT	0.1488	0.1347	0.1414	0.5202	0.1475										

Table 48: Results of DL Methods (Stationary vs. Non-stationary; Sliding window size=32, Hidden size=16)

NAB-ambient-Nonstationary						NAB-art-stationary					NAB-cpu-stationary				
	Pre	Rec	F1	ROC	PR	Pre	Rec	F1	ROC	PR	Pre	Rec	F1	ROC	PR
CNN-AE	0.2298	0.1022	0.1415	0.5915	0.2086	0.0864	0.2734	0.1313	0.5428	0.3264	0.4167	0.1001	0.1615	0.4345	0.2916
2DCNN-AE	0.2143	0.1077	0.1434	0.5648	0.1932	0.0823	0.2379	0.1222	0.4728	0.2653	0.4239	0.3925	0.4076	0.6017	0.3501
LSTM-AE	0.2153	0.1243	0.1576	0.548	0.1902	0.0748	0.2335	0.1133	0.4371	0.2686	0.2458	0.0774	0.1178	0.4775	0.269
HIFI	0.2	0.1492	0.1709	0.5437	0.1829	0.0908	0.2657	0.1354	0.5096	0.3234	0.524	0.1822	0.2704	0.5281	0.3321
RN	0.2294	0.1077	0.1466	0.5595	0.2008	0.0442	0.163	0.0696	0.4155	0.2086	0.2564	0.0801	0.1221	0.4088	0.2535
RAE	0.2259	0.2265	0.2262	0.543	0.1885	0.0889	0.161	0.1146	0.525	0.2956	0.1614	0.1288	0.1433	0.4615	0.2482
Omni	0.5806	0.0994	0.1698	0.641	0.2837	0.0877	0.1889	0.1198	0.4696	0.2789	0.5196	0.1769	0.2639	0.5223	0.3281
BeatGAN	0.4071	0.1575	0.2271	0.6475	0.2845	0.2128	0.0048	0.0094	0.4351	0.3089	0.587	0.241	0.3417	0.5665	0.4694
LSTM-NDT	0.1969	0.1768	0.1863	0.5366	0.1852	0.0796	0.1266	0.0977	0.4481	0.257	0.7381	0.4232	0.538	0.6122	0.5264
NAB-ec2-Nonstationary						NAB-ec2-stationary					NAB-elb-stationary				
	Pre	Rec	F1	ROC	PR	Pre	Rec	F1	ROC	PR	Pre	Rec	F1	ROC	PR
CNN-AE	0.6818	0.0249	0.0481	0.3982	0.263	0.1234	0.2896	0.1731	0.4687	0.1571	0.5294	0.27	0.3576	0.7507	0.4394
2DCNN-AE	0.5015	0.5615	0.5298	0.7212	0.5753	0.142	0.1547	0.1481	0.5932	0.1784	0.2511	0.295	0.2713	0.629	0.2364
LSTM-AE	0.4625	0.3688	0.4104	0.4481	0.3267	0.1206	0.3167	0.1746	0.5216	0.1536	0.3333	0.005	0.0099	0.4853	0.1879
HIFI	0.7303	0.1844	0.2944	0.6026	0.4775	0.1031	0.1877	0.1331	0.4716	0.145	0.513	0.295	0.3746	0.7427	0.4379
RN	0.5411	0.5638	0.5522	0.7264	0.6516	0.1314	0.2269	0.1664	0.4999	0.2021	0.53	0.265	0.3533	0.6744	0.3971
RAE	0.4682	0.3087	0.3721	0.6363	0.5357	0.1176	0.2363	0.157	0.5216	0.1512	0	0	0	0.2684	0.1075
Omni	0.4375	0.3488	0.3882	0.4439	0.3126	0.1528	0.2003	0.1734	0.5234	0.1698	0	0	0	0.4332	0.1523
BeatGAN	0.8052	0.206	0.328	0.6219	0.5179	0.1175	0.2286	0.1552	0.493	0.1476	0.6667	0.02	0.0388	0.6931	0.3207
LSTM-NDT	0.3029	0.1393	0.1908	0.347	0.2361	0.1247	0.2265	0.1609	0.5329	0.1514	0.2787	0.255	0.2663	0.5866	0.2552
NAB-exchange-Nonstationary						NAB-exchange-stationary					NAB-grok-Nonstationary				
	Pre	Rec	F1	ROC	PR	Pre	Rec	F1	ROC	PR	Pre	Rec	F1	ROC	PR
CNN-AE	0.0829	0.0599	0.0695	0.4457	0.155	0.2121	0.205	0.2085	0.5893	0.21	0	0	0	0.3237	0.0769
2DCNN-AE	0.1116	0.0915	0.1006	0.4309	0.1965	0.0878	0.0878	0.0878	0.5175	0.1308	0.5946	0.1429	0.2304	0.4993	0.2529
LSTM-AE	0.2955	0.0458	0.0793	0.5977	0.3009	0.1337	0.0563	0.0792	0.5084	0.1379	1	0.013	0.0256	0.4624	0.1597
HIFI	0.1117	0.0775	0.0915	0.4028	0.1676	0.0606	0.018	0.0278	0.4607	0.1168	0.0345	0.0065	0.0109	0.4944	0.1179
RN	0.1481	0.0297	0.0495	0.5992	0.252	0.2698	0.1532	0.1954	0.4282	0.168	0.1719	0.6429	0.2712	0.6289	0.1679
RAE	0.1417	0.0632	0.0874	0.4232	0.1516	0.1811	0.1937	0.1872	0.4798	0.1475	0.1776	0.474	0.2584	0.6828	0.2603
Omni	0.1714	0.0423	0.0678	0.5665	0.209	0.0592	0.0225	0.0326	0.4913	0.1144	0	0	0	0.4328	0.0978
BeatGAN	0	0	0	0.6655	0.2865	0.1455	0.0698	0.0944	0.4529	0.118	0	0	0	0.4346	0.1038
LSTM-NDT	0.0842	0.0855	0.0849	0.4335	0.1536	0.145	0.1959	0.1667	0.5384	0.1943	0.1788	0.5909	0.2745	0.6594	0.2038
NAB-iao-Nonstationary						NAB-nyc-stationary					NAB-occupancy-stationary				
	Pre	Rec	F1	ROC	PR	Pre	Rec	F1	ROC	PR	Pre	Rec	F1	ROC	PR
CNN-AE	0	0	0	0.3902	0.0759	0.101	0.085	0.0924	0.3625	0.1646	0.4819	0.1996	0.2822	0.5444	0.4184
2DCNN-AE	0.1294	0.2097	0.16	0.4977	0.0969	0.0967	0.0806	0.0879	0.3639	0.1646	0.4767	0.176	0.2571	0.5516	0.4218
LSTM-AE	0.3117	0.1935	0.2388	0.645	0.1842	0.0876	0.063	0.0733	0.3587	0.1631	0.39	0.2167	0.2786	0.5248	0.3649
HIFI	0	0	0	0.3634	0.0715	0.1145	0.0997	0.1066	0.3679	0.1658	0.3371	0.1288	0.1863	0.4937	0.3274
RN	0	0	0	0.3059	0.0668	0.0721	0.012	0.0206	0.4168	0.175	0.4163	0.2373	0.3023	0.5203	0.3577
RAE	0	0	0	0.2919	0.0655	0.0606	0.024	0.0344	0.4198	0.1765	0.4115	0.1907	0.2606	0.5218	0.373
Omni	0	0	0	0.3844	0.0763	0.0751	0.0572	0.0649	0.3533	0.1616	0.3962	0.0451	0.0809	0.4989	0.3338
BeatGAN	0.2457	0.5806	0.3453	0.6833	0.1636	0.0604	0.0132	0.0217	0.5169	0.2086	0	0	0	0.4492	0.2944
LSTM-NDT	0.2647	0.2903	0.2769	0.6025	0.1863	0.1271	0.045	0.0664	0.3658	0.167	0.3819	0.2151	0.2752	0.5172	0.3793
NAB-rds-stationary						NAB-rds-Nonstationary					NAB-rogue-Nonstationary				
	Pre	Rec	F1	ROC	PR	Pre	Rec	F1	ROC	PR	Pre	Rec	F1	ROC	PR
CNN-AE	0.3864	0.255	0.3072	0.5362	0.3563	0.1158	0.3	0.1671	0.4989	0.0941	0.2667	0.2222	0.2424	0.2967	0.0581
2DCNN-AE	0.5714	0.01	0.0197	0.4922	0.3445	0.1156	0.51	0.1885	0.5316	0.1318	0.1233	0.5	0.1978	0.6869	0.075
LSTM-AE	0.5	0.015	0.0291	0.5027	0.3448	0	0	0	0.5189	0.1072	0.2632	0.2778	0.2703	0.8809	0.1712
HIFI	0.5114	0.1125	0.1844	0.5793	0.4272	0.0864	0.0175	0.0291	0.4509	0.0868	0	0	0	0.1261	0.0172
RN	0.4336	0.2775	0.3384	0.6148	0.4062	0.0879	0.2225	0.1261	0.4568	0.0938	0.0769	1	0.1429	0.9756	0.0931
RAE	0.4263	0.2675	0.3287	0.567	0.3892	0.113	0.29	0.1626	0.4921	0.123	0	0	0	0.8154	0.0153
Omni	0.8	0.01	0.0198	0.4973	0.3503	0	0	0	0.5107	0.1042	0.4286	0.5	0.4615	0.9271	0.2547
BeatGAN	0.3926	0.2375	0.296	0.5093	0.3517	0	0	0	0.456	0.086	0.45	0.5	0.4737	0.7588	0.2452
LSTM-NDT	0.3969	0.3175	0.3528	0.5368	0.3816	0.104	0.265	0.1494	0.4831	0.1089	0.1667	0.6667	0.2667	0.9842	0.1444
NAB-rogue-stationary						NAB-speed-stationary					NAB-TravelTime-stationary				
	Pre	Rec	F1	ROC	PR	Pre	Rec	F1	ROC	PR	Pre	Rec	F1	ROC	PR
CNN-AE	0.1329	0.3295	0.1894	0.5575	0.1209	0.6429	0.0166	0.0324	0.2809	0.212	0.1942	0.4481	0.2709	0.6525	0.194
2DCNN-AE	0.0833	0.0057	0.0106	0.4922	0.0928	0.7085	0.3542	0.4723	0.6994	0.5807	0.1795	0.2273	0.2006	0.5645	0.1348
LSTM-AE	0.1395	0.3106	0.1925	0.5611	0.1239	0.5203	0.2362	0.3249	0.5962	0.4635	0.2118	0.3658	0.2683	0.6347	0.2125
HIFI	0.0729	0.0133	0.0224	0.4819	0.0916	0.5833	0.1033	0.1755	0.5738	0.4026	0.2357	0.1602	0.1907	0.5373	0.1271
RN	0.059	0.0625	0.0607	0.4769	0.0798	0	0	0	0.4284	0.2677	0.1389	0.119	0.1282	0.381	0.0918
RAE	0.0743	0.161	0.1017	0.4728	0.0885	0.5438	0.2749	0.3652	0.639	0.4575	0.1357	0.1472	0.1412	0.426	0.1007
Omni	0.0989	0.017	0.0291	0.5249	0.1039	0.4673	0.1716	0.251	0.5451	0.4171	0.1692	0.0238	0.0417	0.4558	0.0957
BeatGAN	0.1293	0.2898	0.1788	0.544	0.1276	0.5426	0.2583	0.35	0.6744	0.527	0.2343	0.145	0.1791	0.492	0.1365
LSTM-NDT	0.0947	0.1345	0.1111	0.4948	0.0984	0.5568	0.19	0.2834	0.586	0.474	0.1644	0.4113	0.2349	0.6041	0.163
NAB-Twitter-stationary															
	Pre	Rec	F1	ROC	PR										
CNN-AE	0.2098	0.1711	0.1885	0.569	0.1831										
2DCNN-AE	0.1066	0.1141	0.1102	0.5075	0.1347										
LSTM-AE	0.1804	0.1755	0.1779	0.5391	0.1717										
HIFI	0.2044	0.092	0.1269	0.5626	0.152										
RN	0.1945	0.1096	0.1402	0.5016	0.3562										
RAE	0.1961	0.1657	0.1796	0.5492	0.1713										
Omni	0.2079	0.0205	0.0373	0.4559	0.114										
BeatGAN	0.1575	0.2379	0.1895	0.5575	0.1754										
LSTM-NDT	0.1488	0.1347	0.1414	0.5202	0.1475										

Table 49: Results of DL Methods (Stationary vs. Non-stationary; Sliding window size=32, Hidden size=32)

NAB-ambient-Nonstationary					NAB-art-stationary					NAB-cpu-stationary					
	Pre	Rec	F1	ROC	PR	Pre	Rec	F1	ROC	PR	Pre	Rec	F1	ROC	PR
CNN-AE	0.1992	0.1381	0.1631	0.5217	0.1772	0.0698	0.2629	0.1104	0.2926	0.1782	0.4	0.0027	0.0053	0.2488	0.1891
2DCNN-AE	0.2075	0.0304	0.053	0.5694	0.1903	0.0678	0.2984	0.1105	0.2663	0.1631	0.537	0.2276	0.3197	0.6268	0.3914
LSTM-AE	0.2535	0.0497	0.0831	0.5589	0.1985	0.0784	0.3104	0.1251	0.273	0.152	0.5846	0.0254	0.0486	0.3553	0.2427
HIFI	0.2149	0.1354	0.1661	0.5555	0.1911	0.0792	0.333	0.128	0.2847	0.1807	0.4979	0.1562	0.2378	0.5291	0.3539
RN	0.2191	0.1713	0.1922	0.5826	0.2097	0.0362	0.1334	0.057	0.2072	0.1316	0.2727	0.3545	0.3083	0.4591	0.2554
RAE	0.2035	0.1298	0.1585	0.5791	0.199	0.0706	0.1433	0.0946	0.2724	0.1489	0.4319	0.1101	0.1755	0.564	0.3819
Omni	0.597	0.1105	0.1865	0.6365	0.2779	0.0982	0.1105	0.104	0.2511	0.1532	0.4642	0.5501	0.5035	0.5941	0.3725
BeatGAN	0.2766	0.0359	0.0636	0.4413	0.166	0.0861	0.1062	0.0951	0.3133	0.1828	0.5359	0.219	0.3109	0.5525	0.3504
LSTM-NDT	0.2047	0.1934	0.1989	0.5307	0.184	0.0891	0.1615	0.1149	0.2911	0.154	0.7858	0.48	0.5959	0.6507	0.6059
NAB-ec2-Nonstationary					NAB-ec2-stationary					NAB-elb-stationary					
	Pre	Rec	F1	ROC	PR	Pre	Rec	F1	ROC	PR	Pre	Rec	F1	ROC	PR
CNN-AE	0.6275	0.0532	0.098	0.4295	0.3084	0.149	0.1387	0.1436	0.4176	0.1288	0.6121	0.355	0.4494	0.8012	0.5394
2DCNN-AE	0.6282	0.2442	0.3517	0.7154	0.5692	0.2156	0.1387	0.1688	0.4286	0.1612	0.4817	0.395	0.4341	0.7998	0.4868
LSTM-AE	0.7368	0.0233	0.0451	0.4002	0.266	0.1246	0.1623	0.141	0.4832	0.1371	0.55	0.055	0.1	0.5701	0.2506
HIFI	0.9247	0.2243	0.361	0.7144	0.5723	0.174	0.1497	0.1609	0.4433	0.1615	0.5741	0.155	0.2441	0.7678	0.4354
RN	0.5538	0.1241	0.2028	0.4064	0.3296	0.1375	0.147	0.1421	0.4423	0.1438	0.277	0.295	0.2857	0.6522	0.2757
RAE	0.5	0.0966	0.1618	0.3221	0.2794	0.1209	0.1824	0.1454	0.4244	0.1314	0.0804	0.045	0.0577	0.4062	0.1423
Omni	0.4315	0.3505	0.3868	0.4549	0.2905	0.1848	0.1456	0.1629	0.4289	0.1375	0.2531	0.41	0.313	0.6154	0.2511
BeatGAN	0.8607	0.2874	0.4309	0.7271	0.6118	0.1809	0.1799	0.1804	0.5639	0.2099	0	0	0	0.3012	0.1104
LSTM-NDT	0.4543	0.2655	0.3351	0.6079	0.502	0.111	0.171	0.1346	0.3888	0.1244	0.3497	0.285	0.314	0.6487	0.3313
NAB-exchange-Nonstationary					NAB-exchange-stationary					NAB-grok-Nonstationary					
	Pre	Rec	F1	ROC	PR	Pre	Rec	F1	ROC	PR	Pre	Rec	F1	ROC	PR
CNN-AE	0.6429	0.0317	0.0604	0.6285	0.3182	0.2495	0.3041	0.2741	0.5967	0.1837	0.1516	0.513	0.2341	0.6616	0.2551
2DCNN-AE	0.0811	0.1056	0.0917	0.4027	0.1583	0.1263	0.1622	0.142	0.5125	0.1261	1	0.1039	0.1882	0.4861	0.2842
LSTM-AE	0.9444	0.0599	0.1126	0.683	0.3741	0.1248	0.1712	0.1443	0.5121	0.1274	1	0.0065	0.0129	0.4743	0.204
HIFI	0.1034	0.0951	0.0991	0.4969	0.2106	0.1745	0.1667	0.1705	0.5988	0.1865	0.58	0.1883	0.2843	0.7212	0.3466
RN	0.1106	0.1739	0.1352	0.6199	0.2888	0.121	0.1712	0.1418	0.3563	0.1035	0	0	0	0.2608	0.071
RAE	0.1221	0.1462	0.1331	0.437	0.14	0.1737	0.1396	0.1548	0.5627	0.1801	0.25	0.0065	0.0127	0.3211	0.0848
Omni	0.0435	0.0141	0.0213	0.4555	0.1705	0.0914	0.1554	0.1151	0.4753	0.1264	0	0	0	0.3925	0.0847
BeatGAN	0.5	0.0035	0.007	0.4163	0.2047	0.129	0.0541	0.0762	0.5312	0.14	0	0	0	0.3417	0.0773
LSTM-NDT	0.0702	0.0988	0.0821	0.4227	0.1398	0.2534	0.2523	0.2528	0.6003	0.2858	0.1767	0.5519	0.2677	0.6751	0.2233
NAB-iao-Nonstationary					NAB-nyc-stationary					NAB-occupancy-stationary					
	Pre	Rec	F1	ROC	PR	Pre	Rec	F1	ROC	PR	Pre	Rec	F1	ROC	PR
CNN-AE	0.1949	0.4274	0.2677	0.6861	0.199	0.1636	0.195	0.1779	0.4806	0.1954	0.48	0.1803	0.2621	0.5894	0.4674
2DCNN-AE	0.2376	0.3871	0.2945	0.6867	0.1818	0.1442	0.1569	0.1503	0.4922	0.1994	0.375	0.0837	0.1368	0.5843	0.4169
LSTM-AE	0.0172	0.0081	0.011	0.4115	0.0785	0.2385	0.2595	0.2486	0.5381	0.2215	0.3377	0.1652	0.2219	0.5379	0.3719
HIFI	0.3571	0.3629	0.36	0.6223	0.1911	0.1596	0.1877	0.1725	0.4821	0.1964	0.47	0.1009	0.1661	0.6038	0.463
RN	0.5405	0.1613	0.2484	0.6437	0.254	0.0965	0.0461	0.0624	0.4728	0.1868	0.4608	0.3103	0.3709	0.5517	0.4289
RAE	0.2569	0.2258	0.2403	0.5924	0.1688	0.0788	0.0538	0.0639	0.4644	0.1834	0.5396	0.1724	0.2613	0.5394	0.413
Omni	0	0	0	0.394	0.0765	0.1501	0.1701	0.1595	0.4884	0.1981	0.4462	0.1245	0.1946	0.5211	0.3778
BeatGAN	0	0	0	0.377	0.0747	0.1728	0.1716	0.1722	0.4296	0.1857	0.3226	0.0644	0.1073	0.5784	0.4059
LSTM-NDT	0.2782	0.2984	0.2879	0.6372	0.1975	0.2064	0.1382	0.1656	0.5389	0.2253	0.428	0.2391	0.3068	0.5339	0.3989
NAB-rds-stationary					NAB-rds-Nonstationary					NAB-rogue-Nonstationary					
	Pre	Rec	F1	ROC	PR	Pre	Rec	F1	ROC	PR	Pre	Rec	F1	ROC	PR
CNN-AE	0.3705	0.2575	0.3038	0.5408	0.3492	0.133	0.355	0.1935	0.5218	0.0985	0	0	0	0.2298	0.0198
2DCNN-AE	0.2	0.005	0.0098	0.4771	0.3129	0.1196	0.3175	0.1737	0.5471	0.1141	0.3	0.6667	0.4138	0.7123	0.228
LSTM-AE	0.6667	0.01	0.0197	0.4955	0.3509	0	0	0	0.519	0.1059	0.3415	0.7778	0.4746	0.7585	0.2477
HIFI	0.2404	0.11	0.1509	0.5213	0.3609	0.0442	0.035	0.0391	0.5443	0.0988	0	0	0	0.1603	0.0178
RN	0.4459	0.2575	0.3265	0.5669	0.4118	0.1082	0.2475	0.1506	0.4964	0.1211	0	0	0	0	0
RAE	0.5556	0.225	0.3203	0.5436	0.4307	0.1176	0.3125	0.1709	0.5264	0.2451	0	0	0	0	0
Omni	1	0.0075	0.0149	0.4983	0.3508	0.1019	0.2625	0.1469	0.4918	0.0985	0.3429	0.6667	0.4528	0.7675	0.2194
BeatGAN	0.3182	0.0175	0.0332	0.447	0.307	0	0	0	0.4019	0.0837	0.1765	0.1667	0.1714	0.4789	0.0505
LSTM-NDT	0.6667	0.01	0.0197	0.4741	0.3425	0.1084	0.28	0.1563	0.4715	0.0908	0	0	0	0	0
NAB-rogue-stationary					NAB-speed-stationary					NAB-TravelTime-stationary					
	Pre	Rec	F1	ROC	PR	Pre	Rec	F1	ROC	PR	Pre	Rec	F1	ROC	PR
CNN-AE	0.1732	0.1686	0.1708	0.5242	0.1281	0.6654	0.3266	0.4381	0.6305	0.5292	0.1989	0.3745	0.2598	0.6162	0.2217
2DCNN-AE	0.0377	0.0038	0.0069	0.5228	0.0728	0.8193	0.3764	0.5158	0.7601	0.6455	0.2193	0.3203	0.2603	0.6663	0.2294
LSTM-AE	0.1345	0.2973	0.1853	0.53	0.1159	0.4688	0.1107	0.1791	0.6096	0.399	0.0921	0.0152	0.026	0.393	0.0846
HIFI	0.2024	0.0322	0.0556	0.5772	0.1249	0.7867	0.4151	0.5435	0.6802	0.556	0.3391	0.342	0.3405	0.7097	0.2639
RN	0	0	0	0.4773	0.0659	0.5207	0.1624	0.2475	0.51	0.3937	0	0	0	0.3701	0.1038
RAE	0	0	0	0.5117	0.4363	0.5231	0.0627	0.112	0.5076	0.3147	0.2046	0.2684	0.2322	0.6049	0.1457
Omni	0.0854	0.0133	0.023	0.5344	0.1073	0.5311	0.1734	0.2615	0.6115	0.486	0.1657	0.0628	0.0911	0.45	0.0992
BeatGAN	0	0	0	0.4314	0.0672	0.6639	0.1458	0.239	0.5516	0.4435	0.2381	0.303	0.2667	0.5686	0.1799
LSTM-NDT	0.1151	0.3485	0.1731	0.5193	0.1069	0.5936	0.2048	0.3045	0.5965	0.5038	0.2039	0.2511	0.225	0.566	0.1517
NAB-Twitter-stationary															
	Pre	Rec	F1	ROC	PR										
CNN-AE	0.1938	0.1626	0.1768	0.5287	0.1624										
2DCNN-AE	0.2636	0.1908	0.2214	0.5748	0.2098										
LSTM-AE	0.1711	0.1214	0.142	0.5156	0.1568										
HIFI	0.2291	0.1809	0.2022	0.5911	0.2036										
RN	0.1503	0.0104	0.0194	0.4415	0.1144										
RAE	0.2283	0.2068	0.217	0.5472	0.176										
Omni	0.1631	0.0663	0.0943	0.4814	0.1218										
BeatGAN	0.1672	0.101	0.126	0.4627	0.1405										
LSTM-NDT	0.1794	0.2213	0.1982	0.5727	0.1818										

Table 50: Results of DL Methods (Stationary vs. Non-stationary; Sliding window size=32, Hidden size=64)

NAB-ambient-Nonstationary					NAB-art-stationary					NAB-cpu-stationary					
	Pre	Rec	F1	ROC	PR	Pre	Rec	F1	ROC	PR	Pre	Rec	F1	ROC	PR
CNN-AE	0.2087	0.0663	0.1006	0.4962	0.1704	0.1048	0.1321	0.1169	0.2919	0.1774	0.1103	0.01	0.0184	0.2864	0.1917
2DCNN-AE	0.2248	0.1354	0.169	0.5583	0.1929	0.0549	0.2345	0.089	0.2347	0.1333	0.4996	0.3798	0.4316	0.6214	0.369
LSTM-AE	0.2381	0.0829	0.123	0.5763	0.2009	0.0419	0.1427	0.0648	0.2332	0.1297	0.0625	0.004	0.0075	0.3312	0.2016
HIFI	0.2217	0.1354	0.1681	0.5726	0.1985	0.1238	0.1456	0.1338	0.2726	0.1799	0.4831	0.1429	0.2205	0.506	0.3359
RN	0.2391	0.2127	0.2251	0.5525	0.1943	0.0347	0.1334	0.0551	0.1877	0.1281	0.3132	0.3605	0.3352	0.4935	0.2688
RAE	0.1928	0.0884	0.1212	0.557	0.1929	0.0635	0.2539	0.1016	0.2854	0.1647	0.896	0.1495	0.2563	0.393	0.3763
Omni	0.5625	0.0994	0.169	0.6411	0.2835	0.1284	0.1552	0.1405	0.2819	0.1787	0.5795	0.4186	0.486	0.6559	0.4185
BeatGAN	0.5682	0.0691	0.1232	0.636	0.2759	0.4045	0.1547	0.2238	0.3245	0.212	0.5724	0.1716	0.264	0.3815	0.365
LSTM-NDT	0.2179	0.2348	0.2261	0.5363	0.1881	0.0867	0.1558	0.1114	0.248	0.1421	0.8742	0.5334	0.6625	0.7333	0.6921
NAB-ec2-Nonstationary					NAB-ec2-stationary					NAB-elb-stationary					
	Pre	Rec	F1	ROC	PR	Pre	Rec	F1	ROC	PR	Pre	Rec	F1	ROC	PR
CNN-AE	0.3553	0.0897	0.1432	0.3449	0.2282	0.1648	0.1456	0.1546	0.4238	0.1433	0.3465	0.57	0.431	0.7794	0.5371
2DCNN-AE	0.505	0.5864	0.5427	0.7404	0.615	0.2071	0.1777	0.1913	0.5646	0.2089	0.6267	0.235	0.3418	0.7984	0.4734
LSTM-AE	0.4514	0.3472	0.3925	0.4569	0.3342	0.1271	0.1365	0.1316	0.4792	0.1182	0.3333	0.02	0.0377	0.4195	0.1577
HIFI	0.7632	0.0963	0.1711	0.569	0.4065	0.1995	0.1686	0.1827	0.5097	0.194	0.6406	0.205	0.3106	0.7926	0.4793
RN	0.8214	0.1586	0.2659	0.5568	0.4747	0.1499	0.1344	0.1417	0.4481	0.146	0.6081	0.225	0.3285	0.7448	0.4317
RAE	0.4198	0.1172	0.1833	0.2886	0.2498	0.1269	0.1925	0.153	0.4043	0.1282	0.4493	0.31	0.3669	0.7165	0.4336
Omni	0.47	0.5332	0.4996	0.7015	0.5048	0.1979	0.1333	0.1593	0.4335	0.1399	0.253	0.425	0.3172	0.6213	0.2534
BeatGAN	0	0	0	0.2604	0.207	0.1034	0.1211	0.1115	0.5111	0.2321	0.6396	0.355	0.4566	0.7489	0.555
LSTM-NDT	0.4801	0.2707	0.3462	0.6119	0.521	0.1375	0.2027	0.1639	0.4234	0.138	0.3509	0.3	0.3235	0.6652	0.3552
NAB-exchange-Nonstationary					NAB-exchange-stationary					NAB-grok-Nonstationary					
	Pre	Rec	F1	ROC	PR	Pre	Rec	F1	ROC	PR	Pre	Rec	F1	ROC	PR
CNN-AE	0.1546	0.0528	0.0787	0.5619	0.2785	0.1691	0.2365	0.1972	0.576	0.1631	0.1821	0.3961	0.2495	0.6299	0.2759
2DCNN-AE	0.0864	0.1092	0.0964	0.402	0.1576	0.1359	0.1509	0.143	0.5363	0.1405	0.3359	0.2857	0.3088	0.6374	0.3501
LSTM-AE	0.097	0.0458	0.0622	0.6008	0.3601	0.1056	0.0856	0.0945	0.5079	0.12	0	0	0	0.4667	0.1861
HIFI	0.0763	0.0634	0.0692	0.5697	0.2365	0.2483	0.2455	0.2469	0.6523	0.2092	0.4639	0.2922	0.3586	0.7211	0.3775
RN	0.101	0.1542	0.1221	0.5051	0.1628	0.1352	0.1306	0.1329	0.3586	0.1195	0	0	0	0.2456	0.0703
RAE	0.1353	0.1621	0.1475	0.6662	0.328	0.1504	0.1982	0.171	0.4584	0.1413	0.3529	0.3117	0.331	0.6929	0.3727
Omni	0.3333	0.007	0.0138	0.5278	0.1976	0.0894	0.0833	0.0862	0.4949	0.1272	0	0	0	0.4121	0.0921
BeatGAN	0.0435	0.0035	0.0065	0.611	0.2618	0.2677	0.1959	0.2263	0.5764	0.2977	0.2791	0.0779	0.1218	0.4391	0.1152
LSTM-NDT	0.0888	0.1186	0.1015	0.449	0.1496	0.1886	0.2095	0.1985	0.588	0.2478	0.1801	0.5649	0.2732	0.6843	0.2271
NAB-lio-Nonstationary					NAB-nyc-stationary					NAB-occupancy-stationary					
	Pre	Rec	F1	ROC	PR	Pre	Rec	F1	ROC	PR	Pre	Rec	F1	ROC	PR
CNN-AE	0.2193	0.3306	0.2637	0.6615	0.191	0.1239	0.1188	0.1213	0.4942	0.2004	0.3559	0.0901	0.1438	0.5764	0.439
2DCNN-AE	0.2941	0.3226	0.3077	0.6691	0.1981	0.1511	0.1686	0.1594	0.4915	0.1992	0.4348	0.0644	0.1121	0.5892	0.4414
LSTM-AE	0.2013	0.25	0.223	0.6399	0.1569	0.2485	0.3035	0.2733	0.5225	0.217	0.3874	0.1588	0.2253	0.5295	0.3717
HIFI	0.0385	0.0081	0.0133	0.5836	0.1244	0.1604	0.1877	0.173	0.4843	0.1972	0.3226	0.0429	0.0758	0.4614	0.2943
RN	0.2613	0.2339	0.2468	0.6348	0.1959	0.0865	0.0415	0.0561	0.4638	0.1839	0.3953	0.2345	0.2944	0.5211	0.3816
RAE	0.2913	0.2984	0.2948	0.7048	0.2501	0.1179	0.0445	0.0647	0.4439	0.18	0.4953	0.2414	0.3246	0.556	0.4259
Omni	0.25	0.2097	0.2281	0.5631	0.1284	0.1478	0.1613	0.1543	0.4932	0.1996	0.4725	0.0923	0.1544	0.4841	0.3349
BeatGAN	0	0	0	0.1868	0.0578	0.2598	0.2141	0.2347	0.6175	0.2675	0.3537	0.1116	0.1697	0.5093	0.3428
LSTM-NDT	0.2941	0.3226	0.3077	0.7097	0.2482	0.0947	0.0691	0.0799	0.3831	0.1665	0.4398	0.2437	0.3136	0.5373	0.4007
NAB-rds-stationary					NAB-rds-Nonstationary					NAB-rogue-Nonstationary					
	Pre	Rec	F1	ROC	PR	Pre	Rec	F1	ROC	PR	Pre	Rec	F1	ROC	PR
CNN-AE	0.3745	0.235	0.2888	0.5289	0.341	0.1099	0.285	0.1587	0.4733	0.0922	0	0	0	0.2225	0.0191
2DCNN-AE	0.5	0.01	0.0196	0.4515	0.3148	0.114	0.2975	0.1648	0.5355	0.1038	0.2	0.5	0.2857	0.668	0.1503
LSTM-AE	0.6667	0.01	0.0197	0.4902	0.3505	0	0	0	0.5185	0.1057	0.053	0.4444	0.0947	0.578	0.0536
HIFI	0.96	0.06	0.1129	0.5857	0.4756	0.1091	0.265	0.1545	0.5467	0.1159	0	0	0	0.1031	0.0168
RN	0.4435	0.255	0.3238	0.5613	0.4122	0.1083	0.2475	0.1507	0.479	0.1124	0	0	0	0	0
RAE	0.4557	0.27	0.3391	0.6029	0.4114	0	0	0	0.5401	0.1172	0	0	0	0	0
Omni	0.5714	0.01	0.0197	0.5051	0.3597	0.0989	0.26	0.1433	0.4919	0.0983	0.3226	0.5556	0.4082	0.8586	0.1933
BeatGAN	0.4167	0.025	0.0472	0.4606	0.3187	0	0	0	0.4759	0.0977	0.1264	0.6111	0.2095	0.6533	0.1112
LSTM-NDT	0.625	0.0125	0.0245	0.4844	0.3521	0.1148	0.315	0.1682	0.485	0.0933	0	0	0	0	0
NAB-rogue-stationary					NAB-speed-stationary					NAB-TravelTime-stationary					
	Pre	Rec	F1	ROC	PR	Pre	Rec	F1	ROC	PR	Pre	Rec	F1	ROC	PR
CNN-AE	0.1449	0.1913	0.1649	0.5124	0.1175	0.6719	0.3137	0.4277	0.6612	0.5288	0.225	0.2922	0.2542	0.6193	0.2227
2DCNN-AE	0.0577	0.0057	0.0103	0.4731	0.0848	0.7804	0.4262	0.5513	0.7702	0.6041	0.329	0.3853	0.3549	0.7014	0.2653
LSTM-AE	0.1396	0.3239	0.1951	0.5443	0.1182	0.56	0.1292	0.2099	0.5554	0.4312	0.1376	0.1537	0.1452	0.4566	0.1052
HIFI	0.0323	0.0057	0.0097	0.3484	0.0722	0.6503	0.2196	0.3283	0.7296	0.5403	0.3712	0.3182	0.3427	0.7064	0.2682
RN	0.1296	0.0663	0.0877	0.4831	0.1153	0.541	0.0609	0.1095	0.3877	0.2886	0.1318	0.1364	0.134	0.401	0.0902
RAE	0.0882	0.0114	0.0201	0.5176	0.0973	0.5149	0.0959	0.1617	0.5296	0.3906	0.2204	0.29	0.2505	0.6355	0.1713
Omni	0.0545	0.0057	0.0103	0.529	0.1032	0.532	0.1993	0.2899	0.6303	0.4961	0.1788	0.2013	0.1894	0.507	0.1225
BeatGAN	0.3973	0.1098	0.1721	0.5317	0.2173	0.413	0.0701	0.1199	0.4487	0.2897	0.2408	0.2684	0.2538	0.6075	0.2118
LSTM-NDT	0	0	0	0.4739	0.3804	0.5738	0.1937	0.2897	0.5937	0.4938	0.172	0.3247	0.2249	0.5756	0.1498
NAB-Twitter-stationary															
	Pre	Rec	F1	ROC	PR										
CNN-AE	0.153	0.1814	0.166	0.5533	0.174										
2DCNN-AE	0.2837	0.2922	0.2879	0.6226	0.2667										
LSTM-AE	0.17	0.1474	0.1579	0.5301	0.1645										
HIFI	0.226	0.1315	0.1663	0.5672	0.1782										
RN	0.219	0.0201	0.0368	0.4552	0.1233										
RAE	0.176	0.1135	0.138	0.4678	0.1448										
Omni	0.2497	0.0368	0.0641	0.4697	0.1223										
BeatGAN	0.2793	0.1438	0.1899	0.4778	0.1798										
LSTM-NDT	0.1702	0.2297	0.1955	0.5604	0.1739										

Table 51: Results of DL Methods (Stationary vs. Non-stationary; Sliding window size=32, Hidden size=128)

NAB-ambient-Nonstationary					NAB-art-stationary					NAB-cpu-stationary					
	Pre	Rec	F1	ROC	PR	Pre	Rec	F1	ROC	PR	Pre	Rec	F1	ROC	PR
CNN-AE	0.1842	0.0387	0.0639	0.4671	0.1602	0.0714	0.2912	0.1147	0.2887	0.1743	0.3593	0.1048	0.1623	0.5187	0.2839
2DCNN-AE	0.2304	0.1381	0.1727	0.5488	0.1905	0.056	0.0634	0.0595	0.2368	0.1313	0.501	0.1656	0.2489	0.5897	0.3619
LSTM-AE	0.237	0.1133	0.1533	0.5753	0.2045	0.0584	0.2388	0.0938	0.2508	0.1381	0.65	0.0174	0.0338	0.3149	0.2199
HIFI	0.1808	0.0884	0.1187	0.4836	0.1576	0.121	0.1538	0.1354	0.2741	0.1806	0.4831	0.1429	0.2205	0.5135	0.3509
RN	0.2544	0.3204	0.2836	0.6271	0.2342	0.0507	0.2316	0.0832	0.2137	0.1137	0.2413	0.2323	0.2367	0.514	0.2647
RAE	0.2026	0.1271	0.1562	0.605	0.2107	0.0813	0.2908	0.1271	0.2772	0.1659	0.4135	0.225	0.2914	0.6309	0.3905
Omni	0.6136	0.0746	0.133	0.6414	0.2838	0.1085	0.1379	0.1215	0.279	0.1683	0.5222	0.6989	0.5978	0.7243	0.431
BeatGAN	0.3184	0.1768	0.2274	0.5999	0.2895	0.0085	0.0029	0.0043	0.209	0.1101	1	0.1656	0.2841	0.4053	0.3835
LSTM-NDT	0.2219	0.2127	0.2172	0.5437	0.1908	0.0863	0.1506	0.1097	0.2646	0.1467	0.6735	0.5234	0.589	0.6652	0.6122
NAB-ec2-Nonstationary					NAB-ec2-stationary					NAB-elb-stationary					
	Pre	Rec	F1	ROC	PR	Pre	Rec	F1	ROC	PR	Pre	Rec	F1	ROC	PR
CNN-AE	0.5538	0.0598	0.1079	0.4288	0.3144	0.1953	0.1981	0.1967	0.4268	0.1641	0.3625	0.435	0.3955	0.8059	0.5163
2DCNN-AE	0.4767	0.5781	0.5225	0.7308	0.5833	0.1654	0.2038	0.1826	0.4945	0.1626	0.5321	0.29	0.3754	0.7965	0.4722
LSTM-AE	0.4123	0.211	0.2791	0.6005	0.4436	0.1327	0.1975	0.1587	0.4645	0.1445	1	0.005	0.01	0.4223	0.1531
HIFI	0.5533	0.3621	0.4378	0.6256	0.4423	0.1787	0.1758	0.1772	0.4623	0.1807	0.5769	0.225	0.3237	0.7793	0.4593
RN	0.8368	0.2741	0.413	0.737	0.6749	0.1347	0.276	0.1811	0.4317	0.1479	0.5299	0.355	0.4251	0.72	0.4866
RAE	1	0.0034	0.0069	0.3282	0.2457	0.1339	0.2283	0.1688	0.4375	0.138	0.473	0.175	0.2555	0.6544	0.3308
Omni	0.4945	0.5199	0.5069	0.6712	0.4946	0.1738	0.1931	0.183	0.4477	0.1433	0.3043	0.105	0.1561	0.4838	0.1834
BeatGAN	0.3636	0.0066	0.0131	0.231	0.1774	0.1316	0.2645	0.1757	0.4797	0.1578	0	0	0	0.1459	0.094
LSTM-NDT	0.6327	0.2138	0.3196	0.607	0.5071	0.128	0.2219	0.1623	0.4452	0.1421	0.2971	0.26	0.2773	0.6031	0.2768
NAB-exchange-Nonstationary					NAB-exchange-stationary					NAB-grok-Nonstationary					
	Pre	Rec	F1	ROC	PR	Pre	Rec	F1	ROC	PR	Pre	Rec	F1	ROC	PR
CNN-AE	0.0538	0.0176	0.0265	0.2936	0.1245	0.1563	0.2613	0.1956	0.6066	0.189	0.1593	0.5584	0.2478	0.6918	0.2666
2DCNN-AE	0.0749	0.0986	0.0851	0.4025	0.1543	0.1269	0.1532	0.1388	0.5276	0.1349	0.2769	0.4351	0.3384	0.6513	0.3743
LSTM-AE	0.0495	0.0176	0.026	0.5425	0.2446	0.1064	0.1081	0.1073	0.4948	0.1231	0	0	0	0.4588	0.1487
HIFI	0.0764	0.0739	0.0751	0.4199	0.1484	0.2531	0.3221	0.2834	0.5158	0.1656	0.0667	0.0195	0.0302	0.4628	0.0958
RN	0.2034	0.1897	0.1963	0.6131	0.2565	0.229	0.2027	0.2151	0.4277	0.1686	0	0	0	0.2917	0.1403
RAE	0.1066	0.1028	0.1046	0.6178	0.2466	0.1637	0.1869	0.1746	0.4923	0.1568	0.2917	0.0909	0.1386	0.426	0.1318
Omni	0.0595	0.0387	0.0469	0.4779	0.177	0.1222	0.1104	0.116	0.523	0.1341	0	0	0	0.3894	0.0832
BeatGAN	0	0	0	0.1743	0.1068	0.2	0.0023	0.0045	0.4191	0.1016	0	0	0	0.3902	0.0856
LSTM-NDT	0.0648	0.0909	0.0757	0.4018	0.1393	0.2229	0.2365	0.2295	0.5893	0.2645	0.184	0.5974	0.2813	0.6657	0.2084
NAB-iao-Nonstationary					NAB-nyc-stationary					NAB-occupancy-stationary					
	Pre	Rec	F1	ROC	PR	Pre	Rec	F1	ROC	PR	Pre	Rec	F1	ROC	PR
CNN-AE	0.2256	0.3548	0.2759	0.6637	0.1785	0.1313	0.1217	0.1263	0.5222	0.2099	0.5603	0.1695	0.2603	0.5945	0.4792
2DCNN-AE	0.1991	0.3387	0.2507	0.5298	0.1415	0.1481	0.1657	0.1564	0.4897	0.1986	0.3423	0.0815	0.1317	0.5765	0.4048
LSTM-AE	0.2349	0.2823	0.2564	0.5269	0.129	0.1765	0.2023	0.1885	0.4999	0.2027	0.5614	0.0687	0.1224	0.5471	0.3988
HIFI	0.25	0.0081	0.0156	0.2824	0.098	0.1595	0.1848	0.1712	0.4888	0.1986	0.4719	0.0901	0.1514	0.6054	0.4666
RN	0	0	0	0.4009	0.0865	0.095	0.0492	0.0648	0.4718	0.1866	0.4554	0.3172	0.374	0.5495	0.4272
RAE	0.2742	0.2742	0.2742	0.7053	0.2679	0.2078	0.1475	0.1725	0.5734	0.2387	0.3922	0.1379	0.2041	0.5782	0.4112
Omni	0	0	0	0.4106	0.0794	0.148	0.1628	0.155	0.4916	0.1992	0.3857	0.1845	0.2496	0.5327	0.3681
BeatGAN	0.0204	0.0161	0.018	0.3533	0.0716	0.2289	0.2742	0.2495	0.4961	0.2101	0	0	0	0.52	0.3369
LSTM-NDT	0.3022	0.3387	0.3194	0.7095	0.2464	0.1156	0.0353	0.0541	0.346	0.1587	0.4077	0.2184	0.2844	0.5254	0.3828
NAB-rds-stationary					NAB-rds-Nonstationary					NAB-rogue-Nonstationary					
	Pre	Rec	F1	ROC	PR	Pre	Rec	F1	ROC	PR	Pre	Rec	F1	ROC	PR
CNN-AE	0.3855	0.265	0.3141	0.5158	0.3439	0.1405	0.38	0.2051	0.5218	0.1009	0.5	0.0556	0.1	0.3702	0.1905
2DCNN-AE	0.5714	0.01	0.0197	0.4875	0.3427	0.1156	0.3075	0.168	0.5518	0.1064	0.3333	0.5556	0.4167	0.5882	0.1879
LSTM-AE	0.5714	0.01	0.0197	0.4929	0.3471	0	0	0	0.5189	0.1046	0.3415	0.7778	0.4746	0.7566	0.2312
HIFI	0.6364	0.0175	0.0341	0.591	0.4051	0.24	0.075	0.1143	0.575	0.1525	1	0.1667	0.2857	0.4736	0.1967
RN	0.8462	0.055	0.1033	0.4721	0.3757	0	0	0	0.5	0.55	0	0	0	0	0
RAE	0.4901	0.31	0.3798	0.6221	0.4717	0.2651	0.1975	0.2264	0.5123	0.213	0	0	0	0	0
Omni	0.5455	0.015	0.0292	0.57	0.3915	0.1018	0.2625	0.1468	0.4948	0.0991	0.2857	0.7778	0.4179	0.7588	0.2341
BeatGAN	0.6667	0.075	0.1348	0.5579	0.4367	0.0848	0.1475	0.1077	0.5978	0.1204	0	0	0	0.0289	0.0163
LSTM-NDT	1	0.01	0.0198	0.4757	0.3468	0.1031	0.2625	0.1481	0.4868	0.1115	0	0	0	0	0
NAB-rogue-stationary					NAB-speed-stationary					NAB-TravelTime-stationary					
	Pre	Rec	F1	ROC	PR	Pre	Rec	F1	ROC	PR	Pre	Rec	F1	ROC	PR
CNN-AE	0.1402	0.3258	0.196	0.553	0.1272	0.7177	0.3893	0.5048	0.7129	0.5729	0.2272	0.3939	0.2882	0.6942	0.2526
2DCNN-AE	0.232	0.0795	0.1185	0.5197	0.1395	0.7554	0.4557	0.5685	0.7478	0.6515	0.1486	0.3853	0.2145	0.6062	0.1571
LSTM-AE	0.1359	0.303	0.1877	0.5398	0.1199	0.5714	0.0959	0.1643	0.5092	0.3985	0.1373	0.0909	0.1094	0.444	0.0983
HIFI	0.033	0.0057	0.0097	0.4863	0.0977	0.6829	0.1033	0.1795	0.6132	0.4112	0.3486	0.3139	0.3303	0.6993	0.2634
RN	0.0525	0.0549	0.0537	0.4731	0.0762	0.2	0.0018	0.0037	0.3448	0.2521	0.1664	0.4091	0.2365	0.5651	0.1492
RAE	0.2297	0.0966	0.136	0.5296	0.1569	0.6134	0.2196	0.3234	0.6536	0.4971	0.1773	0.2835	0.2182	0.5884	0.1451
Omni	0.0952	0.0152	0.0261	0.5335	0.1022	0.5101	0.1402	0.22	0.5043	0.3479	0.1808	0.0693	0.1002	0.4632	0.1037
BeatGAN	0.1201	0.517	0.1949	0.5378	0.124	0.469	0.1255	0.198	0.5238	0.3916	0.3288	0.1558	0.2115	0.6776	0.2261
LSTM-NDT	0.1024	0.267	0.148	0.4894	0.1006	0.5668	0.1956	0.2908	0.5834	0.4798	0.2011	0.3052	0.2425	0.6075	0.1658
NAB-Twitter-stationary															
	Pre	Rec	F1	ROC	PR										
CNN-AE	0.1696	0.2167	0.1903	0.5507	0.1886										
2DCNN-AE	0.2721	0.1005	0.1468	0.5322	0.1648										
LSTM-AE	0.1817	0.0958	0.1255	0.528	0.1491										
HIFI	0.2178	0.1343	0.1661	0.5599	0.1652										
RN	0.1702	0.1194	0.1403	0.5163	0.2852										
RAE	0.1759	0.0909	0.1199	0.5062	0.1422										
Omni	0.1824	0.0502	0.0787	0.4848	0.1257										
BeatGAN	0.1687	0.3999	0.2373	0.5935	0.1683										
LSTM-NDT	0.1565	0.1762	0.1658	0.5358	0.1575										

Table 52: Results of DL Methods (Stationary vs. Non-stationary; Sliding window size=32, Hidden size=256)

NAB-ambient-Nonstationary					NAB-art-stationary					NAB-cpu-stationary					
	Pre	Rec	F1	ROC	PR	Pre	Rec	F1	ROC	PR	Pre	Rec	F1	ROC	PR
CNN-AE	0.2414	0.1354	0.1735	0.5617	0.1953	0.073	0.3027	0.1176	0.292	0.1789	0.2706	0.0394	0.0688	0.3877	0.2334
2DCNN-AE	0.2243	0.1326	0.1667	0.559	0.1929	0.0373	0.1355	0.0585	0.2227	0.1237	0.5193	0.3505	0.4185	0.6308	0.3744
LSTM-AE	0.2458	0.0801	0.1208	0.5865	0.2064	0.0633	0.2451	0.1006	0.2498	0.139	0.0944	0.0247	0.0392	0.2952	0.1943
HIFI	0.1859	0.1022	0.1319	0.5346	0.1779	0.1216	0.1528	0.1354	0.2768	0.1815	0.5	0.1569	0.2388	0.5221	0.3497
RN	0	0	0	0.4151	0.1334	0.3153	0.1121	0.1655	0.2592	0.1519	0.4675	0.5521	0.5063	0.606	0.3901
RAE	0.231	0.2182	0.2244	0.5686	0.199	0.079	0.1869	0.1111	0.2671	0.1532	0.311	0.239	0.2703	0.6164	0.3335
Omni	0.5818	0.0884	0.1535	0.6411	0.2825	0.0827	0.2701	0.1266	0.2633	0.144	0.5101	0.1689	0.2538	0.5633	0.3466
BeatGAN	0.625	0.0691	0.1244	0.6412	0.2844	0.4297	0.1571	0.2301	0.3156	0.1987	1	0.0007	0.0013	0.2627	0.1945
LSTM-NDT	0.2184	0.1906	0.2035	0.5442	0.1893	0.0849	0.1604	0.111	0.2497	0.1423	0.8376	0.4406	0.5774	0.6649	0.6216
NAB-ec2-Nonstationary					NAB-ec2-stationary					NAB-elb-stationary					
	Pre	Rec	F1	ROC	PR	Pre	Rec	F1	ROC	PR	Pre	Rec	F1	ROC	PR
CNN-AE	0.8667	0.0432	0.0823	0.356	0.2627	0.2003	0.1884	0.1942	0.4185	0.1603	0.6471	0.33	0.4371	0.8068	0.5404
2DCNN-AE	0.4898	0.5565	0.521	0.7297	0.5671	0.1581	0.1686	0.1631	0.5559	0.1765	0.2222	0.28	0.2478	0.6024	0.2146
LSTM-AE	0.4776	0.3887	0.4286	0.5671	0.4292	0.1295	0.1704	0.1472	0.4037	0.1151	0.5172	0.075	0.131	0.5958	0.273
HIFI	0.7037	0.3472	0.465	0.7714	0.6085	0.1679	0.1349	0.1496	0.4314	0.1607	0.5814	0.25	0.3497	0.7875	0.4555
RN	0.4815	0.4931	0.4872	0.6834	0.5749	0.1118	0.1505	0.1283	0.4167	0.1242	0.2675	0.305	0.285	0.6203	0.2595
RAE	0.9279	0.1776	0.2981	0.6903	0.5959	0.1144	0.2295	0.1527	0.4519	0.1418	0	0	0	0.2734	0.1097
Omni	0.449	0.5332	0.4875	0.7149	0.5429	0.1793	0.1862	0.1827	0.4518	0.1413	0.2973	0.165	0.2122	0.5114	0.2031
BeatGAN	0.9767	0.0698	0.1302	0.6762	0.5193	0.1525	0.1138	0.1304	0.4457	0.1493	0.1739	0.02	0.0359	0.7513	0.297
LSTM-NDT	0.3117	0.1241	0.1776	0.2834	0.2072	0.123	0.2219	0.1583	0.4336	0.1348	0.2487	0.245	0.2469	0.5811	0.2469
NAB-exchange-Nonstationary					NAB-exchange-stationary					NAB-grok-Nonstationary					
	Pre	Rec	F1	ROC	PR	Pre	Rec	F1	ROC	PR	Pre	Rec	F1	ROC	PR
CNN-AE	0.127	0.0845	0.1015	0.5647	0.2841	0.1802	0.2658	0.2147	0.5851	0.1651	0.167	0.6234	0.2634	0.6796	0.2408
2DCNN-AE	0.1111	0.1338	0.1214	0.42	0.1771	0.098	0.1532	0.1195	0.5059	0.121	0.365	0.3247	0.3436	0.7094	0.3737
LSTM-AE	0.1143	0.0423	0.0617	0.6009	0.3638	0.0732	0.0518	0.0607	0.4905	0.1098	0	0	0	0.4541	0.1443
HIFI	0.1364	0.0739	0.0959	0.6741	0.413	0.1101	0.0563	0.0745	0.4683	0.1079	0	0	0	0.5164	0.1383
RN	0.0584	0.0316	0.041	0.3632	0.1217	0.1097	0.0946	0.1016	0.5524	0.147	0.1997	0.7468	0.3151	0.6939	0.2028
RAE	0.1814	0.17	0.1755	0.4641	0.1838	0.2746	0.214	0.2405	0.5817	0.2065	0	0	0	0.2723	0.0745
Omni	0.1286	0.0317	0.0508	0.567	0.215	0.2381	0.0113	0.0215	0.5046	0.1202	0	0	0	0.4345	0.1024
BeatGAN	0	0	0	0.63	0.2478	0	0	0	0.4681	0.1179	0.0389	0.0714	0.0503	0.4798	0.0982
LSTM-NDT	0.0774	0.0949	0.0853	0.4045	0.1404	0.2009	0.205	0.2029	0.5791	0.2494	0.1795	0.6364	0.28	0.6523	0.1982
NAB-iao-Nonstationary					NAB-nyc-stationary					NAB-occupancy-stationary					
	Pre	Rec	F1	ROC	PR	Pre	Rec	F1	ROC	PR	Pre	Rec	F1	ROC	PR
CNN-AE	0.1948	0.121	0.1493	0.5758	0.1271	0.1538	0.1701	0.1616	0.4972	0.2009	0.5595	0.2017	0.2965	0.5896	0.4705
2DCNN-AE	0.132	0.2097	0.162	0.5183	0.1008	0.1532	0.173	0.1625	0.4897	0.1987	0.4328	0.0622	0.1088	0.5895	0.4375
LSTM-AE	0	0	0	0.4071	0.0788	0.172	0.1979	0.184	0.484	0.1979	0.2905	0.0923	0.1401	0.4702	0.3037
HIFI	0	0	0	0.3296	0.0683	0.1564	0.1833	0.1688	0.4876	0.198	0.3143	0.0472	0.0821	0.4649	0.2896
RN	0.3772	0.3468	0.3613	0.6747	0.2654	1	0.0031	0.0061	0.3632	0.1627	0.4014	0.1356	0.2027	0.443	0.3312
RAE	0	0	0	0.2543	0.0635	0.1155	0.0768	0.0923	0.4961	0.1948	0.4625	0.0851	0.1437	0.4961	0.3681
Omni	0	0	0	0.3969	0.0764	0.1551	0.173	0.1635	0.4919	0.1995	0.4532	0.1352	0.2083	0.5174	0.368
BeatGAN	0.0856	0.2581	0.1285	0.3962	0.0798	0.2615	0.1745	0.2093	0.6231	0.3045	0	0	0	0.4325	0.2894
LSTM-NDT	0.2889	0.3145	0.3012	0.7138	0.2576	0.1182	0.0369	0.0562	0.3559	0.1624	0.3856	0.2092	0.2712	0.5174	0.3758
NAB-rds-stationary					NAB-rds-Nonstationary					NAB-rogue-Nonstationary					
	Pre	Rec	F1	ROC	PR	Pre	Rec	F1	ROC	PR	Pre	Rec	F1	ROC	PR
CNN-AE	0.382	0.255	0.3058	0.5081	0.3421	0.1119	0.29	0.1614	0.5268	0.11	0	0	0	0.0555	0.0164
2DCNN-AE	0.25	0.005	0.0098	0.4491	0.3105	0.0999	0.345	0.155	0.477	0.0943	0.3409	0.8333	0.4839	0.9296	0.5102
LSTM-AE	0.6667	0.01	0.0197	0.4923	0.353	0	0	0	0.5188	0.1042	0.3243	0.6667	0.4364	0.7533	0.2086
HIFI	0.5113	0.17	0.2552	0.6452	0.431	0	0	0	0.569	0.1758	0.1905	0.2222	0.2051	0.8143	0.146
RN	0.6667	0.01	0.0197	0.4565	0.3491	0.0721	0.1825	0.1034	0.4276	0.0877	0	0	0	0	0
RAE	0.479	0.2	0.2822	0.5139	0.4212	0.0625	0.0025	0.0048	0.5454	0.1114	0	0	0	0	0
Omni	0.625	0.0125	0.0245	0.5016	0.3617	0	0	0	0.5185	0.1048	0.2642	0.7778	0.3944	0.7629	0.2579
BeatGAN	0.309	0.1375	0.1903	0.4784	0.3074	0.1634	0.455	0.2404	0.5823	0.1305	0	0	0	0.0372	0.0163
LSTM-NDT	0.3768	0.065	0.1109	0.473	0.3512	0.1071	0.275	0.1542	0.4765	0.1036	0	0	0	0	0
NAB-rogue-stationary					NAB-speed-stationary					NAB-TravelTime-stationary					
	Pre	Rec	F1	ROC	PR	Pre	Rec	F1	ROC	PR	Pre	Rec	F1	ROC	PR
CNN-AE	0.1641	0.1799	0.1716	0.5058	0.1145	0.6364	0.31	0.4169	0.6442	0.5278	0.2299	0.3658	0.2824	0.6751	0.2272
2DCNN-AE	0.08	0.0076	0.0138	0.5071	0.0939	0.7932	0.4317	0.5591	0.7588	0.6522	0.1596	0.3095	0.2106	0.585	0.148
LSTM-AE	0.1419	0.4299	0.2133	0.576	0.1249	0.6392	0.1144	0.1941	0.5616	0.4336	0.1729	0.0498	0.0773	0.4361	0.0968
HIFI	0	0	0	0.5068	0.0933	0.3413	0.131	0.1893	0.5444	0.3426	0.2966	0.21	0.2459	0.5154	0.1432
RN	0.0525	0.0549	0.0537	0.4731	0.0762	0.125	0.0018	0.0036	0.4377	0.2854	0.1378	0.2706	0.1826	0.5448	0.1236
RAE	0	0	0	0.5202	0.4484	0.7111	0.1771	0.2836	0.513	0.409	0	0	0	0.4404	0.1104
Omni	0.0566	0.0701	0.0626	0.4679	0.0889	0.5146	0.1956	0.2834	0.6235	0.4835	0.184	0.0498	0.0784	0.4426	0.0945
BeatGAN	0.1325	0.5208	0.2112	0.5537	0.1222	0.7279	0.3801	0.4994	0.7712	0.5711	0.5556	0.0541	0.0986	0.5676	0.21
LSTM-NDT	0.098	0.2462	0.1402	0.4777	0.0986	0.5514	0.1882	0.2806	0.5805	0.4705	0.1687	0.4134	0.2396	0.6061	0.1645
NAB-Twitter-stationary															
	Pre	Rec	F1	ROC	PR										
CNN-AE	0.2768	0.2359	0.2547	0.628	0.2343										
2DCNN-AE	0.1711	0.1839	0.1773	0.534	0.1531										
LSTM-AE	0.1786	0.0978	0.1264	0.5193	0.1528										
HIFI	0.2084	0.1185	0.1511	0.548	0.1585										
RN	0.1537	0.2692	0.1957	0.5509	0.163										
RAE	0.1925	0.1947	0.1936	0.5489	0.1791										
Omni	0.1999	0.1395	0.1644	0.5338	0.1452										
BeatGAN	0.1556	0.3723	0.2195	0.5887	0.2006										
LSTM-NDT	0.1556	0.1347	0.1444	0.5225	0.149										

Table 53: Results of DL Methods (Stationary vs. Non-stationary; Sliding window size=64, Hidden size=16)

NAB-ambient-Nonstationary					NAB-art-stationary					NAB-cpu-stationary					
	Pre	Rec	F1	ROC	PR	Pre	Rec	F1	ROC	PR	Pre	Rec	F1	ROC	PR
CNN-AE	0.2429	0.1657	0.197	0.5516	0.2005	0.1097	0.1365	0.1217	0.2396	0.1604	0.9933	0.0988	0.1797	0.4359	0.3934
2DCNN-AE	0.2	0.0166	0.0306	0.5213	0.19	0.189	0.16	0.1733	0.3023	0.2344	0.6366	0.1415	0.2316	0.5925	0.4669
LSTM-AE	0.5	0.0138	0.0269	0.6246	0.2685	0.1842	0.1826	0.1834	0.2863	0.2013	1	0.1248	0.222	0.3994	0.3809
HIFI	0.1443	0.0773	0.1007	0.5331	0.1711	0.1837	0.1783	0.1809	0.2713	0.1963	0.7172	0.1422	0.2373	0.5301	0.4314
RN	0.2125	0.1602	0.1827	0.5626	0.2059	0.0429	0.2191	0.0717	0.1989	0.116	0.2968	0.3865	0.3357	0.4868	0.2689
RAE	0.2278	0.0497	0.0816	0.5537	0.201	0.1141	0.1195	0.1167	0.2374	0.1491	0.2775	0.0421	0.073	0.4022	0.2864
Omni	0.617	0.0801	0.1418	0.6417	0.2842	0.1265	0.062	0.0832	0.2586	0.171	0.9432	0.1442	0.2501	0.3866	0.3688
BeatGAN	0.6364	0.058	0.1063	0.6375	0.2824	0.2583	0.1451	0.1858	0.2927	0.1892	0.1561	0.0247	0.0427	0.3347	0.2042
LSTM-NDT	0.1895	0.1796	0.1844	0.5192	0.1819	0.0416	0.0747	0.0534	0.2308	0.1044	0.5257	0.3752	0.4379	0.7123	0.5326
NAB-ec2-Nonstationary					NAB-ec2-stationary					NAB-elb-stationary					
	Pre	Rec	F1	ROC	PR	Pre	Rec	F1	ROC	PR	Pre	Rec	F1	ROC	PR
CNN-AE	0.7324	0.2591	0.3828	0.684	0.4984	0.1545	0.1858	0.1687	0.402	0.1375	0.7037	0.38	0.4935	0.8497	0.6048
2DCNN-AE	0.496	0.515	0.5053	0.6955	0.5765	0.1333	0.2009	0.1603	0.4823	0.1569	0.4581	0.465	0.4615	0.7983	0.3888
LSTM-AE	0.4485	0.3472	0.3914	0.458	0.3204	0.1507	0.0972	0.1181	0.483	0.1678	0	0	0	0.3744	0.1256
HIFI	0.7353	0.2076	0.3238	0.5997	0.4618	0.2422	0.1629	0.1948	0.4707	0.186	0.4913	0.425	0.4558	0.8126	0.4177
RN	0.9333	0.0766	0.1417	0.4284	0.3493	0.1275	0.1499	0.1378	0.4414	0.2038	0.4722	0.425	0.4474	0.7575	0.5445
RAE	0.5828	0.1606	0.2518	0.3105	0.2927	0.1479	0.2137	0.1748	0.4765	0.1737	0.3448	0.05	0.0873	0.5819	0.237
Omni	0.4833	0.4336	0.4571	0.6738	0.4296	0.1339	0.1708	0.1501	0.4524	0.1404	0.2705	0.165	0.205	0.498	0.1833
BeatGAN	0	0	0	0.2541	0.1951	0.1439	0.1299	0.1365	0.4905	0.1848	0.9216	0.235	0.3745	0.8112	0.67
LSTM-NDT	0.4359	0.1241	0.1932	0.2984	0.2239	0.1177	0.2978	0.1687	0.4118	0.1444	0.3543	0.31	0.3307	0.6551	0.3512
NAB-exchange-Nonstationary					NAB-exchange-stationary					NAB-grok-Nonstationary					
	Pre	Rec	F1	ROC	PR	Pre	Rec	F1	ROC	PR	Pre	Rec	F1	ROC	PR
CNN-AE	0.0426	0.0352	0.0385	0.3837	0.1403	0.081	0.0518	0.0632	0.493	0.1093	0.1983	0.7662	0.3151	0.713	0.3107
2DCNN-AE	0.0702	0.0739	0.072	0.3485	0.1482	0.0568	0.0405	0.0473	0.4602	0.1081	1	0.1623	0.2793	0.5102	0.4039
LSTM-AE	0	0	0	0.6641	0.3256	0.0484	0.0135	0.0211	0.4708	0.1094	0	0	0	0.4813	0.1974
HIFI	0.0099	0.007	0.0082	0.4257	0.1711	0.0772	0.0473	0.0587	0.4249	0.107	0.6104	0.6104	0.6104	0.7839	0.6287
RN	0.3333	0.0588	0.1	0.6283	0.1913	0.1746	0.1239	0.1449	0.4324	0.1272	0	0	0	0.1791	0.0679
RAE	0.0714	0.0271	0.0393	0.4425	0.1076	0.1987	0.1396	0.164	0.4858	0.1897	0	0	0	0.1587	0.0722
Omni	0.1176	0.1056	0.1113	0.4726	0.1699	0.0691	0.0631	0.066	0.4514	0.1136	0	0	0	0.4522	0.0956
BeatGAN	0	0	0	0.57	0.2143	0.0755	0.009	0.0161	0.517	0.122	0	0	0	0.1624	0.0625
LSTM-NDT	0.1179	0.1403	0.1281	0.4417	0.122	0.1757	0.0946	0.123	0.4545	0.1556	0.1867	0.5844	0.283	0.7	0.2447
NAB-iao-Nonstationary					NAB-nyc-stationary					NAB-occupancy-stationary					
	Pre	Rec	F1	ROC	PR	Pre	Rec	F1	ROC	PR	Pre	Rec	F1	ROC	PR
CNN-AE	0	0	0	0.3778	0.0745	0.2381	0.088	0.1285	0.504	0.2255	0.3579	0.073	0.1212	0.5206	0.3432
2DCNN-AE	0.2154	0.3387	0.2633	0.5795	0.1535	0.1699	0.1041	0.1291	0.5061	0.2137	0.5087	0.1888	0.2754	0.6024	0.4079
LSTM-AE	0	0	0	0.4058	0.0784	0.1157	0.0367	0.0557	0.3847	0.1777	0.4215	0.1094	0.1738	0.5489	0.4474
HIFI	0.3151	0.371	0.3407	0.7543	0.3201	0.2308	0.0528	0.0859	0.4865	0.2255	0.73	0.1567	0.258	0.6578	0.486
RN	0	0	0	0.1773	0.0607	0.2222	0.0162	0.0301	0.4447	0.1739	0.4866	0.3151	0.3825	0.5786	0.4278
RAE	0.8056	0.2339	0.3625	0.4665	0.2705	0.1793	0.1066	0.1337	0.5211	0.2181	0.4783	0.0273	0.0516	0.5534	0.3957
Omni	0	0	0	0.3528	0.0716	0.6545	0.0528	0.0977	0.4623	0.2551	0.3135	0.1245	0.1782	0.461	0.3123
BeatGAN	0	0	0	0.3539	0.0722	0.1461	0.1437	0.1449	0.4346	0.1835	0	0	0	0.4843	0.3563
LSTM-NDT	1	0.0081	0.016	0.3123	0.0831	0.103	0.0711	0.0841	0.4213	0.1696	0.5652	0.3871	0.4595	0.6534	0.5018
NAB-rds-stationary					NAB-rds-Nonstationary					NAB-rogue-Nonstationary					
	Pre	Rec	F1	ROC	PR	Pre	Rec	F1	ROC	PR	Pre	Rec	F1	ROC	PR
CNN-AE	0.4091	0.2475	0.3084	0.5105	0.3499	0.1129	0.2925	0.163	0.5303	0.0984	0	0	0	0.0274	0.0164
2DCNN-AE	0.5714	0.01	0.0197	0.4919	0.3469	0.1342	0.3725	0.1974	0.5277	0.1064	0.3182	0.3889	0.35	0.8201	0.1792
LSTM-AE	0.6667	0.01	0.0197	0.4995	0.3544	0	0	0	0.5238	0.1027	0.3636	0.6667	0.4706	0.7674	0.2224
HIFI	0.4286	0.015	0.029	0.4779	0.3318	0.1538	0.005	0.0097	0.6362	0.1603	0	0	0	0.1022	0.0167
RN	0.5176	0.2575	0.3439	0.5328	0.4087	0.124	0.2775	0.1714	0.4547	0.108	0	0	0	0	0
RAE	1	0.1275	0.2262	0.6677	0.5649	0.1119	0.3275	0.1668	0.4989	0.1228	0	0	0	0	0
Omni	0.5714	0.01	0.0197	0.5251	0.3671	0.1025	0.2625	0.1475	0.4947	0.1009	0.0075	0.0556	0.0132	0.319	0.0228
BeatGAN	0.6301	0.115	0.1945	0.4989	0.4179	0.0783	0.1725	0.1077	0.4235	0.0921	0	0	0	0.333	0.0269
LSTM-NDT	0.5333	0.02	0.0386	0.4632	0.3585	0.1121	0.295	0.1624	0.4753	0.0924	0	0	0	0	0
NAB-rogue-stationary					NAB-speed-stationary					NAB-TravelTime-stationary					
	Pre	Rec	F1	ROC	PR	Pre	Rec	F1	ROC	PR	Pre	Rec	F1	ROC	PR
CNN-AE	0.1439	0.3087	0.1963	0.5463	0.1158	0.8196	0.5867	0.6839	0.8076	0.6971	0.2348	0.3095	0.267	0.6412	0.2314
2DCNN-AE	0.0566	0.0114	0.0189	0.4646	0.0861	0.6457	0.1513	0.2451	0.5864	0.459	0.1563	0.4199	0.2278	0.5827	0.1533
LSTM-AE	0.1351	0.2538	0.1763	0.512	0.1102	0.6241	0.1624	0.2577	0.5801	0.465	0	0	0	0.3725	0.0787
HIFI	0	0	0	0.4809	0.0956	0.8353	0.262	0.3989	0.7287	0.5394	0.2762	0.2165	0.2427	0.6981	0.2057
RN	0	0	0	0.477	0.304	0.4878	0.0738	0.1282	0.3732	0.3234	0	0	0	0.3806	0.0917
RAE	0.1027	0.1496	0.1218	0.4963	0.0995	0.5463	0.1089	0.1815	0.5362	0.4156	0.196	0.1905	0.1932	0.5671	0.1384
Omni	0.069	0.0114	0.0195	0.5351	0.1058	0.6693	0.1568	0.2541	0.6336	0.5083	0.1768	0.2013	0.1883	0.5154	0.1331
BeatGAN	0.1231	0.3125	0.1767	0.6021	0.1335	0.5175	0.2731	0.3575	0.6408	0.4641	0.3284	0.0952	0.1477	0.5067	0.1412
LSTM-NDT	0.122	0.3617	0.1825	0.511	0.1074	0.5789	0.203	0.3005	0.5815	0.4923	0.2006	0.2965	0.2393	0.5869	0.1569
NAB-Twitter-stationary															
	Pre	Rec	F1	ROC	PR										
CNN-AE	0.1719	0.1939	0.1822	0.5443	0.1702										
2DCNN-AE	0.2037	0.2898	0.2393	0.599	0.2116										
LSTM-AE	0.1568	0.0249	0.043	0.4451	0.1067										
HIFI	0.2494	0.1977	0.2206	0.6005	0.2386										
RN	0.205	0.0167	0.0308	0.445	0.1204										
RAE	0.2073	0.206	0.2067	0.5533	0.1789										
Omni	0.1391	0.0991	0.1157	0.4969	0.1281										
BeatGAN	0.2768	0.2045	0.2352	0.5029	0.1914										
LSTM-NDT	0.1836	0.2267	0.2029	0.5664	0.1793										

Table 54: Results of DL Methods (Stationary vs. Non-stationary; Sliding window size=64, Hidden size=32)

NAB-ambient-Nonstationary						NAB-art-stationary					NAB-cpu-stationary				
	Pre	Rec	F1	ROC	PR	Pre	Rec	F1	ROC	PR	Pre	Rec	F1	ROC	PR
CNN-AE	0.247	0.1685	0.2003	0.5501	0.2006	0.1565	0.1254	0.1392	0.2317	0.141	0.4656	0.5601	0.5085	0.6052	0.3748
2DCNN-AE	0.0741	0.011	0.0192	0.4972	0.1685	0.1362	0.1254	0.1306	0.2621	0.17	0.6377	0.2984	0.4065	0.661	0.4372
LSTM-AE	0.5556	0.0276	0.0526	0.6262	0.2632	0.3271	0.1086	0.1631	0.2345	0.1594	1	0.1315	0.2324	0.3938	0.38
HIFI	0.185	0.1022	0.1317	0.5295	0.1738	0.1823	0.186	0.1841	0.2727	0.1956	0.7712	0.1215	0.2099	0.5035	0.4014
RN	0	0	0	0.4342	0.1404	0.0395	0.1937	0.0656	0.1922	0.1141	0.2987	0.3959	0.3405	0.4868	0.2743
RAE	0.1828	0.047	0.0747	0.5359	0.1914	0.0793	0.0634	0.0705	0.2287	0.1302	0.249	0.1262	0.1675	0.4469	0.2591
Omni	0.5833	0.0967	0.1659	0.6393	0.2821	0.1518	0.1355	0.1432	0.2673	0.1937	0.4613	0.5454	0.4998	0.5941	0.3722
BeatGAN	0.6562	0.058	0.1066	0.6416	0.284	0.4131	0.1874	0.2579	0.271	0.1842	0.0773	0.0374	0.0504	0.4298	0.2266
LSTM-NDT	0.1957	0.1768	0.1858	0.5304	0.1848	0.0871	0.1602	0.1129	0.2938	0.1484	0.7903	0.4806	0.5978	0.6377	0.6204
NAB-ec2-Nonstationary					NAB-ec2-stationary					NAB-elb-stationary					
	Pre	Rec	F1	ROC	PR	Pre	Rec	F1	ROC	PR	Pre	Rec	F1	ROC	PR
CNN-AE	0.4734	0.1329	0.2075	0.3984	0.28	0.1522	0.2022	0.1737	0.4277	0.1387	0	0	0	0.3635	0.1223
2DCNN-AE	0.5337	0.5266	0.5301	0.6759	0.5535	0.1466	0.2503	0.1849	0.4489	0.186	0.4897	0.355	0.4116	0.795	0.3996
LSTM-AE	0.8333	0.0083	0.0164	0.3622	0.2272	0.1054	0.0881	0.0959	0.3871	0.1061	0	0	0	0.3522	0.1191
HIFI	0.6979	0.2226	0.3375	0.5958	0.4786	0.1837	0.205	0.1938	0.4751	0.2004	0.5429	0.19	0.2815	0.8203	0.4303
RN	0.8987	0.2591	0.4023	0.688	0.6108	0.1644	0.1261	0.1428	0.4515	0.1637	0.1538	0.01	0.0188	0.3363	0.1282
RAE	0.6296	0.1551	0.2489	0.3239	0.2986	0.1375	0.2333	0.173	0.4154	0.1532	0	0	0	0.3183	0.1218
Omni	0.463	0.5299	0.4942	0.7133	0.5279	0.1623	0.1509	0.1564	0.413	0.1323	0.2574	0.13	0.1728	0.4937	0.1886
BeatGAN	0.4104	0.2741	0.3287	0.3337	0.2334	0.2399	0.1601	0.192	0.522	0.2312	0	0	0	0.4915	0.2406
LSTM-NDT	0.4309	0.2391	0.3075	0.604	0.4962	0.1336	0.2188	0.1659	0.4332	0.1481	0.341	0.295	0.3164	0.6818	0.37
NAB-exchange-Nonstationary					NAB-exchange-stationary					NAB-grok-Nonstationary					
	Pre	Rec	F1	ROC	PR	Pre	Rec	F1	ROC	PR	Pre	Rec	F1	ROC	PR
CNN-AE	0.0476	0.0141	0.0217	0.4634	0.1625	0.1081	0.009	0.0166	0.48	0.1077	0.1773	0.6299	0.2767	0.7043	0.32
2DCNN-AE	0.125	0.0775	0.0957	0.3783	0.154	0.0528	0.0721	0.061	0.4527	0.1101	1	0.2338	0.3789	0.5012	0.4279
LSTM-AE	0.0526	0.0141	0.0222	0.6195	0.3806	0.0446	0.0113	0.018	0.5145	0.117	0	0	0	0.4613	0.1431
HIFI	0.1214	0.0599	0.0802	0.4806	0.25	0.0726	0.0203	0.0317	0.5033	0.1285	1	0.3961	0.5674	0.7821	0.6851
RN	0.4	0.009	0.0177	0.4682	0.2025	0.2895	0.0248	0.0456	0.4145	0.1145	0	0	0	0.1576	0.0659
RAE	0.0636	0.0498	0.0558	0.3621	0.1103	0.2376	0.1081	0.1486	0.4725	0.1539	0	0	0	0.153	0.0655
Omni	0.1156	0.081	0.0952	0.3954	0.1444	0.0588	0.0541	0.0563	0.457	0.1107	0	0	0	0.3945	0.0844
BeatGAN	0.0714	0.0176	0.0282	0.5079	0.3107	0.2167	0.0586	0.0922	0.5639	0.159	0	0	0	0.4904	0.1967
LSTM-NDT	0.0438	0.0498	0.0466	0.3702	0.0921	0.2158	0.2027	0.2091	0.5344	0.2337	0.1875	0.6429	0.2903	0.678	0.2196
NAB-iao-Nonstationary					NAB-nyc-stationary					NAB-occupancy-stationary					
	Pre	Rec	F1	ROC	PR	Pre	Rec	F1	ROC	PR	Pre	Rec	F1	ROC	PR
CNN-AE	0.8718	0.2742	0.4172	0.7137	0.4019	0.3019	0.0235	0.0435	0.3951	0.1899	0.2949	0.0494	0.0846	0.5322	0.326
2DCNN-AE	0.2098	0.3468	0.2614	0.6457	0.1672	0.1626	0.0982	0.1225	0.51	0.2145	0.5949	0.1009	0.1725	0.5702	0.4023
LSTM-AE	0	0	0	0.3976	0.077	0.1228	0.0308	0.0492	0.3691	0.1744	0.3	0.103	0.1534	0.4748	0.3098
HIFI	0.4085	0.2339	0.2974	0.5893	0.2179	0.1673	0.0601	0.0885	0.4928	0.2219	0.8	0.1545	0.259	0.6601	0.4923
RN	0.4907	0.4274	0.4569	0.7583	0.5006	0.2041	0.0162	0.0299	0.4227	0.1685	0.4642	0.3052	0.3683	0.5772	0.4261
RAE	0	0	0	0.2172	0.0627	0.1814	0.0695	0.1005	0.4694	0.1985	0.32	0.0199	0.0374	0.5949	0.4144
Omni	0	0	0	0.3449	0.0706	0.3846	0.066	0.1126	0.496	0.2544	0.3177	0.1309	0.1854	0.4855	0.3251
BeatGAN	0	0	0	0.2829	0.0642	0.1602	0.151	0.1555	0.5184	0.2107	0.9474	0.0386	0.0742	0.6392	0.4901
LSTM-NDT	0.425	0.2742	0.3333	0.682	0.2642	0.1574	0.0549	0.0814	0.5714	0.2326	0.4646	0.2605	0.3339	0.5876	0.4168
NAB-rds-stationary					NAB-rds-Nonstationary					NAB-rogue-Nonstationary					
	Pre	Rec	F1	ROC	PR	Pre	Rec	F1	ROC	PR	Pre	Rec	F1	ROC	PR
CNN-AE	0.3826	0.2525	0.3042	0.5399	0.3542	0.1162	0.3025	0.1679	0.5531	0.1035	0	0	0	0.0501	0.0165
2DCNN-AE	0.4286	0.0075	0.0147	0.4649	0.3274	0.1374	0.39	0.2033	0.5819	0.1127	0.2963	0.4444	0.3556	0.7979	0.1731
LSTM-AE	0.3878	0.255	0.3077	0.5203	0.3574	1	0.0025	0.005	0.5192	0.1089	0.2642	0.7778	0.3944	0.7529	0.2047
HIFI	0.3333	0.005	0.0099	0.4954	0.355	0.1315	0.36	0.1926	0.6024	0.1195	0	0	0	0.0185	0.0162
RN	0.5152	0.255	0.3411	0.5279	0.4016	0.1151	0.255	0.1586	0.4539	0.1059	0	0	0	0	0
RAE	0.6087	0.245	0.3494	0.6403	0.4769	0.1919	0.3075	0.2363	0.5327	0.1249	0	0	0	0	0
Omni	0.5714	0.01	0.0197	0.5138	0.3637	0.1004	0.26	0.1448	0.5008	0.0997	0.0571	0.4444	0.1013	0.5432	0.0443
BeatGAN	0.7292	0.0875	0.1562	0.5095	0.4176	0	0	0	0.4975	0.0971	0.0333	0.2778	0.0595	0.4754	0.0314
LSTM-NDT	0.6667	0.01	0.0197	0.4631	0.3469	0.1146	0.3075	0.167	0.4885	0.0946	0	0	0	0	0
NAB-rogue-stationary					NAB-speed-stationary					NAB-TravelTime-stationary					
	Pre	Rec	F1	ROC	PR	Pre	Rec	F1	ROC	PR	Pre	Rec	F1	ROC	PR
CNN-AE	0.1573	0.2216	0.184	0.5332	0.1189	0.8421	0.5609	0.6733	0.8242	0.7158	0.2686	0.2814	0.2748	0.6339	0.2131
2DCNN-AE	0.1	0.1212	0.1096	0.5801	0.1114	0.6414	0.2343	0.3432	0.6296	0.4844	0.298	0.4199	0.3486	0.7317	0.2451
LSTM-AE	0.1392	0.3314	0.1961	0.5619	0.1181	0.5603	0.1458	0.2313	0.5705	0.4426	0.1534	0.0584	0.0846	0.4216	0.0925
HIFI	0	0	0	0.5492	0.1101	0.9209	0.3653	0.5231	0.7342	0.5738	0.3211	0.3961	0.3547	0.7265	0.2316
RN	0.1617	0.0814	0.1083	0.4867	0.1215	0.38	0.0351	0.0642	0.2973	0.265	0	0	0	0.3406	0.0729
RAE	0.1067	0.3845	0.167	0.5062	0.0974	0.741	0.2269	0.3475	0.5758	0.4197	0.5	0.0022	0.0043	0.5622	0.1336
Omni	0.0204	0.0038	0.0064	0.5344	0.1025	0.4732	0.179	0.2597	0.592	0.4682	0.1713	0.1212	0.142	0.4889	0.1107
BeatGAN	0.1633	0.4432	0.2387	0.5977	0.1867	0.5	0.1255	0.2006	0.4453	0.3913	0.2686	0.2576	0.263	0.5922	0.1629
LSTM-NDT	0.1695	0.2083	0.1869	0.5269	0.1263	0.5784	0.1974	0.2944	0.5975	0.5119	0.2117	0.1797	0.1944	0.5235	0.1345
NAB-Twitter-stationary															
	Pre	Rec	F1	ROC	PR										
CNN-AE	0.1951	0.136	0.1603	0.531	0.1497										
2DCNN-AE	0.2246	0.3191	0.2636	0.6222	0.2493										
LSTM-AE	0.1836	0.0533	0.0827	0.4796	0.1229										
HIFI	0.2421	0.2059	0.2225	0.5854	0.2283										
RN	0.2268	0.0231	0.0419	0.4493	0.1283										
RAE	0.1499	0.0897	0.1123	0.4634	0.1244										
Omni	0.253	0.0627	0.1005	0.4848	0.1314										
BeatGAN	0.1813	0.0939	0.1237	0.3477	0.0986										
LSTM-NDT	0.1665	0.2378	0.1959	0.5615	0.1751										

Table 55: Results of DL Methods (Stationary vs. Non-stationary; Sliding window size=64, Hidden size=64)

NAB-ambient-Nonstationary					NAB-art-stationary					NAB-cpu-stationary					
	Pre	Rec	F1	ROC	PR	Pre	Rec	F1	ROC	PR	Pre	Rec	F1	ROC	PR
CNN-AE	0.278	0.1713	0.212	0.55	0.206	0.0666	0.0605	0.0634	0.1995	0.1302	0.3333	0.0007	0.0013	0.2578	0.1849
2DCNN-AE	0.1557	0.0718	0.0983	0.5362	0.1731	0.0993	0.0745	0.0851	0.1958	0.1301	0.6143	0.4933	0.5472	0.6845	0.4361
LSTM-AE	0.6087	0.0387	0.0727	0.6367	0.2752	0.1114	0.2081	0.1451	0.2594	0.1667	0.3385	0.0728	0.1198	0.4159	0.291
HIFI	0.1676	0.0829	0.1109	0.529	0.1735	0.2129	0.1764	0.1929	0.2688	0.1951	0.5613	0.1529	0.2403	0.5378	0.4227
RN	0.3462	0.0497	0.087	0.5349	0.1968	0.0308	0.1291	0.0497	0.202	0.1127	0.2672	0.2336	0.2493	0.5472	0.2842
RAE	0.0886	0.0193	0.0317	0.5107	0.17	0.0389	0.1427	0.0612	0.2184	0.1175	0.3543	0.1202	0.1795	0.5141	0.2931
Omni	0.5926	0.0884	0.1538	0.6414	0.284	0.0878	0.0572	0.0692	0.2424	0.1555	0.4658	0.5227	0.4926	0.6015	0.3741
BeatGAN	0.0164	0.0028	0.0047	0.3971	0.1277	0.2	0.1442	0.1676	0.2812	0.1686	1	0.1275	0.2262	0.3747	0.3682
LSTM-NDT	0.2049	0.2072	0.206	0.5286	0.1862	0.0835	0.1523	0.1079	0.2497	0.1365	0.6387	0.5134	0.5692	0.6325	0.5381
NAB-ec2-Nonstationary					NAB-ec2-stationary					NAB-elb-stationary					
	Pre	Rec	F1	ROC	PR	Pre	Rec	F1	ROC	PR	Pre	Rec	F1	ROC	PR
CNN-AE	0.4286	0.0349	0.0645	0.4363	0.2844	0.1392	0.2248	0.172	0.4046	0.1438	0.8471	0.36	0.5053	0.8353	0.615
2DCNN-AE	0.9078	0.3106	0.4629	0.7452	0.6164	0.1694	0.2346	0.1967	0.5007	0.1888	0.5568	0.245	0.3403	0.8126	0.4219
LSTM-AE	0.4938	0.5299	0.5112	0.6778	0.5226	0.1139	0.1088	0.1113	0.4577	0.115	0	0	0	0.3809	0.1277
HIFI	0.4793	0.4037	0.4382	0.5609	0.3864	0.1743	0.2142	0.1922	0.4621	0.1769	0.5714	0.26	0.3574	0.8222	0.4414
RN	0.8939	0.323	0.4745	0.7097	0.6459	0.1368	0.234	0.1727	0.4392	0.1553	0.4903	0.38	0.4282	0.7224	0.535
RAE	0.4898	0.1314	0.2072	0.4429	0.3042	0.1261	0.159	0.1407	0.4436	0.1388	0.3182	0.035	0.0631	0.5994	0.2493
Omni	0.433	0.5581	0.4877	0.6921	0.5101	0.132	0.1528	0.1417	0.4221	0.1321	0.2561	0.37	0.3027	0.6106	0.2467
BeatGAN	0.8202	0.1213	0.2113	0.2666	0.2909	0.269	0.1399	0.1841	0.3979	0.1665	0.6	0.135	0.2204	0.7181	0.4077
LSTM-NDT	0.4257	0.2299	0.2986	0.6067	0.4953	0.1324	0.2529	0.1738	0.4358	0.1439	0.3397	0.265	0.2978	0.634	0.3202
NAB-exchange-Nonstationary					NAB-exchange-stationary					NAB-grok-Nonstationary					
	Pre	Rec	F1	ROC	PR	Pre	Rec	F1	ROC	PR	Pre	Rec	F1	ROC	PR
CNN-AE	0.1296	0.0986	0.112	0.5785	0.2465	0.0458	0.0405	0.043	0.4711	0.1055	0.1878	0.7013	0.2963	0.7126	0.3148
2DCNN-AE	0.0861	0.0915	0.0887	0.3946	0.1722	0.0568	0.045	0.0503	0.4436	0.1028	0.5022	0.7273	0.5942	0.8706	0.6577
LSTM-AE	0.1064	0.0352	0.0529	0.4823	0.1698	0.0185	0.0045	0.0072	0.5016	0.1119	0	0	0	0.4723	0.1505
HIFI	0.0508	0.0352	0.0416	0.3925	0.1792	0.06	0.027	0.0373	0.6311	0.2043	0	0	0	0.4045	0.0853
RN	0	0	0	0.5715	0.1552	0.3288	0.1622	0.2172	0.4797	0.1755	0	0	0	0.1671	0.0664
RAE	0.0847	0.0452	0.059	0.4772	0.1864	0.2392	0.2117	0.2246	0.5471	0.209	1	0.1753	0.2983	0.4134	0.2751
Omni	0.1059	0.1197	0.1124	0.4199	0.1483	0.0962	0.1486	0.1168	0.5093	0.1286	0	0	0	0.4149	0.0897
BeatGAN	0.1429	0.007	0.0134	0.5532	0.3616	0.5	0.0023	0.0045	0.3726	0.0928	0	0	0	0.2615	0.0701
LSTM-NDT	0.0618	0.0769	0.0685	0.4045	0.0979	0.2082	0.1599	0.1809	0.4704	0.1617	0.1911	0.5844	0.288	0.6882	0.23
NAB-iao-Nonstationary					NAB-nyc-stationary					NAB-occupancy-stationary					
	Pre	Rec	F1	ROC	PR	Pre	Rec	F1	ROC	PR	Pre	Rec	F1	ROC	PR
CNN-AE	0	0	0	0.3855	0.0755	0.0711	0.0264	0.0385	0.459	0.1906	0.2182	0.0258	0.0461	0.5118	0.3155
2DCNN-AE	0.5876	0.4597	0.5158	0.6851	0.4618	0.2951	0.0528	0.0896	0.4855	0.2314	0.6887	0.1567	0.2552	0.6416	0.4739
LSTM-AE	0.2411	0.2742	0.2566	0.5592	0.1431	0.0746	0.0396	0.0517	0.3858	0.1759	0.3632	0.1567	0.2189	0.5304	0.3717
HIFI	0	0	0	0.686	0.1823	0.1633	0.0587	0.0863	0.4922	0.219	0.875	0.1652	0.278	0.6651	0.5206
RN	0	0	0	0.4142	0.0911	0.2692	0.0113	0.0217	0.411	0.1657	0.5106	0.3598	0.4221	0.6189	0.4673
RAE	0.4762	0.4032	0.4367	0.7391	0.3935	0.1667	0.0872	0.1145	0.4402	0.1799	0.3592	0.1266	0.1872	0.5762	0.3945
Omni	0	0	0	0.356	0.072	0.4667	0.0513	0.0925	0.4834	0.2495	0.3176	0.1588	0.2117	0.5269	0.3449
BeatGAN	0	0	0	0.1702	0.0585	0.0773	0.0235	0.036	0.4185	0.1779	0.85	0.1094	0.1939	0.5516	0.4112
LSTM-NDT	0.3789	0.2903	0.3288	0.6368	0.2394	0.104	0.084	0.0929	0.3955	0.1625	0.4979	0.2878	0.3648	0.5998	0.4338
NAB-rds-stationary					NAB-rds-Nonstationary					NAB-rogue-Nonstationary					
	Pre	Rec	F1	ROC	PR	Pre	Rec	F1	ROC	PR	Pre	Rec	F1	ROC	PR
CNN-AE	0.4087	0.235	0.2984	0.5527	0.3652	0.1278	0.345	0.1865	0.4811	0.0952	0	0	0	0.0431	0.0167
2DCNN-AE	0.3462	0.0225	0.0423	0.4391	0.3031	0.1238	0.3325	0.1805	0.5326	0.1021	0.1613	0.5556	0.25	0.815	0.2127
LSTM-AE	1	0.01	0.0198	0.5317	0.3699	0	0	0	0.518	0.1013	0.3793	0.6111	0.4681	0.7588	0.2339
HIFI	0.4177	0.2475	0.3108	0.4789	0.4089	0.1438	0.3625	0.206	0.5953	0.1431	0.3333	0.0556	0.0952	0.384	0.0795
RN	0.8537	0.0875	0.1587	0.4507	0.4071	0	0	0	0.4644	0.1101	0	0	0	0	0
RAE	0.8172	0.19	0.3083	0.5317	0.5005	0.079	0.2075	0.1145	0.433	0.0897	0	0	0	0	0
Omni	0.6667	0.01	0.0197	0.5101	0.3589	0.1146	0.2025	0.1463	0.5021	0.1028	0.2745	0.7778	0.4058	0.7614	0.2036
BeatGAN	0.6875	0.0825	0.1473	0.4789	0.3924	0.6667	0.005	0.0099	0.4687	0.0903	0	0	0	0.2129	0.0215
LSTM-NDT	0.6154	0.02	0.0387	0.4601	0.3539	0.1085	0.28	0.1564	0.4644	0.0954	0	0	0	0	0
NAB-rogue-stationary					NAB-speed-stationary					NAB-TravelTime-stationary					
	Pre	Rec	F1	ROC	PR	Pre	Rec	F1	ROC	PR	Pre	Rec	F1	ROC	PR
CNN-AE	0.1563	0.1761	0.1656	0.5197	0.1143	0.8442	0.5996	0.7012	0.8149	0.7108	0.2215	0.21	0.2156	0.6055	0.163
2DCNN-AE	0.055	0.0114	0.0188	0.4816	0.0878	0.8594	0.203	0.3284	0.7592	0.5711	0.3258	0.4048	0.361	0.7202	0.2263
LSTM-AE	0.1391	0.3295	0.1956	0.5303	0.1115	0.6596	0.1716	0.2723	0.6152	0.4956	0.125	0.0087	0.0162	0.3994	0.0848
HIFI	0	0	0	0.4451	0.0846	0.5478	0.1587	0.2461	0.6678	0.4267	0.2884	0.2316	0.2569	0.5336	0.1341
RN	0.0338	0.0341	0.034	0.4633	0.0666	0	0	0	0.3483	0.2637	0.1526	0.3398	0.2106	0.5666	0.1507
RAE	0.1531	0.125	0.1376	0.5089	0.1189	0.2927	0.0221	0.0412	0.3756	0.291	0.1789	0.1688	0.1737	0.4617	0.1118
Omni	0.0872	0.0322	0.047	0.5429	0.1075	0.6585	0.1494	0.2436	0.6177	0.4937	0.1555	0.2619	0.1952	0.5416	0.1371
BeatGAN	0.1475	0.6383	0.2396	0.6021	0.1215	0.619	0.1919	0.293	0.5695	0.48	0.3574	0.2359	0.2842	0.6374	0.2422
LSTM-NDT	0.1625	0.2311	0.1908	0.5493	0.1328	0.5847	0.1974	0.2952	0.5924	0.5027	0.1767	0.4264	0.2498	0.61	0.1645
NAB-Twitter-stationary															
	Pre	Rec	F1	ROC	PR										
CNN-AE	0.2152	0.2086	0.2119	0.5709	0.2016										
2DCNN-AE	0.3696	0.2957	0.3285	0.6696	0.317										
LSTM-AE	0.1397	0.0617	0.0856	0.4629	0.1169										
HIFI	0.2499	0.2	0.2222	0.5921	0.2297										
RN	0.1616	0.2146	0.1844	0.5193	0.1578										
RAE	0.1867	0.1732	0.1797	0.5043	0.1431										
Omni	0.1911	0.0605	0.0919	0.476	0.1256										
BeatGAN	0.2629	0.0732	0.1145	0.4596	0.1166										
LSTM-NDT	0.1731	0.2305	0.1977	0.5611	0.1769										

Table 56: Results of DL Methods (Stationary vs. Non-stationary; Sliding window size=64, Hidden size=128)

NAB-ambient-Nonstationary					NAB-art-stationary					NAB-cpu-stationary					
	Pre	Rec	F1	ROC	PR	Pre	Rec	F1	ROC	PR	Pre	Rec	F1	ROC	PR
CNN-AE	0.0938	0.0166	0.0282	0.4772	0.165	0.0775	0.0605	0.068	0.2248	0.1374	0.5	0.0007	0.0013	0.269	0.187
2DCNN-AE	0.2126	0.1215	0.1547	0.5144	0.1708	0.0957	0.074	0.0834	0.207	0.1279	0.6324	0.279	0.3872	0.6623	0.4505
LSTM-AE	0.2525	0.0691	0.1085	0.5541	0.2032	0.1427	0.0913	0.1114	0.2066	0.1399	0.5918	0.0387	0.0727	0.3781	0.2768
HIFI	0.1686	0.0801	0.1086	0.5257	0.1709	0.2071	0.1658	0.1841	0.2727	0.193	0.5431	0.1555	0.2418	0.5451	0.4227
RN	0	0	0	0.4342	0.1404	0.4938	0.1127	0.1835	0.2611	0.144	0.4709	0.5561	0.5099	0.6151	0.3958
RAE	0.1893	0.0884	0.1205	0.502	0.1727	0.1035	0.1048	0.1041	0.2646	0.1413	0.3125	0.2336	0.2674	0.5036	0.294
Omni	0.5893	0.0912	0.1579	0.6413	0.284	0.1926	0.1384	0.1611	0.2494	0.1668	0.5054	0.1569	0.2394	0.5806	0.3912
BeatGAN	0	0	0	0.3582	0.1205	0.2996	0.1182	0.1695	0.3502	0.2429	0.6704	0.1996	0.3076	0.617	0.4846
LSTM-NDT	0.2222	0.2044	0.2129	0.549	0.1941	0.0769	0.1404	0.0994	0.2735	0.1396	0.6928	0.4666	0.5576	0.6248	0.5179
NAB-ec2-Nonstationary					NAB-ec2-stationary					NAB-elb-stationary					
	Pre	Rec	F1	ROC	PR	Pre	Rec	F1	ROC	PR	Pre	Rec	F1	ROC	PR
CNN-AE	0.5033	0.1262	0.2019	0.4134	0.3081	0.1759	0.122	0.1441	0.3876	0.1366	0.037	0.005	0.0088	0.3435	0.1169
2DCNN-AE	0.4858	0.51	0.4976	0.6539	0.4781	0.1431	0.1503	0.1466	0.4992	0.1529	0.5581	0.24	0.3357	0.8272	0.4377
LSTM-AE	0.4485	0.3472	0.3914	0.436	0.3146	0.1389	0.1497	0.1441	0.4005	0.1278	0	0	0	0.3657	0.1222
HIFI	0.2	0.005	0.0097	0.3779	0.2204	0.1356	0.1912	0.1586	0.4412	0.1731	0.7	0.245	0.363	0.8424	0.495
RN	0.4475	0.4507	0.4491	0.6915	0.5605	0.1042	0.1394	0.1193	0.4241	0.1282	0.2711	0.305	0.2871	0.5969	0.2614
RAE	0.7533	0.2062	0.3238	0.6997	0.606	0.1205	0.1729	0.142	0.3855	0.1308	0.447	0.295	0.3554	0.724	0.4303
Omni	0.4399	0.5532	0.4901	0.6903	0.5094	0.1666	0.1566	0.1614	0.4324	0.1385	0.2437	0.24	0.2418	0.555	0.2191
BeatGAN	0	0	0	0.2424	0.2359	0.2279	0.173	0.1967	0.5739	0.2466	0	0	0	0.8227	0.372
LSTM-NDT	0.5067	0.2062	0.2931	0.593	0.4842	0.1267	0.2178	0.1603	0.4327	0.1445	0.3158	0.27	0.2911	0.6006	0.2808
NAB-exchange-Nonstationary					NAB-exchange-stationary					NAB-grok-Nonstationary					
	Pre	Rec	F1	ROC	PR	Pre	Rec	F1	ROC	PR	Pre	Rec	F1	ROC	PR
CNN-AE	0.0723	0.0211	0.0327	0.5447	0.2116	0.179	0.2117	0.194	0.5781	0.1366	1	0.2468	0.3958	0.5951	0.4751
2DCNN-AE	0.0519	0.0528	0.0524	0.379	0.145	0.0597	0.0563	0.0579	0.4786	0.1084	0.6299	0.6299	0.6299	0.7969	0.6818
LSTM-AE	0.0845	0.0211	0.0338	0.5341	0.1874	0	0	0	0.4768	0.1056	0	0	0	0.4453	0.1252
HIFI	0.096	0.0845	0.0899	0.432	0.207	0.0767	0.0518	0.0618	0.5405	0.2212	0	0	0	0.4591	0.1355
RN	0.0306	0.0136	0.0188	0.3032	0.0927	0.073	0.0608	0.0663	0.5092	0.132	0.247	0.9221	0.3896	0.8043	0.2984
RAE	0.0938	0.0679	0.0787	0.3653	0.1208	0.123	0.0338	0.053	0.4474	0.1261	0	0	0	0.1476	0.0651
Omni	0.2135	0.1444	0.1723	0.5945	0.2838	0.0957	0.1216	0.1071	0.4904	0.1263	0	0	0	0.372	0.0806
BeatGAN	0.125	0.0035	0.0068	0.5973	0.2246	0.0385	0.0023	0.0043	0.6056	0.1534	0	0	0	0.4202	0.1366
LSTM-NDT	0.0854	0.1222	0.1006	0.414	0.1002	0.2293	0.2185	0.2238	0.5687	0.2542	0.1895	0.6299	0.2913	0.6755	0.2193
NAB-iao-Nonstationary					NAB-nyc-stationary					NAB-occupancy-stationary					
	Pre	Rec	F1	ROC	PR	Pre	Rec	F1	ROC	PR	Pre	Rec	F1	ROC	PR
CNN-AE	0.5862	0.2742	0.3736	0.7095	0.2907	0.234	0.0323	0.0567	0.5213	0.2414	0.5	0.0129	0.0251	0.5026	0.325
2DCNN-AE	0.2113	0.3306	0.2579	0.6001	0.1536	0.1787	0.0616	0.0916	0.4951	0.2225	0.6449	0.1481	0.2408	0.6227	0.4511
LSTM-AE	0	0	0	0.4007	0.0777	0.164	0.0455	0.0712	0.3757	0.1776	0.6087	0.0601	0.1094	0.5486	0.4185
HIFI	0	0	0	0.4364	0.0811	0.2256	0.0543	0.0875	0.4937	0.2297	0	0	0	0.5011	0.3206
RN	0.1626	0.1613	0.1619	0.5228	0.1568	0.5	0.0048	0.0096	0.4349	0.1708	0.2703	0.0993	0.1452	0.362	0.2491
RAE	0.5192	0.4355	0.4737	0.7839	0.439	0.156	0.1373	0.146	0.4884	0.1902	0.507	0.268	0.3506	0.6087	0.4381
Omni	0.1919	0.1532	0.1704	0.524	0.1059	0.5926	0.0469	0.087	0.4697	0.2492	0.3866	0.1974	0.2614	0.5029	0.3608
BeatGAN	0	0	0	0.457	0.084	0.2626	0.2214	0.2403	0.6199	0.295	0.7353	0.0536	0.1	0.5401	0.4023
LSTM-NDT	0.3258	0.3468	0.3359	0.6668	0.2524	0.1138	0.0679	0.085	0.3702	0.1573	0.4685	0.2581	0.3328	0.5745	0.4091
NAB-rds-stationary					NAB-rds-Nonstationary					NAB-rogue-Nonstationary					
	Pre	Rec	F1	ROC	PR	Pre	Rec	F1	ROC	PR	Pre	Rec	F1	ROC	PR
CNN-AE	0.4115	0.25	0.311	0.4897	0.3533	0.1204	0.3175	0.1746	0.5159	0.0982	0.0455	0.1111	0.0645	0.1985	0.0211
2DCNN-AE	0.5714	0.01	0.0197	0.4859	0.3411	0.1019	0.26	0.1464	0.4807	0.0958	0.4091	0.5	0.45	0.727	0.2193
LSTM-AE	0.1739	0.01	0.0189	0.518	0.33	0	0	0	0.5182	0.1015	0.3158	0.6667	0.4286	0.7551	0.2201
HIFI	0.75	0.0075	0.0149	0.4911	0.3276	0.1388	0.1575	0.1475	0.6729	0.1521	0.1304	0.3333	0.1875	0.6312	0.0982
RN	0.8333	0.0125	0.0246	0.393	0.3341	0.0406	0.1025	0.0581	0.3801	0.0808	0	0	0	0	0
RAE	0.5956	0.335	0.4288	0.6609	0.5427	0	0	0	0.5641	0.1326	0	0	0	0	0
Omni	0.6667	0.01	0.0197	0.5025	0.367	0.1024	0.26	0.1469	0.4835	0.0975	0.3095	0.7222	0.4333	0.7554	0.2297
BeatGAN	0.25	0.0025	0.005	0.3528	0.2557	0	0	0	0.449	0.1013	0.3333	0.5	0.4	0.7732	0.214
LSTM-NDT	0.6667	0.02	0.0388	0.4485	0.3474	0.1085	0.28	0.1564	0.4739	0.1025	0	0	0	0	0
NAB-rogue-stationary					NAB-speed-stationary					NAB-TravelTime-stationary					
	Pre	Rec	F1	ROC	PR	Pre	Rec	F1	ROC	PR	Pre	Rec	F1	ROC	PR
CNN-AE	0.1415	0.2519	0.1812	0.5328	0.1132	0.7014	0.572	0.6301	0.7878	0.6223	0.2964	0.1797	0.2237	0.6118	0.1796
2DCNN-AE	0.0914	0.0985	0.0948	0.5349	0.1077	0.5691	0.1292	0.2105	0.5304	0.4066	0.1752	0.2662	0.2113	0.6123	0.1556
LSTM-AE	0.1371	0.2595	0.1794	0.5498	0.1187	0.4483	0.048	0.0867	0.4727	0.3566	0	0	0	0.3927	0.0803
HIFI	0	0	0	0.4934	0.0957	0.3797	0.1661	0.2311	0.5855	0.404	0.2703	0.2229	0.2444	0.505	0.1299
RN	0.0338	0.0341	0.034	0.4633	0.0666	0.2857	0.0037	0.0073	0.5268	0.3256	0.1177	0.2273	0.1551	0.4657	0.1029
RAE	0.122	0.1761	0.1442	0.5447	0.1245	0.64	0.1771	0.2775	0.6103	0.4533	0.2474	0.2078	0.2259	0.6057	0.1689
Omni	0.0583	0.0133	0.0216	0.5239	0.102	0.5126	0.2251	0.3128	0.6106	0.4749	0.1906	0.2294	0.2083	0.625	0.1578
BeatGAN	0	0	0	0.4	0.0726	0.4255	0.1107	0.1757	0.5024	0.3805	0.2256	0.0649	0.1008	0.6275	0.1801
LSTM-NDT	0.1105	0.339	0.1667	0.5091	0.1047	0.5739	0.1863	0.2813	0.5877	0.4933	0.204	0.3095	0.2459	0.6047	0.1669
NAB-Twitter-stationary															
	Pre	Rec	F1	ROC	PR										
CNN-AE	0.2276	0.2477	0.2373	0.5925	0.22										
2DCNN-AE	0.1942	0.1588	0.1748	0.5438	0.1794										
LSTM-AE	0.1559	0.0743	0.1006	0.4673	0.1227										
HIFI	0.2236	0.1777	0.198	0.5851	0.1954										
RN	0.1467	0.2549	0.1862	0.5397	0.1568										
RAE	0.1792	0.0734	0.1042	0.5098	0.1411										
Omni	0.2127	0.0348	0.0598	0.4735	0.1205										
BeatGAN	0.1859	0.2448	0.2113	0.5499	0.184										
LSTM-NDT	0.1592	0.2339	0.1894	0.5558	0.166										

Table 57: Results of DL Methods (Stationary vs. Non-stationary; Sliding window size=64, Hidden size=256)

NAB-ambient-Nonstationary					NAB-art-stationary					NAB-cpu-stationary					
	Pre	Rec	F1	ROC	PR	Pre	Rec	F1	ROC	PR	Pre	Rec	F1	ROC	PR
CNN-AE	0.267	0.163	0.2024	0.5538	0.2043	0.1461	0.1576	0.1516	0.2456	0.1564	0.3043	0.0047	0.0092	0.4025	0.2257
2DCNN-AE	0.1463	0.0663	0.0913	0.5354	0.1728	0.1018	0.0745	0.086	0.2096	0.1377	0.6149	0.3698	0.4619	0.6755	0.4456
LSTM-AE	0.625	0.0552	0.1015	0.6395	0.2828	0.1955	0.1254	0.1528	0.2307	0.1607	0.1007	0.0561	0.072	0.4136	0.2227
HIFI	0.242	0.2099	0.2249	0.596	0.2055	0.1948	0.1913	0.193	0.2741	0.1954	0.544	0.1609	0.2483	0.546	0.4258
RN	-1	-1	-1	-1	-1	-1	-1	-1	-1	-1	-1	-1	-1	-1	-1
RAE	0.2658	0.116	0.1615	0.5833	0.2085	0.0525	0.0544	0.0534	0.2121	0.1036	0	0	0	0.375	0.2311
Omni	0.6136	0.0746	0.133	0.6416	0.2841	0.1215	0.0855	0.1004	0.2579	0.1898	0.538	0.1889	0.2796	0.5688	0.359
BeatGAN	0.2892	0.1989	0.2357	0.6076	0.2625	0.1088	0.0601	0.0774	0.2944	0.2046	0.5224	0.241	0.3298	0.5458	0.4085
LSTM-NDT	0.2045	0.1519	0.1743	0.5402	0.1882	0.0771	0.1251	0.0954	0.2593	0.1394	0.6856	0.4846	0.5679	0.6386	0.6254
NAB-ec2-Nonstationary					NAB-ec2-stationary					NAB-elb-stationary					
	Pre	Rec	F1	ROC	PR	Pre	Rec	F1	ROC	PR	Pre	Rec	F1	ROC	PR
CNN-AE	0.4397	0.3389	0.3827	0.3232	0.3189	0.1268	0.2667	0.1719	0.4203	0.1596	0.3848	0.66	0.4862	0.8456	0.6303
2DCNN-AE	0.4453	0.5	0.471	0.6808	0.4884	0.1582	0.1934	0.174	0.5471	0.1859	0.2822	0.34	0.3084	0.6486	0.2623
LSTM-AE	0.625	0.0083	0.0164	0.365	0.2361	0.1197	0.1289	0.1241	0.47	0.1127	0.5	0.005	0.0099	0.3869	0.1383
HIFI	0.4146	0.0565	0.0994	0.621	0.3921	0.1598	0.2035	0.179	0.4315	0.1768	0.7349	0.305	0.4311	0.8563	0.523
RN	-1	-1	-1	-1	-1	-1	-1	-1	-1	-1	-1	-1	-1	-1	-1
RAE	0.5357	0.3011	0.3855	0.688	0.4241	0.1222	0.1726	0.1431	0.431	0.1351	0.5361	0.26	0.3502	0.6945	0.4032
Omni	0.4672	0.5316	0.4973	0.7229	0.5659	0.1536	0.1286	0.14	0.4248	0.1227	0.2612	0.32	0.2876	0.5929	0.2392
BeatGAN	0	0	0	0.1792	0.1686	0.1877	0.1047	0.1344	0.3824	0.1226	0.7118	0.605	0.6541	0.8726	0.7374
LSTM-NDT	0.5263	0.073	0.1282	0.4059	0.2717	0.1192	0.2191	0.1544	0.4467	0.1403	0.2881	0.255	0.2706	0.5868	0.263
NAB-exchange-Nonstationary					NAB-exchange-stationary					NAB-grok-Nonstationary					
	Pre	Rec	F1	ROC	PR	Pre	Rec	F1	ROC	PR	Pre	Rec	F1	ROC	PR
CNN-AE	0.0085	0.0106	0.0094	0.2401	0.117	0.2378	0.2297	0.2337	0.5821	0.2035	0.439	0.2338	0.3051	0.6861	0.365
2DCNN-AE	0.0536	0.0528	0.0532	0.355	0.1536	0.1349	0.1802	0.1543	0.5225	0.1372	0.5253	0.7403	0.6146	0.8538	0.6934
LSTM-AE	0.0323	0.007	0.0116	0.6342	0.4223	0.0417	0.009	0.0148	0.4805	0.1097	0	0	0	0.4363	0.1158
HIFI	0.0323	0.007	0.0116	0.5711	0.3424	0.1111	0.0833	0.0952	0.5436	0.1259	0.45	0.1753	0.2523	0.4867	0.2536
RN	-1	-1	-1	-1	-1	-1	-1	-1	-1	-1	-1	-1	-1	-1	-1
RAE	0.0833	0.0543	0.0658	0.6432	0.2771	0.2228	0.1982	0.2098	0.5375	0.2022	0	0	0	0.6661	0.1651
Omni	0.0455	0.0282	0.0348	0.4736	0.1612	0.0943	0.0631	0.0756	0.4695	0.1183	0	0	0	0.4642	0.1236
BeatGAN	0	0	0	0.4105	0.2091	0.0926	0.0113	0.0201	0.4152	0.1071	0.7167	0.2792	0.4019	0.6455	0.3101
LSTM-NDT	0.0667	0.0769	0.0714	0.4148	0.1002	0.1645	0.223	0.1893	0.5582	0.2159	0.1857	0.6429	0.2882	0.6617	0.2078
NAB-iao-Nonstationary					NAB-nyc-stationary					NAB-occupancy-stationary					
	Pre	Rec	F1	ROC	PR	Pre	Rec	F1	ROC	PR	Pre	Rec	F1	ROC	PR
CNN-AE	0	0	0	0.3807	0.0748	0.1169	0.0689	0.0867	0.4971	0.204	1	0.03	0.0583	0.616	0.4959
2DCNN-AE	0.1446	0.2823	0.1913	0.4804	0.1088	0.2951	0.0528	0.0896	0.4848	0.2317	0.6606	0.1545	0.2504	0.6341	0.4623
LSTM-AE	0.2454	0.3226	0.2787	0.5295	0.1285	0.1008	0.0543	0.0705	0.4898	0.2059	0.3971	0.1781	0.2459	0.551	0.3813
HIFI	0	0	0	0.3584	0.0714	0.1704	0.0557	0.084	0.4936	0.2229	0.3175	0.1288	0.1832	0.4815	0.329
RN	-1	-1	-1	-1	-1	-1	-1	-1	-1	-1	-1	-1	-1	-1	-1
RAE	0.5682	0.4032	0.4717	0.6376	0.4258	0.1977	0.084	0.1179	0.4854	0.2001	0.78	0.1935	0.3101	0.5731	0.4434
Omni	0	0	0	0.3573	0.0718	0.4865	0.0528	0.0952	0.482	0.2508	0.8302	0.0944	0.1696	0.5099	0.4029
BeatGAN	0.6829	0.2258	0.3394	0.6522	0.2902	0.2702	0.1569	0.1985	0.6236	0.3079	0	0	0	0.4325	0.2784
LSTM-NDT	0.3613	0.3468	0.3539	0.7048	0.2874	0.108	0.0372	0.0553	0.357	0.156	0.412	0.2208	0.2876	0.5578	0.3903
NAB-rds-stationary					NAB-rds-Nonstationary					NAB-rogue-Nonstationary					
	Pre	Rec	F1	ROC	PR	Pre	Rec	F1	ROC	PR	Pre	Rec	F1	ROC	PR
CNN-AE	0.4149	0.3475	0.3782	0.5648	0.3658	0.1283	0.345	0.187	0.4861	0.0944	1	0.0556	0.1053	0.3922	0.1906
2DCNN-AE	0.5714	0.01	0.0197	0.4751	0.3325	0.19	0.3125	0.2363	0.6202	0.1611	0.4762	0.5556	0.5128	0.7008	0.2733
LSTM-AE	0.3878	0.255	0.3077	0.5142	0.3415	0	0	0	0.5183	0.1022	0.4348	0.5556	0.4878	0.7575	0.2579
HIFI	0.6111	0.2475	0.3523	0.6424	0.4572	0.3939	0.065	0.1116	0.5373	0.137	0.4286	0.1667	0.24	0.7184	0.2098
RN	-1	-1	-1	-1	-1	-1	-1	-1	-1	-1	-1	-1	-1	-1	-1
RAE	0.5837	0.34	0.4297	0.6473	0.5101	1	0.125	0.2222	0.5515	0.2628	0	0	0	0	0
Omni	1	0.01	0.0198	0.5205	0.3752	0	0	0	0.5184	0.1017	0.2653	0.7222	0.3881	0.7625	0.2146
BeatGAN	0.3969	0.255	0.3105	0.5266	0.4478	0	0	0	0.5261	0.1077	0	0	0	0.1525	0.0177
LSTM-NDT	0.75	0.015	0.0294	0.4573	0.3494	0.1462	0.1425	0.1443	0.5355	0.1222	0	0	0	0	0
NAB-rogue-stationary					NAB-speed-stationary					NAB-TravelTime-stationary					
	Pre	Rec	F1	ROC	PR	Pre	Rec	F1	ROC	PR	Pre	Rec	F1	ROC	PR
CNN-AE	0.1308	0.2348	0.168	0.5146	0.1063	0.7605	0.4336	0.5523	0.7431	0.5943	0.3342	0.2792	0.3042	0.6683	0.207
2DCNN-AE	0.0747	0.0246	0.037	0.5216	0.0951	0.7616	0.2122	0.3319	0.7753	0.6323	0.1115	0.2684	0.1576	0.5185	0.1064
LSTM-AE	0.1402	0.3125	0.1935	0.5812	0.1216	0.6125	0.0904	0.1576	0.5362	0.4141	0.1375	0.1667	0.1507	0.4141	0.0947
HIFI	0.0444	0.0038	0.007	0.5791	0.147	0.5036	0.1273	0.2032	0.5228	0.3255	0.3205	0.4134	0.3611	0.733	0.233
RN	-1	-1	-1	-1	-1	-1	-1	-1	-1	-1	-1	-1	-1	-1	-1
RAE	0.0756	0.1364	0.0972	0.4925	0.0904	0.3575	0.1273	0.1878	0.5218	0.314	0	0	0	0.4063	0.0942
Omni	0.0769	0.0265	0.0394	0.5285	0.1024	0.5318	0.1697	0.2573	0.6199	0.4874	0.1816	0.2013	0.191	0.6006	0.1468
BeatGAN	0.135	0.3712	0.198	0.5908	0.1193	0.4161	0.1052	0.1679	0.4663	0.3317	0	0	0	0.3134	0.0666
LSTM-NDT	0.1248	0.3845	0.1885	0.5175	0.109	0.5642	0.1863	0.2802	0.5814	0.4843	0.1683	0.4048	0.2378	0.6123	0.1703
NAB-Twitter-stationary															
	Pre	Rec	F1	ROC	PR										
CNN-AE	0.2077	0.2977	0.2447	0.5936	0.235										
2DCNN-AE	0.1533	0.2206	0.1809	0.5658	0.1691										
LSTM-AE	0.1477	0.0538	0.0789	0.4546	0.1161										
HIFI	0.2059	0.1271	0.1572	0.5973	0.1987										
RN	-1	-1	-1	-1	-1										
RAE	0.2692	0.14	0.1842	0.5528	0.1797										
Omni	0.204	0.0334	0.0574	0.4655	0.1178										
BeatGAN	0.1735	0.3611	0.2344	0.6066	0.2109										
LSTM-NDT	0.1573	0.1637	0.1605	0.5366	0.1551										

Table 58: Results of DL Methods (Stationary vs. Non-stationary; Sliding window size=128, Hidden size=16)

	NAB-ambient-Nonstationary					NAB-art-stationary					NAB-cpu-stationary				
	Pre	Rec	F1	ROC	PR	Pre	Rec	F1	ROC	PR	Pre	Rec	F1	ROC	PR
CNN-AE	0.2614	0.1105	0.1553	0.5387	0.214	0.4	0.1951	0.2623	0.2273	0.1929	0.5753	0.2143	0.3123	0.6348	0.4768
2DCNN-AE	0.26	0.0718	0.1126	0.5159	0.1928	0.2991	0.1062	0.1567	0.2442	0.1752	0.6432	0.5247	0.5779	0.7176	0.4778
LSTM-AE	0.5833	0.058	0.1055	0.6405	0.2842	0.1324	0.1004	0.1142	0.212	0.1179	1	0.1088	0.1963	0.3964	0.3745
HIFI	0.3202	0.1575	0.2111	0.5592	0.2458	0.3502	0.1394	0.1994	0.2294	0.174	0.7341	0.1308	0.2221	0.5556	0.442
RN	0	0	0	0.4375	0.1468	0.0485	0.0249	0.0329	0.1848	0.0926	0.3179	0.2483	0.2789	0.5326	0.2912
RAE	0.4205	0.1022	0.1644	0.5123	0.2425	0.0604	0.0657	0.063	0.2372	0.163	0.4858	0.1368	0.2135	0.5907	0.4028
Omni	0.5051	0.1381	0.2169	0.6365	0.2847	0.158	0.063	0.09	0.1963	0.1323	0.5858	0.6222	0.6034	0.7111	0.4485
BeatGAN	0.2444	0.2099	0.2259	0.5534	0.2218	0.2796	0.1	0.1473	0.2001	0.1569	0.0709	0.0327	0.0448	0.3438	0.2016
LSTM-NDT	0.1902	0.1713	0.1802	0.5088	0.1835	0.0725	0.1819	0.1037	0.3031	0.1309	0.993	0.1883	0.3165	0.555	0.4708
	NAB-ec2-Nonstationary					NAB-ec2-stationary					NAB-elb-stationary				
	Pre	Rec	F1	ROC	PR	Pre	Rec	F1	ROC	PR	Pre	Rec	F1	ROC	PR
CNN-AE	0.8051	0.2608	0.394	0.6005	0.5728	0.2176	0.0896	0.1269	0.4082	0.1596	0	0	0	0.876	0.5453
2DCNN-AE	0.4643	0.5731	0.513	0.6928	0.52	0.1771	0.1836	0.1803	0.5061	0.2093	0.8333	0.075	0.1376	0.8303	0.5278
LSTM-AE	0.75	0.01	0.0197	0.3511	0.2132	0.1235	0.1708	0.1433	0.4795	0.1163	0.2437	0.435	0.3124	0.6266	0.238
HIFI	0.9399	0.4419	0.6011	0.7752	0.7236	0.1564	0.1431	0.1494	0.4874	0.1688	0	0	0	0.7639	0.3948
RN	0.5858	0.4091	0.4818	0.6276	0.5013	0.1573	0.1954	0.1743	0.4623	0.1747	0	0	0	0.2491	0.1178
RAE	0.0606	0.0124	0.0206	0.3974	0.1926	0.122	0.0828	0.0987	0.3974	0.125	0.0448	0.015	0.0225	0.4328	0.1535
Omni	0.4277	0.4568	0.4418	0.6174	0.3401	0.1182	0.1717	0.14	0.4256	0.1393	0.04	0.005	0.0089	0.3752	0.1229
BeatGAN	0	0	0	0.1781	0.189	0.2064	0.1516	0.1748	0.3867	0.1329	0.6786	0.095	0.1667	0.593	0.354
LSTM-NDT	0.3105	0.2438	0.2731	0.5504	0.3677	0.1197	0.2106	0.1526	0.3923	0.1424	0	0	0	0.2842	0.1216
	NAB-exchange-Nonstationary					NAB-exchange-stationary					NAB-grok-Nonstationary				
	Pre	Rec	F1	ROC	PR	Pre	Rec	F1	ROC	PR	Pre	Rec	F1	ROC	PR
CNN-AE	0.1804	0.162	0.1707	0.3721	0.1526	0.0643	0.0405	0.0497	0.4651	0.1047	0.9362	0.2857	0.4378	0.9367	0.722
2DCNN-AE	0.1208	0.1268	0.1237	0.4233	0.1653	0.0948	0.1261	0.1082	0.5336	0.1429	0	0	0	0.5326	0.4797
LSTM-AE	0	0	0	0.759	0.5121	0.2353	0.009	0.0174	0.5588	0.1343	0	0	0	0.4689	0.1445
HIFI	0.1868	0.169	0.1774	0.3728	0.1527	0.0522	0.0405	0.0456	0.45	0.1005	0.7701	0.4351	0.556	0.8386	0.5574
RN	0.0904	0.1852	0.1215	0.2411	0.0521	0.0782	0.0831	0.0806	0.3597	0.0854	0	0	0	0.1617	0.0708
RAE	0.0698	0.0185	0.0293	0.1643	0.038	0.144	0.0453	0.069	0.4361	0.1156	0.279	1	0.4363	0.8229	0.305
Omni	0.0677	0.0739	0.0707	0.4547	0.161	0.0872	0.1667	0.1145	0.5437	0.1379	0	0	0	0.3888	0.0832
BeatGAN	0	0	0	0.4607	0.171	0.1176	0.0045	0.0087	0.5026	0.1168	0	0	0	0.1266	0.0617
LSTM-NDT	0.0845	0.1543	0.1092	0.2422	0.0503	0.2509	0.1713	0.2036	0.6258	0.3179	0.1944	0.6364	0.2979	0.6883	0.2391
	NAB-iao-Nonstationary					NAB-nyc-stationary					NAB-occupancy-stationary				
	Pre	Rec	F1	ROC	PR	Pre	Rec	F1	ROC	PR	Pre	Rec	F1	ROC	PR
CNN-AE	0.3	0.5565	0.3898	0.8122	0.222	0.2215	0.2478	0.2339	0.4835	0.2014	0.4211	0.1545	0.2261	0.6104	0.3876
2DCNN-AE	0.3107	0.2581	0.2819	0.6157	0.1875	0.1378	0.1246	0.1309	0.4407	0.187	0.4095	0.2039	0.2722	0.5823	0.3812
LSTM-AE	0	0	0	0.4073	0.0782	0.3035	0.2786	0.2905	0.6446	0.3407	0.3286	0.0987	0.1518	0.4967	0.3165
HIFI	0	0	0	0.2949	0.0659	0.2297	0.2698	0.2481	0.4945	0.2054	0.4405	0.1588	0.2334	0.6213	0.4054
RN	0.2344	0.121	0.1596	0.387	0.1802	0.0855	0.0421	0.0564	0.4858	0.1868	0.5023	0.3156	0.3877	0.6452	0.4222
RAE	0.1747	0.2339	0.2	0.5404	0.2527	0.0947	0.0405	0.0567	0.4352	0.1763	0.3069	0.0914	0.1409	0.5727	0.3559
Omni	0.1781	0.2097	0.1926	0.5754	0.1224	0.2989	0.3607	0.3269	0.6018	0.2955	0.3243	0.0773	0.1248	0.3997	0.327
BeatGAN	0.3445	0.6613	0.453	0.8521	0.2573	0.0832	0.0557	0.0667	0.4811	0.2032	0.5417	0.0279	0.0531	0.474	0.3353
LSTM-NDT	0.4149	0.3145	0.3578	0.67	0.2686	0.3056	0.1602	0.2102	0.5973	0.273	0.4273	0.2773	0.3363	0.5669	0.3839
	NAB-rds-stationary					NAB-rds-Nonstationary					NAB-rogue-Nonstationary				
	Pre	Rec	F1	ROC	PR	Pre	Rec	F1	ROC	PR	Pre	Rec	F1	ROC	PR
CNN-AE	0	0	0	0.4478	0.3153	0	0	0	0.3117	0.0668	0	0	0	0.0859	0.0166
2DCNN-AE	0.75	0.0075	0.0149	0.4573	0.3255	0.1015	0.26	0.146	0.4794	0.0959	0.3182	0.3889	0.35	0.7573	0.1624
LSTM-AE	1	0.0075	0.0149	0.5134	0.3688	0	0	0	0.5187	0.0996	0.0317	0.2222	0.0556	0.3369	0.0263
HIFI	0.5111	0.0575	0.1034	0.4309	0.3229	0.1414	0.405	0.2096	0.503	0.0986	0	0	0	0.0219	0.0162
RN	0.7372	0.2525	0.3762	0.492	0.4399	0.1217	0.25	0.1637	0.5763	0.1369	0	0	0	0	0
RAE	0.7476	0.1925	0.3062	0.535	0.473	0	0	0	0.5962	0.1425	0	0	0	0	0
Omni	0.6667	0.01	0.0197	0.5101	0.3696	0.1032	0.31	0.1548	0.5099	0.1003	0.3462	0.5	0.4091	0.7318	0.1801
BeatGAN	1	0.17	0.2906	0.4759	0.4786	0	0	0	0.4949	0.0979	0.3333	0.0556	0.0952	0.4735	0.0449
LSTM-NDT	0.5385	0.0175	0.0339	0.4202	0.3531	0.1091	0.2825	0.1574	0.457	0.0907	0	0	0	0	0
	NAB-rogue-stationary					NAB-speed-stationary					NAB-TravelTime-stationary				
	Pre	Rec	F1	ROC	PR	Pre	Rec	F1	ROC	PR	Pre	Rec	F1	ROC	PR
CNN-AE	0	0	0	0.4911	0.0951	0.8224	0.1624	0.2712	0.6577	0.4879	0.2654	0.2987	0.2811	0.7734	0.2115
2DCNN-AE	0.049	0.0189	0.0273	0.5126	0.0932	0.616	0.1421	0.2309	0.5974	0.455	0.1569	0.381	0.2222	0.6204	0.1574
LSTM-AE	0.0943	0.072	0.0816	0.4822	0.0937	0.5442	0.1476	0.2322	0.5771	0.451	0.1067	0.1277	0.1163	0.418	0.0906
HIFI	0.0656	0.0076	0.0136	0.5166	0.1219	0.6935	0.1587	0.2583	0.7289	0.5136	0.1532	0.0736	0.0994	0.5815	0.1507
RN	0	0	0	0.497	0.1023	0	0	0	0.2731	0.2339	0	0	0	0.4424	0.0893
RAE	0.1429	0.0019	0.0037	0.5078	0.1061	0.4828	0.0521	0.0941	0.4685	0.3542	0.2104	0.1926	0.2011	0.6488	0.1784
Omni	0.0189	0.0057	0.0087	0.5272	0.0998	0.5316	0.155	0.24	0.5605	0.4458	0.0896	0.0649	0.0753	0.4288	0.0901
BeatGAN	0	0	0	0.3489	0.0701	0.4456	0.1587	0.234	0.5785	0.4203	0.1625	0.0281	0.048	0.6427	0.1784
LSTM-NDT	0	0	0	0.5263	0.1741	0.6709	0.1974	0.305	0.6012	0.5533	0.2239	0.1299	0.1644	0.5019	0.138
	NAB-Twitter-stationary														
	Pre	Rec	F1	ROC	PR										
CNN-AE	0.489	0.1252	0.1994	0.4158	0.2642										
2DCNN-AE	0.2135	0.3642	0.2692	0.6468	0.2518										
LSTM-AE	0.0919	0.0234	0.0373	0.4289	0.1025										
HIFI	0.3412	0.1864	0.2411	0.6872	0.2849										
RN	0.1143	0.0296	0.0471	0.4207	0.1132										
RAE	0.1896	0.1099	0.1392	0.5118	0.149										
Omni	0.1687	0.1036	0.1284	0.5022	0.1339										
BeatGAN	0.2637	0.2606	0.2621	0.5391	0.2073										
LSTM-NDT	0.2001	0.1011	0.1343	0.5071	0.1559										

Table 59: Results of DL Methods (Stationary vs. Non-stationary; Sliding window size=128, Hidden size=32)

NAB-ambient-Nonstationary					NAB-art-stationary					NAB-cpu-stationary					
	Pre	Rec	F1	ROC	PR	Pre	Rec	F1	ROC	PR	Pre	Rec	F1	ROC	PR
CNN-AE	0.3537	0.1436	0.2043	0.5872	0.2418	0.0952	0.0404	0.0567	0.1742	0.1101	0.996	0.1649	0.2829	0.466	0.4482
2DCNN-AE	0.2642	0.0387	0.0675	0.5208	0.192	0.2717	0.1067	0.1532	0.2515	0.1884	0.6597	0.3144	0.4259	0.6747	0.4633
LSTM-AE	0.5946	0.0608	0.1103	0.6425	0.2864	0.153	0.0572	0.0832	0.1402	0.116	1	0.1355	0.2387	0.3977	0.383
HIFI	0.328	0.1685	0.2226	0.5599	0.2501	0.3111	0.1504	0.2028	0.2305	0.1744	0.5356	0.1555	0.2411	0.5546	0.417
RN	0	0	0	0.4083	0.1388	0	0	0	0.1733	0.0801	0.2957	0.269	0.2817	0.5592	0.2931
RAE	0.3492	0.1215	0.1803	0.4532	0.2166	0.0893	0.0284	0.043	0.1781	0.0879	1	0.0474	0.0905	0.3444	0.2942
Omni	0.617	0.0801	0.1418	0.6421	0.2858	0.2925	0.1514	0.1995	0.2081	0.1666	0.513	0.7236	0.6004	0.7255	0.4368
BeatGAN	0	0	0	0.4584	0.1485	0.3114	0.0908	0.1406	0.2386	0.1772	1	0.0621	0.1169	0.4655	0.4217
LSTM-NDT	0.1993	0.1685	0.1826	0.5186	0.1858	0.0703	0.1646	0.0985	0.2713	0.1211	0.7979	0.4506	0.5759	0.742	0.6552
NAB-ec2-Nonstationary					NAB-ec2-stationary					NAB-elb-stationary					
	Pre	Rec	F1	ROC	PR	Pre	Rec	F1	ROC	PR	Pre	Rec	F1	ROC	PR
CNN-AE	0.5155	0.4136	0.459	0.4897	0.4165	0.1697	0.1569	0.163	0.3927	0.1387	0	0	0	0.374	0.1223
2DCNN-AE	0.5	0.5166	0.5082	0.7098	0.609	0.1123	0.1208	0.1164	0.4263	0.1509	0	0	0	0.9029	0.6145
LSTM-AE	0.4506	0.3488	0.3933	0.4755	0.3293	0.1318	0.1764	0.1509	0.4185	0.1239	0	0	0	0.3507	0.1206
HIFI	1	0.2292	0.373	0.4479	0.4187	0.172	0.1601	0.1658	0.5107	0.1958	0.0769	0.005	0.0094	0.8179	0.4066
RN	0.6545	0.3326	0.4411	0.8204	0.7169	0.0998	0.209	0.1351	0.4977	0.2071	0.9538	0.31	0.4679	0.7078	0.5673
RAE	0.8182	0.0744	0.1364	0.4811	0.2803	0.1362	0.1502	0.1428	0.3874	0.1212	0.1429	0.01	0.0187	0.3995	0.1574
Omni	0.4923	0.5332	0.512	0.691	0.5555	0.1362	0.1755	0.1534	0.4558	0.1661	0.2313	0.17	0.196	0.493	0.191
BeatGAN	0.7125	0.3787	0.4946	0.3659	0.411	0.1641	0.205	0.1823	0.5267	0.1667	0.9487	0.185	0.3096	0.959	0.8234
LSTM-NDT	0.3244	0.2004	0.2478	0.5315	0.363	0.1438	0.2276	0.1763	0.4318	0.1476	0.3662	0.26	0.3041	0.6378	0.3403
NAB-exchange-Nonstationary					NAB-exchange-stationary					NAB-grok-Nonstationary					
	Pre	Rec	F1	ROC	PR	Pre	Rec	F1	ROC	PR	Pre	Rec	F1	ROC	PR
CNN-AE	0.0583	0.0458	0.0513	0.3464	0.1329	0.0942	0.0586	0.0722	0.5663	0.136	0.7843	0.2597	0.3902	0.7806	0.4455
2DCNN-AE	0.115	0.1162	0.1156	0.4566	0.169	0.0723	0.1014	0.0844	0.508	0.1315	1	0.3247	0.4902	0.5051	0.5258
LSTM-AE	0	0	0	0.7335	0.4618	0.1136	0.0923	0.1019	0.5319	0.1363	0	0	0	0.465	0.1582
HIFI	0.1786	0.1761	0.1773	0.464	0.179	0.0559	0.0428	0.0485	0.5413	0.1235	0.5833	0.5	0.5385	0.5723	0.5516
RN	0.0861	0.2222	0.1241	0.2577	0.0549	0.2477	0.1335	0.1735	0.4334	0.1414	0	0	0	0.1597	0.0708
RAE	0.2977	0.2407	0.2662	0.3407	0.1126	0.2057	0.0907	0.1259	0.5286	0.1467	0	0	0	0.1641	0.0713
Omni	0.0559	0.0317	0.0404	0.3674	0.1373	0.0774	0.1171	0.0932	0.4513	0.1184	0	0	0	0.381	0.0819
BeatGAN	0.8333	0.0704	0.1299	0.7626	0.4253	0.6	0.0068	0.0134	0.4598	0.1114	0.7167	0.5584	0.6277	0.8098	0.5377
LSTM-NDT	0.0637	0.1049	0.0793	0.2317	0.0482	0.2164	0.2393	0.2273	0.5501	0.2591	0.2115	0.6234	0.3158	0.7131	0.2562
NAB-iao-Nonstationary					NAB-nyc-stationary					NAB-occupancy-stationary					
	Pre	Rec	F1	ROC	PR	Pre	Rec	F1	ROC	PR	Pre	Rec	F1	ROC	PR
CNN-AE	0	0	0	0.3835	0.0748	0.3037	0.0953	0.1451	0.5254	0.2598	0.2273	0.0215	0.0392	0.4174	0.302
2DCNN-AE	0.2431	0.5645	0.3398	0.6807	0.1584	0.1682	0.1657	0.1669	0.46	0.1925	0.4451	0.1652	0.241	0.6015	0.3912
LSTM-AE	0	0	0	0.4079	0.0782	0.282	0.2551	0.2679	0.6195	0.3388	0.6429	0.0579	0.1063	0.5691	0.4565
HIFI	0	0	0	0.5025	0.098	0.2219	0.2581	0.2386	0.4914	0.2039	0.4688	0.1609	0.2396	0.6083	0.3904
RN	0.5513	0.6935	0.6143	0.8094	0.6457	0.0881	0.0469	0.0612	0.498	0.1919	0.6449	0.2035	0.3094	0.6007	0.4174
RAE	0	0	0	0.4734	0.1273	0.2444	0.0178	0.0332	0.5353	0.2234	0.2754	0.056	0.0931	0.5398	0.2971
Omni	0.2176	0.3387	0.265	0.5429	0.1324	0.236	0.2478	0.2418	0.5046	0.2123	0.3313	0.2382	0.2772	0.512	0.3557
BeatGAN	0	0	0	0.378	0.0734	0.2063	0.1334	0.1621	0.5746	0.2488	0.25	0.0021	0.0043	0.4273	0.3116
LSTM-NDT	0.4205	0.2984	0.3491	0.6698	0.2673	0.126	0.0744	0.0936	0.5232	0.2093	0.3636	0.1888	0.2485	0.5138	0.3255
NAB-rds-stationary					NAB-rds-Nonstationary					NAB-rogue-Nonstationary					
	Pre	Rec	F1	ROC	PR	Pre	Rec	F1	ROC	PR	Pre	Rec	F1	ROC	PR
CNN-AE	0.4016	0.255	0.3119	0.5264	0.3438	0.142	0.3925	0.2085	0.5205	0.1019	0	0	0	0.0028	0.0161
2DCNN-AE	0.4286	0.0075	0.0147	0.4396	0.3123	0.1602	0.52	0.245	0.6002	0.1206	0.375	0.5	0.4286	0.6439	0.17
LSTM-AE	0.3878	0.255	0.3077	0.5187	0.3401	0	0	0	0.5182	0.0996	0.0714	0.2222	0.1081	0.4102	0.0625
HIFI	0.371	0.23	0.284	0.4348	0.2898	0.1421	0.405	0.2104	0.6164	0.1202	0	0	0	0.0412	0.0163
RN	0.5238	0.0825	0.1425	0.4101	0.3563	0	0	0	0.311	0.0688	0	0	0	0	0
RAE	0.7672	0.3625	0.4924	0.6876	0.5857	0.3021	0.0725	0.1169	0.6648	0.168	0	0	0	0	0
Omni	0.6667	0.01	0.0197	0.5138	0.3688	0.0984	0.26	0.1428	0.5206	0.104	0.2449	0.6667	0.3582	0.8308	0.1723
BeatGAN	0	0	0	0.3914	0.2758	0	0	0	0.393	0.0746	0	0	0	0.3464	0.027
LSTM-NDT	0.6667	0.01	0.0197	0.4191	0.3458	0.1087	0.2825	0.1569	0.4606	0.0917	0	0	0	0	0
NAB-rogue-stationary					NAB-speed-stationary					NAB-TravelTime-stationary					
	Pre	Rec	F1	ROC	PR	Pre	Rec	F1	ROC	PR	Pre	Rec	F1	ROC	PR
CNN-AE	0.0298	0.017	0.0217	0.4849	0.0942	0.8849	0.5959	0.7122	0.7958	0.653	0	0	0	0.3961	0.0794
2DCNN-AE	0.0545	0.0227	0.0321	0.5467	0.1008	0.7718	0.2122	0.3329	0.715	0.6066	0.2949	0.4589	0.359	0.794	0.2242
LSTM-AE	0.0238	0.0076	0.0115	0.4467	0.0751	0.5833	0.0775	0.1368	0.578	0.4396	0.1418	0.2424	0.1789	0.5872	0.1413
HIFI	0	0	0	0.5953	0.1508	0.6695	0.1458	0.2394	0.5841	0.4253	0.2643	0.1905	0.2214	0.609	0.169
RN	0.0282	0.0284	0.0283	0.4591	0.0641	0.25	0.0205	0.0379	0.4256	0.3311	0.1631	0.2121	0.1844	0.5723	0.1267
RAE	0.1296	0.4375	0.1999	0.5696	0.1502	0.3472	0.0466	0.0821	0.448	0.3155	0.2757	0.1277	0.1746	0.6	0.1681
Omni	0.0071	0.0019	0.003	0.5204	0.0977	0.5455	0.1661	0.2546	0.5974	0.4745	0.1623	0.1623	0.1623	0.5004	0.1153
BeatGAN	0	0	0	0.4804	0.0879	0.5638	0.1956	0.2904	0.6305	0.447	0	0	0	0.5551	0.1328
LSTM-NDT	0.1199	0.2576	0.1637	0.4773	0.1013	0.673	0.1993	0.3075	0.6032	0.5518	0.2144	0.2511	0.2313	0.5606	0.1689
NAB-Twitter-stationary															
	Pre	Rec	F1	ROC	PR										
CNN-AE	0.2058	0.1343	0.1625	0.5327	0.149										
2DCNN-AE	0.2675	0.2722	0.2698	0.6201	0.2454										
LSTM-AE	0.1605	0.0602	0.0876	0.4532	0.114										
HIFI	0.3883	0.1645	0.2311	0.6537	0.2842										
RN	0.1528	0.2306	0.1838	0.5221	0.1646										
RAE	0.1217	0.0505	0.0713	0.4495	0.1199										
Omni	0.1526	0.0768	0.1021	0.4984	0.1307										
BeatGAN	0.1872	0.2852	0.226	0.559	0.1752										
LSTM-NDT	0.1939	0.1992	0.1965	0.5689	0.1783										

Table 60: Results of DL Methods (Stationary vs. Non-stationary; Sliding window size=128, Hidden size=64)

NAB-ambient-Nonstationary					NAB-art-stationary					NAB-cpu-stationary					
	Pre	Rec	F1	ROC	PR	Pre	Rec	F1	ROC	PR	Pre	Rec	F1	ROC	PR
CNN-AE	0.3586	0.1436	0.2051	0.5955	0.266	0.0115	0.0356	0.0174	0.1819	0.1178	0.996	0.1682	0.2878	0.3954	0.3964
2DCNN-AE	0.3085	0.1602	0.2109	0.5634	0.2358	0.1339	0.0639	0.0865	0.1889	0.1338	0.6089	0.4292	0.5035	0.7103	0.4616
LSTM-AE	0.6098	0.0691	0.1241	0.641	0.2868	0.1595	0.0586	0.0857	0.1432	0.1196	0.399	0.0554	0.0973	0.4204	0.2894
HIFI	0.3141	0.1657	0.217	0.5611	0.2442	0.4124	0.1571	0.2276	0.2358	0.1774	0.6214	0.1435	0.2332	0.5431	0.428
RN	0	0	0	0.3832	0.1345	0.1286	0.0968	0.1105	0.254	0.1068	0.4816	0.5694	0.5219	0.6393	0.4112
RAE	0.3611	0.1436	0.2055	0.5616	0.2706	0.3216	0.0885	0.1388	0.1948	0.0966	0.9925	0.0881	0.1619	0.4196	0.3519
Omni	0.5714	0.1105	0.1852	0.6413	0.2868	0.2176	0.1211	0.1556	0.2343	0.176	0.4625	0.5441	0.5	0.6001	0.3764
BeatGAN	0.5676	0.058	0.1053	0.6469	0.2796	0.0957	0.0288	0.0443	0.17	0.12	0.9935	0.2056	0.3407	0.3974	0.4135
LSTM-NDT	0.2181	0.2127	0.2154	0.5252	0.1908	0.0714	0.1542	0.0976	0.2668	0.1202	0.7476	0.4626	0.5715	0.6572	0.5781
NAB-ec2-Nonstationary					NAB-ec2-stationary					NAB-elb-stationary					
	Pre	Rec	F1	ROC	PR	Pre	Rec	F1	ROC	PR	Pre	Rec	F1	ROC	PR
CNN-AE	0.4886	0.2143	0.2979	0.4762	0.3643	0.1667	0.1255	0.1432	0.4057	0.1573	0.5556	0.025	0.0478	0.7813	0.4513
2DCNN-AE	0.9765	0.4834	0.6467	0.829	0.7637	0.1812	0.1943	0.1875	0.5842	0.2066	0	0	0	0.8379	0.4765
LSTM-AE	0.5833	0.0116	0.0228	0.3383	0.2174	0.0991	0.116	0.1069	0.3934	0.1039	0	0	0	0.3491	0.1177
HIFI	0.9579	0.3023	0.4596	0.6337	0.5245	0.1451	0.1274	0.1357	0.5403	0.1851	0	0	0	0.8556	0.5187
RN	0.3075	0.3037	0.3056	0.6754	0.4649	0.0837	0.1088	0.0946	0.4242	0.1267	0.1667	0.175	0.1707	0.4791	0.1746
RAE	0.559	0.3326	0.4171	0.5399	0.3299	0.1128	0.073	0.0887	0.4525	0.1328	0	0	0	0.3995	0.1489
Omni	0.4284	0.5664	0.4878	0.6977	0.5142	0.122	0.1777	0.1446	0.455	0.1488	0.2744	0.295	0.2843	0.5795	0.236
BeatGAN	0	0	0	0.25	0.2518	0.1866	0.1597	0.1721	0.5227	0.1642	0.8878	0.87	0.8788	0.9873	0.9569
LSTM-NDT	0.2982	0.2045	0.2426	0.5335	0.3494	0.1367	0.1777	0.1545	0.4174	0.1459	0.3472	0.25	0.2907	0.6184	0.3078
NAB-exchange-Nonstationary					NAB-exchange-stationary					NAB-grok-Nonstationary					
	Pre	Rec	F1	ROC	PR	Pre	Rec	F1	ROC	PR	Pre	Rec	F1	ROC	PR
CNN-AE	0.058	0.0599	0.0589	0.2436	0.1194	0.0432	0.018	0.0254	0.5592	0.1329	0.8889	0.2597	0.402	0.7949	0.4694
2DCNN-AE	0.1676	0.2007	0.1827	0.489	0.1782	0.0696	0.0676	0.0686	0.5187	0.1279	0.8837	0.4935	0.6333	0.8981	0.7181
LSTM-AE	0.0448	0.0106	0.0171	0.6489	0.4358	0	0	0	0.5575	0.1342	0	0	0	0.4589	0.1434
HIFI	0.1853	0.169	0.1768	0.3959	0.1525	0.0685	0.045	0.0543	0.5002	0.1123	0.4	0.013	0.0252	0.5813	0.2434
RN	0.022	0.0123	0.0158	0.1421	0.0351	0.086	0.0756	0.0804	0.4583	0.1059	0.2683	1	0.4231	0.8415	0.3387
RAE	0.3011	0.1728	0.2196	0.3311	0.1108	0.1368	0.1713	0.1521	0.5678	0.17	0	0	0	0.1641	0.0698
Omni	0.0841	0.0669	0.0745	0.4231	0.1517	0.0724	0.0743	0.0733	0.5282	0.1316	0	0	0	0.3843	0.0827
BeatGAN	0.5833	0.0246	0.0473	0.5588	0.2124	0.0349	0.0135	0.0195	0.499	0.1144	0.7808	0.3701	0.5022	0.8774	0.5382
LSTM-NDT	0.0762	0.1605	0.1034	0.2394	0.0499	0.2243	0.2141	0.2191	0.551	0.2298	0.204	0.6688	0.3126	0.7001	0.2458
NAB-iao-Nonstationary					NAB-nyc-stationary					NAB-occupancy-stationary					
	Pre	Rec	F1	ROC	PR	Pre	Rec	F1	ROC	PR	Pre	Rec	F1	ROC	PR
CNN-AE	0	0	0	0.3747	0.0737	0.2518	0.2581	0.2549	0.5702	0.2404	0.1373	0.015	0.0271	0.4155	0.3015
2DCNN-AE	0	0	0	0.7439	0.173	0.2208	0.2463	0.2328	0.484	0.2019	0.4337	0.1545	0.2278	0.5911	0.3854
LSTM-AE	0.2395	0.3226	0.2749	0.564	0.1397	0.27	0.2478	0.2584	0.624	0.3151	0.4088	0.1395	0.208	0.5354	0.3792
HIFI	0	0	0	0.5039	0.0918	0.2307	0.2713	0.2493	0.4965	0.2062	0.4472	0.1545	0.2297	0.6234	0.4021
RN	0.3281	0.3387	0.3333	0.3604	0.2099	0	0	0	0.4491	0.1768	0.134	0.0383	0.0596	0.3907	0.234
RAE	0.8333	0.0403	0.0769	0.5264	0.3161	0.1535	0.0502	0.0756	0.496	0.1982	0.3457	0.0826	0.1333	0.5206	0.3187
Omni	0.2346	0.3387	0.2772	0.5434	0.137	0.2413	0.2757	0.2574	0.4986	0.2092	0.381	0.1545	0.2198	0.5105	0.3722
BeatGAN	0.3264	0.6371	0.4317	0.8235	0.2312	0.1556	0.1026	0.1237	0.5332	0.2233	0.3377	0.1094	0.1653	0.4874	0.3035
LSTM-NDT	0.4	0.3548	0.3761	0.7276	0.3139	0.116	0.0858	0.0986	0.4045	0.1689	0.3724	0.2153	0.2729	0.5387	0.3518
NAB-rds-stationary					NAB-rds-Nonstationary					NAB-rogue-Nonstationary					
	Pre	Rec	F1	ROC	PR	Pre	Rec	F1	ROC	PR	Pre	Rec	F1	ROC	PR
CNN-AE	0.4545	0.25	0.3226	0.4912	0.3906	0.0974	0.2475	0.1398	0.5059	0.0995	0	0	0	0.0239	0.0164
2DCNN-AE	0	0	0	0.4022	0.2813	0.1418	0.4	0.2094	0.5058	0.0996	0.4231	0.6111	0.5	0.7622	0.2636
LSTM-AE	0.6667	0.01	0.0197	0.5106	0.3647	0	0	0	0.5184	0.1	0.3913	0.5	0.439	0.757	0.2107
HIFI	0.3849	0.255	0.3068	0.604	0.3711	0.1039	0.24	0.145	0.538	0.1035	0.0323	0.0556	0.0408	0.0977	0.0175
RN	0.2	0.0025	0.0049	0.2849	0.2747	0	0	0	0.311	0.0688	0	0	0	0	0
RAE	0.7531	0.305	0.4342	0.6875	0.6086	0.25	0.0025	0.005	0.5833	0.1515	0	0	0	0	0
Omni	0.6667	0.01	0.0197	0.5308	0.3777	0.1026	0.275	0.1495	0.5105	0.1017	0.2766	0.7222	0.4	0.7745	0.2074
BeatGAN	0.9245	0.1225	0.2163	0.506	0.482	0.0079	0.0125	0.0097	0.5473	0.0999	0	0	0	0.6493	0.0559
LSTM-NDT	0.7059	0.27	0.3906	0.5866	0.5383	0.1584	0.4975	0.2403	0.6142	0.2007	0	0	0	0	0
NAB-rogue-stationary					NAB-speed-stationary					NAB-TravelTime-stationary					
	Pre	Rec	F1	ROC	PR	Pre	Rec	F1	ROC	PR	Pre	Rec	F1	ROC	PR
CNN-AE	0.0931	0.1117	0.1015	0.5311	0.1052	0.8871	0.5941	0.7116	0.7969	0.6487	0	0	0	0.3994	0.0806
2DCNN-AE	0.0583	0.0227	0.0327	0.5404	0.0994	0.7103	0.19	0.2999	0.6907	0.5034	0.2397	0.2771	0.257	0.796	0.2256
LSTM-AE	0.126	0.2424	0.1658	0.4988	0.0985	0.625	0.1015	0.1746	0.5859	0.4555	0.1667	0.2771	0.2081	0.4938	0.1307
HIFI	0	0	0	0.2983	0.066	0.5401	0.1365	0.218	0.5802	0.4178	0.1789	0.1104	0.1365	0.5785	0.1553
RN	0.0282	0.0284	0.0283	0.4591	0.0641	0.2857	0.0037	0.0074	0.4822	0.324	0.0752	0.1364	0.0969	0.4418	0.0924
RAE	0.1394	0.2973	0.1898	0.5651	0.1201	0.2879	0.0354	0.063	0.4743	0.3483	0.0748	0.0238	0.0361	0.4825	0.102
Omni	0.0374	0.0133	0.0196	0.5132	0.0965	0.64	0.1476	0.2399	0.5988	0.4767	0.1452	0.3961	0.2125	0.5955	0.148
BeatGAN	0.1479	0.2311	0.1803	0.6957	0.1485	0.3801	0.2048	0.2662	0.5917	0.4495	0	0	0	0.6068	0.1305
LSTM-NDT	0.1169	0.3504	0.1753	0.4944	0.1048	0.6581	0.1899	0.2948	0.5963	0.5448	0.1882	0.4004	0.2561	0.6074	0.1731
NAB-Twitter-stationary															
	Pre	Rec	F1	ROC	PR										
CNN-AE	0.1772	0.1922	0.1844	0.5649	0.1841										
2DCNN-AE	0.4046	0.4125	0.4085	0.7551	0.3932										
LSTM-AE	0.1807	0.0992	0.1281	0.4668	0.123										
HIFI	0.2488	0.1339	0.1741	0.608	0.222										
RN	0.1351	0.2321	0.1708	0.5266	0.1497										
RAE	0.1273	0.1175	0.1222	0.4684	0.1146										
Omni	0.2001	0.0946	0.1285	0.501	0.1349										
BeatGAN	0.2844	0.2097	0.2414	0.6324	0.291										
LSTM-NDT	0.1621	0.2195	0.1865	0.5586	0.1676										

Table 61: Results of DL Methods (Stationary vs. Non-stationary; Sliding window size=128, Hidden size=128)

	NAB-ambient-Nonstationary					NAB-art-stationary					NAB-cpu-stationary				
	Pre	Rec	F1	ROC	PR	Pre	Rec	F1	ROC	PR	Pre	Rec	F1	ROC	PR
CNN-AE	0.3543	0.1243	0.184	0.5876	0.2545	0.1705	0.0538	0.0818	0.1662	0.112	1	0.0013	0.0027	0.2819	0.1926
2DCNN-AE	0.2803	0.1215	0.1696	0.5461	0.2214	0.1772	0.0754	0.1058	0.1829	0.1318	0.6773	0.3405	0.4531	0.6821	0.477
LSTM-AE	0.6098	0.0691	0.1241	0.6426	0.2875	0.2281	0.0812	0.1198	0.1548	0.1156	0.4252	0.1215	0.189	0.5394	0.3343
HIFI	0.3229	0.1713	0.2238	0.5638	0.2422	0.3753	0.1374	0.2012	0.2265	0.1739	0.6265	0.1355	0.2228	0.5149	0.4002
RN	-1	-1	-1	-1	-1	-1	-1	-1	-1	-1	-1	-1	-1	-1	-1
RAE	0.0573	0.0497	0.0533	0.4603	0.1509	0.3172	0.0726	0.1182	0.2257	0.1147	0.5268	0.0394	0.0733	0.3753	0.2636
Omni	0.6	0.0746	0.1327	0.6425	0.2859	0.1531	0.0726	0.0985	0.206	0.1378	0.8	0.0053	0.0106	0.3515	0.2255
BeatGAN	0.6341	0.0718	0.129	0.6349	0.2821	0	0	0	0.2622	0.1403	0.9831	0.0387	0.0745	0.3475	0.3272
LSTM-NDT	0.2145	0.1878	0.2003	0.5291	0.1926	0.0696	0.1459	0.0942	0.266	0.1241	0.6969	0.4252	0.5282	0.6704	0.5751
	NAB-ec2-Nonstationary					NAB-ec2-stationary					NAB-elb-stationary				
	Pre	Rec	F1	ROC	PR	Pre	Rec	F1	ROC	PR	Pre	Rec	F1	ROC	PR
CNN-AE	0.498	0.2093	0.2947	0.4028	0.3397	0.1659	0.1934	0.1786	0.4257	0.1566	0.0164	0.005	0.0077	0.3778	0.1228
2DCNN-AE	0.4984	0.5233	0.5105	0.6759	0.4874	0.1038	0.1396	0.1191	0.5497	0.1741	0.2669	0.335	0.2971	0.6406	0.2594
LSTM-AE	0.5008	0.5183	0.5094	0.6895	0.5466	0.1694	0.1	0.1258	0.494	0.1346	0	0	0	0.3595	0.1196
HIFI	0.443	0.3355	0.3819	0.4695	0.2909	0.2584	0.183	0.2143	0.5601	0.243	0	0	0	0.8475	0.5242
RN	-1	-1	-1	-1	-1	-1	-1	-1	-1	-1	-1	-1	-1	-1	-1
RAE	0.0109	0.0083	0.0094	0.3773	0.1726	0.0976	0.1072	0.1022	0.4065	0.1289	0.4625	0.185	0.2643	0.6448	0.3158
Omni	0.4714	0.5332	0.5004	0.6737	0.4784	0.1132	0.1736	0.1371	0.4468	0.1431	0.2724	0.35	0.3063	0.6402	0.2623
BeatGAN	0.4414	0.1628	0.2379	0.4249	0.277	0.1787	0.1748	0.1767	0.4111	0.1342	0.9024	0.185	0.3071	0.9654	0.842
LSTM-NDT	0.3117	0.1591	0.2107	0.5313	0.3572	0.1362	0.2267	0.1701	0.4256	0.149	0.3455	0.285	0.3123	0.6057	0.2959
	NAB-exchange-Nonstationary					NAB-exchange-stationary					NAB-grok-Nonstationary				
	Pre	Rec	F1	ROC	PR	Pre	Rec	F1	ROC	PR	Pre	Rec	F1	ROC	PR
CNN-AE	0.1461	0.1796	0.1611	0.5205	0.239	0.125	0.0203	0.0349	0.5026	0.1126	1	0.3182	0.4828	0.552	0.5388
2DCNN-AE	0.1534	0.1831	0.1669	0.475	0.1797	0.0533	0.0473	0.0501	0.5201	0.1263	0.5349	0.5974	0.5644	0.6894	0.6283
LSTM-AE	0.0739	0.0458	0.0565	0.3999	0.1452	0.1568	0.0833	0.1088	0.5807	0.1488	0	0	0	0.4777	0.147
HIFI	0.072	0.0317	0.044	0.3876	0.1653	0.1107	0.0608	0.0785	0.5677	0.1344	0.6579	0.1623	0.2604	0.5684	0.3292
RN	-1	-1	-1	-1	-1	-1	-1	-1	-1	-1	-1	-1	-1	-1	-1
RAE	0.0741	0.0123	0.0212	0.1897	0.0419	0.2178	0.0554	0.0884	0.5272	0.1321	0.5887	0.474	0.5252	0.7086	0.3717
Omni	0.0702	0.0704	0.0703	0.4448	0.1528	0.0889	0.1104	0.0985	0.5387	0.1385	0	0	0	0.4343	0.0953
BeatGAN	0.1081	0.0563	0.0741	0.3571	0.1395	0.0476	0.0023	0.0043	0.5315	0.1319	0.8298	0.5065	0.629	0.9149	0.6751
LSTM-NDT	0.0649	0.1235	0.0851	0.2401	0.0493	0.2447	0.262	0.253	0.5872	0.2798	0.2004	0.6753	0.3091	0.6903	0.2352
	NAB-iiio-Nonstationary					NAB-nyc-stationary					NAB-occupancy-stationary				
	Pre	Rec	F1	ROC	PR	Pre	Rec	F1	ROC	PR	Pre	Rec	F1	ROC	PR
CNN-AE	0	0	0	0.3687	0.0726	0.2547	0.2786	0.2661	0.5537	0.2325	0.1111	0.0064	0.0122	0.3611	0.2694
2DCNN-AE	0.2647	0.2903	0.2769	0.6178	0.1711	0.209	0.2243	0.2164	0.4756	0.199	0.4138	0.1545	0.225	0.5937	0.3896
LSTM-AE	0	0	0	0.3978	0.0775	0.2737	0.2581	0.2657	0.621	0.3293	0.3433	0.1717	0.2289	0.5306	0.3762
HIFI	0	0	0	0.4659	0.0916	0.2132	0.2361	0.2241	0.4815	0.2001	0.4246	0.1631	0.2357	0.608	0.3743
RN	-1	-1	-1	-1	-1	-1	-1	-1	-1	-1	-1	-1	-1	-1	-1
RAE	1	0.0161	0.0317	0.4879	0.1434	0.1091	0.0599	0.0773	0.4892	0.1922	0.3867	0.0855	0.1401	0.6199	0.3588
Omni	0.2211	0.3387	0.2675	0.5427	0.1343	0.2456	0.305	0.2721	0.5181	0.2142	0.3374	0.2361	0.2778	0.518	0.3554
BeatGAN	0.342	0.6371	0.4451	0.8631	0.2706	0.2125	0.1891	0.2002	0.5366	0.2233	0.3182	0.1052	0.1581	0.52	0.3184
LSTM-NDT	0.4022	0.2984	0.3426	0.6351	0.2474	0.0933	0.0227	0.0365	0.3385	0.1547	0.3687	0.1947	0.2548	0.532	0.3391
	NAB-rds-stationary					NAB-rds-Nonstationary					NAB-rogue-Nonstationary				
	Pre	Rec	F1	ROC	PR	Pre	Rec	F1	ROC	PR	Pre	Rec	F1	ROC	PR
CNN-AE	1	0.0075	0.0149	0.5399	0.3768	0.1359	0.37	0.1988	0.5738	0.1105	0	0	0	0.037	0.0163
2DCNN-AE	0.5714	0.01	0.0197	0.4817	0.3351	0.1558	0.485	0.2359	0.5785	0.1135	0.3333	0.3889	0.359	0.7246	0.1726
LSTM-AE	0.8	0.01	0.0198	0.5065	0.3692	0	0	0	0.5189	0.1002	0.2727	0.5	0.3529	0.7433	0.1736
HIFI	0.3963	0.2675	0.3194	0.5264	0.4306	0.0556	0.005	0.0092	0.552	0.119	0	0	0	0.0061	0.0161
RN	-1	-1	-1	-1	-1	-1	-1	-1	-1	-1	-1	-1	-1	-1	-1
RAE	0.7708	0.2775	0.4081	0.6703	0.5851	0.1039	0.0875	0.095	0.6579	0.1553	0	0	0	0	0
Omni	0.6667	0.01	0.0197	0.5102	0.3741	0.1022	0.26	0.1467	0.4817	0.0967	0.3333	0.5	0.4	0.7546	0.1892
BeatGAN	0.5	0.005	0.0099	0.4411	0.3041	0.1568	0.455	0.2332	0.4523	0.094	0.3636	0.2222	0.2759	0.623	0.1912
LSTM-NDT	0.6429	0.0225	0.0435	0.4223	0.3586	0.1577	0.4975	0.2395	0.6336	0.2289	0	0	0	0	0
	NAB-rogue-stationary					NAB-speed-stationary					NAB-TravelTime-stationary				
	Pre	Rec	F1	ROC	PR	Pre	Rec	F1	ROC	PR	Pre	Rec	F1	ROC	PR
CNN-AE	0.0774	0.0663	0.0714	0.5289	0.1064	0.8032	0.2786	0.4137	0.7678	0.5939	0.3034	0.1753	0.2222	0.6297	0.17
2DCNN-AE	0.0574	0.0227	0.0326	0.5623	0.0942	0.7482	0.1919	0.3054	0.7079	0.601	0.2693	0.4221	0.3288	0.7787	0.2325
LSTM-AE	0.1365	0.2841	0.1844	0.5598	0.1146	0.6667	0.1218	0.2059	0.5491	0.4373	0.1191	0.1537	0.1342	0.4195	0.0911
HIFI	0.1667	0.0114	0.0213	0.8364	0.3469	0.7561	0.1716	0.2797	0.6334	0.4607	0.3219	0.3874	0.3517	0.8059	0.2405
RN	-1	-1	-1	-1	-1	-1	-1	-1	-1	-1	-1	-1	-1	-1	-1
RAE	0.0992	0.2708	0.1453	0.5102	0.104	0.2366	0.041	0.0698	0.4051	0.2982	0.1852	0.0758	0.1075	0.5374	0.1275
Omni	0.0256	0.0076	0.0117	0.4984	0.0934	0.5256	0.2085	0.2985	0.6132	0.4734	0.1375	0.2208	0.1694	0.4738	0.1072
BeatGAN	0.1251	0.2178	0.1589	0.5176	0.1004	0.4545	0.2122	0.2893	0.6156	0.443	0.3629	0.381	0.3717	0.5942	0.166
LSTM-NDT	0.1259	0.1572	0.1398	0.5171	0.1137	0.6519	0.1918	0.2964	0.6005	0.5438	0.2162	0.2835	0.2453	0.6147	0.184
	NAB-Twitter-stationary														
	Pre	Rec	F1	ROC	PR										
CNN-AE	0.2274	0.1528	0.1828	0.5605	0.1754										
2DCNN-AE	0.2033	0.2184	0.2106	0.5678	0.1892										
LSTM-AE	0.1626	0.0199	0.0355	0.4399	0.1041										
HIFI	0.2693	0.0945	0.1399	0.583	0.1784										
RN	-1	-1	-1	-1	-1										
RAE	0.1904	0.0896	0.1219	0.5173	0.1261										
Omni	0.2074	0.075	0.1102	0.496	0.1305										
BeatGAN	0.3145	0.3638	0.3374	0.6951	0.3162										
LSTM-NDT	0.161	0.2024	0.1793	0.5497	0.1769										

Table 62: Results of DL Methods (Stationary vs. Non-stationary; Sliding window size=128, Hidden size=256)

NAB-ambient-Nonstationary						NAB-art-stationary					NAB-cpu-stationary				
	Pre	Rec	F1	ROC	PR	Pre	Rec	F1	ROC	PR	Pre	Rec	F1	ROC	PR
CNN-AE	0.2593	0.174	0.2083	0.5377	0.1907	0.2217	0.0639	0.0992	0.1817	0.1212	0	0	0	0.2703	0.1864
2DCNN-AE	0.3118	0.1602	0.2117	0.5624	0.2351	0.1486	0.0644	0.0898	0.2012	0.1405	0.6544	0.3438	0.4508	0.6958	0.4738
LSTM-AE	0.6098	0.0691	0.1241	0.644	0.2875	0.2333	0.0889	0.1287	0.1582	0.1211	0.3483	0.0828	0.1338	0.413	0.2688
HIFI	0.3226	0.1657	0.219	0.5592	0.2417	0.3654	0.1461	0.2087	0.2376	0.178	0.7532	0.1182	0.2043	0.5049	0.3997
RN	-1	-1	-1	-1	-1	-1	-1	-1	-1	-1	-1	-1	-1	-1	-1
RAE	0.2971	0.1436	0.1937	0.5422	0.2307	0.0939	0.0781	0.0853	0.217	0.0901	0.2825	0.1248	0.1731	0.4916	0.2899
Omni	0.5818	0.0884	0.1535	0.6423	0.2863	0.1224	0.0562	0.077	0.2149	0.1476	0.6685	0.0821	0.1463	0.505	0.3592
BeatGAN	0.25	0.0912	0.1336	0.4731	0.1784	0.28	0.037	0.0654	0.2439	0.1551	0.9904	0.1382	0.2425	0.5203	0.5093
LSTM-NDT	0.2155	0.1685	0.1891	0.5387	0.194	0.0771	0.1826	0.1084	0.2506	0.1216	0.6554	0.4927	0.5625	0.6962	0.5569
NAB-ec2-Nonstationary						NAB-ec2-stationary					NAB-elb-stationary				
	Pre	Rec	F1	ROC	PR	Pre	Rec	F1	ROC	PR	Pre	Rec	F1	ROC	PR
CNN-AE	0.4679	0.5083	0.4873	0.7273	0.4781	0.1562	0.2289	0.1857	0.4529	0.1784	1	0.225	0.3673	0.8393	0.5864
2DCNN-AE	0.8436	0.2508	0.3867	0.6886	0.5687	0.1335	0.1305	0.132	0.529	0.1586	0.278	0.335	0.3039	0.6514	0.2646
LSTM-AE	0.4485	0.3472	0.3914	0.4431	0.3266	0.1475	0.1478	0.1477	0.4132	0.1283	0.5	0.005	0.0099	0.3575	0.1208
HIFI	0.6199	0.2276	0.3329	0.5863	0.4196	0.2082	0.1635	0.1832	0.5321	0.2226	0.0909	0.005	0.0095	0.8469	0.4764
RN	-1	-1	-1	-1	-1	-1	-1	-1	-1	-1	-1	-1	-1	-1	-1
RAE	0.65	0.376	0.4764	0.7491	0.4534	0.1413	0.1122	0.1251	0.4436	0.1333	0.3889	0.07	0.1186	0.5822	0.2534
Omni	0.4346	0.5631	0.4906	0.7366	0.559	0.1561	0.1789	0.1667	0.4528	0.1397	0.2551	0.25	0.2525	0.5715	0.2302
BeatGAN	0	0	0	0.2797	0.3083	0.1933	0.1189	0.1472	0.4948	0.2123	0.8643	0.955	0.9074	0.9912	0.9721
LSTM-NDT	0.3532	0.1839	0.2418	0.4685	0.2616	0.1315	0.2422	0.1704	0.4344	0.1463	0.2614	0.23	0.2447	0.5723	0.2584
NAB-exchange-Nonstationary						NAB-exchange-stationary					NAB-grok-Nonstationary				
	Pre	Rec	F1	ROC	PR	Pre	Rec	F1	ROC	PR	Pre	Rec	F1	ROC	PR
CNN-AE	0.0488	0.0352	0.0409	0.2066	0.1108	0.1402	0.1509	0.1453	0.6262	0.1929	0.6508	0.2662	0.3779	0.7868	0.461
2DCNN-AE	0.1698	0.1937	0.1809	0.4737	0.1765	0.0909	0.1149	0.1015	0.5354	0.1406	0.9178	0.4351	0.5903	0.8854	0.7176
LSTM-AE	0.0588	0.0035	0.0066	0.6849	0.3782	0.0488	0.036	0.0415	0.4894	0.1159	0	0	0	0.4474	0.1185
HIFI	0.1667	0.169	0.1678	0.583	0.2172	0.1469	0.1171	0.1303	0.6081	0.1582	0	0	0	0.5911	0.1711
RN	-1	-1	-1	-1	-1	-1	-1	-1	-1	-1	-1	-1	-1	-1	-1
RAE	0.0417	0.0247	0.031	0.1982	0.0418	0.1078	0.1738	0.1331	0.5183	0.125	0.661	0.5065	0.5735	0.6529	0.5802
Omni	0.1613	0.0352	0.0578	0.5353	0.1875	0.0804	0.1644	0.108	0.5537	0.1391	0	0	0	0.3183	0.0758
BeatGAN	0.0682	0.0211	0.0323	0.4364	0.1573	0.1667	0.0023	0.0044	0.5152	0.1207	0	0	0	0.4167	0.2025
LSTM-NDT	0.0433	0.0802	0.0563	0.2385	0.0481	0.1784	0.2292	0.2007	0.5342	0.2037	0.1973	0.6688	0.3047	0.6779	0.2251
NAB-iiio-Nonstationary						NAB-nyc-stationary					NAB-occupancy-stationary				
	Pre	Rec	F1	ROC	PR	Pre	Rec	F1	ROC	PR	Pre	Rec	F1	ROC	PR
CNN-AE	0.2276	0.6774	0.3408	0.6972	0.2034	0.2516	0.2889	0.2689	0.5252	0.2195	0.2697	0.1395	0.1839	0.4465	0.296
2DCNN-AE	0.2569	0.2258	0.2403	0.5944	0.1782	0.2209	0.2449	0.2323	0.4826	0.2016	0.4217	0.1502	0.2215	0.5939	0.3843
LSTM-AE	0	0	0	0.4055	0.0779	0.2859	0.2683	0.2769	0.631	0.3257	0.75	0.0064	0.0128	0.5065	0.3559
HIFI	0	0	0	0.5063	0.1176	0.2154	0.2302	0.2225	0.478	0.2001	0.4011	0.1609	0.2297	0.5302	0.3327
RN	-1	-1	-1	-1	-1	-1	-1	-1	-1	-1	-1	-1	-1	-1	-1
RAE	0.0305	0.0323	0.0314	0.4601	0.1101	0.3226	0.0162	0.0308	0.4906	0.2051	0.2353	0.0236	0.0429	0.6061	0.3125
Omni	0.175	0.1694	0.1721	0.5114	0.1032	0.2468	0.3079	0.274	0.5171	0.2139	0.3819	0.2082	0.2694	0.5105	0.3619
BeatGAN	0	0	0	0.4952	0.2069	0.2434	0.2449	0.2442	0.5519	0.2303	0.803	0.1137	0.1992	0.5002	0.3981
LSTM-NDT	0.3645	0.3145	0.3377	0.6359	0.2475	0.1063	0.0356	0.0533	0.3622	0.1596	0.3441	0.1888	0.2438	0.5381	0.3357
NAB-rds-stationary						NAB-rds-Nonstationary					NAB-rogue-Nonstationary				
	Pre	Rec	F1	ROC	PR	Pre	Rec	F1	ROC	PR	Pre	Rec	F1	ROC	PR
CNN-AE	0.5238	0.2475	0.3362	0.468	0.4228	0.1226	0.33	0.1787	0.5418	0.1043	0.5	0.2222	0.3077	0.8965	0.2348
2DCNN-AE	0.5	0.01	0.0196	0.4774	0.331	0.2408	0.3775	0.2941	0.711	0.2051	0.4091	0.5	0.45	0.701	0.1673
LSTM-AE	0.8	0.01	0.0198	0.5055	0.3692	0	0	0	0.5188	0.1007	0.2432	0.5	0.3273	0.7487	0.1634
HIFI	0.3802	0.25	0.3017	0.4489	0.3095	0.0526	0.0025	0.0048	0.4522	0.0841	0.0208	0.0556	0.0303	0.3522	0.0225
RN	-1	-1	-1	-1	-1	-1	-1	-1	-1	-1	-1	-1	-1	-1	-1
RAE	0.7716	0.3125	0.4448	0.6702	0.599	0.6667	0.005	0.0099	0.5765	0.244	0	0	0	0	0
Omni	0.6667	0.01	0.0197	0.5599	0.4007	0	0	0	0.5253	0.1005	0.2812	0.5	0.36	0.7544	0.1741
BeatGAN	0.548	0.2425	0.3362	0.4972	0.4479	0	0	0	0.6199	0.1171	0	0	0	0.1048	0.0176
LSTM-NDT	0.7556	0.255	0.3813	0.6544	0.5927	0.1071	0.275	0.1542	0.4693	0.108	0	0	0	0	0
NAB-rogue-stationary						NAB-speed-stationary					NAB-TravelTime-stationary				
	Pre	Rec	F1	ROC	PR	Pre	Rec	F1	ROC	PR	Pre	Rec	F1	ROC	PR
CNN-AE	0.09	0.0492	0.0636	0.5224	0.1086	0.5285	0.1199	0.1955	0.6421	0.4362	0.2904	0.3225	0.3056	0.7378	0.1968
2DCNN-AE	0.0602	0.0284	0.0386	0.5414	0.0934	0.784	0.2343	0.3608	0.7667	0.6084	0.1677	0.355	0.2278	0.6469	0.1671
LSTM-AE	0.1299	0.2386	0.1682	0.5666	0.1159	0.5619	0.1089	0.1824	0.5252	0.4108	0.2222	0.013	0.0245	0.4044	0.0864
HIFI	0	0	0	0.3544	0.0706	0.587	0.0498	0.0918	0.5315	0.3528	0.3537	0.3009	0.3251	0.5895	0.1715
RN	-1	-1	-1	-1	-1	-1	-1	-1	-1	-1	-1	-1	-1	-1	-1
RAE	0.1263	0.0473	0.0689	0.5531	0.1375	0.3376	0.0987	0.1527	0.4847	0.3768	0.1845	0.1082	0.1364	0.6178	0.1542
Omni	0.0551	0.0701	0.0617	0.475	0.0904	0.3103	0.1162	0.1691	0.4532	0.2902	0.1226	0.0952	0.1072	0.4447	0.0968
BeatGAN	0.2889	0.0985	0.1469	0.5795	0.1352	0.5134	0.2122	0.3003	0.5152	0.3835	0	0	0	0.2168	0.06
LSTM-NDT	0.1108	0.1383	0.123	0.4735	0.1016	0.6533	0.1825	0.2853	0.5846	0.5303	0.191	0.3853	0.2554	0.611	0.1799
NAB-Twitter-stationary															
	Pre	Rec	F1	ROC	PR										
CNN-AE	0.2791	0.2661	0.2725	0.6664	0.2575										
2DCNN-AE	0.1761	0.2164	0.1942	0.5636	0.1849										
LSTM-AE	0.1846	0.0269	0.0469	0.4414	0.1055										
HIFI	0.3293	0.1853	0.2371	0.6792	0.2815										
RN	-1	-1	-1	-1	-1										
RAE	0.138	0.0962	0.1134	0.5083	0.1395										
Omni	0.1636	0.0886	0.115	0.4991	0.1309										
BeatGAN	0.254	0.2486	0.2513	0.6601	0.2921										
LSTM-NDT	0.1568	0.1322	0.1435	0.5185	0.1536										

Table 63: Results of DL Methods (Stationary vs. Non-stationary; Sliding window size=256, Hidden size=16)

NAB-ambient-Nonstationary					NAB-art-stationary					NAB-cpu-stationary					
Pre	Rec	F1	ROC	PR	Pre	Rec	F1	ROC	PR	Pre	Rec	F1	ROC	PR	
CNN-AE	0	0	0	0.3582	0.1205	0	0	0	0.1842	0.2128	0	0	0	0.5	0.6383
2DCNN-AE	0.0392	0.011	0.0172	0.5075	0.1637	0.4418	0.1514	0.2255	0.2937	0.2299	0.4641	0.5481	0.5026	0.5972	0.3841
LSTM-AE	0.6429	0.0746	0.1337	0.6473	0.2991	0.1226	0.0975	0.1086	0.3029	0.1964	1	0.1522	0.2642	0.3987	0.3853
HIFI	0.133	0.0856	0.1042	0.5073	0.1655	0.3515	0.2672	0.3036	0.3056	0.2374	0.6475	0.2477	0.3583	0.6703	0.5559
RN	0.127	0.0221	0.0376	0.5288	0.2054	0.0251	0.2171	0.045	0.2735	0.0564	0.3149	0.2857	0.2996	0.5704	0.3074
RAE	0.069	0.0221	0.0335	0.4523	0.1621	0.0176	0.0732	0.0283	0.2669	0.0791	0.5619	0.1909	0.285	0.5161	0.3825
Omni	0.5862	0.0939	0.1619	0.6399	0.2934	0.1229	0.0634	0.0837	0.2107	0.1581	0.3648	0.0981	0.1547	0.3509	0.2845
BeatGAN	0.4132	0.1381	0.207	0.602	0.2655	0.0256	0.0005	0.0009	0.2	0.1559	0.7553	0.3812	0.5067	0.8062	0.7182
LSTM-NDT	0.2439	0.1381	0.1764	0.4769	0.1865	0.0403	0.1588	0.0643	0.1861	0.0476	0.6721	0.4146	0.5128	0.7181	0.6272
NAB-ec2-Nonstationary					NAB-ec2-stationary					NAB-elb-stationary					
Pre	Rec	F1	ROC	PR	Pre	Rec	F1	ROC	PR	Pre	Rec	F1	ROC	PR	
CNN-AE	0	0	0	0.5	0.6244	0	0	0	0.4407	0.4657	0	0	0	0.5	0.5826
2DCNN-AE	0.4984	0.5083	0.5033	0.6777	0.4929	0.1551	0.077	0.1029	0.4371	0.1641	0.1818	0.13	0.1516	0.6487	0.2189
LSTM-AE	0.6987	0.1811	0.2876	0.5847	0.4303	0.1196	0.1582	0.1362	0.4602	0.1209	0.2616	0.365	0.3048	0.6288	0.2515
HIFI	0.8832	0.603	0.7167	0.8286	0.6966	0.1999	0.0843	0.1186	0.4833	0.1843	0.0779	0.03	0.0433	0.6573	0.2158
RN	0.1048	0.0323	0.0494	0.3405	0.2536	0.1028	0.2324	0.1425	0.5197	0.2149	0	0	0	0.6771	0.3308
RAE	0.1282	0.0124	0.0227	0.1851	0.1684	0.1253	0.1282	0.1267	0.4159	0.1362	0.1429	0.015	0.0271	0.4201	0.1746
Omni	0.4944	0.5166	0.5053	0.6324	0.451	0.1042	0.1525	0.1238	0.3921	0.127	0.2604	0.25	0.2551	0.5712	0.2347
BeatGAN	0.1701	0.0814	0.1101	0.236	0.1825	0.164	0.1758	0.1697	0.4795	0.1666	0.0526	0.005	0.0091	0.6516	0.2219
LSTM-NDT	0.4127	0.3881	0.4	0.246	0.2244	0.1453	0.3019	0.1962	0.4722	0.197	0	0	0	0.3241	0.1464
NAB-exchange-Nonstationary					NAB-exchange-stationary					NAB-grok-Nonstationary					
Pre	Rec	F1	ROC	PR	Pre	Rec	F1	ROC	PR	Pre	Rec	F1	ROC	PR	
CNN-AE	0.2	0.0106	0.0201	0.4961	0.2126	0.0882	0.0135	0.0234	0.4878	0.1096	0.1493	0.5584	0.2356	0.5823	0.1483
2DCNN-AE	0.0952	0.0493	0.065	0.3658	0.1462	0.0675	0.0608	0.064	0.5119	0.133	0	0	0	0.5061	0.5132
LSTM-AE	0.0573	0.0528	0.0549	0.4059	0.1448	0.0278	0.0045	0.0078	0.5565	0.1383	0	0	0	0.4706	0.1733
HIFI	0	0	0	0.4439	0.2224	0.0277	0.0158	0.0201	0.4948	0.1115	0.7917	0.4935	0.608	0.8979	0.6906
RN	1	0.0658	0.1235	0.2477	0.0926	0.0714	0.0092	0.0163	0.3443	0.0874	0	0	0	0.2662	0.0905
RAE	0.15	0.0395	0.0625	0.2925	0.0845	0.1146	0.1131	0.1138	0.4344	0.093	0	0	0	0.2025	0.0827
Omni	0.0637	0.0458	0.0533	0.409	0.1462	0.1012	0.0788	0.0886	0.5742	0.1514	0	0	0	0.4549	0.1272
BeatGAN	0.0303	0.0035	0.0063	0.4467	0.2347	0.0909	0.0113	0.02	0.5154	0.1284	0	0	0	0.3344	0.0803
LSTM-NDT	0.092	0.1579	0.1162	0.2507	0.0536	0.2415	0.2385	0.24	0.487	0.2039	0.26	0.7208	0.3821	0.7567	0.3164
NAB-iao-Nonstationary					NAB-nyc-stationary					NAB-occupancy-stationary					
Pre	Rec	F1	ROC	PR	Pre	Rec	F1	ROC	PR	Pre	Rec	F1	ROC	PR	
CNN-AE	0	0	0	0.0639	0.0534	0	0	0	0.5	0.6101	0.6397	0.1867	0.289	0.5489	0.4483
2DCNN-AE	0.3	0.2661	0.2821	0.6152	0.1877	0.1888	0.1935	0.1912	0.4703	0.1969	0.4224	0.1459	0.2169	0.538	0.3842
LSTM-AE	0	0	0	0.3473	0.071	0.6	0.0044	0.0087	0.3695	0.1697	0.3101	0.0858	0.1345	0.4486	0.2915
HIFI	0	0	0	0.2281	0.0601	0.2006	0.2023	0.2015	0.511	0.2092	0.4912	0.1202	0.1931	0.462	0.3321
RN	0.4029	0.9432	0.5646	0.894	0.3093	0.2615	0.11	0.1549	0.491	0.2247	0.6047	0.1048	0.1787	0.2863	0.3016
RAE	0.0991	0.125	0.1106	0.4868	0.1247	0.2135	0.0307	0.0537	0.5039	0.2182	0.4	0.0323	0.0597	0.2551	0.2786
Omni	0	0	0	0.3916	0.0762	0.2898	0.3387	0.3124	0.5847	0.2823	0.3918	0.2253	0.2861	0.5689	0.3775
BeatGAN	0.3523	1	0.521	0.8603	0.2575	0.2445	0.1628	0.1954	0.5991	0.2834	0.25	0.0021	0.0043	0.4518	0.351
LSTM-NDT	0.1299	0.1136	0.1212	0.503	0.1143	0.296	0.1327	0.1832	0.5882	0.2675	0.451	0.2782	0.3441	0.2852	0.3351
NAB-rds-stationary					NAB-rds-Nonstationary					NAB-rogue-Nonstationary					
Pre	Rec	F1	ROC	PR	Pre	Rec	F1	ROC	PR	Pre	Rec	F1	ROC	PR	
CNN-AE	0	0	0	0.5	0.6653	0	0	0	0.5	0.5496	0.0149	0.0556	0.0235	0.2725	0.0217
2DCNN-AE	0.75	0.0075	0.0149	0.4712	0.3269	0.1017	0.26	0.1462	0.4816	0.0966	0.3333	0.3889	0.359	0.7068	0.147
LSTM-AE	0.1481	0.01	0.0187	0.4944	0.3203	0.0952	0.005	0.0095	0.5159	0.1062	0.0339	0.2222	0.0588	0.326	0.0235
HIFI	0.3949	0.2725	0.3225	0.5216	0.338	0.4595	0.085	0.1435	0.5852	0.1636	0	0	0	0.015	0.0163
RN	0.8095	0.0559	0.1046	0.5197	0.36	0	0	0	0.3256	0.073	0	0	0	0	0
RAE	0.3143	0.0362	0.0649	0.5207	0.3322	0	0	0	0.309	0.0714	0	0	0	0	0
Omni	1	0.0075	0.0149	0.6027	0.4307	0.0227	0.0025	0.0045	0.5387	0.1275	0.3214	0.5	0.3913	0.7428	0.1894
BeatGAN	0.04	0.005	0.0089	0.4257	0.2823	0.0196	0.0025	0.0044	0.4496	0.0828	0.0328	0.1111	0.0506	0.3405	0.0286
LSTM-NDT	0.8	0.0132	0.0259	0.519	0.3454	0.1097	0.285	0.1584	0.4486	0.0923	0	0	0	0	0
NAB-rogue-stationary					NAB-speed-stationary					NAB-TravelTime-stationary					
Pre	Rec	F1	ROC	PR	Pre	Rec	F1	ROC	PR	Pre	Rec	F1	ROC	PR	
CNN-AE	0	0	0	0.5	0.5497	0	0	0	0.3615	0.2298	0	0	0	0.5	0.5496
2DCNN-AE	0.0338	0.0265	0.0297	0.5533	0.1005	0.6562	0.155	0.2507	0.6376	0.4865	0.1494	0.2468	0.1861	0.5902	0.1489
LSTM-AE	0.1056	0.1136	0.1095	0.5011	0.098	0.6814	0.1421	0.2351	0.611	0.491	0.136	0.1234	0.1294	0.4156	0.0936
HIFI	0	0	0	0.3208	0.0669	0.2857	0.0148	0.0281	0.6154	0.3498	0.2767	0.2078	0.2373	0.7225	0.2442
RN	0.0242	0.0227	0.0235	0.4583	0.0635	0	0	0	0.2274	0.2804	0.0744	0.1212	0.0922	0.4973	0.1041
RAE	0	0	0	0.5077	0.1193	0.7302	0.0947	0.1676	0.3418	0.3575	0.0791	0.0476	0.0595	0.4757	0.1037
Omni	0.0277	0.0152	0.0196	0.5255	0.0977	0.6789	0.1365	0.2273	0.5745	0.4616	0.0293	0.0281	0.0287	0.4303	0.0823
BeatGAN	0	0	0	0.3615	0.0726	0.5306	0.048	0.088	0.6026	0.3985	0	0	0	0.3992	0.0776
LSTM-NDT	0.0234	0.0152	0.0184	0.4915	0.0802	0.6116	0.1523	0.2438	0.3396	0.3717	0.239	0.2576	0.2479	0.5756	0.19
NAB-Twitter-stationary															
Pre	Rec	F1	ROC	PR											
CNN-AE	0	0	0	0.5564											
2DCNN-AE	0.2303	0.2503	0.2399	0.6376	0.2079										
LSTM-AE	0.1176	0.0528	0.0729	0.4371	0.1064										
HIFI	0.2409	0.1234	0.1632	0.6784	0.2745										
RN	0.1149	0.2067	0.1477	0.505	0.1347										
RAE	0.1158	0.1602	0.1344	0.5009	0.1231										
Omni	0.1663	0.1757	0.1709	0.5308	0.152										
BeatGAN	0.2977	0.1301	0.1811	0.5867	0.2578										
LSTM-NDT	0.1878	0.2316	0.2074	0.5679	0.194										

Table 64: Results of DL Methods (Stationary vs. Non-stationary; Sliding window size=256, Hidden size=32)

NAB-ambient-Nonstationary					NAB-art-stationary					NAB-cpu-stationary					
Pre	Rec	F1	ROC	PR	Pre	Rec	F1	ROC	PR	Pre	Rec	F1	ROC	PR	
CNN-AE	0.1452	0.0249	0.0425	0.6127	0.2243	0.3512	0.1759	0.2344	0.2382	0.1804	0.5776	0.1963	0.293	0.4397	0.4182
2DCNN-AE	0.0256	0.0055	0.0091	0.5069	0.1631	0.3521	0.1682	0.2276	0.2914	0.222	0.7299	0.4546	0.5603	0.7854	0.541
LSTM-AE	0.6098	0.0691	0.1241	0.6455	0.2939	0.196	0.1764	0.1857	0.3202	0.2212	0.9949	0.1295	0.2292	0.3803	0.3869
HIFI	0.1345	0.0829	0.1026	0.5045	0.1649	0.3576	0.2287	0.279	0.3111	0.2411	0.8	0.1762	0.2888	0.6493	0.5471
RN	0	0	0	0.5402	0.1871	0.0724	0.0136	0.023	0.2192	0.0383	0.4972	0.5861	0.538	0.6801	0.438
RAE	0.1848	0.047	0.0749	0.4607	0.1803	0.056	0.0633	0.0594	0.2111	0.0562	0.4511	0.2677	0.336	0.5432	0.3515
Omni	0.6304	0.0801	0.1422	0.643	0.2889	0.2313	0.1052	0.1446	0.1959	0.1377	0.9821	0.1101	0.1981	0.3435	0.3258
BeatGAN	0.5616	0.1133	0.1885	0.64	0.2791	0.3963	0.235	0.295	0.2861	0.2337	0.9799	0.1629	0.2793	0.403	0.3783
LSTM-NDT	0.2033	0.0691	0.1031	0.4955	0.1833	0.042	0.1613	0.0667	0.2908	0.0691	0.8445	0.4279	0.568	0.7105	0.647
NAB-ec2-Nonstationary					NAB-ec2-stationary					NAB-elb-stationary					
Pre	Rec	F1	ROC	PR	Pre	Rec	F1	ROC	PR	Pre	Rec	F1	ROC	PR	
CNN-AE	0.493	0.2924	0.367	0.3499	0.3942	0.1578	0.1462	0.1518	0.473	0.1779	0	0	0	0.4155	0.1294
2DCNN-AE	0.4959	0.5	0.4979	0.5856	0.4244	0.1831	0.1903	0.1866	0.4869	0.1588	0	0	0	0.735	0.2487
LSTM-AE	0.4514	0.3472	0.3925	0.4905	0.3094	0.0928	0.1393	0.1114	0.4058	0.0988	0	0	0	0.3652	0.1214
HIFI	0.915	0.6262	0.7436	0.516	0.5334	0.1947	0.0953	0.128	0.4698	0.1671	0.1039	0.04	0.0578	0.5715	0.1835
RN	0.0117	0.01	0.0108	0.1595	0.1558	0.0749	0.0964	0.0843	0.4361	0.1287	0.2979	0.28	0.2887	0.6008	0.2669
RAE	0	0	0	0.1949	0.1793	0.1196	0.0606	0.0805	0.3889	0.1146	0	0	0	0.4131	0.1722
Omni	0.599	0.196	0.2954	0.5155	0.4031	0.127	0.1214	0.1241	0.4179	0.1526	0.2515	0.215	0.2318	0.5441	0.2251
BeatGAN	0.514	0.0914	0.1551	0.3128	0.2623	0.1819	0.1104	0.1374	0.4175	0.139	0	0	0	0.7375	0.2475
LSTM-NDT	0.3839	0.296	0.3343	0.2511	0.2312	0.1568	0.2704	0.1985	0.4762	0.1611	0.2756	0.175	0.2141	0.511	0.2493
NAB-exchange-Nonstationary					NAB-exchange-stationary					NAB-grok-Nonstationary					
Pre	Rec	F1	ROC	PR	Pre	Rec	F1	ROC	PR	Pre	Rec	F1	ROC	PR	
CNN-AE	0.0099	0.0106	0.0102	0.2676	0.121	0.0251	0.0158	0.0194	0.564	0.1358	0.9286	0.4221	0.5804	0.8875	0.7029
2DCNN-AE	0.0612	0.0423	0.05	0.2593	0.1383	0.0639	0.0631	0.0635	0.5158	0.1306	0	0	0	0.5067	0.518
LSTM-AE	0	0	0	0.7028	0.3732	0	0	0	0.421	0.0983	0	0	0	0.4779	0.1824
HIFI	0.3109	0.1303	0.1836	0.4596	0.2482	0.0545	0.0068	0.012	0.4597	0.107	0.9683	0.3961	0.5622	0.5592	0.5362
RN	0.1486	0.0724	0.0973	0.2288	0.066	0.201	0.1193	0.1497	0.3756	0.0909	0.277	1	0.4338	0.8078	0.2786
RAE	0.1311	0.0526	0.0751	0.3146	0.0778	0.0583	0.0183	0.0279	0.376	0.0804	0.25	0.0065	0.0127	0.2353	0.0884
Omni	0.0516	0.0282	0.0364	0.404	0.146	0.0925	0.1441	0.1127	0.5144	0.1408	0	0	0	0.4395	0.1023
BeatGAN	0.0746	0.0176	0.0285	0.5109	0.1964	0.0182	0.0023	0.004	0.4947	0.1155	0	0	0	0.3406	0.0817
LSTM-NDT	0.0884	0.125	0.1035	0.2466	0.0521	0.2569	0.2263	0.2407	0.3612	0.1327	0.2798	0.7013	0.4	0.7701	0.3309
NAB-iao-Nonstationary					NAB-nyc-stationary					NAB-occupancy-stationary					
Pre	Rec	F1	ROC	PR	Pre	Rec	F1	ROC	PR	Pre	Rec	F1	ROC	PR	
CNN-AE	0	0	0	0.3944	0.0762	0.0431	0.0249	0.0316	0.45	0.1878	0.172	0.0343	0.0572	0.4575	0.3421
2DCNN-AE	0.2982	0.2742	0.2857	0.6149	0.1848	0.1948	0.2097	0.202	0.4815	0.2001	0.557	0.0944	0.1615	0.4867	0.3661
LSTM-AE	0	0	0	0.4282	0.081	0.1795	0.0103	0.0194	0.353	0.1679	0.6154	0.0515	0.095	0.5674	0.4298
HIFI	0	0	0	0.2642	0.0624	0.1542	0.1364	0.1447	0.5062	0.206	0.2353	0.0258	0.0464	0.414	0.2916
RN	0.2667	0.4091	0.3229	0.5358	0.2117	0	0	0	0.4677	0.2031	0.2329	0.0685	0.1059	0.2412	0.2784
RAE	0.0909	0.0114	0.0202	0.4585	0.0924	0.1618	0.0453	0.0708	0.4683	0.2058	0.0962	0.0202	0.0333	0.2611	0.2767
Omni	0.1868	0.1371	0.1581	0.463	0.1	0.2262	0.2331	0.2296	0.5204	0.2152	0.3936	0.1588	0.2263	0.5018	0.3649
BeatGAN	0.1983	0.5726	0.2946	0.7645	0.1724	0.1129	0.0704	0.0867	0.4952	0.2069	0.3103	0.0193	0.0364	0.5454	0.3808
LSTM-NDT	0	0	0	0.4534	0.0759	0.2075	0.0809	0.1164	0.6024	0.2652	0.5236	0.4476	0.4826	0.3589	0.3941
NAB-rds-stationary					NAB-rds-Nonstationary					NAB-rogue-Nonstationary					
Pre	Rec	F1	ROC	PR	Pre	Rec	F1	ROC	PR	Pre	Rec	F1	ROC	PR	
CNN-AE	0.6667	0.01	0.0197	0.5199	0.3756	0.158	0.45	0.2339	0.5084	0.1009	0	0	0	0.0634	0.0167
2DCNN-AE	0.75	0.0075	0.0149	0.4904	0.3377	0.1352	0.505	0.2133	0.4815	0.0983	0.3333	0.3333	0.3333	0.6809	0.1354
LSTM-AE	0.6667	0.01	0.0197	0.5168	0.3762	0	0	0	0.5227	0.0985	0.2368	0.5	0.3214	0.731	0.1223
HIFI	0.3876	0.25	0.304	0.4925	0.3832	0	0	0	0.3823	0.0745	0.129	0.4444	0.2	0.7469	0.1057
RN	0	0	0	0.4303	0.2735	0	0	0	0.3256	0.073	0	0	0	0	0
RAE	0.4878	0.1316	0.2073	0.5712	0.4064	0.2128	0.2325	0.2222	0.6107	0.2021	0	0	0	0	0
Omni	0.6667	0.01	0.0197	0.5035	0.3607	0.1017	0.26	0.1462	0.4932	0.0984	0.1636	0.5	0.2466	0.7539	0.1194
BeatGAN	1	0.0025	0.005	0.4834	0.4051	0.1501	0.505	0.2314	0.614	0.12	0	0	0	0.1683	0.0237
LSTM-NDT	0.375	0.0296	0.0549	0.4924	0.3247	0.109	0.2825	0.1573	0.4403	0.0913	0	0	0	0	0
NAB-rogue-stationary					NAB-speed-stationary					NAB-TravelTime-stationary					
Pre	Rec	F1	ROC	PR	Pre	Rec	F1	ROC	PR	Pre	Rec	F1	ROC	PR	
CNN-AE	0.0234	0.017	0.0197	0.5028	0.093	0.7478	0.3118	0.4401	0.7462	0.6238	0.0024	0.0022	0.0023	0.4092	0.0783
2DCNN-AE	0.0361	0.0246	0.0293	0.5439	0.0986	0.6364	0.1421	0.2323	0.6166	0.4607	0.1624	0.1905	0.1753	0.6925	0.1894
LSTM-AE	0.1305	0.2822	0.1784	0.6302	0.1267	0.5	0.0941	0.1584	0.4069	0.3484	0.1191	0.1212	0.1202	0.3963	0.0877
HIFI	0	0	0	0.4033	0.0764	0.1667	0.0055	0.0107	0.6291	0.3497	0.234	0.119	0.1578	0.711	0.2268
RN	0.0242	0.0227	0.0235	0.4583	0.0635	1	0.0144	0.0284	0.3243	0.3351	0.1007	0.1667	0.1255	0.5104	0.1164
RAE	0.1897	0.0625	0.094	0.5121	0.1323	0.6129	0.0391	0.0735	0.3378	0.3444	0.1642	0.0238	0.0416	0.5217	0.1256
Omni	0.0847	0.1402	0.1056	0.4812	0.0891	0.3884	0.1605	0.2272	0.5111	0.3972	0.0346	0.0346	0.0346	0.4296	0.0835
BeatGAN	0	0	0	0.5636	0.1041	0.5316	0.1863	0.276	0.5892	0.4799	0.119	0.0433	0.0635	0.5452	0.1362
LSTM-NDT	0.106	0.2784	0.1535	0.4776	0.1011	0.6364	0.144	0.2349	0.3359	0.3719	0.2469	0.1299	0.1702	0.492	0.1453
NAB-Twitter-stationary															
Pre	Rec	F1	ROC	PR											
CNN-AE	0.0139	0.0027	0.0045	0.4398	0.1026										
2DCNN-AE	0.281	0.3223	0.3002	0.6661	0.2581										
LSTM-AE	0.1771	0.0688	0.0991	0.4903	0.1271										
HIFI	0.2031	0.0618	0.0947	0.6131	0.2112										
RN	0.0967	0.165	0.122	0.4935	0.1223										
RAE	0.1091	0.0687	0.0843	0.4906	0.1229										
Omni	0.1732	0.0957	0.1233	0.5283	0.1398										
BeatGAN	0.252	0.2071	0.2274	0.6315	0.3053										
LSTM-NDT	0.1761	0.2347	0.2012	0.5762	0.1879										

Table 65: Results of DL Methods (Stationary vs. Non-stationary; Sliding window size=256, Hidden size=64)

NAB-ambient-Nonstationary					NAB-art-stationary					NAB-cpu-stationary					
Pre	Rec	F1	ROC	PR	Pre	Rec	F1	ROC	PR	Pre	Rec	F1	ROC	PR	
CNN-AE	0.0746	0.0138	0.0233	0.5886	0.2123	0.2723	0.1187	0.1653	0.2097	0.1544	0.5846	0.2377	0.3379	0.4752	0.4056
2DCNN-AE	0.1395	0.0829	0.104	0.5281	0.1704	0.5154	0.1206	0.1955	0.2638	0.202	0.6607	0.4653	0.546	0.7899	0.5273
LSTM-AE	0.625	0.0691	0.1244	0.6442	0.2922	0.0695	0.0428	0.0529	0.2228	0.1634	0.4898	0.0481	0.0875	0.3922	0.3057
HIFI	0.1448	0.0884	0.1098	0.5246	0.1697	0.3837	0.2379	0.2937	0.3022	0.2357	0.6008	0.1989	0.2989	0.6644	0.535
RN	-1	-1	-1	-1	-1	-1	-1	-1	-1	-1	-1	-1	-1	-1	-1
RAE	0.2335	0.1077	0.1474	0.486	0.1888	0.0089	0.0484	0.0151	0.2908	0.0574	0.5688	0.1876	0.2821	0.5623	0.4001
Omni	0.6341	0.0718	0.129	0.6436	0.2878	0.2332	0.1297	0.1667	0.2187	0.1721	0.4633	0.5481	0.5021	0.595	0.3747
BeatGAN	0.0053	0.0028	0.0036	0.4159	0.132	0.9659	0.1903	0.3179	0.2778	0.2307	0.9942	0.1142	0.2048	0.6029	0.438
LSTM-NDT	0.2283	0.1381	0.1721	0.5318	0.2016	0.0462	0.1873	0.0741	0.2791	0.0761	0.7437	0.494	0.5937	0.6872	0.6112
NAB-ec2-Nonstationary					NAB-ec2-stationary					NAB-elb-stationary					
Pre	Rec	F1	ROC	PR	Pre	Rec	F1	ROC	PR	Pre	Rec	F1	ROC	PR	
CNN-AE	0.1316	0.0083	0.0156	0.2781	0.2651	0.1528	0.1066	0.1256	0.4271	0.1626	0.0069	0.005	0.0058	0.3879	0.1242
2DCNN-AE	0.7138	0.3605	0.479	0.6951	0.4841	0.1164	0.1509	0.1314	0.5453	0.177	0	0	0.7053	0.238	
LSTM-AE	1	0.0083	0.0165	0.3406	0.2265	0.1429	0.1157	0.1279	0.4706	0.1321	0.2724	0.335	0.3004	0.6425	0.2632
HIFI	0	0	0	0.2277	0.1858	0.1909	0.0827	0.1154	0.4762	0.1501	0.2	0.005	0.0098	0.5984	0.2048
RN	-1	-1	-1	-1	-1	-1	-1	-1	-1	-1	-1	-1	-1	-1	-1
RAE	0	0	0	0.2838	0.2294	0.1455	0.1301	0.1374	0.3963	0.131	0.2143	0.03	0.0526	0.4318	0.1789
Omni	0.444	0.5266	0.4818	0.6738	0.5129	0.1359	0.1632	0.1483	0.4591	0.155	0.2767	0.35	0.3091	0.6421	0.2649
BeatGAN	0.9811	0.1728	0.2938	0.4697	0.4134	0.1798	0.2481	0.2085	0.4561	0.1577	0	0	0	0.7421	0.2504
LSTM-NDT	0.367	0.2711	0.3119	0.2518	0.2322	0.1406	0.2809	0.1874	0.4396	0.155	0.3805	0.215	0.2748	0.6045	0.3312
NAB-exchange-Nonstationary					NAB-exchange-stationary					NAB-grok-Nonstationary					
Pre	Rec	F1	ROC	PR	Pre	Rec	F1	ROC	PR	Pre	Rec	F1	ROC	PR	
CNN-AE	0.0323	0.0035	0.0063	0.152	0.1102	0.0149	0.009	0.0112	0.5887	0.1785	0.9324	0.4481	0.6053	0.8864	0.7077
2DCNN-AE	0.0882	0.0211	0.0341	0.4401	0.2536	0.0449	0.0248	0.0319	0.5492	0.1347	0.6964	0.7597	0.7267	0.9697	0.8203
LSTM-AE	0.0698	0.0211	0.0324	0.4792	0.1672	0.1429	0.0135	0.0247	0.5764	0.1496	0	0	0	0.4698	0.2009
HIFI	0.0455	0.0035	0.0065	0.1529	0.1104	0.1143	0.009	0.0167	0.4638	0.1121	0.7809	0.9026	0.8373	0.9667	0.8636
RN	-1	-1	-1	-1	-1	-1	-1	-1	-1	-1	-1	-1	-1	-1	-1
RAE	0.0893	0.0329	0.0481	0.2737	0.0629	0.087	0.0856	0.0863	0.3852	0.0922	0.2974	0.5195	0.3783	0.7491	0.2333
Omni	0.0606	0.0211	0.0313	0.4879	0.1634	0.1035	0.1059	0.1047	0.5348	0.1488	0	0	0	0.4376	0.1049
BeatGAN	0.1241	0.0599	0.0808	0.4727	0.2355	0.0702	0.045	0.0549	0.5035	0.1383	0	0	0	0.107	0.0608
LSTM-NDT	0.0928	0.1447	0.1131	0.2402	0.0507	0.171	0.2202	0.1925	0.3331	0.1174	0.2418	0.7208	0.3622	0.7409	0.2961
NAB-lio-Nonstationary					NAB-nyc-stationary					NAB-occupancy-stationary					
Pre	Rec	F1	ROC	PR	Pre	Rec	F1	ROC	PR	Pre	Rec	F1	ROC	PR	
CNN-AE	0	0	0	0.3641	0.0718	0.1693	0.1569	0.1629	0.5199	0.2123	0.7232	0.1738	0.2803	0.6317	0.5465
2DCNN-AE	0.0678	0.1613	0.0955	0.5736	0.1081	0.1588	0.1422	0.15	0.5065	0.2063	0.2987	0.0494	0.0847	0.4478	0.3062
LSTM-AE	0.2556	0.2742	0.2646	0.6128	0.1628	0.081	0.0249	0.0381	0.3613	0.1652	0.3869	0.1395	0.205	0.5177	0.3657
HIFI	0	0	0	0.2643	0.0625	0.1698	0.1569	0.1631	0.5076	0.2071	0.2921	0.0558	0.0937	0.4052	0.2881
RN	-1	-1	-1	-1	-1	-1	-1	-1	-1	-1	-1	-1	-1	-1	-1
RAE	0.4211	0.0909	0.1495	0.4888	0.1154	0	0	0	0.4873	0.2142	0.6923	0.0363	0.069	0.2718	0.2899
Omni	0.0909	0.1048	0.0974	0.4546	0.0892	0.1713	0.1349	0.1509	0.5069	0.2095	0.4389	0.1695	0.2446	0.5261	0.3863
BeatGAN	0	0	0	0.3126	0.0668	0.1993	0.1628	0.1792	0.5321	0.2208	0.2418	0.0944	0.1358	0.4461	0.2805
LSTM-NDT	0.0857	0.0682	0.0759	0.5284	0.0957	0.1026	0.0583	0.0743	0.3566	0.1655	0.3964	0.2702	0.3213	0.3131	0.3364
NAB-rds-stationary					NAB-rds-Nonstationary					NAB-rogue-Nonstationary					
Pre	Rec	F1	ROC	PR	Pre	Rec	F1	ROC	PR	Pre	Rec	F1	ROC	PR	
CNN-AE	0.7674	0.2475	0.3743	0.4875	0.4665	0.167	0.4675	0.2461	0.5061	0.1018	0	0	0	0.0402	0.0164
2DCNN-AE	0.9355	0.0725	0.1346	0.657	0.5597	0.1565	0.4925	0.2375	0.4951	0.0979	0.4	0.4444	0.4211	0.7309	0.1727
LSTM-AE	0.8	0.01	0.0198	0.5189	0.3785	0	0	0	0.5194	0.0984	0.36	0.5	0.4186	0.7423	0.1827
HIFI	0.3915	0.2525	0.307	0.4965	0.357	0.0047	0.0025	0.0033	0.6273	0.1246	0	0	0	0.2025	0.0183
RN	-1	-1	-1	-1	-1	-1	-1	-1	-1	-1	-1	-1	-1	-1	-1
RAE	0.3102	0.1908	0.2363	0.5482	0.3263	0.1661	0.13	0.1459	0.624	0.1798	0	0	0	0	0
Omni	1	0.0075	0.0149	0.5576	0.407	0.1014	0.2625	0.1463	0.5183	0.1018	0.2703	0.5556	0.3636	0.7491	0.1602
BeatGAN	0.087	0.005	0.0095	0.3553	0.2593	0.1405	0.505	0.2198	0.5592	0.1068	0.1034	0.3333	0.1579	0.3975	0.0749
LSTM-NDT	0.4898	0.0789	0.136	0.5633	0.3915	0.1097	0.3	0.1606	0.4885	0.0997	0	0	0	0	0
NAB-rogue-stationary					NAB-speed-stationary					NAB-TravelTime-stationary					
Pre	Rec	F1	ROC	PR	Pre	Rec	F1	ROC	PR	Pre	Rec	F1	ROC	PR	
CNN-AE	0.0029	0.0019	0.0023	0.4371	0.0801	0.8718	0.2509	0.3897	0.7201	0.5095	0.1219	0.1277	0.1247	0.5927	0.1469
2DCNN-AE	0.0366	0.0284	0.032	0.5755	0.1067	0.1538	0.0074	0.0141	0.5442	0.3021	0.1949	0.132	0.1574	0.7217	0.2298
LSTM-AE	0.1222	0.1951	0.1503	0.6381	0.1284	0.7692	0.0738	0.1347	0.6236	0.4751	0	0	0	0.3993	0.0815
HIFI	0	0	0	0.3796	0.0783	0.3559	0.0387	0.0699	0.4956	0.3045	0.0964	0.0931	0.0947	0.5455	0.1266
RN	-1	-1	-1	-1	-1	-1	-1	-1	-1	-1	-1	-1	-1	-1	-1
RAE	0.123	0.0284	0.0462	0.5238	0.1135	0.5	0.0309	0.0581	0.3169	0.32	0.1081	0.0433	0.0618	0.5001	0.1161
Omni	0.0403	0.0265	0.032	0.5178	0.0964	0.6303	0.1384	0.2269	0.5857	0.4683	0.1701	0.2532	0.2035	0.5861	0.1463
BeatGAN	0	0	0	0.2665	0.0635	0.4618	0.2232	0.301	0.6314	0.4744	0.2654	0.0931	0.1378	0.6567	0.1701
LSTM-NDT	0	0	0	0.3498	0.0714	0.6961	0.1461	0.2415	0.3308	0.3732	0.2045	0.3571	0.26	0.6102	0.2014
NAB-Twitter-stationary															
Pre	Rec	F1	ROC	PR											
CNN-AE	0.1363	0.0598	0.0832	0.5224	0.1357										
2DCNN-AE	0.3338	0.4027	0.365	0.7861	0.3958										
LSTM-AE	0.1845	0.1035	0.1326	0.4745	0.1243										
HIFI	0.2436	0.1073	0.149	0.5737	0.219										
RN	-1	-1	-1	-1	-1										
RAE	0.1153	0.0398	0.0591	0.4936	0.1194										
Omni	0.179	0.0733	0.1041	0.5124	0.1328										
BeatGAN	0.3223	0.2318	0.2696	0.7069	0.3331										
LSTM-NDT	0.1755	0.2403	0.2029	0.5641	0.1877										

Table 66: Results of DL Methods (Stationary vs. Non-stationary; Sliding window size=256, Hidden size=128)

	NAB-ambient-Nonstationary					NAB-art-stationary					NAB-cpu-stationary				
	Pre	Rec	F1	ROC	PR	Pre	Rec	F1	ROC	PR	Pre	Rec	F1	ROC	PR
CNN-AE	0.2086	0.0939	0.1295	0.5368	0.1891	0.3547	0.1249	0.1848	0.2528	0.1681	0.5855	0.2377	0.3381	0.473	0.4085
2DCNN-AE	0.1126	0.0691	0.0856	0.5091	0.1662	0.2712	0.1672	0.2069	0.2579	0.1973	0.7299	0.4599	0.5643	0.7935	0.5501
LSTM-AE	0.6053	0.0635	0.115	0.6465	0.2954	0.1532	0.0601	0.0863	0.2722	0.1679	1	0.1469	0.2561	0.3982	0.3854
HIFI	0.1399	0.0939	0.1124	0.5173	0.1685	0.3818	0.2374	0.2927	0.3095	0.242	0.6449	0.1055	0.1813	0.5669	0.4129
RN	-1	-1	-1	-1	-1	-1	-1	-1	-1	-1	-1	-1	-1	-1	-1
RAE	-1	-1	-1	-1	-1	0.0172	0.0088	0.0117	0.2458	0.0584	-1	-1	-1	-1	-1
Omni	0.6222	0.0773	0.1376	0.6431	0.2886	0.2283	0.1225	0.1595	0.2058	0.1632	0.647	0.2557	0.3665	0.7031	0.5338
BeatGAN	0.625	0.0691	0.1244	0.6413	0.2833	0.3563	0.0995	0.1555	0.3023	0.2362	1	0.0013	0.0027	0.5503	0.316
LSTM-NDT	0.2275	0.1188	0.1561	0.5214	0.1957	0.0396	0.1402	0.0617	0.2666	0.0779	0.8104	0.4766	0.6003	0.6541	0.6327
	NAB-ec2-Nonstationary					NAB-ec2-stationary					NAB-elb-stationary				
	Pre	Rec	F1	ROC	PR	Pre	Rec	F1	ROC	PR	Pre	Rec	F1	ROC	PR
CNN-AE	0.0068	0.0017	0.0027	0.1712	0.1687	0.1393	0.133	0.1361	0.4318	0.1805	0.0288	0.02	0.0236	0.4933	0.1531
2DCNN-AE	0.5049	0.515	0.5099	0.6733	0.4799	0.115	0.1563	0.1325	0.538	0.158	0.2743	0.325	0.2975	0.6435	0.261
LSTM-AE	1	0.0083	0.0165	0.3422	0.2289	0.156	0.1358	0.1452	0.5095	0.156	0	0	0	0.3677	0.122
HIFI	0.9903	0.3389	0.505	0.3943	0.429	0.1926	0.123	0.1501	0.5099	0.172	0.25	0.005	0.0098	0.702	0.2705
RN	-1	-1	-1	-1	-1	-1	-1	-1	-1	-1	-1	-1	-1	-1	-1
RAE	-1	-1	-1	-1	-1	0.1047	0.0483	0.0661	0.4258	0.1429	-1	-1	-1	-1	-1
Omni	0.5047	0.5349	0.5194	0.7338	0.5514	0.1307	0.1796	0.1513	0.4091	0.132	0.2534	0.46	0.3268	0.6266	0.2559
BeatGAN	0	0	0	0.0783	0.1431	0.1613	0.1978	0.1777	0.5649	0.2092	0	0	0	0.5664	0.1965
LSTM-NDT	0.3961	0.403	0.3995	0.2455	0.2203	0.1408	0.2753	0.1864	0.4348	0.1501	0.3945	0.215	0.2783	0.6131	0.3452
	NAB-exchange-Nonstationary					NAB-exchange-stationary					NAB-grok-Nonstationary				
	Pre	Rec	F1	ROC	PR	Pre	Rec	F1	ROC	PR	Pre	Rec	F1	ROC	PR
CNN-AE	0.0163	0.0211	0.0184	0.3434	0.1314	0.0257	0.0248	0.0252	0.3443	0.0876	0.9333	0.4545	0.6114	0.8861	0.711
2DCNN-AE	0.0415	0.0282	0.0335	0.2706	0.1303	0.0407	0.0315	0.0355	0.4992	0.1189	0.9583	0.4481	0.6106	0.6561	0.5401
LSTM-AE	0	0	0	0.7116	0.3794	0.1522	0.0788	0.1039	0.6212	0.1699	0	0	0	0.4489	0.126
HIFI	0	0	0	0.14	0.1042	0.0404	0.018	0.0249	0.3433	0.0919	0.3333	0.026	0.0482	0.5567	0.1741
RN	-1	-1	-1	-1	-1	-1	-1	-1	-1	-1	-1	-1	-1	-1	-1
RAE	0	0	0	0	0	0.1791	0.1101	0.1364	0.403	0.0852	-1	-1	-1	-1	-1
Omni	0.0629	0.0352	0.0451	0.4936	0.1653	0.0948	0.1464	0.115	0.6053	0.1659	0	0	0	0.4149	0.0873
BeatGAN	0.25	0.0141	0.0267	0.5417	0.2783	0.1538	0.0045	0.0088	0.4193	0.099	0	0	0	0.424	0.1088
LSTM-NDT	0.0569	0.0789	0.0661	0.2379	0.05	0.1807	0.263	0.2142	0.4872	0.1971	0.2431	0.7403	0.366	0.7357	0.2927
	NAB-iao-Nonstationary					NAB-nyc-stationary					NAB-occupancy-stationary				
	Pre	Rec	F1	ROC	PR	Pre	Rec	F1	ROC	PR	Pre	Rec	F1	ROC	PR
CNN-AE	0	0	0	0.3644	0.0718	0.3214	0.2493	0.2808	0.5684	0.293	0.415	0.1309	0.199	0.5357	0.3794
2DCNN-AE	0.2895	0.2661	0.2773	0.6151	0.1806	0.1641	0.154	0.1589	0.5069	0.2065	0.4182	0.0987	0.1597	0.4721	0.3494
LSTM-AE	0.25	0.3387	0.2877	0.6286	0.163	0.6	0.0044	0.0087	0.3758	0.1725	0.4221	0.1395	0.2097	0.5419	0.3843
HIFI	0	0	0	0.4247	0.0791	0.164	0.1481	0.1556	0.5071	0.2064	0.2353	0.0172	0.032	0.4047	0.2896
RN	-1	-1	-1	-1	-1	-1	-1	-1	-1	-1	-1	-1	-1	-1	-1
RAE	-1	-1	-1	-1	-1	-1	-1	-1	-1	-1	-1	-1	-1	-1	-1
Omni	0.2143	0.3387	0.2625	0.6167	0.1568	0.2479	0.2654	0.2564	0.5224	0.2199	0.3445	0.176	0.233	0.5103	0.3554
BeatGAN	0.042	0.0484	0.0449	0.6769	0.1423	0.2928	0.3358	0.3128	0.5992	0.2805	1	0.0021	0.0043	0.4055	0.2774
LSTM-NDT	0.1029	0.0795	0.0897	0.5724	0.1061	0.0904	0.0243	0.0383	0.3394	0.1606	0.4566	0.3185	0.3753	0.3135	0.3455
	NAB-rds-stationary					NAB-rds-Nonstationary					NAB-rogue-Nonstationary				
	Pre	Rec	F1	ROC	PR	Pre	Rec	F1	ROC	PR	Pre	Rec	F1	ROC	PR
CNN-AE	0.5236	0.25	0.3384	0.4508	0.4655	0.1643	0.485	0.2454	0.5074	0.1003	0	0	0	0.0796	0.0165
2DCNN-AE	0.5714	0.01	0.0197	0.4967	0.3476	0.1424	0.505	0.2221	0.4911	0.0977	0.2941	0.2778	0.2857	0.6893	0.1211
LSTM-AE	0.3878	0.255	0.3077	0.5232	0.3586	0	0	0	0.5205	0.0994	0.2424	0.4444	0.3137	0.7363	0.1408
HIFI	0.3489	0.28	0.3107	0.494	0.3237	0.0192	0.0025	0.0044	0.6325	0.1512	0	0	0	0.0507	0.0163
RN	-1	-1	-1	-1	-1	-1	-1	-1	-1	-1	-1	-1	-1	-1	-1
RAE	0.3502	0.25	0.2917	0.543	0.3218	-1	-1	-1	-1	-1	-1	-1	-1	-1	-1
Omni	1	0.0075	0.0149	0.534	0.3924	0	0	0	0.5265	0.099	0.3214	0.5	0.3913	0.7418	0.1887
BeatGAN	0.25	0.0025	0.005	0.4253	0.3019	0	0	0	0.5432	0.0996	0.1852	0.2778	0.2222	0.4441	0.1197
LSTM-NDT	0.8571	0.0197	0.0386	0.5677	0.3967	0.1062	0.2725	0.1529	0.4521	0.1047	0	0	0	0	0
	NAB-rogue-stationary					NAB-speed-stationary					NAB-TravelTime-stationary				
	Pre	Rec	F1	ROC	PR	Pre	Rec	F1	ROC	PR	Pre	Rec	F1	ROC	PR
CNN-AE	0.0106	0.0057	0.0074	0.5014	0.0946	0.6875	0.1015	0.1768	0.6719	0.5436	0.1658	0.1385	0.1509	0.6332	0.1627
2DCNN-AE	0.0375	0.0284	0.0323	0.5737	0.1022	0.6422	0.1292	0.2151	0.6134	0.4603	0.1592	0.3398	0.2169	0.619	0.1576
LSTM-AE	0.1124	0.2311	0.1513	0.5741	0.1107	0.521	0.1144	0.1876	0.5048	0.4088	0.133	0.1169	0.1244	0.4119	0.0941
HIFI	0	0	0	0.5635	0.1065	0.1852	0.0185	0.0336	0.6557	0.3764	0	0	0	0.5011	0.1028
RN	-1	-1	-1	-1	-1	-1	-1	-1	-1	-1	-1	-1	-1	-1	-1
RAE	-1	-1	-1	-1	-1	1	0.0081	0.016	0.4656	0.4818	0	0	0	0.4851	0.1053
Omni	0.024	0.0133	0.0171	0.5387	0.1011	0.5571	0.1439	0.2287	0.5636	0.4543	0.1585	0.3225	0.2126	0.6349	0.1601
BeatGAN	0	0	0	0.495	0.0906	0.3669	0.1144	0.1744	0.6104	0.4367	0.0917	0.0476	0.0627	0.5757	0.1306
LSTM-NDT	0.1093	0.2973	0.1599	0.5859	0.1222	0.6481	0.144	0.2357	0.3354	0.3726	0.1967	0.3831	0.2599	0.6203	0.201
	NAB-Twitter-stationary														
	Pre	Rec	F1	ROC	PR										
CNN-AE	0.2235	0.0745	0.1118	0.4941	0.1412										
2DCNN-AE	0.2166	0.2279	0.2221	0.6012	0.1944										
LSTM-AE	0.1437	0.1345	0.1389	0.5027	0.135										
HIFI	0.1805	0.1085	0.1356	0.6206	0.1864										
RN	-1	-1	-1	-1	-1										
RAE	0.1095	0.0368	0.0551	0.4895	0.0936										
Omni	0.1901	0.0945	0.1263	0.5199	0.141										
BeatGAN	0.2916	0.3076	0.2994	0.7173	0.3356										
LSTM-NDT	0.1729	0.2118	0.1904	0.5547	0.1938										

Table 67: Results of DL Methods (Stationary vs. Non-stationary; Sliding window size=256, Hidden size=256)

NAB-ambient-Nonstationary					NAB-art-stationary					NAB-cpu-stationary					
Pre	Rec	F1	ROC	PR	Pre	Rec	F1	ROC	PR	Pre	Rec	F1	ROC	PR	
CNN-AE	0.1461	0.0359	0.0576	0.5661	0.2067	0.5355	0.1485	0.2325	0.272	0.197	0	0	0	0.2414	0.1818
2DCNN-AE	0.1318	0.0801	0.0997	0.5222	0.1691	0.3678	0.1264	0.1881	0.2402	0.1751	0.7153	0.4092	0.5206	0.7718	0.5431
LSTM-AE	0.625	0.0691	0.1244	0.6473	0.2943	0.183	0.1158	0.1418	0.3317	0.248	1	0.1542	0.2672	0.3987	0.3863
HIFI	0.1389	0.0829	0.1038	0.5248	0.1704	0.3855	0.2369	0.2935	0.3041	0.2365	0.5033	0.1549	0.2369	0.6636	0.4817
RN	-1	-1	-1	-1	-1	-1	-1	-1	-1	-1	-1	-1	-1	-1	-1
RAE	0.0169	0.0055	0.0083	0.4584	0.1621	0.0912	0.0794	0.0849	0.3126	0.0961	0.3842	0.1595	0.2255	0.4861	0.3056
Omni	0.6341	0.0718	0.129	0.6433	0.2867	0.2461	0.1225	0.1636	0.2426	0.18	0.6442	0.4593	0.5362	0.7839	0.5171
BeatGAN	0	0	0	0.4695	0.1541	0.3469	0.0452	0.0799	0.2774	0.1776	1	0.0013	0.0027	0.4678	0.3871
LSTM-NDT	0.201	0.1077	0.1403	0.5067	0.1902	0.0388	0.1315	0.06	0.2534	0.0784	0.6824	0.4833	0.5658	0.6423	0.5222
NAB-ec2-Nonstationary					NAB-ec2-stationary					NAB-elb-stationary					
Pre	Rec	F1	ROC	PR	Pre	Rec	F1	ROC	PR	Pre	Rec	F1	ROC	PR	
CNN-AE	0.45	0.2841	0.3483	0.3166	0.3333	0.1676	0.1648	0.1662	0.542	0.1768	0.8205	0.32	0.4604	0.9504	0.7763
2DCNN-AE	0.4103	0.4219	0.4161	0.5476	0.2757	0.1146	0.1465	0.1286	0.5432	0.158	0.2659	0.335	0.2965	0.6491	0.2696
LSTM-AE	0.7171	0.1811	0.2891	0.5719	0.4266	0.1285	0.1151	0.1214	0.4104	0.1262	0	0	0	0.3657	0.1222
HIFI	0.9752	0.3272	0.49	0.3285	0.3726	0.1953	0.0937	0.1266	0.4864	0.1912	0.1094	0.035	0.053	0.5407	0.173
RN	-1	-1	-1	-1	-1	-1	-1	-1	-1	-1	-1	-1	-1	-1	-1
RAE	0.044	0.01	0.0162	0.1555	0.1542	0.1823	0.0121	0.0227	0.4444	0.1305	0.2414	0.245	0.2432	0.4639	0.2021
Omni	0.4985	0.5349	0.516	0.7288	0.618	0.123	0.1252	0.1241	0.5014	0.155	0.2667	0.4	0.32	0.644	0.2649
BeatGAN	0	0	0	0.33	0.2207	0.1756	0.1934	0.184	0.4821	0.1403	0	0	0	0.7075	0.2439
LSTM-NDT	0.3848	0.403	0.3937	0.2463	0.22	0.1394	0.2481	0.1785	0.4444	0.1496	0.306	0.205	0.2455	0.5617	0.284
NAB-exchange-Nonstationary					NAB-exchange-stationary					NAB-grok-Nonstationary					
Pre	Rec	F1	ROC	PR	Pre	Rec	F1	ROC	PR	Pre	Rec	F1	ROC	PR	
CNN-AE	0.0133	0.0106	0.0118	0.3305	0.1284	0.1667	0.009	0.0171	0.492	0.1076	0.9333	0.4545	0.6114	0.8855	0.7086
2DCNN-AE	0.128	0.0563	0.0782	0.2883	0.1567	0.1224	0.1351	0.1285	0.5391	0.1448	0.723	0.6948	0.7086	0.9654	0.8345
LSTM-AE	0	0	0	0.5986	0.211	0.0909	0.009	0.0164	0.5919	0.1527	0	0	0	0.4626	0.1199
HIFI	0.193	0.0387	0.0645	0.382	0.1456	0.0303	0.0135	0.0187	0.5085	0.1133	0	0	0	0.6648	0.5259
RN	-1	-1	-1	-1	-1	-1	-1	-1	-1	-1	-1	-1	-1	-1	-1
RAE	0.0522	0.0395	0.0449	0.3002	0.0669	0.12	0.0275	0.0448	0.373	0.0794	0	0	0	0.1884	0.0815
Omni	0.099	0.0352	0.0519	0.4801	0.1665	0.0936	0.0495	0.0648	0.5	0.1715	0	0	0	0.4369	0.0986
BeatGAN	0.7778	0.0493	0.0927	0.643	0.3217	0.1264	0.0766	0.0954	0.5521	0.128	0.149	0.4935	0.2289	0.4306	0.0954
LSTM-NDT	0.0519	0.0789	0.0627	0.2226	0.0467	0.1619	0.2416	0.1939	0.4052	0.1121	0.2341	0.7403	0.3557	0.7186	0.2752
NAB-iao-Nonstationary					NAB-nyc-stationary					NAB-occupancy-stationary					
Pre	Rec	F1	ROC	PR	Pre	Rec	F1	ROC	PR	Pre	Rec	F1	ROC	PR	
CNN-AE	0	0	0	0.5028	0.0917	0.1043	0.0323	0.0493	0.4016	0.181	0.398	0.1674	0.2356	0.6325	0.4272
2DCNN-AE	0.1667	0.3468	0.2251	0.5316	0.1626	0.1645	0.1496	0.1567	0.5061	0.2062	0.2899	0.0429	0.0748	0.4452	0.3064
LSTM-AE	0.2614	0.3226	0.2888	0.621	0.1641	0.1538	0.0088	0.0166	0.3517	0.166	0.4231	0.1416	0.2122	0.5465	0.3755
HIFI	0	0	0	0.305	0.066	0.1458	0.1261	0.1352	0.5042	0.2056	0.325	0.0279	0.0514	0.3841	0.2821
RN	-1	-1	-1	-1	-1	-1	-1	-1	-1	-1	-1	-1	-1	-1	-1
RAE	0.0875	0.0795	0.0833	0.4782	0.112	0.226	0.0761	0.1138	0.4728	0.21	0.5431	0.254	0.3462	0.237	0.2807
Omni	0.2566	0.3145	0.2826	0.5939	0.1571	0.2404	0.2581	0.2489	0.5189	0.2171	0.3657	0.1373	0.1997	0.4383	0.3306
BeatGAN	0	0	0	0.5795	0.1322	0.1949	0.1569	0.1738	0.5468	0.2262	0.2611	0.1009	0.1455	0.4551	0.2903
LSTM-NDT	0.1216	0.1023	0.1111	0.4848	0.1189	0.095	0.0275	0.0427	0.3365	0.1606	0.3218	0.2258	0.2654	0.2907	0.3169
NAB-rds-stationary					NAB-rds-Nonstationary					NAB-rogue-Nonstationary					
Pre	Rec	F1	ROC	PR	Pre	Rec	F1	ROC	PR	Pre	Rec	F1	ROC	PR	
CNN-AE	0.3559	0.1975	0.254	0.5432	0.3421	0.1685	0.4925	0.2511	0.5111	0.1017	0	0	0	0.0094	0.0162
2DCNN-AE	0.75	0.0075	0.0149	0.4798	0.3349	0.1099	0.31	0.1623	0.6029	0.1163	0.3214	0.5	0.3913	0.7675	0.1716
LSTM-AE	0.3878	0.255	0.3077	0.5474	0.3636	0	0	0	0.5211	0.0997	0.375	0.5	0.4286	0.7437	0.1849
HIFI	0.2857	0.01	0.0193	0.5887	0.3865	0	0	0	0.5315	0.0975	0	0	0	0.0119	0.0162
RN	-1	-1	-1	-1	-1	-1	-1	-1	-1	-1	-1	-1	-1	-1	-1
RAE	0.3219	0.1546	0.2089	0.5407	0.3369	0.1186	0.105	0.1114	0.5129	0.12	0	0	0	0	0
Omni	0.375	0.0075	0.0147	0.4085	0.2781	0.5	0.0025	0.005	0.5281	0.1008	0.2564	0.5556	0.3509	0.7623	0.1531
BeatGAN	0	0	0	0.4541	0.3257	0	0	0	0.5102	0.0945	0.8	0.2222	0.3478	0.5902	0.372
LSTM-NDT	0.407	0.1151	0.1795	0.5116	0.3592	0.1308	0.495	0.2069	0.5478	0.1708	0	0	0	0	0
NAB-rogue-stationary					NAB-speed-stationary					NAB-TravelTime-stationary					
Pre	Rec	F1	ROC	PR	Pre	Rec	F1	ROC	PR	Pre	Rec	F1	ROC	PR	
CNN-AE	0	0	0	0.469	0.0843	0.5571	0.072	0.1275	0.7231	0.4924	0	0	0	0.3306	0.0688
2DCNN-AE	0.0406	0.0246	0.0307	0.5941	0.0928	0.1	0.0018	0.0036	0.464	0.2843	0.1198	0.2446	0.1609	0.5311	0.1179
LSTM-AE	0.1161	0.2045	0.1481	0.5213	0.0998	0.6	0.1439	0.2321	0.6187	0.4878	0.1284	0.1212	0.1247	0.4076	0.0904
HIFI	0	0	0	0.9095	0.4311	0.4872	0.0701	0.1226	0.5113	0.3187	0.2381	0.119	0.1587	0.6275	0.1887
RN	-1	-1	-1	-1	-1	-1	-1	-1	-1	-1	-1	-1	-1	-1	-1
RAE	0.0968	0.0057	0.0107	0.5307	0.1082	0.2857	0.0082	0.016	0.2665	0.2909	0.0901	0.1039	0.0965	0.4752	0.1028
Omni	0.0561	0.0814	0.0664	0.4794	0.0906	0.5411	0.1458	0.2297	0.5837	0.4505	0.1683	0.2576	0.2036	0.606	0.1483
BeatGAN	0	0	0	0.7443	0.2272	0.5929	0.1236	0.2046	0.5612	0.3582	0.1784	0.0714	0.102	0.4002	0.0854
LSTM-NDT	0.0993	0.2064	0.1341	0.3802	0.0885	0.6636	0.1461	0.2395	0.3394	0.3731	0.1963	0.3853	0.26	0.6231	0.1968
NAB-Twitter-stationary															
Pre	Rec	F1	ROC	PR											
CNN-AE	0.346	0.32	0.3325	0.68	0.348										
2DCNN-AE	0.1581	0.2211	0.1844	0.5612	0.1728										
LSTM-AE	0.1452	0.1009	0.1191	0.4535	0.1168										
HIFI	0.2164	0.1312	0.1634	0.6738	0.2718										
RN	-1	-1	-1	-1	-1										
RAE	0.1191	0.1149	0.1169	0.4991	0.1215										
Omni	0.1768	0.12	0.143	0.5464	0.1493										
BeatGAN	0.1619	0.0461	0.0718	0.4342	0.1179										
LSTM-NDT	0.1714	0.1675	0.1694	0.5409	0.1647										

Table 68: Robustness (Noise Proportions equals to 1%)

	NAB					MSL				
	Pre	Rec	F1	ROC	PR	Pre	Rec	F1	ROC	PR
LOF	0.1917	0.147	0.1664	0.4664	0.1812	0.1883	0.3433	0.2432	0.5817	0.168
MP	0.2011	0.0302	0.0525	0.3967	0.1835	0.1059	0.2476	0.1483	0.491	0.1519
ISF	0.1553	0.1952	0.173	0.4812	0.191	0.1374	0.2933	0.1872	0.624	0.1733
OC-SVM	0.237	0.0716	0.11	0.4492	0.1749	0.1217	0.2417	0.1619	0.5651	0.1549
CNN-AE	0.389	0.2737	0.3213	0.5414	0.2821	0.1936	0.0841	0.1172	0.5491	0.1705
2DCNN-AE	0.2689	0.1971	0.2275	0.5208	0.2431	0.1209	0.1594	0.1375	0.5187	0.1354
LSTM-AE	0.1333	0.1162	0.1241	0.413	0.1671	0.0474	0.0263	0.0338	0.4544	0.1187
RN	0.1547	0.2552	0.1926	0.4662	0.1873	0.1594	0.2347	0.1899	0.5026	0.2031
RAE	0.1638	0.1834	0.1731	0.482	0.1806	0.1315	0.228	0.1668	0.6079	0.1583
Omni	0.1588	0.1808	0.1691	0.4515	0.182	0.1217	0.1106	0.1159	0.494	0.1367
BeatGAN	0.354	0.1278	0.1878	0.4374	0.2051	0.0559	0.0292	0.0384	0.4554	0.1342
HIFI	0.1756	0.1624	0.1687	0.4789	0.216	0.0672	0.0287	0.0402	0.4735	0.1594
LSTM-NDT	0.1612	0.2327	0.1905	0.4737	0.1957	0.1791	0.057	0.0865	0.4163	0.137

Table 69: Robustness (Noise Proportions equals to 2%)

	NAB					MSL				
	Pre	Rec	F1	ROC	PR	Pre	Rec	F1	ROC	PR
LOF	0.1853	0.1502	0.1659	0.4653	0.1754	0.1875	0.3446	0.2428	0.5838	0.1773
MP	0.2029	0.0463	0.0755	0.3654	0.1544	0.1192	0.072	0.0898	0.5442	0.1588
ISF	0.1492	0.2071	0.1735	0.4874	0.1947	0.1346	0.3147	0.1886	0.6223	0.161
OC-SVM	0.161	0.0678	0.0954	0.4503	0.1804	0.1141	0.2158	0.1493	0.5507	0.1417
CNN-AE	0.3322	0.2246	0.268	0.5352	0.2577	0.0986	0.0982	0.0984	0.5325	0.1539
2DCNN-AE	0.1795	0.263	0.2134	0.5326	0.2406	0.1312	0.1756	0.1502	0.5354	0.1364
LSTM-AE	0.1222	0.1006	0.1104	0.4131	0.165	0.065	0.0323	0.0432	0.4513	0.1415
RN	0.1548	0.2596	0.194	0.4667	0.1879	0.1445	0.2179	0.1738	0.502	0.1973
RAE	0.171	0.1949	0.1822	0.486	0.1808	0.1066	0.166	0.1298	0.5572	0.1305
Omni	0.2085	0.1438	0.1702	0.4765	0.2035	0.1519	0.0676	0.0936	0.5314	0.139
BeatGAN	0.1776	0.1629	0.1699	0.4158	0.1799	0.0436	0.0162	0.0237	0.4363	0.1301
HIFI	0.1777	0.1807	0.1792	0.5097	0.2232	0.5081	0.0403	0.0747	0.5146	0.2234
LSTM-NDT	0.1584	0.2213	0.1847	0.4522	0.1786	0.1314	0.0529	0.0754	0.3978	0.1225

Table 70: Robustness (Noise Proportions equals to 3%)

	NAB					MSL				
	Pre	Rec	F1	ROC	PR	Pre	Rec	F1	ROC	PR
LOF	0.1805	0.1522	0.1652	0.4652	0.1788	0.1939	0.3562	0.2511	0.5828	0.1794
MP	0.191	0.0955	0.1273	0.3623	0.1547	0.0582	0.0254	0.0353	0.5164	0.15
ISF	0.1339	0.218	0.1659	0.4844	0.1917	0.1331	0.3099	0.1862	0.6056	0.1543
OC-SVM	0.1972	0.0724	0.1059	0.4459	0.171	0.1026	0.1787	0.1304	0.5355	0.1389
CNN-AE	0.3592	0.2258	0.2773	0.5249	0.2602	0.1241	0.0788	0.0964	0.5491	0.1492
2DCNN-AE	0.2236	0.144	0.1752	0.507	0.2246	0.1146	0.1409	0.1264	0.4987	0.1184
LSTM-AE	0.1336	0.126	0.1297	0.435	0.1764	0.0662	0.0286	0.0399	0.4736	0.1406
RN	0.1504	0.2635	0.1915	0.4643	0.1836	0.1182	0.1805	0.1429	0.5054	0.1943
RAE	0.157	0.1849	0.1698	0.4705	0.1712	0.1231	0.1638	0.1406	0.5279	0.1287
Omni	0.1502	0.1867	0.1665	0.4542	0.1778	0.1326	0.0833	0.1023	0.5069	0.13
BeatGAN	0.2043	0.1517	0.1741	0.4838	0.2182	0.0651	0.0104	0.018	0.4744	0.1604
HIFI	0.2475	0.1033	0.1458	0.4689	0.2094	0.0402	0.0089	0.0146	0.435	0.1363
LSTM-NDT	0.1585	0.2307	0.1879	0.4719	0.184	0.1647	0.0628	0.091	0.4086	0.1286

Table 71: Robustness (Noise Proportions equals to 4%)

	NAB					MSL				
	Pre	Rec	F1	ROC	PR	Pre	Rec	F1	ROC	PR
LOF	0.1786	0.1556	0.1663	0.4645	0.1769	0.1834	0.3417	0.2387	0.5798	0.1765
MP	0.1851	0.0532	0.0827	0.3919	0.1743	0.1055	0.0129	0.023	0.4751	0.145
ISF	0.1461	0.2152	0.174	0.4832	0.1928	0.1336	0.312	0.1871	0.6132	0.1515
OC-SVM	0.1556	0.1009	0.1224	0.4527	0.1706	0.143	0.2269	0.1754	0.5571	0.1479
CNN-AE	0.3536	0.2329	0.2808	0.5273	0.2432	0.1684	0.0876	0.1152	0.5193	0.1502
2DCNN-AE	0.266	0.2108	0.2352	0.5324	0.2435	0.1036	0.1371	0.118	0.5385	0.1343
LSTM-AE	0.1355	0.1223	0.1286	0.434	0.1644	0.0617	0.0321	0.0422	0.4867	0.1372
RN	0.1505	0.2693	0.1931	0.4609	0.1849	0.1589	0.2736	0.201	0.5168	0.1924
RAE	0.1661	0.2016	0.1821	0.4691	0.1706	0.1114	0.1374	0.123	0.5154	0.1225
Omni	0.1702	0.2282	0.195	0.4629	0.1852	0.1474	0.0528	0.0777	0.5039	0.1539
BeatGAN	0.2434	0.067	0.1051	0.4693	0.2061	0.1364	0.0563	0.0797	0.4955	0.1855
HIFI	0.2675	0.1369	0.1811	0.4829	0.2108	0.1701	0.0161	0.0294	0.5441	0.1782
LSTM-NDT	0.1563	0.2152	0.1811	0.4668	0.1831	0.1779	0.0673	0.0977	0.3872	0.1291

Table 72: Robustness (Noise Proportions equals to 5%)

	NAB					MSL				
	Pre	Rec	F1	ROC	PR	Pre	Rec	F1	ROC	PR
LOF	0.1777	0.1646	0.1709	0.4664	0.1799	0.1844	0.345	0.2403	0.5804	0.1767
MP	0.2404	0.0593	0.0951	0.377	0.1633	0.0282	0.0021	0.0038	0.4829	0.1401
ISF	0.174	0.1641	0.1689	0.4829	0.1883	0.1263	0.3105	0.1795	0.6197	0.1517
OC-SVM	0.1805	0.1275	0.1494	0.455	0.1793	0.1181	0.2292	0.1559	0.5554	0.1608
CNN-AE	0.2848	0.208	0.2404	0.5428	0.251	0.105	0.1125	0.1087	0.5241	0.1399
2DCNN-AE	0.216	0.1727	0.1919	0.5195	0.2227	0.1215	0.1749	0.1434	0.5222	0.1289
LSTM-AE	0.1169	0.1103	0.1135	0.4236	0.1681	0.0556	0.0236	0.0331	0.4639	0.1342
RN	0.1497	0.2667	0.1917	0.4649	0.1806	0.1348	0.2255	0.1687	0.5039	0.1894
RAE	0.1452	0.1894	0.1644	0.4638	0.1651	0.1212	0.1534	0.1354	0.5343	0.1256
Omni	0.1542	0.1961	0.1726	0.4765	0.2071	0.1348	0.0849	0.1041	0.4598	0.1409
BeatGAN	0.1923	0.1327	0.157	0.4663	0.1939	0.1588	0.0394	0.0631	0.4655	0.1471
HIFI	0.2595	0.1391	0.1811	0.4896	0.2172	0.0888	0.0182	0.0301	0.5031	0.175
LSTM-NDT	0.1607	0.2231	0.1868	0.4658	0.193	0.1352	0.0639	0.0868	0.4255	0.1289

5 CONCLUSION AND FUTURE DIRECTIONS

A wealth of time series anomaly detection methods exist, and selecting the most suitable ones for particular application settings is challenging as the performance of the proposed methods vary widely across different settings. In this study, we provide a comprehensive overview of time series anomaly detection and evaluate judiciously chosen state-of-the-art traditional and deep-learning-based methods, based on which we offer recommendations for selecting suitable methods for different anomaly detection applications. This study indicates a need for new research to advance the state of the art in time series anomaly detection, as well as for research on integrated solutions to the discovery and explanation of anomalies.

Four specific directions are promising.

First, although DL has pushed the limits of what is possible in time series anomaly detection, it is too early to conclude that the traditional techniques that had been undergoing progressive development in the years prior to the rise of DL have become obsolete. This paper provides systematic taxonomies for data, methods, and evaluation strategies, and it evaluates the state-of-the-art traditional and DL methods. In the future, it is of interest to explore how the two sides of anomaly detection can be combined to improve anomaly detection performance and to tackle problems not amenable to DL methods.

Second, the boundary between normal and anomalous behaviors is often not precisely defined and may evolve over time. The lack of well-defined representative normal boundaries poses challenges for both traditional and DL methods.

Third, other factors need to be explored that might affect the choice of methods, such as the way in which data is monitored and the environment in which anomaly detection is deployed.

Fourth, future efforts should also consider the creation of a larger high-quality anomaly detection database that can serve as a general benchmark for validating novel proposals.

REFERENCES

- [1] Markus M Breunig, Hans-Peter Kriegel, Raymond T Ng, and Jörg Sander. 2000. LOF: identifying density-based local outliers. In *SIGMOD*. 93–104.
- [2] Anna L Buczak and Erhan Guven. 2015. A survey of data mining and machine learning methods for cyber security intrusion detection. *IEEE Communications Surveys and Tutorials* 18, 2 (2015), 1153–1176.
- [3] Raghavendra Chalapathy and Sanjay Chawla. 2019. Deep learning for anomaly detection: A survey. *arXiv preprint arXiv:1901.03407* (2019).
- [4] Varun Chandola, Arindam Banerjee, and Vipin Kumar. 2009. Anomaly detection: A survey. *CSUR* 41, 3 (2009), 1–58.
- [5] Jinghui Chen, Saket Sathe, Charu Aggarwal, and Deepak Turaga. 2017. Outlier detection with autoencoder ensembles. In *SIAM*. 90–98.
- [6] Dhruv Choudhary, Arun Kejariwal, and Francois Orsini. 2017. On the Runtime-Efficacy Trade-off of Anomaly Detection Techniques for Real-Time Streaming Data. (2017).
- [7] Yuwei Cui, Chetan Surpur, Subutai Ahmad, and Jeff Hawkins. 2016. A comparative study of HTM and other neural network models for online sequence learning with streaming data. In *IJCNN*. 1530–1538.
- [8] Liwei Deng, Xuanhao Chen, Yan Zhao, and Kai Zheng. 2021. HIFI: Anomaly Detection for Multivariate Time Series with High-order Feature Interactions. In *DASFAA*. 1–4.
- [9] Li Deng and John C Platt. 2014. Ensemble deep learning for speech recognition. In *INTERSPEECH*.
- [10] E. Knuth Donald. 1999. The art of computer programming. *Sorting and searching* 3 (1999), 426–458.
- [11] Venkata Ratnam Ganji and S Naga Prasad Mannem. 2012. Credit card fraud detection using anti-k nearest neighbor algorithm. *IJCSSE* 4, 6 (2012), 1035–1039.
- [12] Ian Goodfellow, Jean Pouget-Abadie, Mehdi Mirza, Bing Xu, David Warde-Farley, Sherjil Ozair, Aaron Courville, and Yoshua Bengio. 2014. Generative adversarial nets. *NIPS* 27 (2014), 2672–2680.
- [13] M. Govindarajan and V. Abinaya. 2014. An outlier detection approach with data mining in wireless sensor network. *International Journal of Current Engineering and Technology* 4, 2 (2014), 929–932.
- [14] Manish Gupta, Jing Gao, Charu C Aggarwal, and Jiawei Han. 2013. Outlier detection for temporal data: A survey. *TKDE* 26, 9 (2013), 2250–2267.
- [15] Victoria Hodge and Jim Austin. 2004. A survey of outlier detection methodologies. *Artificial Intelligence Review* 22, 2 (2004), 85–126.
- [16] Junho Hong, Chen-Ching Liu, and Manimaran Govindarasu. 2014. Integrated anomaly detection for cyber security of the substations. *Transactions on Smart Grid* 5, 4 (2014), 1643–1653.
- [17] Kyle Hundman, Valentino Constantinou, Christopher Laporte, Ian Colwell, and Tom Soderstrom. 2018. Detecting spacecraft anomalies using lstms and nonparametric dynamic thresholding. In *SIGKDD*. 387–395.
- [18] Vincent Jacob, Fei Song, Arnaud Stiegler, Yanlei Diao, and Nesime Tatbul. 2020. AnomalyBench: An Open Benchmark for Explainable Anomaly Detection. *arXiv preprint arXiv:2010.05073* (2020).
- [19] Hossein Joudaki, Arash Rashidian, Behrouz Minaei-Bidgoli, Mahmood Mahmoodi, Bijan Geraili, Mahdi Nasiri, and Mohammad Arab. 2015. Using data mining to detect health care fraud and abuse: a review of literature. *Global Journal of Health Science* 7, 1 (2015), 194.
- [20] VVRPV Jyothshna, Rama Prasad, and K Munivara Prasad. 2011. A review of anomaly based intrusion detection systems. *International Journal of Computer Applications* 28, 7 (2011), 26–35.
- [21] Tung Kieu, Bin Yang, Chenjuan Guo, and Christian S. Jensen. 2019. Outlier Detection for Time Series with Recurrent Autoencoder Ensembles. In *IJCAI*. 2725–2732.
- [22] Tung Kieu, Bin Yang, and Christian S. Jensen. 2018. Outlier Detection for Multidimensional Time Series Using Deep Neural Networks. In *MDM*. 125–134.
- [23] Diederik P Kingma and Max Welling. 2013. Auto-encoding variational bayes. *arXiv preprint arXiv:1312.6114* (2013).
- [24] B Ravi Kiran, Dilip Mathew Thomas, and Ranjith Parakkal. 2018. An overview of deep learning based methods for unsupervised and semi-supervised anomaly detection in videos. *Journal of Imaging* 4, 2 (2018), 36.
- [25] Hans-Peter Kriegel, Peer Kröger, Erich Schubert, and Arthur Zimek. 2009. LoOP: local outlier probabilities. In *CIKM*. 1649–1652.
- [26] Hans-Peter Kriegel, Erich Schubert, and Arthur Zimek. 2017. The (black) art of runtime evaluation: Are we comparing algorithms or implementations? *Knowledge and Information Systems* 52, 2 (2017), 341–378.
- [27] Alex Krizhevsky, Ilya Sutskever, and Geoffrey E Hinton. 2012. Imagenet classification with deep convolutional neural networks. *NIPS* 25 (2012), 1097–1105.
- [28] Donghwoon Kwon, Hyunjoo Kim, Jinh Kim, Sang C Suh, Ikkyun Kim, and Kuinam J Kim. 2019. A survey of deep learning-based network anomaly detection. *Cluster Computing* 22, 1 (2019), 949–961.
- [29] Alexander Lavin and Subutai Ahmad. 2015. Evaluating Real-Time anomaly detection algorithms—The Numenta anomaly benchmark. In *ICMLA*. 38–44.
- [30] Aleksandar Lazarevic, Levent Ertöz, Vipin Kumar, Aysel Ozgur, and Jaideep Srivastava. 2003. A comparative study of anomaly detection schemes in network intrusion detection. In *SIAM*. 25–36.
- [31] Doyup Lee. 2017. Anomaly detection in multivariate non-stationary time series for automatic DBMS diagnosis. In *ICMLA*. 412–419.
- [32] Dapeng Liu, Youjian Zhao, Haowen Xu, Yongqian Sun, Dan Pei, Jiao Luo, Xiaowei Jing, and Mei Feng. 2015. Opprentice: Towards practical and automatic anomaly detection through machine learning. In *IMC*. 211–224.
- [33] Fei Tony Liu, Kai Ming Ting, and Zhi-Hua Zhou. 2008. Isolation forest. In *ICDM*. 413–422.
- [34] Fei Tony Liu, Kai Ming Ting, and Zhi-Hua Zhou. 2010. On detecting clustered anomalies using SCIForest. In *ECML-PKDD*. 274–290.
- [35] Pankaj Malhotra, Anusha Ramakrishnan, Gaurangi Anand, Lovekesh Vig, Puneet Agarwal, and Gautam Shroff. 2016. LSTM-based Encoder-Decoder for Multi-sensor Anomaly Detection. *CoRR* abs/1607.00148 (2016). <http://arxiv.org/abs/1607.00148>
- [36] Pankaj Malhotra, Lovekesh Vig, Gautam Shroff, and Puneet Agarwal. 2015. Long short term memory networks for anomaly detection in time series. In *ESANN*, Vol. 89. 89–94.
- [37] Larry M Manevitz and Malik Yousef. 2001. One-class SVMs for document classification. *JMLR* 2 (2001), 139–154.
- [38] Guy P Nason. 2006. Stationary and non-stationary time series. *Statistics in volcanology* 60 (2006).
- [39] Ganesh Kumar Nune and P Vasanth Sena. 2015. Novel artificial neural networks and logistic approach for detecting credit card deceit. *IJCSNS* 15, 9 (2015), 21.
- [40] Guansong Pang, Chunhua Shen, Longbing Cao, and Anton van den Hengel. 2020. Deep learning for anomaly detection: A review. *arXiv preprint arXiv:2007.02500* (2020).
- [41] Danilo Rezende and Shakir Mohamed. 2015. Variational inference with normalizing flows. In *ICML*. 1530–1538.
- [42] Joseph P Simmons, Leif D Nelson, and Uri Simonsohn. 2011. False-positive psychology: Undisclosed flexibility in data collection and analysis allows presenting anything as significant. *Psychological science* 22, 11 (2011), 1359–1366.
- [43] Abhinav Srivastava, Amlan Kundu, Shamik Sural, and Arun Majumdar. 2008. Credit card fraud detection using hidden Markov model. *TDSC* 5, 1 (2008), 37–48.
- [44] Ya Su, Youjian Zhao, Chenhao Niu, Rong Liu, Wei Sun, and Dan Pei. 2019. Robust anomaly detection for multivariate time series through stochastic recurrent neural network. In *SIGKDD*. 2828–2837.
- [45] Swee Chuan Tan, Kai Ming Ting, and Tony Fei Liu. 2011. Fast anomaly detection for streaming data. In *IJCAI*. 1511–1516.
- [46] Jian Tang, Zhixiang Chen, Ada Wai-chee Fu, and David Cheung. 2001. A robust outlier detection scheme for large data sets. In *PAKDD*. 6–8.
- [47] Jiawei Yang, Susanto Rahardja, and Pasi Franti. 2019. Outlier detection: how to threshold outlier scores?. In *AIIPEC*. 1–6.
- [48] Chin-Chia Michael Yeh, Yan Zhu, Liudmila Ulanova, Nurjahan Begum, Yifei Ding, Hoang Anh Dau, Diego Furtado Silva, Abdullah Mueen, and Eamonn Keogh. 2016. Matrix profile I: all pairs similarity joins for time series: a unifying view that includes motifs, discords and shapelets. In *ICDM*. 1317–1322.
- [49] Ming Zhang, Boyi Xu, and Jie Gong. 2015. An Anomaly Detection Model Based on One-Class SVM to Detect Network Intrusions. In *MSN*. 102–107.
- [50] Bin Zhou, Shenghua Liu, Bryan Hooi, Xueqi Cheng, and Jing Ye. 2019. BeatGAN: Anomalous Rhythm Detection using Adversarially Generated Time Series. In *IJCAI*. 4433–4439.